



BioCoherence Kézikönyv

Version 2025-03-20

Általános tartalomjegyzék

BEVEZETÉS

1. A BioCoherence rövid története	3
2. Hidak építése.....	5

3. A BIOCOHERENCE HASZNÁLATA

3.1. Modulok áttekintése.....	14
<i>A részletes tartalomjegyzék a fejezet elején található.</i>	
3.2. Részletes kézikönyv minden modulhoz.....	37
<i>A részletes tartalomjegyzék a fejezet elején található.</i>	

4. KIEGÉSZÍTŐK

4.1. Gyakran ismételt kérdések	81
4.2. Orvosi tanulmányok és irodalom	85
4.3. Bibliográfia	97

A BioCoherence rövid története

2024 nyara van, és a BioCoherence első nyilvános változata majdnem készen van. Hogyan jutottunk ide, ehhez a szoftverhez, amely a fejemből tárult fel, több mint 1400 szabadalmaztatott biomarkert, 40 képernyőt, elektrokardiogram elemzést és élő biofeedbacket tartalmazó tesztet kínálva, valamint egy újracharmonizáló modult?

Nézzük vissza két konvergáló utat.

Az energiaértékeléssel és kezelő eszközökkel tett első kapcsolatunk 2011-re nyúlik vissza. Christine és én házások voltunk és 3 gyermekünk volt. Abban az évben, második lányunk, Isis, aki akkor még gluténérzékeny volt, kezdeni készült a középiskolába. Míg még Sournia-ban éltünk, egy kicsi faluban a Pireneusokban (Franciaország déli részén), kerestük a megoldást arra, hogy ebédelni tudjon az iskolában. Megkímélem önöket a részletektől, de amikor eljutottunk a szakemberhez, ő elmondta nekünk, hogy az egyedüli megoldás egy kolonoszkópia volt. És az sem tudja meggyógyítani őt. Így másik megoldást kezdtünk keresni. Egy barátunk irányított minket egy furcsa férfi felé, aki egy kicsi faluban dolgozott, és ez a furcsa férfi egy teljes vizsgálatot és újracharmonizálást végzett egy ülésben; nem csak hogy fél óra alatt felismerte az összes problémát, de egy hónap múlva meggyógyult.

Christine és én egymásra néztünk és rájöttünk, hogy valami nincs rendben az orvoslással. Miért nem tudta a kórház ajánlani nekünk ezt a megoldást? Miért volt ez nyilvánvalóan olyan titkos dolog? De főleg, mi volt ez a dolog?

A 2011-es év végén megalapítottunk egy non-profit szervezetet ezzel a gyógyítóval azért, hogy próbáljuk tanulmányozni és valósággal érvényesíteni ezeket a gyakorlatokat, majd egy gondozó központot, majd egy másodikat. Végül kapcsolatba kerültünk ennek az eszköznek a gyártójával hogy elosszuk Franciaországban, a végén 2012-nek. Megismertünk másokat, és végül sikerült szilárd elosztást létrehozunk, egy szakemberekből álló hálót és egy iskolát.

De számomra, mint tudós, mérnök, szoftverfejlesztő, zenész, szerző és mindenekelőtt kényszeres alkotó, nem tudtam megállni egy kereskedelmi vagy adminisztratív szerepnél. Már több céget is alapítottam, amelyekhez mindig én programoztam az egész számítógépes rendszert. Valójában körülbelül 10 éves koromban kezdtem szoftvereket készíteni, és az elsőt körülbelül 15 éves koromban adtam el. Ezután tudományt tanultam és hangmérnöki iskolába jártam, majd megalapítottunk egy webügynökséget Christine-nel 1996-ban, majd több start-up-ot. Visszatérve a gondozó eszközökhöz, amelyeket elosztunk, mint tervező, szerettem volna hozzájárulni ennek az innovatív impulzusnak a tervezéséhez a vizsgálati és gondozási rendszerekben, amelyeket sokáig tapasztaltam és jól megértettem.

Ez az első út, akkor a tudomány, IT és üzlet, valamint alkalmazásuk az egészségügyben.

De ez nem az egyedüli út amely a BioCoherence-hoz vezetett ma.

A másik út a meditáció.

Amikor én 11 vagy 12 éves volt, szenvedélyem volt a varázslat — vagy inkább a bűvészet. Egész napot tölthettem párizsi bűvészboltokban, találkozási mindenféle ügyféllel (show business szakemberek). — Egyébként én is készítettem, készítettem és eladtam egy trükköt egy boltban, melyet 13 éves koromban értékesítettem ... — És ott találkoztam Pierre-rel, egy bűvészfőnökkel aki az egész világban dolgozott. Nagyszerű barátok lettünk. Pierre gyermekkorától kezdve foglalkozott az "out of body", vagy "aszcedens utazás" gyakorlatával, ami lenyűgözött engem. Sosem hallottam róla. Adott nekem néhány könyvet a témában és úgy beszélt róla mint valami teljesen természetéről számára, de idővel elvesztettük a kapcsolatot.

Azóta természetesnek tűnt számomra hogy egy sokkal nagyobb világ létezik az apró dolgok fátyla mögött. De hogyan tudnám ezt a kérdést feltenni Párizsban, egy hiper-materialista korban, egy családban, amely semmit sem tudott erről?

Ahogy az évek teltek el, ez maradt egy privilegált és lenyűgöző témája a beszélgetéseknek, a kíváncsiság forrása, de más nem több. Fiataloként próbáltunk meditálni aztán felnőttként is, nem túl sikeresen. Aztán az élet kezdett formát ölteni a jelenben, minden követelményével.

Visszatérve a 2011-es évről, ami fordulópontra volt, az utak konvergenciája. Amikor Isis megkezdte gyógyulását, egy családi orvoshoz irányítottak Perpignanban. Másképpen látja a dolgokat. Persze, menjünk. Beszéltem neki mindenről, és újra felmerül a meditáció témája; elmondom neki hogy próbáltam kilépni a testemből nem túl sikeresen. Ő válaszolja hogy ismer egy technikát amely a fülekben különböző frekvenciájú hangokra alapozódik, anélkül hogy többet tudna róla. De a hang megérintett engem... és kerestem és felfedeztem binaurális ütések. És attól kezdve a haladás nagyon gyorsult meg. Néhány hónapon belül a világmindenség bővült, mind bent és kint. Azt a fordulópontra követően minden újra szerveződött körülöttünk.

Elkezdtem egy filmes projekt, az *In Reality*¹ interjúsorozatát. Körülbelül negyven lenyűgöző emberrel találkoztam és filmet készítettem róluk. Végül egy francia kiadóházzal alapítottam, hogy lefordítsam a könyveiket, és eddig körülbelül húsz művet adtam ki.

1. <https://inreality.video>

Christine, a maga részéről, és nagy meglepetésére, látóvá vált. Ez egy jó történet. Ő, és a lányom is ilyen. Mint egy jó tudós, én is végzek néhány validációs protokollt. Mindez nagyon valósnak tűnik, oké, tegyük fel. Az évben, hét év quasi-autarkikus családi élet után a hegyekben (2004-ben elhagytuk Párizst, hogy magunk építsük fel Christine által tervezett házat), Disneyland teljes erővel megérkezett. A világ sokkal szélesebbé vált. A ház megtelik lényekkel, mindegyik fantasztikusabb, mint az előző. Őrült, de anekdotáról anekdotára, lehetetlenné válik, hogy ne higgyünk ebben az új valóságban.

Ez a két út találkozik; egyrészt az energiaértékelés és gyógyító eszközök és szoftverek, csodás lehetőségeikkel, de különböző korlátaikkal és frusztrációikkal; másrészt a meditáció, a belső személyes fejlődés, a világ határainak kiszélesítése, és az önmagunk feletti hatalom átvételének hatalmas ereje és a saját felelősségünk tudata.

Tehát 2017-ben működtettem az első szövetséget a kettő között, és elkezdtem egy meditációs alkalmazás projektet, amelyet a kreatörök platformjaként szántam; túl bonyolult, soha nem fejeztük be. 2018-ban létrehoztam egy alkalmazást, hogy binaurális ütemeket és más hangokat generáljak a meditációk kísérésére; túl bonyolult, soha nem fejeztük be. Kezdem észrevenni egy visszatérő mintát. Ez nem az első túl bonyolult, soha nem befejezett alkalmazásom. Rendben, írjuk át az egészet, és egyszerűsítsük le: Ah, győzelem! 2021-ben bemutatjuk iskolánkat az első, kevésbé bonyolult és - hurrá! - befejezett alkalmazásával: 33, irányított meditáció, Christine első 2 könyve alapján.

Egy részlet marad: többet szeretnék ajánlani. Meg akarom szerezni egy megbízható mérési rendszert a meditációk választásához és, miért ne, adaptálásához. Egy részlet, ahogy mondtam, ami végül három évembe telt. 2022-ben bemutathatom éves Mesterkurzusunkat egy első eszközzel, amely egy elektrokardiogram mérésén alapul. 2023-ban, több mint egy éves munka után, az interfészt számos vizualizáció díszítette, és új képernyőket hoztunk létre. További 6 hónap kutatás, és 2024 áprilisában elérkezünk egy olyan szoftverhez, amely vágyik az interakciókra...

Ehhez az első verzióhoz drasztikusan (és fájdalmasan, ahogy el tudod képzelni) válogattam az implementálandó ötleteket. De az elmúlt 40 évben, amióta alkotok, végre rájöttem, hogy nincs értelme csak a létrehozás kedvéért alkotni; alkotni kell, hogy megosszuk. És ehhez sokkal több időt kellett eltöltenem, mint gondoltam, hogy ezt a szoftvert könnyen érthetővé tegyem. Sikerült megtennem, még ha még mindig frusztrál is minden, ami még nem létezik. Számon kérhetsz, hogy továbbra is beépítem és megosztom az ötleteket és eszközöket, és gondoskodom arról, hogy mindig szép, könnyű és intuitív legyen számodra.

Médéric Degoy, a BioCoherence szoftver tervezője.

Hidépítés

A BioCoherence számos kulcsfogalom köré épült. Fontos, hogy legyen róluk egy általános elképzelésünk, mivel ezek vezérlik a mögöttes logikát.

A mi feladatunk az, hogy hidakat építsünk a gyakran egymással nem összefüggő területek között. Ezek a következők: kibernetika; rendszerelmélet; energia, entrópia és negentrópia; emergencia; heurisztika; szinkronicitás; ergodicitás; erőforráselmélet; kaszkádelmélet; embriogenezis; prologiaelmélet; a rezonancia elve; a koherencia elve; skálahullámok; időbeli kristályok; a test-elme kapcsolat; az anyag-energia-információ jelentéskapcsolat; fizikai entrópia és információs entrópia; a tudattalan és az archetípusok.

Az idézetek - hacsak másképp nem szerepel - a Wikipédiából származnak.

Kibernetika

"a természetes és mesterséges rendszerek szabályozásának és kommunikációjának általános tudománya"

"A kibernetika az összetett rendszerekben működő információs mechanizmusok tanulmányozása. E kutatási terület körvonalai a visszacsatolás, vagy *teleológiai mechanizmus* kulcsfogalma körül forognak. Céljuk az volt, hogy az automatikus szabályozás, az elektronika és a matematikai információelmélet születőben lévő (1942 és 1953 közötti) területeiről egységes víziót adjanak, mint "a szabályozás és a kommunikáció teljes elméletét, mind az állatban, mind a gépben".

A Norbert Wiener által formalizált kibernetika áll többek között a Palo Alto-i iskola rendszerszemléletű terápiainak és az önszerveződés biológiai elméleteinek háttérében."

Érdekes jegyzetek:

- "1894-ben Ludwig Boltzmann kapcsolatot teremtett az entrópia és az információ között, megjegyezve, hogy az entrópia olyan információhoz kapcsolódik, amelyhez nem férünk hozzá."
- "Az életten is sok elemet szolgáltatott neki. Például a homeosztázis elvét, amelyet Claude Bernard emelt ki."
- "A kibernetika szintén a fenomenológia folytatása, amennyiben a jelenségeket auskultálja, hogy megragadja autonómiájukat és sajátosságukat, nevezetesen a formán keresztül, majd áttér egy másik típusú elemzésre: a modellezésre, a mechanikára%u2026"
- "A visszacsatolást emeli ki ez a megközelítés, mivel ez elengedhetetlen az önszabályozó logika megtervezéséhez. Így alakulnak ki a visszacsatolási hurkok, a rendszereket kiemelő körkörös mechanizmusok."
- az "emergencia" kifejezést hamarosan nemcsak új formák, hanem egy rendszer spontán újjászerveződése során megjelenő új tulajdonságok és folyamatok megjelenésére is használni fogják. Az ilyen típusú jelenségek néha a rendszer újjászerveződésénél több, a komplexitás magasabb fokán történő szerveződéssel járnak együtt"
- "A másodrendű kibernetikában a megfigyelő önmagát is bevonja a megfigyelt rendszerbe

A kibernetika az ökológia, a pszichoanalízis, az informatika, a rendszerszemlélet, a kognitív tudomány, a mesterséges intelligencia, az internet%u2026 gyökere

Alkalmazás a biokoherenciában

A szoftverek összességében, minden szinten, a legmélyebbtől (a számítógép létezése; az operációs rendszer; és az internet) a legmélyebbig (a rendszerszintű logika, az 1., 2. és 3. szintű elemzés és az új tulajdonságok megjelenése, az összes elem összekapcsolása, a kapcsolatok és rezonanciák számításai).

A szoftverek középpontjában a visszacsatolás elve áll, különösen a biofeedback mérésekben.

Érdekes módon a kibernetika a rendszer korlátaira és korlátaira összpontosít. Ez támpontot ad a lehetséges választási lehetőségekhez. Az ekvifinalitás elve azonban azt írja elő, hogy egy célt többféle úton is el lehet érni.

Rendszerelmélet

"A rendszerelmélet a jelenségek bármely típusának meghatározására, tanulmányozására vagy magyarázatára szolgáló módszer, amely mindenekelőtt abból áll, hogy ezt a jelenséget rendszernek tekintjük: egy nagyobb rendszeren belüli, gyakran alrendszerek közötti kölcsönhatások összetett halmazának. Eltér a hagyományos megközelítéskétől, amelyek a rendszer részekre bontására összpontosítanak anélkül, hogy figyelembe vennék az egész, azaz magának a teljes rendszernek a működését és tevékenységét.

A rendszergondolkodás a globális, makroszkopikus, holisztikus vagy szintetikus megközelítést részesíti előnyben; a rendszert különböző nézőpontokból és a szervezet különböző szintjein figyeli és tanulmányozza; és mindenekelőtt figyelembe veszi a rendszer részei között fennálló különböző kölcsönhatásokat.

A 20. század közepén fokozatosan kialakuló rendszerszemlélet a karteziánus analitikus hagyomány és a redukcionizmus más formái ellenében épült fel, amelyek hajlamosak voltak az egészet független részekre feldarabolni, és megmutatták korlátaikat a valóság megértésében."

Érdekes megjegyzések:

- "Az alapvető fogalom itt kétségtelenül a szabályozás fogalma, amelyet a visszacsatolási hurok fogalmán keresztül határozunk meg." "Az interakció (vagy kölcsönhatás) a nem lineáris kauzalitás gondolatára utal. Ez a fogalom alapvető fontosságú a koevolúció és a szimbiózis megértéséhez a biológiában. A kölcsönhatás egy sajátos formája a visszahatás (vagy visszacsatolás), amelynek tanulmányozása központi szerepet játszik a kibernetika munkájában."
- "Teljesség. Ha egy rendszer mindenekelőtt elemek halmaza, akkor nem lehet erre redukálni. Ahogy a mondás tartja, az egész több, mint a részeinek összege
- "A szervezet a központi fogalom annak megértéséhez, hogy mi is egy rendszer. A szerveződés egy egésznek az elemeinek hierarchikus szintekre való felosztása szerinti elrendezése. A szervezetségi foktól függően egy teljesség nem azonos tulajdonságokkal fog rendelkezni. Így jutunk el ahhoz a gondolathoz, hogy **egy teljesség tulajdonságai kevésbé függenek a benne lévő elemek természetétől és számától, mint a közöttük kialakított kapcsolatoktól**: "a nyitott rendszer olyan rendszer, amely az anyag-, energia- és információcserék révén önszerveződési képességet mutat
- Az élőlények, mint nyitott rendszerek, képesek negentrópiás hurkokat létrehozni (azaz az entrópiát csökkenteni, magasabb rendet létrehozni).
- A "dinamikus rendszerrel" kapcsolatban az első gondolat, amely ezt a területet jellemzi, az, hogy a látszólagos rendetlenség mögött a látható rendnél összetettebb rend rejlik. A második gondolat az, hogy ez a rend önszerveződéssel és új, korábban nem létező jellemzők és tulajdonságok megjelenésével jön létre."

Alkalmazás a biokoherenciában

- az elemek közötti olyan kapcsolatok kiemelése, amelyek ugyanolyan, ha nem fontosabbak, mint maguknak az elemeknek az értékelése.

Emergencia

"Az emergencia egy filozófiai fogalom, amely nagyjából a következő mondással foglalható össze: "az egész több, mint részeinek összege". Szemben áll a redukcionizmussal, valamint a dualista tanokkal (dualizmus vagy vitalizmus).

Egy tulajdonság akkor minősíthető "emergensnek", ha "következik" az alapvetőbb tulajdonságokból, miközben "új" vagy "redukálhatatlan" marad azokhoz képest. Így John Stuart Mill megjegyzi, hogy a víz tulajdonságai nem redukálhatók a hidrogén vagy az oxigén tulajdonságaira"

Érdekes pontok:

- "Néha "szinkron emergenciáról" beszélünk egy rendszer mikro- és makroszintjei közötti kapcsolatokkal összefüggésben. Ebben az esetben az emergencia fogalmi redukálhatatlanságot feltételez: az emergens tulajdonságok és törvények olyan komplex rendszerek rendszerszintű jellemzői, amelyeket olyan törvények irányítanak, amelyek nem redukálhatók azokra, amelyek a kisebb léptékű összetevők közötti kapcsolatokat minősítik"."

Alkalmazás a biokoherenciában

- az emergencia logikája: az elemzés több lépcsőben történik, amelyek mindegyike olyan magasabb szintű tulajdonságokat tár fel, amelyek alacsonyabb szinten nem léteznek. Az utolsó szakaszban az erőforrások megtalálhatók.

Energia

"Az energia a cselekvés, az erő és az időtartam fogalmaival rokon fogalom: egy cselekvés megvalósításához egy bizonyos erő megfelelő ideig történő fenntartása szükséges, hogy legyőzzük a változással szemben álló tehetetlenséget és ellenállást."

Alkalmazás a biokoherenciában

Egy biomarker energiáját a biomarker típusától függően különböző módon mérik; az egyes biomarkerekre jellemző minimális/ maximális skálára helyezve ez lesz a virág függőleges tengelye.

Entrópia

Egyszerre világos és összetett fogalom, de mindenekelőtt olyan kifejezés, amely a különböző területeken egészen különböző dolgokat magyaráz.

- A fizikusok számára az entrópia a nyugtalanságot, a rendezetlenséget jelenti.
- Az információelmélet számára az entrópia a különböző típusú információk lehetséges nyers mennyiségének mérőszáma.
- Az informatika számára nagyjából a lehetséges információk tartományát, a tér nagyságát jelenti.

Az entrópia fogalmát úgy foglalhatjuk össze, hogy az arányos egy rendszer rendezettségével; ellentéte, a negentrópia tehát arányos egy rendszer rendezettségének mértékével.

Alkalmazás a biokoherenciában

A biomarkerek különböző szintjein mért változékonyságból következtetünk egy nyugtalansági tényezőre, amely a virág vízszintes tengelyét fogja alkotni.

Erőforrás-elmélet

A Christine Degoy által kidolgozott erőforrás-elmélet azt tételezi fel, hogy minden élő rendszerben vannak tökéletesen megvalósult részek, amelyek más részeket táplálnak. A rendszer logikájában ezek az erőforrás-részek, amelyek aktívan kapcsolódnak más alrendszeréhez, amelyeknek szükségük van rájuk.

Christine minden szinten azonosította az erőforrásokat: szerves, pszichológiai, energetikai és nem fizikai (azaz a teljes rendszerrel kölcsönhatásban lévő anyagból álló, de nem ugyanazoknak a fizikai törvényeknek alávetett, mint a szokásos anyag).

Alkalmazás a biokoherenciában

A legmagasabb szintű emergens elemként az erőforrások azonosítása lehetővé teszi számunkra, hogy koherens tervet készítsünk a kezelendő prioritásokról, felhasználva azokat a teljes rendszer optimalizálására.

Kaszkádelmélet

Paul Schmidtnak a betegségek eredeti okait kereső, majd később Philippe Matza által továbbfejlesztett elve nyomán a kaszkádelmélet a rendszerszintű logika része. Azt tételezi fel, hogy egy szenvedő szerv vagy rendszer az ok-okozati és energetikai összefüggések láncolatának része, és hogy ezt a láncolatot a hatékony terápia érdekében vissza kell követni.

Alkalmazás a biokoherenciában

A kapcsolatok és összefüggő rendszerek azonosításával a BioCoherence lehetővé teszi, hogy teljes oksági láncokat rekonstruáljunk, és a zavarok forrásánál lépünk fel. De az oksági láncok fogalmát kiterjesztjük a többszörös láncokra, és arra, hogy egy olyan rendszer, amelynek elemei koherenciában vannak, minden szinten egyidejű beavatkozásra szorul, hogy elemei tartósan egyensúlyba kerüljenek.

Embriogenezis

"Az embrió kialakulása során a sejtek különböző sejtrétegekbe szerveződnek: a külső réteget ektoderma, míg a belső réteget endoderma néven emlegetik. A köztes réteg a mezodermának nevezett szövetet alkotja. Az emlősöknél az egyes rétegeknek más-más a rendeltetése: az endodermából az emésztőrendszer és a hozzá tartozó mirigyek (hasnyálmirigy), a mezodermből az izmok, a csontváz és az erek keletkeznek;

az ektoderma termeli a felhámot és az idegrendszert."

Alkalmazás a biokoherenciában

Feltételezzük, hogy ezek az elemek a felnőtt szervezetben sajátos rezonanciák révén összekapcsolódnak, és figyelembe vesszük a Christine Degoy által kifejlesztett 8 korpuszt, amelyek embrionális eredetük által összekapcsolt elemekből állnak. Ezeket a kapcsolatokat aztán beépítjük az eredmények értelmezésébe.

Prológiai elmélet

Részlet a *Prologie, az élet értelmének újrafelfedezése* című könyvből, Christine Degoy:

"Ez egy egységes megközelítés mind a gondozás, mind a beteljesülés tekintetében. Integratív és transzverzális jellegű, rendszerszemléletűnek mondható, a személy összes összetevőjének rezonanciájára irányul, mint megannyi rendelkezésre álló erőforrás szinergiába hozása"

A prológia teljes paradigmaváltást kínál, integrálva a testet, mint a kiteljesedés erőteljes mozgatórugóját, még a betegség közepette is. Erős alapelvei az életprojektre épülnek a rendszerelméleti megközelítéssel kombinálva, amit a következő tézis szemléltet: **"Minden ember egy rendszer, amelynek van egy projektje, és minden, ami alkotja, ennek a célnak az elérésére van tervezve"**

A prológia lehetővé teszi számunkra, hogy az emberi testet a személyes projekt-támogatás szempontjából feltérképezzük, és felfedezzük az egymást követő tartományok időbeli szerveződését az érettség növekedése és az élet uralása során.

Az embriológia alapján történő feltérképezés az emberi természet három pillérével - akarat, szeretet és bölcsesség - kombinálva a betegség újfajta megértését eredményezi. A prológiai dekódolás ugyanis a betegséget a rendszer átalakulásának, nem pedig kudarnak tekinti. Amikor az emberi lény anyag-energia-információs rendszere fejlesztésre szorul ahhoz, hogy tovább tudjon haladni, minden evolúciós lehetőséget kihasznál, hogy módosítsa és fejlessze a készségeket és viselkedésmódokat, szükségleteket és vágyakat, valamint az életről és az őt körülvevő világról alkotott elképzeléseit.

Minden egyes szerv szerepet játszik az egyén életprojektjének megvalósításában, és a fejlődéshez szükséges átalakulás mértékétől függően különböző diszkrécióval frissíti magát.

A prológikus megközelítés célja az egyensúly, az energia és a kényelem helyreállítása, miközben tiszteletben tartja az egyén életprojektjét, a holisztikus kiteljesedés elérése érdekében.

Alkalmazás a biokoherenciában

A szoftver lehetővé teszi a problémák és a folyamatban lévő átalakulások teljes körű felmérését és azonosítását az életprojekt rezonanciájában. Ez egy pozitív olvasás, amely a célon és az energia felszabadításán alapul, szemben a biológiai dekódolással, amely a konfliktuson és az akadályozáson alapul.

A rezonancia elve

"A rezonancia egy olyan jelenség, amelynek során bizonyos fizikai rendszerek (elektromos, mechanikai stb.) érzékenyek bizonyos frekvenciákra. Egy rezonáns rendszer képes energiát felhalmozni, ha azt periodikus formában, és a "rezonanciafrekvencia" néven ismert frekvencia közelében alkalmazzák."

Alkalmazás a biokoherenciában

A hangmeditációk során a meghatározott frekvenciákon kibocsátott hangok vagy hangsorozatok bizonyos szerves vagy mentális struktúrákat energetizálnak.

A koherencia elve

"A koherencia a fizikában egy hullámrendszer korrelációs tulajdonságainak összessége. Beszélhetünk koherenciáról 2 hullám között, ugyanazon hullám két különböző időpontban mért értékei között (időbeli koherencia) vagy ugyanazon hullám két különböző helyen mért értékei között (térbeli koherencia). Példák koherens sugarakra: lézerefény"

Binaurális ütemek

"A binaurális ütem egy olyan látszólagos hang, amelyet az agy egy adott fizikai inger hatására érzékel. Ezt a hatást 1839-ben Heinrich Wilhelm Dove fedezte fel.

Az agy egy alacsony frekvenciájú hangerősségű impulzusokként érzékelt jelenséget hoz létre, amikor két, egymástól kissé eltérő frekvenciájú hangot egymástól függetlenül adnak elő az alany mindkét fülének. Ha a két frekvencia közötti különbség 4 hertz, akkor az alany másodpercenként 4 ütést hall."

Alkalmazás a biokoherenciában

A hangmeditációk során a kezelendő prioritásoknak megfelelően specifikus binaurális ütemek kerülnek integrálásra. Ezek az alfa-, béta-, gamma- vagy théta-tartományok bizonyos frekvenciáin edzik az agyat.

Skálahullámok

Marc Henry¹ elmagyarázza, hogy "létezik egy ötödik dimenzió, a skála, amely független a három térbeli és az időbeli dimenziótól. Ez az új dimenzió lehetővé teszi annak a skálának a meghatározását, amelyben a megfigyelt vagy mért tér-időbeli jelenség működik. De ha létezik egy új dimenzió, akkor szükségszerűen léteznek olyan hullámok is, amelyek képesek terjedni benne. Ezek természetesen a mi skálahullámaink. Szerepük az, hogy biztosítsák a koherenciát ugyanazon fizikai objektum különböző leírási és megnyilvánulási skálái között. Ezek a skálahullámok nem jelennek meg a kvantum- vagy relativisztikus fizikáról szóló tudományos értekezésekben. Számunkra azonban nagyon is ismerősek. Mindössze annyit kell tennünk, hogy elfogadjuk azt a kérdést, hogy az egyén hogyan képes felismerni az őt alkotó különböző részeket. A skálahullámoknak köszönhetően ugyanaz az egyén képes egységét érezni, bármilyen skálát is használjon önmaga leírására".

A skálahullámokat Joël Sternheimer elméletileg kidolgozta, és a gyakorlatban a Proteodics segítségével alkalmazta.

Időbeli kristályok

"Az időbeli kristály egy időben és térben periodikus struktúra. Egy ilyen struktúra ötletét Frank Wilczek vetette fel 2012-ben. Szerinte elképzelhető egy olyan struktúra, amely részecskék egy csoportjából áll, amelyek mozognak és periodikusan visszatérnek eredeti állapotukba, és amely egy "temporális kristályt" alkot. A kifejezést a "klasszikus" kristályban megfigyeltet alapján alkotta meg, amelynek atomszerkezete a térben különböző irányokban ismétlődő mintázatot mutat. Egy temporális kristályban viszont a minta periodikusan ismétlődik az időben, mint egy oszcillátorban. Csak külső periodikus gerjesztés hatására jelenhet meg egy temporális kristály, amely **energiát nyel el.**"

Alkalmazás a biokoherenciában

Miután az elemek közötti kapcsolatokat azonosítottuk, azonosítani lehet az ismétlődő mintákat. Az elképzelés szerint ezek a minták (amelyek lehetnek gondolatok, mozdulatok, fájdalmak, különböző működési zavarok egymásutánjai²⁰²⁶) olyan struktúrákat alkotnak, amelyek folyamatosan energiát szívnak el az általános rendszerből, hogy a mozgásukat állandósítsák. A szoftver algoritmusai képesek megtalálni a konkrét csomópontokat, hogy megszaksítsák az ismétlődést.

Az elme és a test kapcsolata

"Az előfordulás fogalmát Donald Davidson vezette be az 1960-as években az elmefilozófia területére, hogy az elme és a test szisztematikus függőségének és redukálhatatlanságának látszólag ellentmondó elképzeléseit összeegyeztetje. Ha egy B típusú (pl. mentális) tulajdonság egy A típusú (pl. fizikai) tulajdonságon keletkezik, akkor a B típusú bármely változás egyenértékű az A típusú változással. Így, ha van egy esemény, nem lehet egyfajta különbség anélkül, hogy a leírás egy másik szintjén ne lenne egy másik típusú különbség. E két szint között tehát kovariációs kapcsolat áll fenn"

"Simon Blackburn szerint a természet mai fizikai felfogásából hiányoznak a minőségi tulajdonságok, mint például a szín, a fájdalom és minden más, ami a világról szerzett tapasztalataink minőségi aspektusát alkotja."

"Egyes pánpszichista filozófusok, mint például Galen Strawson, ebből a nézőpontból azt állítják, hogy minden fizikai tárgy valójában mentális tulajdonságok, amelyek analógok a megélt tapasztalat tulajdonságaival."

1. <https://marchenry.org/2014/09/15/ondes-dechelle/>

Az anyag-energia-információ-jelentőség kapcsolat; fizikai, energetikai, információs és jelentőség entrópia

Hogy visszatérjünk "a világról való tapasztalatunk minőségi aspektusához", nézzük meg az anyagot:

- az anyag hullámokból és részecskékből egyaránt áll. Leírható anyagi (részecskék) vagy energetikai (hullámok) formában. A valóságban önmagukban álló, helyhez kötött hullámokról beszélünk, amelyek saját mágneses mezőt hoznak létre, mint egy önmagába hajtogatott gitárhúr. Ily módon létrehozzák a %u2026
- energiát, amely tárolódik vagy kering. Ez kicserélhető, de önmagában nem negatív vagy pozitív: csupán az energiapotenciál egyik vagy másik irányba történő cseréjét jelenti. Ugyanakkor %u2026
- információt hordoz, amely az energiára vagy az anyagra van kódolva, és az energia vagy az anyag szimbólumait jelenti...
- ami végső soron az egyetlen dolog, ami számunkra, mint tudatos lények számára számít.

Ez visszahelyezi az entrópia fogalmát a megfelelő perspektívába. Az anyag szintjén az entrópia a mozgást vagy az energiapotenciált jelenti. Az információ szintjén az entrópia a közegen (energia vagy anyag) továbbított információ lehetséges mennyisége. A végső jelentés szintjén azonban az entrópia a ténylegesen továbbítható jelentős információ mennyisége.

Például: képzeljünk el egy gombot, amely egy atombombát indít be. Az információ szintjén egyetlen bitnyi információ elegendő a bomba beindításához. Az anyag és az energia szintjén a hatás gigantikus, de lokalizált. A jelentőségét tekintve pedig a célponttól függ: egy város (hatalmas hatás térben és időben), vagy egy tesztalagút (a kísérlet eredményére korlátozott hatás)? Ily módon az entrópia mennyiségei radikálisan eltérőek lehetnek ezeken a különböző szinteken, ugyanannak a hatásnak az esetében.

Szinkronicitások

"Néha azt gondoljuk, hogy az univerzum jeleket küld nekünk, amikor hihetetlennek tűnő egybeesések történnek. De Jung számára ez a szinkronicitás, amit úgy definiálhatunk, mint különböző események egyidejűségét, amelyeket olyan jelentés köt össze, amely nem a véletlen műve. Más szóval, ez a szinguláris tudomány úgy foglalható össze, mint olyan események (kettő vagy több) időbeli egybeesése, amelyek bár kapcsolódnak egymáshoz, de nem állnak ok-okozati összefüggésben. Van azonban tartalmi kapcsolat

"Jung szerint, amikor szinkronicitásról beszélünk, akkor belső és külső események egyesülésére utalunk. Így az egyén, aki ezeket az eseményeket megtapasztalja, értelmet talál az egyesülésükben. Jung a szinkronicitást vagy l'occurrence-t a felismerhető minták kereséseként határozta meg"

Alkalmazás a biokoherenciában

A minták felismerése a világ megértésének szerves része. A szinkronicitásokat úgy értelmezzük, mint a jelentés megjelenését a priori nem összefüggő események szembesítésén keresztül. Ez a jelentésen, jelentőségen keresztüli kapcsolat az, ami az információ értelmét kihozza. Ezt a kialakuló kapcsolatot emeli ki a biomarkerek közötti kapcsolatok kiszámítása. Szükséges esetben a koherens rendszerek a szinkronicitások megfelelőjét, azaz a magasabb szintű jelentés megjelenését jelzik.

Általános szemantika

"Az általános szemantika egy nem arisztotelészi gondolkodásmódot javasol mindenki számára, amelyet eredetileg Alfred Korzybski dolgozott ki.

Az általános szemantika a klasszikus szemantika (a szókapcsolatok jelentésének és az abban bekövetkező változásoknak a tanulmányozása) kereteit igyekszik kibővíteni. Korzybski célja az volt, hogy olyan logikát fogalmazzon meg, amely a korabeli tudományos fejlődés szintjének is megfelel, és amely lehetővé teszi, hogy az emberi problémákat hatékonyabban oldjuk meg, mint Arisztotelész és Descartes, valamint az arisztotelészi és newtoni fizika korábbi logikáival. Ezeket az ókortól a 17. századig konceptualizált logikákat Korzybski már nem tartotta hatékonyaknak a századának felfedezéseire jellemző problémák leírására és kezelésére. Korzybski a pszichiátriában, Henri Laborit pedig a biológiában (a cselekvésgátlás elmélete) és az agressziológiában (az élő szervezetek agresszív körülmények közötti reakcióinak vizsgálata) alkalmazta.

A Tudomány és józanság című könyvében Korzybski kifejti, hogy megfelelést lát e nem arisztotelészi logika és a 20. század két tudományos forradalma, a kvantumfizika és a relativitáselmélet között. Rámutat, hogy az előbbi felborítja az ész szokásos kategóriáit, míg az utóbbi "nem-newtoni" fizikát és "nem-euklideszi" 2 geometriát vezet be. Az utóbbihoz hasonlóan a nem-arisztotelészi "nem" nem tagadásként, hanem az arisztotelészi logika általánosításaként és meghaladásaként értelmezendő, miközben

az utóbbit is magában foglalja, az "általános" szót pedig az általános relativitáselmélettel azonos értelemben kell érteni³. A kvantumfizikával analóg módon Korzybski azt állítja, hogy a megfigyelő a valóság reprezentációjának szerves része, és ezt az általános szemantikában figyelembe kell venni".

Alkalmazás a biokoherenciában

Minden jelentéssel bír. Ez az anyag-energia-információ-jelentés lánc végső absztrakciós szintje. Ezt igyekeznek kiemelni a BioCoherence számára kifejlesztett algoritmusok.

Heurisztika

"A heurisztika "a feltalálás, a felfedezés művészete", amely a problémák hiányos ismereteken alapuló megoldása révén valósul meg. Ez a fajta elemzés korlátozott idő alatt elfogadható megoldásokhoz vezet. Ezek eltérhetnek az optimális megoldástól. Daniel Kahneman számára ez egy olyan eljárás, amely segít megfelelni, bár gyakran tökéletlen válaszokat találni nehéz kérdésekre."

Alkalmazás a biokoherenciában

A heurisztika a "szabályok megtalálásának tudománya". Itt is a minták felismeréséről van szó, és a kapcsolatok kiemelése lehetővé teszi, hogy a rendszer egyes elemeinek konkrét állapota helyett inkább az általános szerkezetet nézzük.

Ergodicitás

"Ergodicitás akkor áll fenn, ha több különböző és különálló statisztikai elemzés ugyanarra a témára vonatkozóan kellően összehasonlítható eredményt ad. Az elmélet a dinamikus rendszerek elméletével és a kaoszelmélettel szoros kapcsolatban számos fejlesztésen ment keresztül".

Alkalmazás a biokoherenciában

A mintafelismerés az elemzés szerves részét képezi, amelyet a mélytanulás és a neurális hálózatok terén a közelmúltban elért eredmények lendítenek fel.

Számítási redukálhatatlanság

"A számítási irreducibilitás az egyik fő gondolat, amelyet Stephen Wolfram javasolt *A New Kind of Science (2002)* című könyvében.

Sok fizikai rendszer annyira összetett, hogy nem lehet hatékonyan mérni. Még a legegyszerűbb programok is sokféle viselkedést mutatnak. Következésképpen egyetlen modell sem tudja megjósolni, pusztán a kezdeti feltételek felhasználásával, hogy pontosan mi fog történni egy adott fizikai rendszerben, mielőtt egy kísérletet végrehajtanánk. Az irreducibilitás e problémája miatt a számítástechnika formális nyelvén Wolfram "számítási irreducibilitásnak" nevezi ezt a képtelenséget, hogy egy rendszert (vagy "programot") "rövidítsünk", vagy viselkedését egyszerű módon leírjuk. Ez az elképzelés azt mutatja, hogy vannak olyan esetek, amikor az elmélet jóslatai gyakorlatilag lehetetlenek. Wolfram azt állítja, hogy számos jelenség általában számítással irreducibilis.

A számítási irreducibilitás megmagyarázza a létező mainstream tudomány megfigyelt korlátait. A számítási irreducibilitás eseteiben csak a megfigyelés és a kísérlet használható"

Alkalmazás a biokoherenciában

Ez a koncepció megmagyarázza például, hogy miért alakul úgy az élet, ahogyan alakul. Tegyük fel, hogy egy szimulációban élünk, mintha egy videojáték szereplői lennénk: miért is kellene foglalkoznunk a sok tapasztalattal, amivel rendelkezünk? Miért ne ugorjunk egyenesen a végkifejletre? Mert ezen elv szerint nem lehet a végkövetkeztetésre ugrani: kénytelenek vagyunk végigjárni az esemény minden szakaszát, hogy megismerjük az epilógusát. "Végig kell játszani a játékot", mert senki sem mondhatja meg, hogyan fog végződni anélkül, hogy nem játszotta volna végig az egészét.

Véleményem szerint ez megmagyarázza a misztika és az egzisztenciális kérdések által felvetett bonyolult kérdések nagy részét. Tegyük fel, hogy a metempsziichózis (reinkarnáció) igaz. Akkor miért a karma? Egész egyszerűen azért, mert fontos, hogy minden lehetséges lehetőséget kiszámítsunk, és a legjobb rendszer ezeknek a lehetőségeknek a kiszámítására az, amelyik tisztában van az alternatívákkal. Ebből a szempontból a Karma nem a bosszúállás eszköze, hanem egy adott esemény lehetséges, előre nem látható

következményeinek keresztirányú ismerete. Az élet aztán hasonló helyzeteket állít elénk, de más szemszögből, és rajtunk múlik, hogy tudatosan végigjárjuk a szakaszokat, és megfigyeljük az eredményeket. Ebben a látásmódban nem létezik olyan, hogy sors vagy elkerülhetetlen esemény; az egyetlen valóság az, hogy milyen döntéseket hozunk az elénk táruló eseményekkel szemben, de a végeredményt lehetetlen megjósolni, amíg meg nem hoztuk a döntéseinket. A valóságban az életünk teljes mértékben a saját kezünkben van.

A tudattalan, a kollektív tudattalan és az archetípusok

"Az archetípus Carl Gustav Jung (1875-1961) svájci pszichiáter által kidolgozott analitikus pszichológiai fogalom, aki szerint az archetípus az emberi hajlam arra, hogy ugyanazt az "eleve adott ábrázolási formát" használja, amely a psziché strukturáló, minden kultúrában közös, de különböző szimbolikus formákban megjelenített egyetemes témát tartalmaz.

A jungi pszichológia számára az archetípus az emberi kultúrák egyik alapító pszichikai folyamata, mivel az emberi tapasztalatból a történelem során kialakult elemi viselkedési és reprezentációs mintákat fejezi ki, egy másik jungi fogalommal, a kollektív tudattalan fogalmával együtt"

Ha már a tudattalánról beszélünk, íme egy lista azokról a találmányokról és felfedezésekről, amelyekről a szerzők azt állították, hogy egy reggel, egy álm után jutottak eszükbe:

- Descartes azt állította, hogy 1619. november 10-én három különálló álomban látta egy új filozófia, a tudományos módszer alapjait. Oké, tehát maga a tudományos módszer egy álomból származik.
- E. Howe állítólag megálmodta a modern varrógép tujjét.
- F. A. Kekulé tudós felfedezte a benzol (C₆H₆) lehetetlennek tűnő kémiai szerkezetét, amikor egy csapat kígyóról álmodott, akik lenyelték a farkukat.
- Niels Bohr 1922-ben fizikai Nobel-díjat kapott az atom szerkezetének felfedezéséért. Visszaemlékezése szerint az atommag körül keringő elektronok, mint a Naprendszer, álmában jelentek meg neki.
- Dmitrij Mendelejev orosz kémikus kimerült volt attól, hogy három napon át próbálta osztályozni az 56 elemet, amikor úgy döntött, hogy aludni fog. "Álmomban egy táblázatot láttam, ahol minden elem úgy esett a helyére, ahogyan kell. Amikor felébredtem, azonnal leírtam egy papírra" - írta Mendelejev a naplójába. "Csak egy helyen bizonyult később szükségesnek a javítás"
- Srinivasa Ramanujan indiai matematikus, aki a számelmélethez, az analízishez és a tiszta matematika más területeihez való jelentős hozzájárulásáról ismert, azt állította, hogy a hindu istennő, Namagiri Thayar álmaiban matematikai meglátásokat adott neki: "És hogy ezekben a látomásokban "a legbonyolultabb matematikát tartalmazó tekercsek tekeredtek ki a szeme előtt": "Hirtelen egy kéz kezdett írni a vászonra. Nagyon figyelmes lettem. Ez a kéz számos elliptikus integrált írt. Ezek megragadtak a fejemben. Amint felébredtem, leírtam őket
- Egy tehénmező ihlette Albert Einstein relativitáselméletét. Einstein álmában azt mondta egy gazdának, hogy a teheneket elektromos kerítés veszi körül, de a gazda mást látott. Einstein arra a felismerésre ébredt, hogy ugyanaz az esemény különböző nézőpontokból változhat, és a relativitáselmélet kezdett formát ölteni.
- Ha Charles Darwin az evolúció elméletével kapcsolatban a reflektorfényben van, akkor Alfred Russel Wallace tudós nem maradhat le. Wallace egy nyolc évig tartó expedíció során a mai Indonézia területén több ezer állatmintát gyűjtött össze és tanulmányozott. Wallace 1855-ben arra a következtetésre jutott, hogy az élőlények fejlődnek, de egészen 1858-ig nem értette meg, hogyan, amikor egy lázálomban megtörtént a felfedezés: az állatok a környezetükhöz alkalmazkodva fejlődnek.
- Otto Loewi munkája előtt az volt a kérdés, hogy a neurotranszmisszió alapvetően kémiai vagy elektromos. A hűsvétvasárnap előtti éjszakán Loewi megálmodta a tökéletes kísérleti elrendezést: két kamrát, amelyekben dobogó szívek voltak - az egyikben az idegei épek voltak, a másikban nem. Ezeket a kamrákat egy oldattal töltötték meg, és egy csővel kötötték össze. A kísérletvezető elektromosan ingerli az első coeur-t, amitől az lassabban ver. Ha az idegtranszmisszió alapvetően elektromos, akkor nincs ok arra, hogy a második szív lassabban verjen. Ha azonban a neurotranszmisszió kémiai, akkor a kémiai anyagok elméletileg lebeghetnek a csőben, és lelassíthatják a másik kamrában lévő második coeur-t is. Loewi tudomásul veszi ezt az ötletet, de reggel, amikor felébred, képtelen megfejtani a saját kézírását. A következő éjszaka az álm visszatér hozzá. Henry Dale-lel együttműködve Loewi ezzel a kísérleti eszközzel demonstrálta a kémiai neurotranszmissziót, és 1936-ban elnyerte a Nobel-díjat.
- James Watson, aki Francis Crickkel együtt felfedezte a DNS - az élet építőköveinek - kettős spirális szerkezetét, állítólag egy csigalépcsőről álmodott, ami ötletet adott neki a DNS felépítésének módjára. Más források szerint két egymásba fonódó kígyóról álmodott, amelyeknek a feje az ellentétes végeken volt.
- Számítalan olyan dal, könyv, videójáték és film létezik, amelyek ötletei egy reggelen világossá váltak a szerző számára.

A racionális elme (amelynek racionalitása, ne feledjük, egy álomból ered) ebből több következtetést is levonhat:

1. Az álmok lehetővé teszik a feltaláló számára, hogy gondolatait az észtlől eltérő módon szintetizálja. Következtetés: van bennünk egy másfajta gondolkodási folyamat, amely mindabból táplálkozik, ami már bennünk van, és amely az archetípusokban jut kifejezésre. A tudattalan képes arra, hogy érdekes információkat hozzon nekünk.
2. Az álmok a tudás egy másik dimenziójának kapuja. Következtetés: az álmok egy olyan nyelv, amely eddig hozzáférhetetlen információkat hoz számunkra, talán más valóságokból vagy más tudatos lényekből.

Ez a két lehetőség nem zárja ki egymást. De akár az álom egy kapu belső énünkhöz, akár egy kapu egy másik valósághoz, mindkét esetben egy következtetés áll fenn: az álmok nyelve, a tudattalan archetípusa, a tudatos problémáinkhoz az információ és a fejlődés érvényes forrása.

Több mint 10 év meditáció után személyes tapasztalatunk az, hogy a meditáció lehetővé teszi a tudattalan számára, hogy jobban kommunikáljon a tudattal. A meditáció kiképzí a tudatos elmét arra, hogy jobban figyeljen arra a "kis hangra", amely egyébként csak az álmok mélyén fejezi ki magát. Megtapasztaltuk, milyen ereje van annak, ha több teret adunk a tudattalan számára. Ez a két aspektus együtt dolgozik a jobb problémamegoldás érdekében, mivel a tudás nagyon különböző területeihez férnek hozzá.

A másik személyes következtetésem az, hogy a belső kommunikációt úgy kell edzeni, mint egy izmot. Christine első látomásai nagyon homályosak és bizonytalanok voltak, de több évnyi gyakorlás után kifejlesztett egy új "érzék", amely ugyanolyan kézzelfogható, mint a szokásos 5 érzékszerv. Bármilyen legyen is a magyarázat ennek az információnak az eredetére, ezerszer bebizonyosodott, hogy ugyanolyan valóságos, mint a többi érzékszertől származó információ. De edzés nélkül nagyon nehéz elválasztani az illúziót a valóságtól. Hiszen évekbe telik, mire elsajátítjuk az 5 fizikai érzékszervünket, és megbízunk benne; ez az 5 érzékszerv egyszerűen a külvilágból érkező valóságot tükröző ingereket fordítja le a neuronjainkban lévő mintázatra. Amit mostanra megértettünk, hogy vannak "finom" érzékek is, amelyek szintén konkrét külső valóságokat fordítanak le, és amelyeket meg kell edzeni.

Alkalmazás a biokoherenciában

Az irányított meditációk különböző archetípusokat hívnak segítségül, hogy a tudattalan és a tudatos működésbe lépjen a problémamegoldásban és a belső önfejlesztésben.

Igazi szívkoherencia

Dan Winter a valódi szívkoherenciát úgy definiálja, hogy az analízis "harmónia" részében (azaz egy 2. rendű FFT-ben) csúcskaskád jelenik meg. Az FFT-t vagy Fourier-transzformációt arra használják, hogy frekvenciákat vonjanak ki egy jelből. A 2. rendű FFT kivonja a zeneileg harmonikus frekvenciákat. Ez a matematikai művelet lehetővé teszi számunkra, hogy felismerjük, hogy az elektrokardiogramban jelen lévő frekvenciák egyértelmű többsége harmonikus egymással; ezt nevezi "valódi szívkoherenciának".

A "harmónia" részének ez a csúcsa több frekvencián is megtalálható, és ennek a csúcsnak a frekvenciasávjait azonosították, amelyek a felvétel időpontjában az alapvető érzelmeknek felelnek meg.

Fraktáltság, tömörítés és fáziskonjugáció

"egy végtelen számú állapot maximálisan tömörül, ha a frekvenciák közötti arány az aranymetszés hatványa." ([gsjournal²](#))

A tömörítést itt úgy definiáljuk, mint a frekvenciák maximális összeadását (tehát a köztük lévő konstruktív - konjugált - fázisokat), amelyet akkor kapunk, ha a frekvenciák a köztük lévő d'or szám többszörösei.

A fraktalitás arra utal, hogy különböző skálákon hasonló struktúrák találhatók.

Elfie mérések

Dan Winter ismét elméletet állított fel az optimális energia "imploziójának" alapvető egyenletéről; ez az egyenlet az univerzumban található rezonanciafrekvenciák közül sokat megjósol. A megfelelő mennyiséget "Elfie"-nek neveztem el, egyrészt a tündék (és különösen a tündék építészete), másrészt maga az egyenletesség iránti tiszteletből: $n \text{ Elfie} = L_p \times \text{Phin}$, azaz a Planck-hossz (a legkisebb mérhető hossz a világegyetemben) n-szeres szorozva az aranymetszéssel.

Ily módon az Elfie-skála nemcsak az Elfie-k számával arányos, hanem egész Elfie-kre megadott értékeket is tartalmaz. Ezek az egész értékek számos ismert mennyiséget tartalmaznak, például a hosszúságot, az időt és a frekvenciát. További információkért lásd az [Elfie.link³](#).

2. <https://www.gsjournal.net/Science-Journals/Research-Papers-Quantum-Theory/Particle-Physics/Download/4543>

3. <https://elfie.link>

3.1.

Modulok áttekintése

- BioCoherence **Scan** egy teljes elemző modul, amely a nyers elektrokardiogramtól számos térkép, grafikon és explicit módok létrehozásáig terjed, hogy biomarkereket számítsunk és értelmezzünk.
- BioCoherence **Test** egy nyílt módja az elemek listáinak értékelésére a pulzus élő fejlődése alapján (biofeedback).
- BioCoherence **Balance** lehetővé teszi az erőforrások azonosítását és a prioritások kiválasztását, valamint PDF jelentések és egyéni meditációk létrehozását ezen alapulva.

Contenido

1. Scan: biomarkerek és műszaki elemzés	17
1.1. Időgrafikon modul	17
1.2. Biomarker modul	17
2. Scan: szervtérképek.....	19
2.1. Figyelemre méltó okok: energia	19
2.2. Kiemelkedő okok: entrópia	19
2.3. Figyelemre méltó rendszerek: koherencia	20
2.4. Agy	20
2.5. Szív- és érrendszer	21
2.6. Emésztőrendszer	21
2.7. Membránok	21
2.8. Csigolyák	22
2.9. Idegrendszer	22
2.10. Fogak	22
2.11. Mozgásszervi rendszer	23
2.12. Légzőrendszer	23
2.13. Női genitáliák	23
2.14. Férfi genitáliák	24
3. Scan: TCM meridiánok, pontok és receptek.....	25
3.1. Hólyag meridián linkekkel	25
3.2. Meridiánok energia szerint, a gyakori kapcsolódó problémákkal	25
3.3. TCM Pontok	26
3.4. TCM Receptek, a koherencia által	26
4. Scan: Az Energia modulok.....	27
4.1. Ayurvéda: Dosák és al-dosák	27
4.2. Energia grafikonok: csakrák, síkok, óra és lendület	27
4.3. Energia grafikonok: a mikro világ	27
5. Scan: az Elme modul	29
5.1. A shadow modul	29
5.2. Shadow: meghajtók	29
5.3. A Lélek modul	30
6. A Balance modulok	31
6.1. Források	31
6.2. Prioritások	31
6.3. PDF Jelentés	32
6.4. Egyensúly: a személyre szabott meditáció	32
7. A teszt modulok.....	34
7.1. Egy teszt lista egy élő értékelés után	34
7.2. A teszt lista	34
7.3. Teszt listák	34
7.4. teszt: biofeedback élő értékelés	35
7.5. tesztek: szerkesztés	35
8. A megértés modulok	36

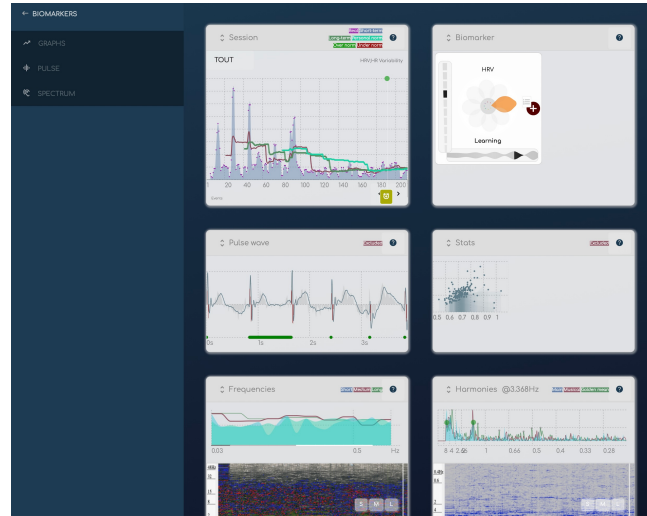
1. Scan: biomarkerek és műszaki elemzés

Az EKG pulzus, biomarkerek és spektrum feldolgozása.

BioCoherence biomarkereit kizárólag matematikai műveletek által építi fel a nyers rögzített EKG pulzuson.

- Ebben a modulban hozzáférhet a nyers rögzítéshez, kikapcsolhatja a ütéseket, ha mérés hibák történtek (az alkalmazás automatikusan kikapcsolja a ütéseket egy automatikus minőség észlelési algoritmus alapján) és dolgozhat időbeli eseményeken.
- Megtekintheti az 1., 2. és 3. rendű információkat a biomarkerekről, és böngészheti azokat kategória szerint (több mint 1400 biomarker van...).

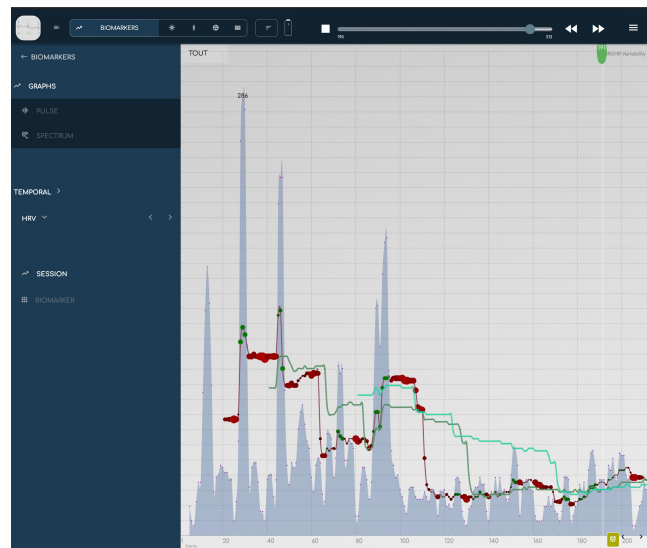
1.1. Időgrafikon modul



Nézd meg, hogyan fejlődik egy biomarker az idő és a kezelések során.

BioCoherence a biomarkerekkel nagyon dinamikus módon működik, értékelve azok evolúcióját több időkereten át és összehasonlítva azokat az időkeretek során.

- Ennek a grafikonnak minden biomarkere a ütés szintjén van ábrázolva, összehasonlítva a rövidtávú, középtávú és hosszantávú mozgó átlagokkal.
- Beléphetsz a felvételbe a felső görgővel (nyomod meg a Lejátszás gombot az megtekintéséhez; nyomd meg a Megállítás gombot az ülések összehasonlításához). A grafikonban is rákattinthsz az aktuális jelölő mozgatásához.
- Megváltoztathatod a nagyítási skálát a bal felső tartomány választóval.
- Ezen a modulon történetekkel is dolgozhatsz: az események a grafikon alján vannak megjelenítve. Esemény létrehozásához vagy szerkesztéséhez kattints a grafikon alján lévő gombra.

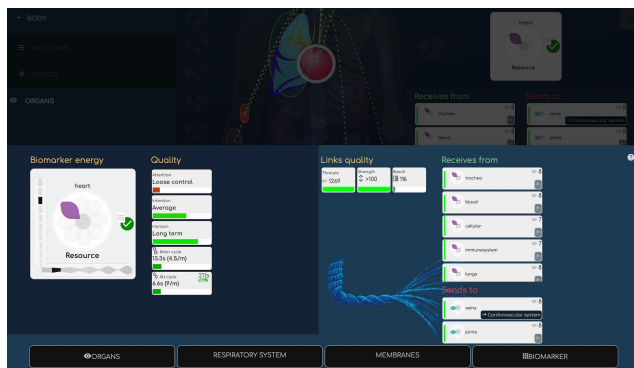


1.2. Biomarker modul

Egy mély merülés a biomarker széles információiba.

Minden biomarker egy kattintásnyira van a Biomarker paneltől, amely tömör és kényelmes módon mutatja az összes információt a dinamikájáról.

- A fő információ a biomarker **virág**, amely lehetővé teszi a fő minőség azonnali értékelését. A Virág a fő energia és a fő entrópia (vagy agitatív) kompozitja. Kilenc különböző szírom van, és mindegyikhez egyszerű szó tartozik az alapvető minőség megértéséhez.
- A dinamikai minőségek a második oszlopban vannak megjelenítve. **Figyelem, szándék és horizont** információk a hosszú távú dinamikájáról.
- A fő ciklus és az alternatív ciklus is megjelenik ebben az oszlopban. Ez a biomarker fő légzése. A ciklus időtartamát (másodpercekben) és periódusát (per percben) mutatja. Ha a ciklus megegyezik egy integer Elfie értékkel¹, amely egy jó energia implózióval történő rezonanciát jelez, akkor az Elfie táblázatra mutató link kiemelésre kerül.
- A **linkek** panel más biomarkerekkel (itt, más szervekkel) való kapcsolatokat mutat. A linkek minősége a fő kötelek (a szálak a linkek számát jelentik, az erősség pedig a szilárdságukat, a Reach pedig azt jelzi hány biomarker van a családban összekapcsolva ezzel azzal). Fogadja a más biomarkerektől, és küld másoknak, felsorolja a további biomarkereket. Egy rákattintás megnyitja azok információs oldalát.
- Az alján a Térképek és Grafikonok gombok közvetlen hozzáférést biztosítanak a releváns oldalakhoz.



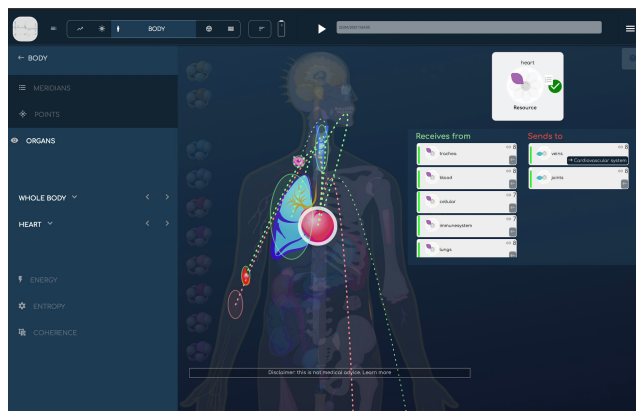
1. <https://elfie.link>

2. Scan: szervtérképek

Tucatnyi exkluzív, gyönyörűen megrajzolt testtérkép készült a BioCoherence számára, hogy a navigáció és a linkek könnyen láthatók és érthetők legyenek.

A közel 500 biomarkerrel a szervrendszerekhez, szervekhez vagy szervi részekhez dedikálva, úgy éreztük, hogy mindent térképre kell rajzolnunk ahhoz, hogy értelmet nyerjünk belőle.

- egy tucat gyönyörűen készített térkép általános áttekintéshez vagy részletesebben a Fogakra, Csigolyákra, Idegekre, Agyra...
- A BioCoherence alapvető funkciói közé tartozik a 3 rendű információ **linkek a biomarkerek között**. Minden térkép gyönyörűen kiemeli a linkeket a térképen lévő szervek között, vagy linkeket egy kattintással más térképeken lévő szervekre.
- A vizuális linkek és a két oszlop lehetővé teszi a más szervekkel való energetikai kapcsolatok azonnali értékelését (fogad vagy küld feléjük)
- A baloldali választó felsorolja az összes szervezetet ezen a térképen, a biomarker értékelésükkel együtt.



Modul megnyitása

Ha rákattint a "Test" majd az "szervek" gombra, a modul megnyílik a test általános áttekintésével together, beleértve a legfontosabb biomarkerek választékát: fő szervek, fő hormonok, a mozgásszervi rendszer főbb részei, vér, sejtek.

Ha rákattint egy szervre, vagy kiválasztja a menüből, körülötte egy fehér fény lesz, és a legfontosabb linkek a további szervekkel ezen a képernyőn megjelennek (vörös körbe rajzolva ha energiát kap a kiválasztott szervtől, és zölden ha energiát küld felé).

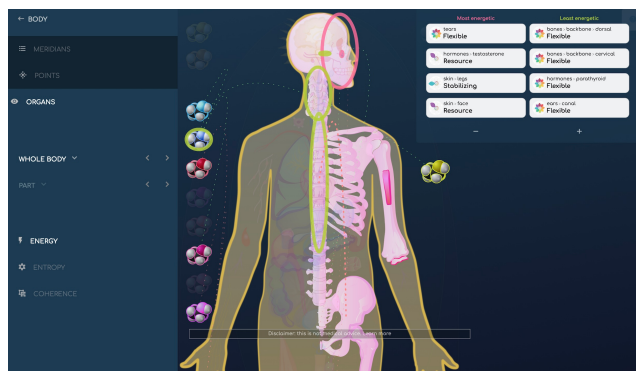
Ha linkek léteznek más szervi térképeken részletesen ismertetett szervekkel, azokat az a térkép nevével azonosítják fekete háttérrel; rákattintva megnyílik az a részletes térkép.

2.1. Figyelemre méltó okok: energia

Azonnal kiemeli a legergetikusabb és legkevésbé energikus részeket

Minden testtérképnek van Energiái, Entrópiái és Koherencia almenüje, a térkép menü és a részek menüje alatt.

- Az **Energia** modul megjeleníti ennek a térképnek a legkevésbé és legjobban energikus elemeit, valamint a kapcsolati linkeiket. Megváltoztathatja az elemek számát a listán alatt lévő + - gombokkal, és bármelyik biomarkerre kattintva megjelenítheti az információit.



2.2. Kiemelkedő okok: entrópia

Azonnal kiemeli a legnyugtalanabb és a legstabilabb részeket

Minden testtérképnek van egy Energia, Entrópia és Koherencia almenüje, alatta a térkép menü és a részek menüje.

- Az **Entrópia** modul megmutatja ennek a térképnek a legagitatóbb és legstabilabb elemeit, valamint a közöttük lévő kapcsolati linkeket. Az elemek számát meg változtathatja a lista alatti és - gombokra kattintva, és bármelyik biomarkerre kattintva megtekintheti a hozzá tartozó információt.



2.3. Figyelemre méltó rendszerek: koherencia

Azonnal kiemeli azokat a rendszereket, amelyek a legjobban rezegnek együtt.

Minden testtérképnek van egy Energia, Entrópia és Koherencia almenüje, az alábbiakban a térkép menü és a részek menüje alatt.

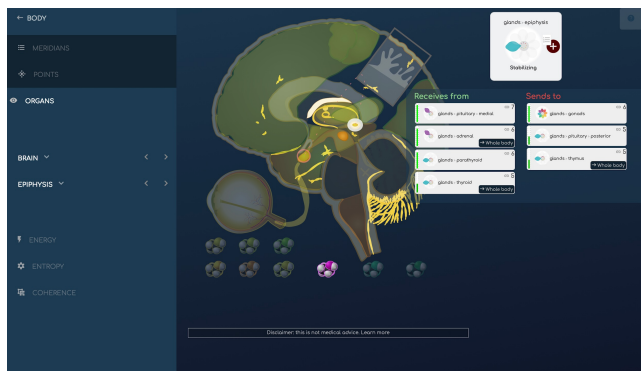
- A **Koherencia** modul megmutatja azokat a rendszereket, amelyek a legjobban fázisban vannak egymással, amelyek együtt rezonálnak, valamint a kapcsolati linkjeiket. Kattinthatsz bármelyik biomarkerre az információjának megjelenítéséhez.



2.4. Agy

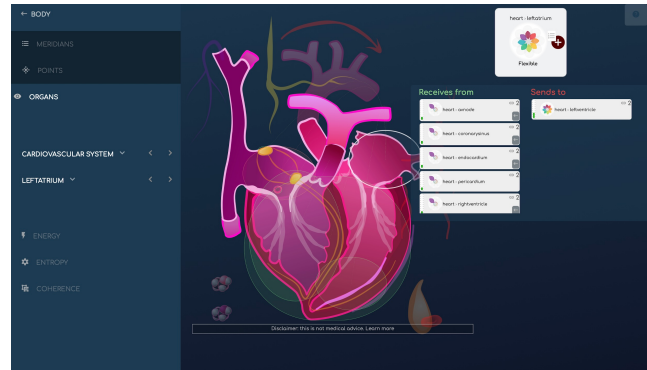
Az agy összetevői közötti kapcsolatok, és a hozzájuk kapcsolódó hormonok grafikus kiemelése itt látható; szintén lehetséges megjeleníteni a legszembetűnőbbeket energetikai szempontból, a nyugtalanabbakat és azokat, amelyek koherenciában vannak.

Ehhez a térképhez hozzáadtuk a szemet és annak összetevőit is.



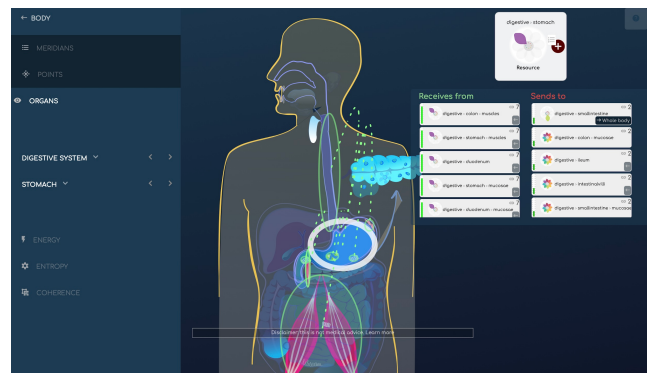
2.5. Szív- és érrendszer

A kardiovaszkuláris rendszer elemei közötti kapcsolatok grafikus kiemelése itt látható; lehetséges továbbá az energetikai szempontból legjelentősebb, leginkább vagy legkevésbé izgatott, valamint a koherenciában lévő elemek megjelenítése is. A kardiovaszkuláris rendszer anatómiai táblája magában foglalja a szívet és annak minden részletét, a vérkeringést (vénák, artériák... beleértve a vérkeringést és a vérnyomás szimpatikus szabályozását), a vért (plazma, hemoglobin) és a hormonokat (adrenalin és noradrenalin).



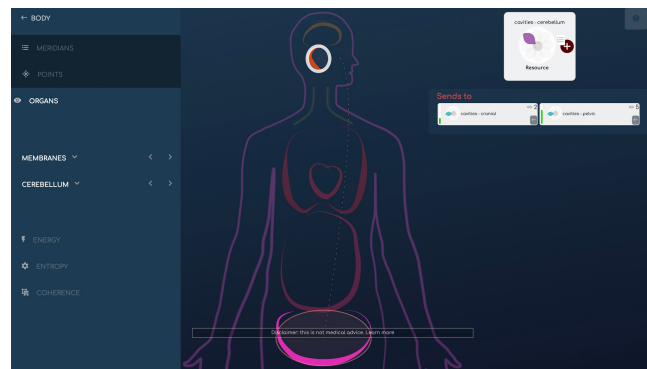
2.6. Emésztőrendszer

A links between the elements of the digestive system, from mouth to anus, are graphically highlighted here; it's also possible to display the most notable from an energetic point of view, the most or least agitated, and those in coherence.



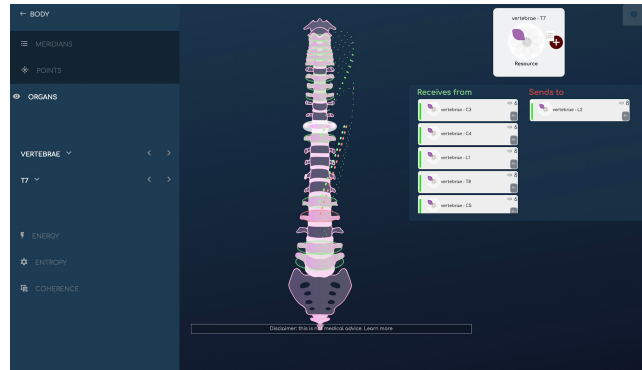
2.7. Membránok

A membránok anatómiai elrendezése egy kicsit szokatlan; ki akartuk emelni a rezonancia összeköttetéseket ezek között a nagy üregek között. Ezek valójában fontos részét képezik az egészséges egyensúlynak holisztikus szempontból, amit általában kevésbé vesznek figyelembe. Félglobális olvasási szintet biztosítanak, és szintén fontosak a prologikus értelmezés szempontjából.



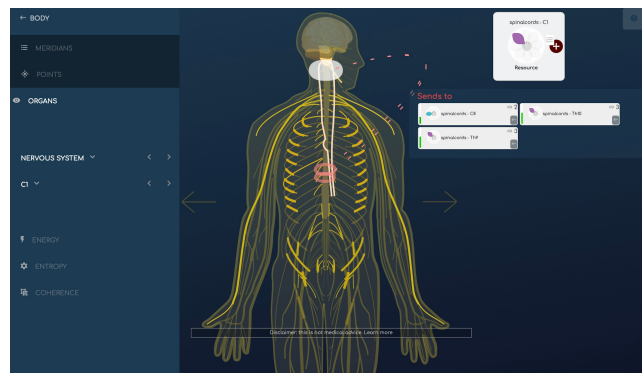
2.8. Csigolyák

A csigolyák közötti kapcsolatok grafikus kiemelése itt látható; lehetőség van arra is, hogy megjelenítsük azokat, amelyek energetikai szempontból a legfigyelemreméltóbbak, azokat, amelyek többé-kevésbé izgatottak, és azokat, amelyek koherensek.



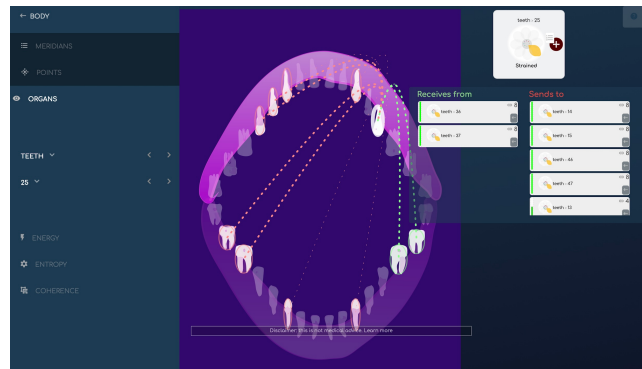
2.9. Idegrendszer

A nervrendszer elemei közötti kapcsolatokat grafikus kiemelve itt; az is lehetséges megjeleníteni a legjelentősebb elemeket energetikai szempontból, a többé-kevésbé izgatott állapotokat, valamint azokat is, amelyek koherenciában vannak. A nervrendszer tartalmazza az agyat és az agy részleteit, a idegeket és bizonyos idegek részleteit, valamint az gerincvelőhöz kapcsolódó idegeket.



2.10. Fogak

A fogak és inyek közötti kapcsolatok grafikus kiemelésre kerülnek itt; lehetőség van továbbá a legergetikusabb fogak, azok a fogak megjelenítésére, amelyek többé vagy kevésbé izgatottak, valamint azoké is, amelyek koherenciában vannak.



2.11. Mozgásszervi rendszer

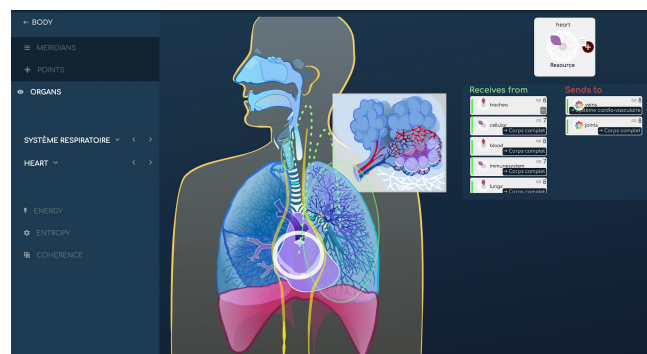
A mozgásrendszer elemei közötti kapcsolatok (csontok, izmok, de hormonok és néhány szerv is) itt grafikus formában kiemelésre kerülnek; lehetséges a legjelentősebbek energetikai szempontból való megjelenítése, a leginkább vagy kevésbé nyugtalan, valamint azok, amelyek összhangban vannak.

A minden egyes anatómiai lapon végrehajtott kiválasztások célja a releváns kapcsolatok kiemelése az elemek között. Ezen a képernyőn, a gerinc, csontvelő, váz, porc, izmok, fascia és kalcium anyagcsere részei mellett, érdekes hormonokat és szerveket adtunk hozzá, mint például mellékpajzsmirigy, hdh vagy noradrenalin, haj, bőr és fogak.



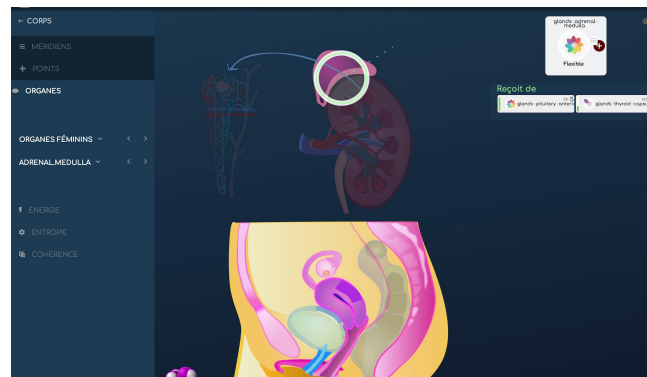
2.12. Légzőrendszer

A légzőrendszer elemei közötti kapcsolatok grafikus kiemelése itt található; szintén lehetséges megjeleníteni a legfigyelemreméltóbbakat energetikai szempontból, a többé-kevésbé izgatottakat, és azokat, amelyek koherenciában vannak. Ezen a képernyőn megtaláljuk az orrmelléküregeket, a hallójáratokat és a szívet.



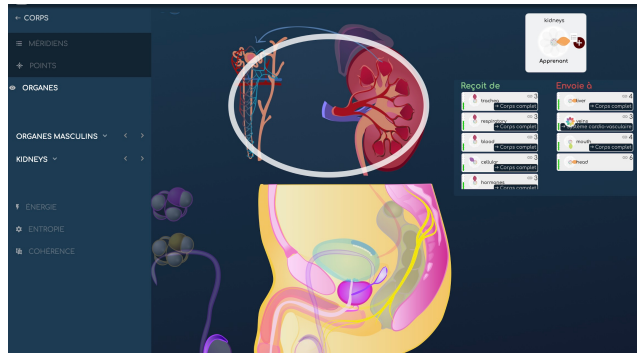
2.13. Női genitáliák

A női genitáliák és a kapcsolódó szervek (vesék, hólyag, keresztcsont, mellékvese, és kapcsolódó hormonok, mint például a pregnenolon...) közötti kapcsolatok itt grafikai formában kiemelésre kerülnek; szintén lehetőség van arra, hogy az energetikai szempontból legjelentősebbeket, azokat, amelyek többé-kevésbé izgatottak, és azokat, amelyek összhangban vannak, megjelenítsük.



2.14. Férfi genitáliák

A férfi genitália és a kapcsolódó szervek (vese, húgyhólyag, keresztcsont, mellékvese és a kapcsolódó hormonok, mint például a tesztoszteron, dhea, hgh...) közötti kapcsolatok itt grafikus formában vannak kiemelve; szintén lehetséges megjeleníteni a legszembetűnőbbeket energetikai szempontból, a nyugtalanabbakat és azokat, amelyek összhangban vannak.



3. Scan: TCM meridiánok, pontok és receptek

Meridiánok, akupunktúrás pontok, TCM receptek

A 5000 éve az energetikai értékelés mesterei, a Hagyományos Kínai Orvoslás széles körben alkalmazott és drámaian kiterjesztett a BioCoherence-ben.

- **Meridiánok** 12 vagy 20 részre vannak felosztva. A test fő energia csatornáit, a grafikon mutatja a kapcsolataikat, és a térkép, az útvonalukat.
- **Akupunktúrás pontok** dinamikusan animálva vannak a térképen. Több mint 350 pontot számítanak ki exkluzív algoritmusunkkal.
- **Receptek** hagyományos módjai az energetikai problémák kezelésének, a TCM módja. Drámaian kiterjesztettük ezt az elvet, hogy kiszámítsuk a receptek energiáját, entrópiáját és koherenciáját, hogy felmérjük azok hasznosságát a jelenlegi értékelésben, így jelezve lehetséges szükségletüket - egy olyan értékelési forma, amely segíthet a problémák diagnosztizálásában.



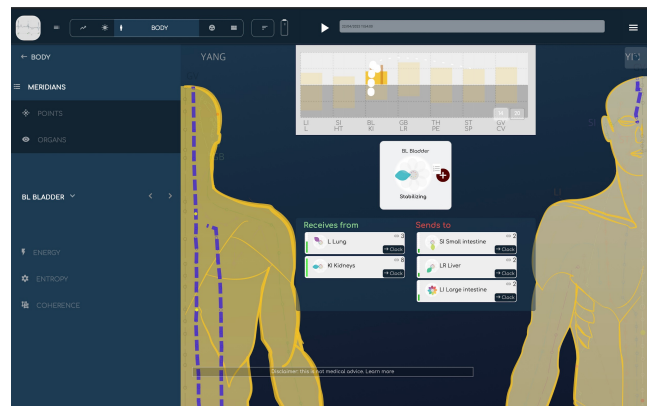
3.1. Hólyag meridián linkekkel

Kattintson egy meridiánra az információk megtekintéséhez.

Amikor rákattint egy meridiánra, a grafikon mutatni fogja a kapcsolatait más meridiánokkal, a biomarker megmutatja fő tulajdonságát, és a kapcsolatok más meridiánokkal (kap tőle, vagy küld neki) meg lesznek jelenítve.

- Bőngészheted a meridiánokat a baloldali menüvel, és megmutathatod az összes meridiánt biomarkerükkel a legördülő menüben.

3.2. Meridiánok energia szerint, a gyakori kapcsolódó problémákkal



Az energetikai legjobbak és legrosszabbak azonosítása egy kattintással

A **energia** menü közvetlenül a legenergetikusabb és a legkevésbé energetikus meridiánokat mutatja, amelyek segíthetnek a problémák azonosításában.

- A meridiánra kattintva további következtetések jelennek meg, amelyek a meridián aktuális energetikai állapotához kapcsolódnak, valamint a lehetséges állapotokhoz, amikor más meridiánok állapotával összefüggésbe hozzuk, a TCM ismeretei szerint.

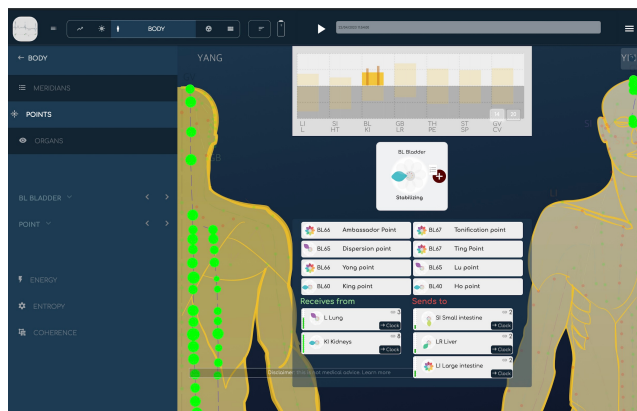


3.3. TCM Pontok

Több mint 350 pontot számítanak ki

A **Pontok** modul mutatja a TCM akupunktúrás pontokat.

- Kattintson egy meridiánra az összes pont megtekintéséhez ebben a meridiánban, valamint a meridián fontos pontjairól szóló hagyományos információk megjelenítéséhez.
- Kattintson egy pontra az biomarkerének megtekintéséhez.

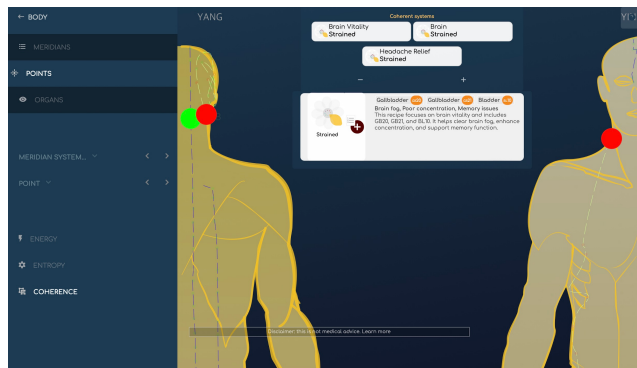


3.4. TCM Receptek, a koherencia által

A koherencia egy mód az ételek megjelenítésére, amelyek teljesen fázisban vannak.

Visszafejtettük az akupunktúrás recepteket, hogy értékelő eszközzé alakítsuk őket.

- Ha rákattint a **Koherencia**-ra, azokat a recepteket mutatjuk, amelyek pontjai teljesen egy fázisban vannak (ez azt jelenti, hogy a pontjaik együtt rezegnek és együtt mozognak, mint egyetlen pont). Kattintson egy receptre, hogy megtekintse a pontokat a térképen és útmutatást kapjon. Amikor prioritásokhoz adják, a receptet a Felszínhez használják, hogy segítsen újra kiegyensúlyozni hatásait.



4. Scan: Az Energia modulok

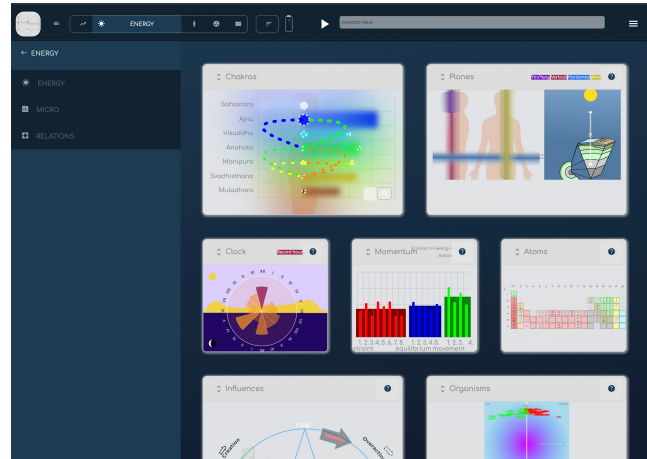
Minden, amire szüksége van az energetikai szint felméréséhez

Ezek a grafikonok lehetővé teszik, hogy olyan információkat lássunk, mint a csakrák, az óra, a síkok, a mozgás, az atomok, a hatások és az organizmusok.

4.1. Ayurvéda: Dosák és al-dosák

A test a test energiájának ayurvédikus értékelése.

Az ayurvédikus szakemberek tudják, hogyan kell dolgozni a test energetikai alkotmányával. A három fő alkotmány a Vata, Pitta és Kapha, mindegyik 5 al-dosával. Egy BioCoherence elemzés során láthatja, hogy minden dosha és al-dosha hogyan mozog, amikor a időkurzort mozgatja, mert mindezek a rendszerek dinamikusak. Az, ahogyan mozognak, része értékelésünknek.

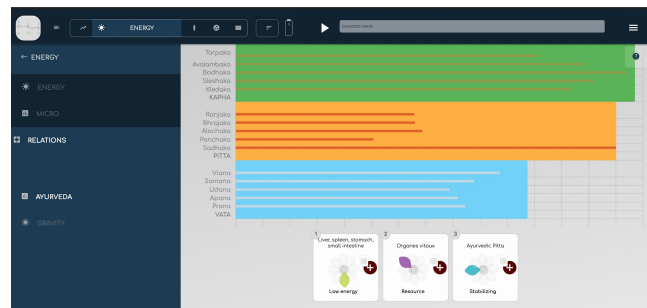


4.2. Energia grafikonok: csakrák, síkok, óra és lendület

A test fő energetikai motorjai

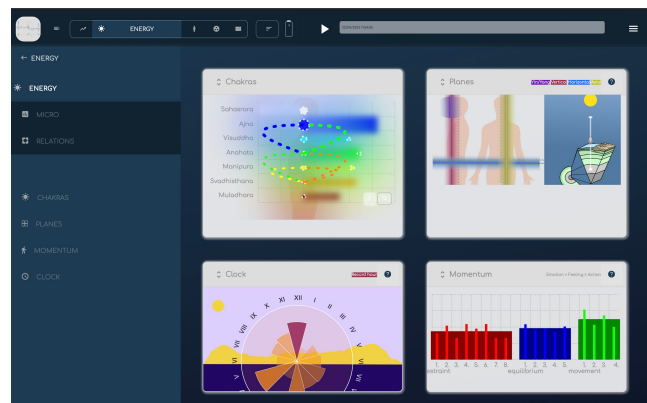
Ezek a 4 grafikon lehetővé teszi a test fő funkcióinak megfelelő energetikai értékelését.

- **Csakrák** megjeleníthetik a 7 vagy 12 csakrát, globális aurájukat, valamint a közöttük lévő kapcsolatokat.
- **Síkok** kiemeli a test fő energetikai egyensúlyait: a vízszintes, függőleges és axiális síkokat, valamint a kapcsolatot a mély földi mezővel és a mennyei mezővel.
- **Óra** mutatja a meridiánok és fő működési óráik közötti kapcsolatot, együtt a rögzítési idővel, hogy értékeljük a megfelelő időbeli illeszkedést.
- **Impulzus** egy grafikon, amelyet arra hoztunk létre, hogy bemutassuk a 3 fő tehetetlenséget és azok összetevőit: azok, akik korlátozások, azok, akik egyensúlyoznak és azok, akik segítik a mozgást.



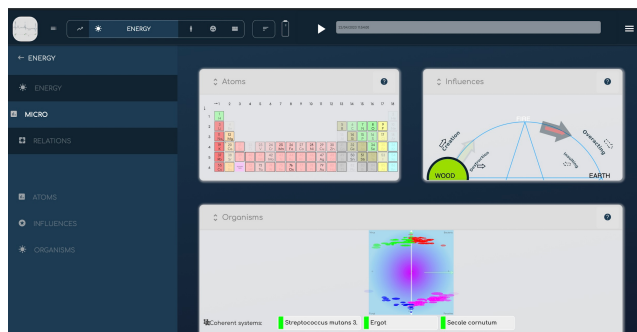
4.3. Energia grafikonok: a mikro világ

Nagyon kicsi, de nagyon hasznos



Ez 3 grafikon mutatja azokat a mikroelemeket, amelyek hatással lehetnek a globális rendszerre.

- **Atomok** mutatja a periodikus rendszert és az elemek közötti rezonanciákat.
- **Hatások** a TCM 5 elem csillag, amelynek megfelelő építő vagy romboló hatásait számolták ki és emelték ki nyilakkal.
- **Organizmusok** a 200 külső organizmus (vírusok, baktériumok, gombák és paraziták) értékelése és megfelelő kapcsolataik.

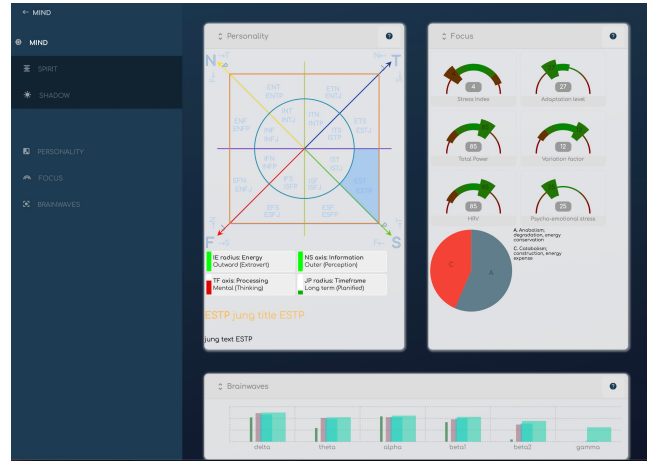


5. Scan: az Elme modul

Elme, lélek és árnyék a modul középpontjában áll.

Több mint 300 biomarkerrel, amelyek a gondolatainkban zajló eseményekre vonatkoznak, a Mind modul célja, hogy kényelmes módon rendszerezze a méréseiket.

- **Elme** a személyiséget, a fókuszot és az agyhullámokat célozza meg.
- **Személyiség** rekonstruálja a Jung-féle személyiségtypust (amelyet később a Myers Briggs vagy MBTI néven népszerűsítettek). Ehhez a képernyőhöz létrehoztunk egy egyedi, új logikai vizualizációt, amely 4 tengelyre alapozva készült, amelyeket a személyiségértékelés során fedeztünk fel.
- **Fókusz** a hagyományos HRV tudományos mutatóit és egy konstruktív/romboló egyensúlyt vizualizáló eszközt egyesíti.
- **Agyhullámok?** Igen, érzékelőnk képes olvasni akár 64Hz-ig a teljes test elektromosságát, nemcsak a szívét. Egy algoritmust terveztünk, hogy kiemeljük az agyhullámok speciális információit, hogy érzékeljük az elme legaktívabb fókuszállapotait.

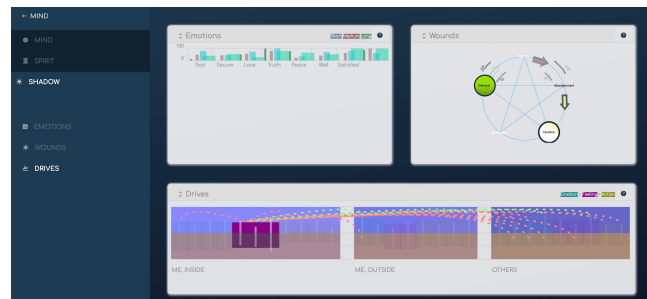


5.1. A shadow modul

Érzelmek, sebek és hajtások

A shadow, vagy a tudattalan, az magának a viselkedésünknek egy elválaszthatatlan része.

- **Emóciók** a EKG fő ritmusainak alapján nyerhetők ki.
- **Sebek** a TCM hatásaihoz kapcsolódnak. Az 5 seb (vagy 8 seb, ahogy eredetileg tervezték) 20 éve népszerű használatban van. A BioCoherence, mi kiterjesztjük jelentésüket azzal, hogy hozzáadjuk a maguk építő vagy pusztító kapcsolatait.
- **Drívok** egy teljesen új módszere az emóciók értelmes szervezésének.



5.2. Shadow: meghajtók

Egy új módja az érzelmek rendszerezésének.

Drives egy teljesen új módszer az érzelmek jelentőségteljes szervezésére 28 ellentétes csoportba rendezve, rendezett formában 3 főcsoportba (BENT Én, KÍVÜL Én és MÁSOK), melyek mindegyike 3 alcsoportot tartalmaz (Érzelem, Érzés, Cselekvés).

- **BENT Én** az okat az érzelmeket célzóan kezeli, amelyek a belső működésekre vonatkoznak.
- **KÍVÜL Én** az okat az érzelmeket célzóan kezeli, amelyek a belső működéseimet összekapcsolják azzal, ami körülöttem történik.
- **MÁSOK** az okat az érzelmeket célzóan kezeli, amelyek más emberekkel kapcsolatosak körülöttem.
- **Érzelem** az eredetük gyökere.
- **Érzés** az az értelmezés ahogyan én ezeket látom.
- **Cselekvés** az amit én velük teszek.



Meditációs technikák alkalmazásával, mint például a megfigyelő elme, jobban megérthetjük az érzések kifejezését és hatásait a felmerülő érzelmekre.

Az érzelmek közötti rezonancia kapcsolatok, amelyek akkor jelentkeznek amikor rákattintasz a grafikonra, szintén segíthetnek megérteni mi történik.

5.3. A Lélek modul

Zene és skála illesztés

A szellem az a rész bennünket jelenti, ami túllép a tér és idő határain.

- **Muzika** a fő frekvenciák olvasata az EKG-n rengeteg zenei elmélettel párosítva. A skálák és a fő akkordok számítása rövidtávon (egy ütem), középtávon (2 ütem), hosszú távon (3 ütem) és nagyon hosszú távon (4 ütem) történik. Ezeket használják az egyedi meditáció készítésekor, hogy zenében elvigyenek onnan, ahol vagy, oda, ahová juthatsz.
- **Összhang** Dan Winter egyenletén és Elfie egész értékeken alapszik.
- in Összhangban, **Fókuszált koherencia** az az, amit Dan szerint a "Valódi Szív Koherencia"-nak hívnak: számítja a fókusz mennyiségét a cepstrum (2.% 20rend FFT) vagy, egyszerűbben fogalmazva, számítja hogy mennyire vannak a globális frekvenciák az EKG-n **muzikálisan** harmóniában és fázisban egymással.
- in Összhangban, **Valódi Szív Koherencia** ugyanazt számítja de azokhoz a frekvenciákhoz, amelyek a képlet szerint többszörösek az arany arány alapján.
-
- in Összhangban, **Beágyazott implózió %** megmutatja a frekvenciák azon részét, amelyek közel vannak az egész Elfie értékekhez, ezáltal jelezve a jelenleg a legjobb energia implózió ciklusban beágyazott energia mennyiségét.



6. A Balance modulok

Prioritások, források, jelentések és irányított meditációk.

A Balance egy eszközugytemény a maximális minőség eléréséhez.

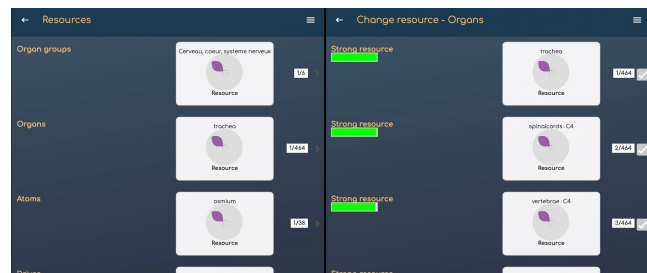
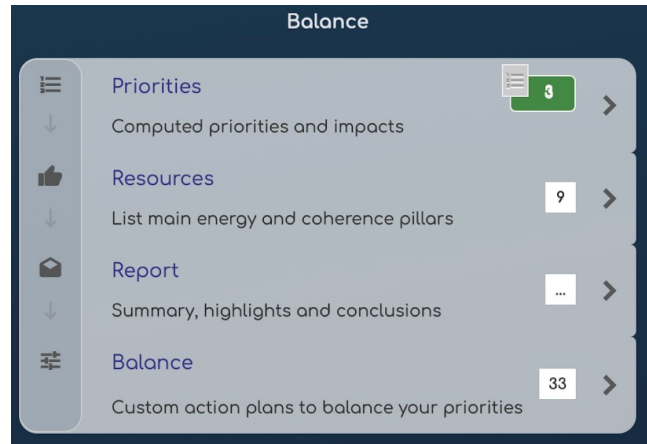
- **Prioritások** azok a dolgok, amelyek most figyelmet igényelnek.
- **Resszurok** azok a dolgok, amelyekre megbízhatóan építhetsz.
- **Jelentés** ez egy PDF dokumentum az elemzés minden fontos részéről.
- **Balance** az irányított meditációk, frekvenciák, binaurális ütések és újraértékelések generálása, mindez valós időben optimalizálva biofeedback által.

6.1. Források

Az erőforrások ereje: már a tiéd és már rendelkezésre állnak a segítségedre

Az erőforrások a fő pillérek, a fő energia hajtóművek ennek a felvételnek. A Balance modul főleg az erőforrásokra épül, hogy releváns frekvenciákat, binaurális ütemeket és audio útmutató hangokat válasszon, hogy energiát építsen fel, mielőtt a prioritásokon dolgozna.

- Az erőforrások automatikusan azonosítva vannak, de szükség esetén megváltoztathatók. Az erőforrás megváltoztatásához kattintson rá, és válasszon egy másikat a legfontosabb erőforrások közül ebben a kategóriában.

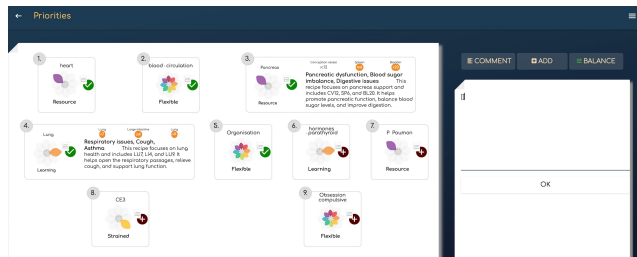


6.2. Prioritások

Mi szükséges figyelmemre.

A prioritások olyan biomarkerek, amelyek figyelmet igényelnek. Ezek automatikusan kiszámításra kerülnek egy felvétel után, de teljes mértékben a felhasználón múlik, hogy hozzáadjon vagy eltávolítson prioritásokat.

- A prioritások bármely biomarker virágból, bármely oldalon, vagy a Prioritások modulban hozzáadhatók vagy eltávolíthatók. Csak kattintson a gombra!
- A prioritások alatt a **Megjegyzés** gomb lehetővé teszi a felhasználó számára, hogy bármilyen szöveget hozzáadjon.
- A **Hozzáadás** gomb egy listát jelenít meg a releváns további prioritásokról, amelyek közül választhat, ha szükséges, a Szervrendszerek, Akupunktúra meridiánok, Meridián pontok, TCM Receptek, Csakrák, Hajtások, Momentum... közül.



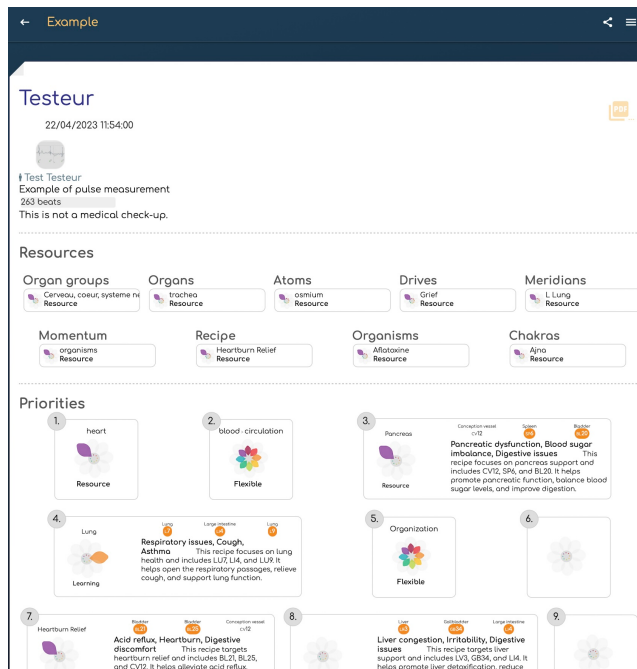
6.3. PDF Jelentés

1-kattintásos exportálás minden fontos információról PDF-ként

A PDF jelentés nyomtatható, menthető vagy 1 kattintással elküldhető. Tartalmazza:

- Ügyfél információk
- Felvételi információk
- Megjegyzések
- Részek és ülések
- Erőforrások és prioritások
- Fő meridiánok (energia, entrópia, koherencia)
- Fő szervek (energia, entrópia, koherencia)
- Fő MTC receptek (energia, entrópia, koherencia)

Személyre szabható a Pro által.



6.4. Egyensúly: a személyre szabott meditáció

Most itt az ideje a cselekvésnek.

A Balance egy teljes modul a sajátos meditációk létrehozásához.

- A felhasználó választhat egy stílust, amellyel azonosul, ami kártyákat fog választani különböző vezetett meditációs sorozatokból.
- Az ajánlott minden nap újraértékelni, mielőtt új meditációt kezdenénk: minden biomarker fejlődni fog és a meditáció újraszámításra kerül ennek megfelelően.
- Az extra eszköz a **time Cristal melter** amely körülbelül egész számú idő-Elfie értékek köré lesz számítva és emlékezteti a felhasználót a döntésekre és a folyamatban lévő munkákra megfelelő pillanatokban. Gondoljunk rá mint mikro-meditációkra, 5 és 30 másodperc önmagunknak meghatározott időcsomópontokban. A cél a szokások idő Cristaljának feloldása és az egész rendszer újraprogramozása 21 nap alatt.

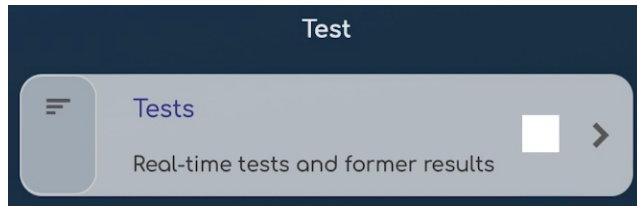


7. A teszt modulok

A biofeedback használata bármilyen információ valós idejű értékelésének megkapására

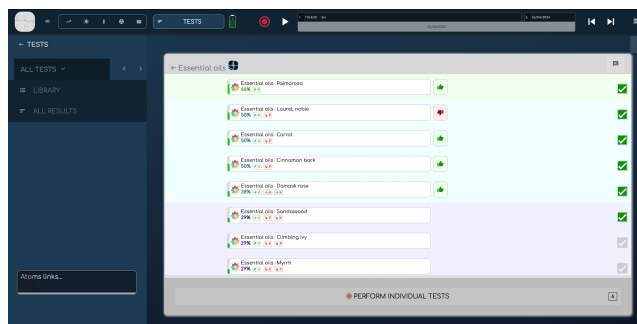
Tesztek egy egyedi módja bármilyen információ értékelésének.

- Valós idejű biofeedback használatával a tesztek egyedi értékelések a kompatibilitásról.
- A teszt elemek listából áll. Minden elem előre számítható egy szkennelés alapján, és élőben tesztelhető a test reakciójával az információjára.



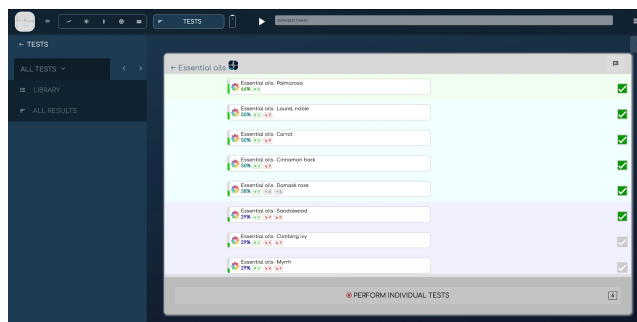
7.1. Egy teszt lista egy élő értékelés után

A élő értékelés után láthatja a 2 információt a listán: az automatikus előértékelést (ha van), amely a biomarker szükségletein alapszik és a listában szereplő minden elem meghatározott hatása; valamint a biofeedback választ, amely egy felnyújtott ujját vagy lefelé mutató ujját jelent, amely a szervezet szomatikus válaszáan alapszik a teszt során.



7.2. A teszt lista

A teszt egy elemek listájából áll, amelyeket értékelni és rendezni kell.



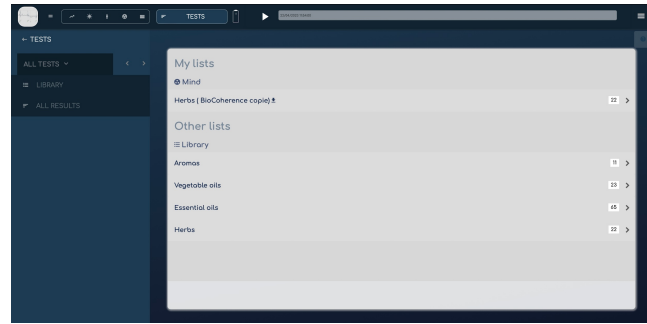
7.3. Teszt listák

Keresés, szerkesztés, megosztás és tesztek kiválasztása

A Tests egy nyílt platform, ahol a készítők létrehozhatják és megoszthatják listáikat. Kulcsszavak, készítő vagy teszt típus alapján kereshet, megismételheti a meglévő teszteket, hogy sajátját építse fel, és egy kattintással megjelenítheti az aktuális jelentés minden tesztelt eredményét.

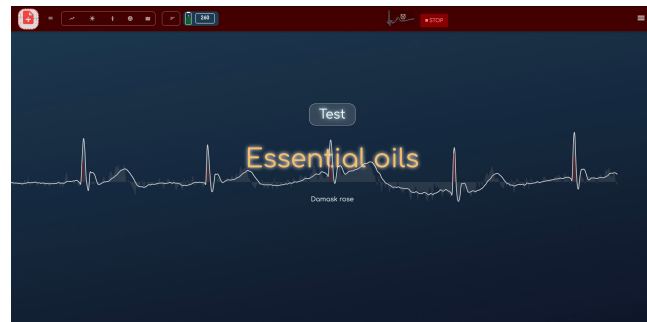
7.4. teszt: biofeedback élő értékelés

A teszt elindításakor információk küldésre kerülnek a felhasználónak, és a szomatikus válasz kiértékelésre kerül.



7.5. tesztek: szerkesztés

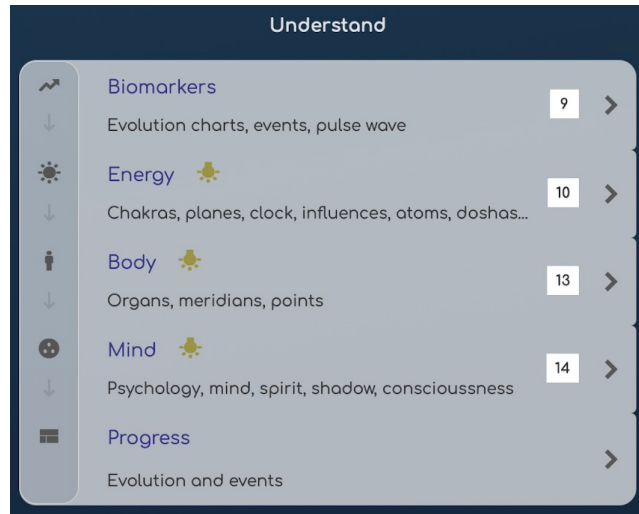
Bármely pro létrehozhat teszteket saját maga számára vagy későbbi megosztásra. A tesztlistában minden elem esetében megadható a biomarkerekre vonatkozó akció automatikus értékeléshez, vagy bármilyen típusú információ hozzáadható biofeedback értékeléshez.



8. A megértés modulok

A vizsgálati eredmények ezen a modulon belül jelennek meg.

Nézd meg a különböző Scan fejezeteket további részletekért.



3.2.

Detailed guide

Ez a kézikönyv a program minden szempontját áttekinti, és minden fejezet képernyőképekkel és videókkal illusztrálva van, hogy segítsen megérteni, hogyan használhatja a legjobban.

Ahhoz, hogy hozzáférjen a videókhoz és a fórumhoz fejezetenként, látogasson el a biocoherence.net/tutorials

Contenido

9.	Bevezetés	39
9.1.	A szoftver felhasználói felületének áttekintése.....	39
9.2.	Nyisson meg egy jelentést.....	40
9.3.	Felvétel érzékelővel.....	42
9.4.	Ügyfélkezelés.....	42
9.5.	Több részes jelentés.....	44
10.	Megérteni: Biomarkerek	45
10.1.	Biomarkerek részletesen.....	45
10.2.	Pulzushullám szerkesztése és ellenőrzése (nyers felvétel).....	47
10.3.	A biomarkerek változásának figyelése az ülések során.....	47
10.4.	Frekvencia és Harmonikus Elemzés.....	47
10.5.	A kauzális lánc.....	48
10.6.	Előfordulás.....	51
10.7.	Poligráf.....	51
11.	Megérteni: Energia	52
11.1.	Atomok.....	52
11.2.	Ayurvédikus Energia Értékelés.....	52
11.3.	Csakra Vizualizáció.....	53
11.4.	Hatások.....	54
11.5.	Impulzus.....	54
12.	Értsd: Test	56
12.1.	TCM meridiánok.....	56
12.2.	Szerve térképek.....	57
12.3.	Akupunktúrás pontok.....	58
13.	Értsd: Elme	59
13.1.	Igazítás.....	59
13.2.	Agyhullámok.....	59
13.3.	Meghajtók.....	60
13.4.	Érzelmek.....	62
13.5.	Fókusz.....	62
13.6.	Zene.....	63
13.7.	A 2016 személyiségtípusok.....	64
13.8.	Az 5 seb.....	65
14.	Teszt	67
14.1.	Teszt listák.....	67
15.	AI a BioCoherence-ben	71
15.1.	AI Segítők.....	71
16.	Egyensúly	73
16.1.	Prioritások.....	73
16.2.	Erőforrások.....	74
16.3.	PDF jelentés.....	75
16.4.	Egyensúly: Meditációk, hangok és eszközök.....	76
16.5.	Harmonikus Fokozás.....	79

9. Bevezetés

A útmutató általános bemutatása

Ebben a bevezetésben azt nézzük meg, hogyan lehet megnyitni egy meglévő jelentést, importálni egy EKG-t az Egészségből, vagy létrehozni egy új jelentést a Szenzorral való rögzítéssel. A program kezdeti koncepcióit is áttekintjük.

9.1. A szoftver felhasználói felületének áttekintése

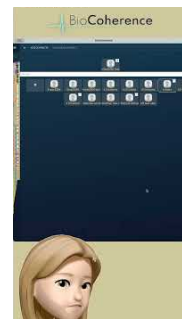
Felület számítógépen, táblagépen vagy okostelefonon; fórumok, kontextusfüggő kézikönyv hozzáférés és kontextusfüggő segítségkérés.

Amikor megnyit egy jelentést a felvétel után, számos felhasználói felület elem segít navigálni és hatékonyan elemezni az adatokat.

Az felhasználói felület felső részén egy menüt talál, amely hozzáférést biztosít a jelentés különböző részeihez. A navigációs sáv lehetővé teszi az előre és vissza mozgást a felvételen belül. A főmenü több szekcióra van osztva. A összefoglalóra való visszatéréshez egyszerűen kattintson a megadott gombra.

A főbb szekciók a következők:

- **Scan elemzés:** Ez a szekció különböző képernyőket mutat, mint a test, energia, biomarker technikai elemzés, elme elemzés és a felvételek előrehaladása.
- **Tesztek:** Jelenleg ez a szekció csak egy bejegyzést tartalmaz, de több opciót fognak hozzáadni. Ez tartalmazza a listás teszteket, a frekvencia teszteket és a valós idős teszteket.
- **Szenzor kapcsolatok:** A akkumulátor ikonra kattintva Bluetooth kapcsolatot kezdeményezhet a szenzorokkal és közvetlenül elkezdheti a felvételt.



biocoherence.net/n82.92

A felvételen belüli navigáció a képernyő felső részén számítógépen, vagy a mobiltelefon alján történhet, a képernyő méretétől függően. Navigálhat a szekciók között, mint például az előtti ülés, utáni ülés, és megtekintheti az összes cselekvést, amelyet egy konkrét ügyfélért tettek. A felhasználói felület továbbá lehetővé teszi a lépésről lépésre történő navigációt a részletes valós idejű elemzéshez.

A jelentés mentése tartalmazza az ügyfél információit, a jelentés címét és a jelentés felhőben történő mentésének lehetőségét. Ez lehetővé teszi a hozzáférést több eszközről és biztosítja az adatokat a helyi számítógéptől távol. A felvétel megkezdésekor is megváltoztathatja az ügyfelet, ha az rossz profilon történt.

A felhasználói felület felső részén található általános menü több lehetőséget kínál:

- Visszatérés a főoldalra
- Tesztlisták szerkesztése
- Kapcsolatkezelés
- Kapcsolati adatok és fiók módosítása
- Előfizetés változtatása
- Alkalmazás adatok frissítése
- Az Elfie számológép használata

Friss hírek és segítség kérésének lehetősége minden oldalról elérhető. Ha technikai probléma merül fel, beléphet az "Vélemények és javaslatok" szekcióba, kérdést tehet fel, vagy támogatási kérést küldhet képernyőkép mellékelésével.

Segítségkérések, fórumok és online kézikönyvek

Az alkalmazás továbbá kínál kontextusérzékeny segítséget és integrált videókat minden tételhez. Valahányszor látja a kérdőjel szimbólumot (?), ez megnyitja azt a kicsi segítségnyújtó szöveget. Ez a szöveg hozzáférést adhat egy videóhoz és a kézikönyv

oldalához is. Ezenkívül hozzáférést biztosít egy együttműködő fórumhoz. Ha nincs konkrét problémája, de szeretne kommentálni ebben a pillanatban, vagy ha tisztázásra van szüksége a practitioners között, akkor megnyithatja ezt az együttműködő fórumot a kérdőjelekre kattintva. Ott kérdéseket tehet fel vagy válaszolhat más felhasználók kérdéseire.

Az "Értesítések és javaslatok" funkció használata segítségkérésre

Az "Értesítések és javaslatok" funkció minden oldalról elérhető a felhasználói felületén és lehetővé teszi az segítségkérést technikai probléma esetén. Íme, hogyan használhatja hatékonyan:

1. Nyissa meg a menüt a jobb felső sarokban, és lépjen a "Értesítések és javaslatok" menübe.
2. Írja be a kérdését vagy írja le a problémáját a megadott szövegdobozba.
3. A rendszer keresni fog a tudásbázisban a kérdésére adott válaszáért.
4. Ha válasz kerül felmutatásra, az közvetlenül a képernyőn lesz megjelenítve.
5. Ha nincs válasz, támogatási kérést küldhet.

Ha támogatási kérést szeretne küldeni, két lehetősége van:

- **Készítsen képernyőképet:** Ez segít jobban megérteni, mi történik a képernyőjén. Ha készített képernyőképet, használhatja a felső eszközöket a kép annotálásához. Például körbeveheti a problémás területet és hozzáadhat egy magyarázó beszéd-buborékot.
- **Írjon egy jegyet:** Egyszerűen csak írhat egy leírást a problémájáról anélkül, hogy képernyőképet készítené.

Ha már annotálta a képernyőképet vagy megírta a leírását:

- Kattintson a "Érvényesít" gombra.
- Adjon meg egy kicsi szöveget, ha szükséges, hogy tisztázza a kezdeti keresését.
- Szerezze be az üzenetet.

A kérését ezután jegyé alakítják át minden szükséges információval, hogy a támogatási csapat a lehető legjobb módon segíthessen önnek. Mindig használja az "Értesítések és javaslatok" menüt, amikor konkrét kérdései vannak vagy problémákat kell megoldania.

Visszajelzés nyomon követése

Még az "Értesítések és javaslatok" menüben a harmadik gomb, a "Kövesse nyomon jegyeit" mindazokat a jelenlegi kéréseket megnyitja, amelyek lehetővé teszik önnek, hogy információt adjon hozzá vagy megtekintse válaszainkat.

Vissza a főoldalra

Amikor visszatér a főoldalra, az utolsó megnyitott jelentés azonnali hozzáférésre kerül. A felhasználói felület tartalmazza a scan elemzéséhez, élő teszteléshez, scan körvonalához és az eredmények megosztásának lehetőségéhez szükséges fontos szekciókat.

A felhasználói felület úgy van tervezve, hogy folyékony navigációt és átfogó eszközöket kínáljon a felvételek elemzésére és megosztására.

9.2. Nyisson meg egy jelentést

Fedezd fel az alkalmazást

Bevezetés

Üdvözljük a BioCoherence alkalmazásnak szentelt fejezetben, amely elérhető okostelefonon és számítógépen. Ez az alkalmazás lehetővé teszi, hogy nyomon kövesse és elemezze a különböző biomarkereket a jobb elme-test egyensúly érdekében.

Kezdőképernyő

Amikor megnyitja az alkalmazást, a kezdőképernyőn találja magát. Két lehetősége van: új mérést indítani vagy megnyitni egy mintajelentést. Javasoljuk, hogy kezdje a minta jelentés megnyitásával, hogy megismerkedjen a felülettel. Ez a kezdőképernyő egy menüt is tartalmaz, amely különféle információkat kínál, amelyeket részletesen a következő szakaszokban fogunk bemutatni.



biocoherence.net/n82.2

Példajelentés

Miután megnyitotta a példajelentést, észre fogja venni, hogy a számítás azonnal megkezdődik. Ez a főmenübe viszi, amely a következő szakaszokra van felosztva:

- Egyensúlyozás: Prioritások, Források
- Jelentések: PDF Jelentés, Vezetett Meditációk
- Részletes elemzés: Biomarkerek, Energia, Test, Elme, Fejlődés

Számítógépes alkalmazás

A számítógépes alkalmazás hasonló élményt kínál, mint az okostelefonon, de több helyet biztosít a navigálásra. A menük és szakaszok azonosak, de a kijelző optimalizálva van a nagyobb képernyőkhöz.

Navigáció

Akár okostelefont, akár számítógépet használ, a navigációs terület a képernyő tetején vagy alján érhető el. Ez lehetővé teszi, hogy egyik szakaszból a másikba lépjen, különösen a elő- és utódzeds felvételek összehasonlítására, vagy a napi fejlődés nyomon követésére egy adott időszak alatt. A felvétel visszamenéséhez vagy előrehaladásához egyszerűen nyomja meg a "Lejátszás" gombot, és navigáljon a felvétel során.

Biomarker elemzés

Amikor kiválasztja a "Biomarkerek" szakaszt, megvizsgálhatja az olyan adatokat, mint a pulzushullám. Ez az elemzés a marker típusa és a felvételi idő szerint változhat. A számítógépen további fülök, mint a "Teszt" és a "Fejlődés" is elérhetők, amelyek részletes nézetet kínálnak a biomarkerek fejlődéséről az ülések során.

Következtetés

Ez a fejezet általános áttekintést nyújtott a BioCoherence alkalmazásról. A képernyők és funkciók mélyebb megértéséhez javasoljuk, hogy nézze meg a kiegészítő videókat.

9.3. Felvétel érzékelővel

Számos módszer áll rendelkezésre a tiszta EKG felvétel készítéséhez a BioCoherence segítségével. A kezdéshez lépjen a kezdőoldalra, indítson el egy új felvételt, és kattintson a "felvétel" gombra. Egy másik lehetőség a "haladás" oldalról való indulás, vagy a képernyő tetején lévő akkumulátor ikonra kattintva. Ezek a lépések automatikusan csatlakoztatják az alkalmazást a Bluetooth érzékelőhöz és elindítják a felvételt.

Felvétel közben egy animáció jelenik meg, hogy illusztrálja a várt eredményeket. Azonban ez az animáció nem frissül valós időben a mérésekkel. Az adatok a felvétel végén kerülnek kiszámításra. Az animáció segít Önnek abban, hogy eltöltse a szükséges időt egy jó felvétel megszerzésére, lehetőleg legalább két percig.

Három csúszka található a képernyő tetején, amelyek "energia", "aktivitás" és "kapcsolat" felirattal vannak ellátva, és fokozatosan töltődnek fel. Ezeket a kurzorokat teljesen ki kell tölteni ahhoz, hogy biztosítsák, hogy a begyűjtött információ elegendő legyen az összes szükséges változó kiszámításához. Miután ezek a kurzorok elérik a 100%-ot, a felvétel elegendőnek minősül.

A felvétel minőségének biztosítása érdekében helyezzen egy hüvelykujjat minden érzékelőre. Ha a jel nem megfelelő minőségű, használjon elektród gél, vagy nedvesítse meg kissé az ujjait. A jel minőségét automatikusan értékelik. Például, ha eltávolít egy ujját, a felvétel azonnal leáll. Ha visszahelyezi az ujját, a visszacsatlakozás körülbelül egy másodpercet vesz igénybe, de lehet, hogy újra kell kalibrálni.

Ha nem alkalmaz elegendő nyomást, mozog, vagy hirtelen mozdulatokat tesz, a képernyő piros háttérre vált, jelezve, hogy az adatokat nem veszik figyelembe. Az eszköz várni fog a kalibrálásra, amelyet a zöld pontok visszatérése és a piros háttér hiánya jelez, mielőtt folytatná a jó minőségű adatok felvételét.

Miután a kurzorok 100%-ig megteltek, kattintson a "Megállítás" gombra. Az alkalmazás ezután kiszámítja az összes adatot, és Ön képes lesz megtekinteni a különböző fő fejezeteket a szkennelés felvételéből.



biocoherence.net/n82.13

9.4. Ügyfélkezelés

Áttekintés

A BioCoherence Pro lehetővé teszi, hogy korlátlan számú ügyféllel kapcsolódjon, akik mind saját alkalmazásukon keresztül csatlakozhatnak. Ez a fejezet végigvezet a lépéseken, amelyek szükségesek az információk kezeléséhez és megosztásához az ügyfelekkel.

Ügyfél kiválasztása

Minden olyan oldalon, ahol ügyfelet kell választania, egy gomb található a jobb felső sarokban, amely lehetővé teszi a kiválasztást. Az ügyfél kereséséhez egyszerűen írja be a nevét a keresőmezőbe. A rendszer megjeleníti a megfelelő ügyfeleket és a rendelkezésre álló nyilvántartások számát mindegyikhez.



biocoherence.net/n82.15

Nyilvántartás kezelése

Miután kiválasztott egy ügyfelet, láthatja az adott ügyfélhez tartozó nyilvántartásokat. A nyilvántartások különböző piktogramokkal azonosíthatók:

- Egy piktogram jelzi, hogy a nyilvántartás a helyi számítógépen van tárolva.
- Egy másik piktogram jelzi, hogy a felvétel a felhőben található.
- Egy harmadik piktogram jelzi, hogy az ügyfél hozzáfér a felvételhez.

Jelentések megosztása

Amikor megnyit egy jelentést, választhat, hogy szeretné-e megosztani az ügyféllel a hozzáférést. A főoldalon egy gomb lehetővé teszi, hogy módosítsa az ügyfél adatait, mint például a nem, e-mail és egy fénykép. Ezek az információk kulcsfontosságúak a szexuális szervekkel és csakrákkal kapcsolatos vizualizációkhoz.

Meghívók küldése

Ahhoz, hogy meghívót küldjön egy ügyfélnek, adja meg az e-mail címét, és kattintson a "E-mail küldése" gombra. Az invitáló linket vagy szöveget SMS-en, WhatsApp-on vagy bármely más alkalmazáson keresztül is megoszthatja, amely elérhető az eszközén. Az üzenet angolul vagy franciául küldhető, a nyelv megváltoztatásával a zászló kiválasztóval.

Ezeknek a funkcióknak a használatával könnyedén kezelheti és megoszthatja az információkat ügyfeleivel a BioCoherence Pro-n, miközben biztosítja a hatékony és biztonságos kommunikációt.

Felhasználó és ügyfélkezelés a BioCoherence-ben, részletesen

A BioCoherence alkalmazás átfogó felhasználó- és ügyfélkezelési funkciókat kínál, lehetővé téve a felhasználók számára, hogy kezeljék saját profiljaikat és ügyfeleiket. Ez a rész részletezi a felhasználók és ügyfelek kezelésére elérhető funkciókat az alkalmazásban, beleértve az új kapcsolatok létrehozását, a felhasználók közötti váltást és a felhasználói adatok kezelését.

Jelenlegi felhasználó megjelenítése

- **Felhasználó megjelenítése:** A jelenlegi felhasználó a főképernyő tetején jelenik meg az alkalmazás felületén. Ez lehet Ön (a fő felhasználó) vagy bármely ügyfél vagy kapcsolat.
- **Adatvédelmi funkció:** A felhasználók elmoshatják az összes nevet és fényképet a blur ikonra kattintva, biztosítva ezzel a magánélet védelmét, amikor mások esetleg a képernyőt nézik.

Felhasználói elemzés

- **Elemzés megtekintése:** A "Elemzés megnyitása" vagy "Minden elemzés megtekintése" gombra kattintva csak a jelenlegi felhasználóhoz kapcsolódó elemzések jelennek meg.
- **Felhasználók közötti váltás:** A felhasználók közötti váltáshoz kattintson a két nyíl ikonra az ügyfélkönyvtár eléréséhez. A fő felhasználó mindig a lista tetején található.

Felhasználói könyvtár

- **Felhasználói könyvtár elérése:** Kattintson a két nyíl ikonra a felhasználói könyvtár megnyitásához.
- **Felhasználók keresése:** Használja az alján található keresőikonot (nagyító), hogy kulcsszavak megadásával szűrje a felhasználókat.
- **Új kapcsolatok létrehozása:** Értse el a kapcsolati listát a menüből, és kattintson a "Új kapcsolat létrehozása" lehetőségre egy új felhasználó hozzáadásához. Adja meg a nemet a pontos képernyő megjelenítéséhez. Adja hozzá az e-mail címüket, ha meg szeretné őket hívni vagy megosztani egy jelentést, vagy hozzáférést szeretne biztosítani számukra a jelentéshez az alkalmazásukban.

Kapcsolatkezelés

- **Kapcsolatok szerkesztése:** Szerkessze a jelenlegi kapcsolat részleteit, beleértve a nevet, e-mailt és nemet. A nem kiválasztása befolyásolja a képernyő megjelenítését, különösen a nem specifikus elemzések esetén.
- **E-mail integráció:** E-mail cím hozzáadása lehetővé teszi PDF jelentések közvetlen küldését és egy fiók létrehozását a felhasználó számára a szerveren.
- **További információk:** Opcionális mezők közé tartozik a születési dátum, súly és személyes megjegyzések. A születési dátum jelenleg nem használatos a számításokban, de a jövőbeli funkciókhoz, például a biológiai kor összehasonlításához fel lesz használva.

Felhasználói fájlkezelés

- **Fájl mentése:** Az elemzések a felhasználói fájlokban kerülnek mentésre. Győződjön meg róla, hogy az elemzések a megfelelő felhasználó alatt vannak mentve, hogy elkerülje a zűrzavart. Ezen a ponton megváltoztathatja a felhasználót, ha hiba történt, például ha egy felvételt más felhasználó alatt indítottak.
- **Felhőfeltöltés:** Az elemzések feltölthetők a felhőbe megosztás céljából. Ez szükséges az ügyfelekkel való hozzáférés megosztásához.

Felhasználók meghívása és megosztása

- **Felhasználók meghívása:** Küldjön meghívókat a felhasználóknak e-mailben vagy szöveges üzenetben, lehetővé téve számukra, hogy hozzáférjenek a jelentéseikhez és használják az alkalmazást.
- **Jelentések megosztása:** Ossza meg a PDF jelentéseket az ügyfelekkel. A jelentések testreszabhatók azáltal, hogy kiválasztja, mely szakaszokat szeretné belefoglalni.

Eszközkompatibilitás és frissítések

- **Eszközkompatibilitás:** Az alkalmazás kompatibilis különböző platformokkal, a funkciók javítása érdekében rendszeresen kiadott frissítésekkel.
- **Az alkalmazás frissítése:** A felhasználóknak rendszeresen ellenőrizniük kell a frissítéseket, hogy biztosítsák, hogy a legújabb funkciókkal és javításokkal rendelkeznek.

További funkciók

- **Multi-View elemzés:** Több változó összehasonlítása a felvételeken valós időben. Hasznos kutatásokhoz és részletes elemzésekhez. Megjelenítheti és összehasonlíthatja egy adott kapcsolat történelmét.
- **Apple Health integráció:** Felvételek importálása az Apple Health-ből. Vegye figyelembe, hogy az importálások egy eszközön a fő felhasználó saját Apple Health fiókjából származnak. Ha saját Apple Watch-ján végez felvételt, azt csak a saját eszközéről importálhatja. Tehát, ha a felvétel az ügyfél Apple Watch-ján készült, az importálást az ő eszközéről, az ő alkalmazásával és az ő bejelentkezésével kell elvégezni. Ezután megoszthatja Önnel.

Adatvédelem és adatkezelés

- **Helyi adatmegtárolás:** Minden számítás és adat helyben tárolódik az eszközön. A felhőtárolás opcionális, és csak megosztási célokra használják.
- **Adatbiztonság:** Az alkalmazás internet-hozzáférés nélkül is működhet, biztosítva az adatbiztonságot és a magánélet védelmét.

Jövőbeli fejlesztések

- **Egyszerűsített alkalmazás verzió:** Az alkalmazás egyszerűsített verziója elérhető lesz, amely a felvételre, a frekvencia lejátszására és a jelentés olvasására összpontosít.

Ez a részletes útmutató a felhasználók és ügyfelek kezeléséről a BioCoherence alkalmazásban biztosítja, hogy a felhasználók hatékonyan kezelhessék profiljaikat és ügyfeleiket, javítva ezzel az általános felhasználói élményt.

9.5. Több részes jelentés

A jelentés részleteinek megvizsgálásához kezdje azzal, hogy megnyitja a kérdéses jelentést. Kattintson a nevére a megnyitáshoz, amely megjeleníti a tartalmazott különböző elemeket. A képernyő tetején számítógépen, vagy alul telefonon, a jelentés különböző szekciói jelennek meg. Alapértelmezés szerint az egész feljegyzés látható, de választhatja azt is, hogy csak az első vagy második szekciót jelenítse meg, például.

A szekciók részletei a "Progression" fül segítségével érhetők el, amely szintén a főoldali felület közepén található. Ez a fül megmutatja a különböző változók fejlődését a felvételek során. Például láthat felvételeket, amelyek 5 perc eltéréssel készültek, 4 perc 30 másodperces, vagy különböző hosszúságú felvételeket, mint például 40 másodperc és 20 másodperc.

Lehetőség van megjegyzések hozzáadására is ezekhez a felvételekhez. Ez a funkció lehetővé teszi a szekciók kezdetének és végének dokumentálását, vagy specifikus cselekvések annotálását, hogy nyomon követhesse a marker-ek fejlődését egy szekció során.

A különböző felvételek közvetlenül elérhetők, lehetővé téve, hogy összehasonlítsa a biomarkerek állapotát, szekciónként, és megfigyelje a változásokat a lendületben, csakrákban stb. Ezek a funkciók részletes, összehasonlító képet adnak a jelentés különböző szekcióiról.



biocoherence.net/n82.6

10. Megérteni: Biomarkerek

Pulzus hullám technikai elemzés

Ezek a képernyők lehetővé teszik a pulzushullám technikai elemzését, például a frekvenciák és harmonikusok kinyerését, a felvétel szerkesztését, a hullám közvetlen elemzését, a biomarker fejlődési grafikonon...

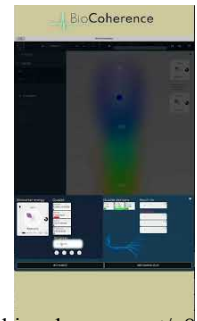
10.1. Biomarkerek részletesen

Bevezetés

Ebben a fejezetben a biomarkerek részleteit fogjuk felfedezni egy felhasználói felületen. Vegyük például a csakrákat annak illusztrálására, hogyan működnek és hogyan jelenik meg a releváns információ.

Chakrák hozzáférése

Amikor a csakráknak szentelt oldalt elérjük, a különböző csakrák megjelennek. Ha rákattintanak egy konkrét csakrára, a kapcsolódó biomarkerek megjelennek a képernyő jobb oldalán.



biocoherence.net/n82.8

Energia és Agitáció

Az első kulcsfontosságú elem az energia, amelyet az energia szintje és az agitáció szerint értékelnek. A képernyő bal oldalán az energia vizualizálva van, míg alul az agitáció jelenik meg. Mindkét szempontot 9 különböző szírom ábrázolja, amelyek leírják az energia és az agitáció állapotát:

- Itt a magas energia és alacsony agitáció erőforrást jelez.

Additional information

Other information is also displayed:

- Figyelem szint
- Szándék szint
- Időhorizont (rövid, közép vagy hosszú távú)
- Elem fő ciklusa

Evolúció és Átlag

Lehetőség van a biomarkerek evolúciójának nyomon követésére egy szekció során, amely négy részre oszlik. Például megfigyelheti az energia változását, amely emelkedési és süllyedési fázisokat tartalmaz, lehetővé téve az átlag értékek kiértékelését.

Prioritások

Link minőség

A kapcsolat az ugyanazon család elemei (pl. csakrák) között jelezve van:

- Az rostok száma (linkek)
- Resonancia pontok
- Diffúzió százalék (pl. 33% összekapcsolt csakrák)

Direkt Hozzáférési Gombok

- Direkt hozzáférés a csakrához
- Direkt hozzáférés a teljes képernyős biomarker elemző oldalhoz

Segítség és Információ

Kérdőjel elérhető minden oldalon, további információt nyújtva a szirmokról és a különböző rezonanciák és szabályozások jelentéséről.

Röviden, ez a felület részletes, személyre szabott kezelést tesz lehetővé a biomarkerek számára, megkönnyítve a csakrák és más kapcsolódó elemek elemzését és optimalizálását.

Biomarker energia és agitáció információ

Energia

A bal oldalon található függőleges skála a biomarker átlagos energiáját mutatja. Egy alacsony érték (az alján) alacsony energia biomarkert jelez. Egy magas érték (az elején) magas energia biomarkert jelez. Néhány biomarker (pl. akupunktúrás pontok, érzelmek...) az energia negatív vagy pozitív lehet, jelezve a teljes egyensúlyra gyakorolt hatást. Ebben az esetben a low energia a skála közepén van jelezve.

Agitáció

Az alsó horizontális skála a biomarker átlagos agitációját mutatja. Egy alacsony érték (balra) főleg statikus biomarkert jelez. Egy magas érték főleg agitált biomarkert jelez.

Biomarker szirmok

A 8 szirm (plusz a kibővített virág, mind 8 szirm egyensúlyban) jelzi a biomarker fő energia/agitáció zónáját.

Statikus

Alacsony energia, alacsony agitáció. Ez a legalacsonyabb tevékenység lehetőség egy biomarker számára. Ez általában krónikus, hosszú távú állapotokkal van kapcsolatban.

Alacsony energia

Alacsony energia, normál agitáció. Ez a biomarker alacsony, de funkcionális tevékenységgel rendelkezik.

Feszített

Alacsony energia, magas agitáció. Ez a szenvedés jele.

Stabilizáló

Normál energia, alacsony agitáció. Ez a biomarker stabil pillér.

Flexible

Normál energia, normál agitáció. A kibővített virág az optimális funkcionális állapotot jelzi.

Learning

Normál energia, magas agitáció. Ez a tanulási folyamatot jelzi, általában valamilyen külső információra való reakcióként.

Ressource

Magas energia, alacsony agitáció. Ez a fő erőforrások karakterisztikája.

Adaptáló

Magas energia, normál agitáció. Ez a szokásos reakció folyamatot jelez, általában valamilyen külső ingerre való reakcióként.

Deszabilizáló

Magas energia, magas agitáció. Ez egy akut, nehezen megoldható helyzetet jelez.

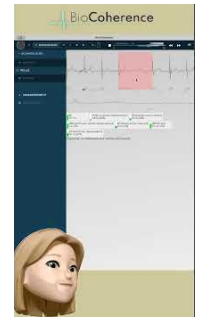
10.2. Pulzushullám szerkesztése és ellenőrzése (nyers felvétel)

Ebben a szakaszban azt fogjuk megvizsgálni, hogyan lehet szerkeszteni a pulzus hullámot rögzítési problémák esetén, és hogyan ellenőrizhetjük a nyers hullámot. Kezdeként lépj a "biomarker" szakaszra, és válaszd a "pulzus hullám" lehetőséget. Ezt követően láthatod az egyes szívverések hullámformáját, pontonként. Ez a szívverésenkénti vizualizáció hasznos a hullámok fejlődésének összehasonlításához és megfigyeléséhez.

A megszokott átlaghullám mellett fontos megjegyezni, hogy az igazi hullámforma gyakran sokkal ingatagabb ezen átlag körül. Ha probléma merül fel a rögzítés során, például ha a hullám egy része nem észlelhető, a szoftver automatikusan deaktiválja ezt a szakaszt. Azonban újraaktiválhatod ezt a szakaszt, ha úgy döntesz, hogy figyelembe kell venni.

Ehhez egyszerűen kattints a megfelelő szakaszra. Egyetlen kattintással aktiválhatod vagy deaktiválhatod az egyes szívveréseket. A deaktivált szívverések már nem lesznek figyelembe véve a virágok számításában vagy a grafikonban.

Végül, a pulzus hullám alatt található egy technikai statisztikákból álló készlet, mint például RR intervallum, PR intervallum, QRS intervallumok és így tovább. Ezek az adatok értékes információt nyújthatnak a további elemzéshez.



biocoherence.net/n82.9

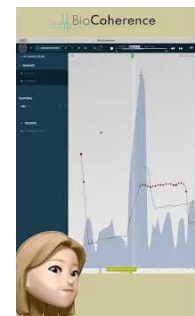
10.3. A biomarkerek változásának figyelése az ülések során

Az időbeli biomarker evolúciójának elemzéséhez kezdje a "Biomarker" fül elérésével és nyissa meg a "Session", majd a "Dynamics" menüpontot. Látni fogja a biomarker teljes evolúcióját az idő folyamán.

Lejátszási módban a kurzort pont pont után mozgathatja különböző részek megfigyelésére az evolúcióban. A képernyő alján a jelek jelzik a szakadásokat a session minden része között. Beállíthatja a nagyítást a pontosabb elemzéshez, és navigálhat a session különböző részei között, legyen az másodperc, harmadik, stb.

Eseményeket adhat hozzá az általa kívánt helyen történő kattintással. Például, ha figyelemre méltó cselekvést végez, megjelölheti ezt az eseményt. Miután hozzáadta, az esemény látható jelekként a képernyő alján, és ha rákattint, újra hozzáférhet hozzá. Az eseményt is mozgathatja a szerkesztésével, majd az új helyzet megerősítésével.

Végül, az információk szintézise elérhető "virág" formájában amely az energia és izgalom szintjeit jelzi. Ez az összegzés is analízis vizsgálható részről részre az evolúció megfigyelésére a különböző szakaszokban.



biocoherence.net/n82.16

10.4. Frekvencia és Harmonikus Elemzés

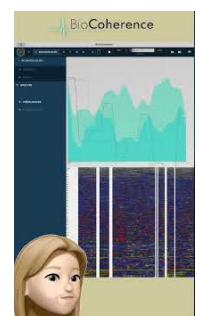
Köszönhetően egy FFT nevű matematikai műveletnek, a hullám frekvenciákra van átalakítva, majd ezeket a frekvenciákat elemzik, hogy megtalálják a harmonikusait.

Ebben a fejezetben azokkal a frekvenciákkal és harmóniákkal foglalkozunk, amelyeket a hullámforma alapján számítunk ki. Továbbra is a biomarker térben maradunk, vagyis a technikai listában.

Az elején nyisd meg a frekvenciákat. A kijelző 0 és 60 Hz között fog megjelenni. Ennek a kijelzőnek a felső részén található a legalacsonyabb frekvenciákat, vagyis a nagyon alacsony frekvenciákat 0,03 Hz alatt, az alacsony frekvenciákat és a magas frekvenciákat körülbelül 0,4 Hz-en. Ezek a frekvenciakategóriák általában nagyon érdekes információkat tartalmaznak.

Először a 0-3 Hz tartományt vizsgáljuk, de más frekvenciás sávokban is lehet információt találni.

Ezután lépj tovább a Harmóniai szekcióra. Ez a szekció számítást végez a frekvenciákon, hogy meghatározza, melyek a legerősebbek. Az itt nyert információk szintén relevánsak a különböző biomarkerekhez. Ez a technikai elemzés lehetővé teszi, hogy átvizsgáljuk a felvételt és azonosítsuk



biocoherence.net/n82.7

a domináló frekvenciákat. Nehéz megkülönböztetni a releváns információkat szabad szemmel ezeken a kijelzőkön, de ez az alkalmazás alapjainak egyike, amelyet a biomarkerek számítására használnak.

FFT (Gyors Fourier Transzformáció) egy olyan algoritmus, amely gyorsan és hatékonyan számítja ki a Fourier transzformációt. Széleskörűen használják jelek feldolgozásában, spektrális elemzésben és adatkompresszióban. A Fourier transzformáció egy matematikai eszköz, amely egy függvényt vagy jelet dekomponál különböző frekvenciájú szinuszhullámok összegére. Ez a jelet átforgalmazza az idő tartományból a frekvencia tartományba.

10.5. A kauzális lánc

A BioCoherence Causal Chain (okozati lánc) funkció átfogó módot kínál a különböző biomarkerek közötti összefüggések elemzésére, lehetővé téve a felhasználók számára, hogy azonosítsák az egyensúlyhiányok gyökérokait és meghatározzák a leghatékonyabb beavatkozásokat. A korábbi módszerekkel ellentétben, amelyek csak a ugyanazon kategórián belüli kapcsolatokat mutatták (pl. szervek összekapcsolása más szervekkel), a Causal Chain (okozati lánc) ezt az elemzést kiterjeszti az összes biomarker kategóriára, például meridiánokra, csakrákra, atomokra, kórokozókra és még sok másra. Ez a funkció lehetővé teszi a felhasználók számára, hogy:

- Azonosítsák az egyensúlyhiányok mögöttes okait.
- Meghatározzák, hogy mely biomarkerek rezonálnak egymással.
- Megtalálják a legjobb segítőket az egyensúly helyreállításához.
- Testreszabott prioritási listát építsenek a harmonizáláshoz.

A Causal Chain (okozati lánc) elérése

A Causal Chain (okozati lánc) eléréséhez:

1. Nyisson meg egy elemzést, és navigáljon a Biomarkerek szekcióhoz.
2. Válasszon ki egy érdekes biomarkert (pl. egy szervet, meridiánt vagy drivert).
3. Kattintson a Causal Chain (okozati lánc) almenüre a Kapcsolatok menü alatt.

Ez megnyit egy új felületet, amely megjeleníti azokat a biomarkereket, amelyek rezonálnak a kiválasztott biomarkerrel.

A Causal Chain (okozati lánc) felület megértése

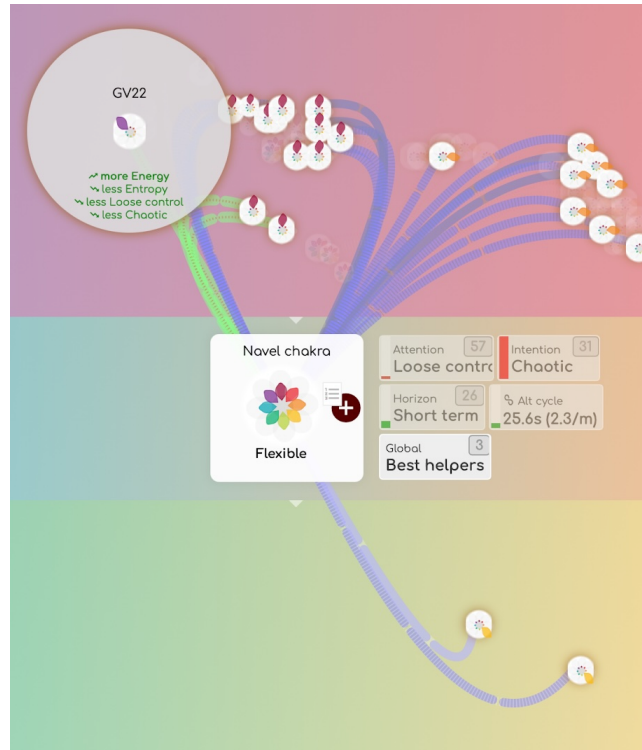
A Causal Chain (okozati lánc) felület egy összekapcsolt biomarkerek hálózati térképét mutatja. A kulcselemek közé tartozik:

1. Központi biomarker

- A kiválasztott biomarker középen helyezkedik el a térképen.
- Az összes többi, vele rezonáló biomarker körülötte jelenik meg.
- Bármely körüli biomarkerre kattintva középre helyezheti azt, és újraszámolhatja a körülötte lévő kapcsolatokat.

2. Rezonáló biomarkerek

- Csak azok a biomarkerek jelennek meg, amelyek jelenleg rezonálnak a központi biomarkerrel.



- Ezek különböző csoportokba sorolhatók, például szervek, meridiánok, csakrák, atomok, kórokozók és mások. A csoportok a képernyő alján jelennek meg. Kattintson egy csoport nevére, hogy megjelenjenek a kapcsolódó biomarkerek. Minden csoport egy vagy két számot mutathat:
 - mindig, a csoportban lévő kapcsolódó biomarkerek száma
 - csak ha van, egy fehér körben: a csoportban lévő nagy kapcsolatok száma (legjobb segítők).

3. Kapcsolati erősség

Minden biomarker közötti kapcsolat színekkel:

- Nagy kapcsolat (fehér, zöld vagy kék): Legjobb segítők, a legerősebb rezonanciával és a legnagyobb képességgel a segítségnyújtásra (legjobb javulások az energia, izgalom és minőség terén)
- Zöld: Pozitív hatás a központi biomarkerre (pl. energia növelése, entrópia csökkentése).
- Kék: A központi biomarker energiát küld felé.
- Finom kapcsolatok speciális kapcsolatokat jeleznek, amelyek figyelemre, szándéokra és horizontra vonatkoznak. A tetején található legenda mutatja jelentésüket.

4. Energia- és entrópia térkép

- A biomarkerek egy grafikai térképen helyezkednek el az energia szintje (alacsony-tól magasig) és az izgalom (entrópia) (alacsony-tól magasig) alapján, ugyanúgy, ahogyan a szirmok a virágon vannak elrendezve.
- Ez lehetővé teszi a felhasználók számára, hogy vizuálisan értékeljék, mely biomarkerek járulnak hozzá a stabilitáshoz vagy az egyensúlyhiányhoz.

5. Szűrés és legjobb segítők

A felhasználók szűrhetik a megjelenített biomarkereket specifikus tulajdonságok alapján:

- Figyelem növelése
- Szándék növelése
- Horizont növelése
- Összhangban a fő ciklusokkal
- Legjobb segítők (biomarkerek, amelyek a legkedvezőbb hatást gyakorolják)

6. Navigáció és előzmények

- Bármely biomarkerre kattintva középre helyezheti azt az elemzés során, lehetővé téve a felhasználók számára, hogy felfedezzék saját ok-okozati láncát.
- Egy előzménypanel nyomon követi a felfedezés útvonalt, lehetővé téve a felhasználók számára, hogy visszatérjenek korábbi biomarkerekhez.
- A felhasználók visszatérhetnek az eredeti biomarkerhez, vagy mélyebben felfedezhetik a kapcsolódó biomarkereket.

Részletes útmutató: a Causal Chain (okozati lánc) használata az elemzéshez

1. lépés: Az alapvető ok azonosítása

- Kezdje egy biomarkerrel, amely megjelenik a Prioritások listájában.
- Nyissa meg a Causal Chain (okozati lánc) funkciót, hogy lássa, mely biomarkerek befolyásolják azt.

2. lépés: A legjobb segítők megtalálása

- Használja a Legjobb segítők szűrőt, hogy azonosítsa azokat a biomarkereket, amelyek pozitívan befolyásolhatják a központi biomarkert.
- Keresni kell a zöld kapcsolatokat, mivel ezek a legerősebb kedvező kapcsolatokat jelzik.

- A kék kapcsolatok más elemeket jelezhetnek, amelyeket ez a biomarker segített, és energiát vesznek tőle, így feltárva azokat az ok-okozati kapcsolatokat, amelyek magyarázhatják a jelenlegi állapotokat.

3. lépés: Testreszabott prioritási lista létrehozása

- Kattintson egy biomarkerre, és adja hozzá a Prioritások listájához.
- Folytassa a kapcsolódó biomarkerek felfedezését, és adja hozzá a relevánsakat a listához.
- Ez biztosítja, hogy a harmonizációs folyamat ne csak a tünetet, hanem a mögöttes okokat is érintse.

4. lépés: Az eredmények alkalmazása

- Használja a Harmonic Boost funkciót, hogy lejátsza a kiválasztott frekvenciákat.
- Ha alkalmazható, integrálja a TCM pontokat, szerveket, meridiánokat vagy atomokat a harmonizációs folyamatba.
- Fejlessze a Harmonic Boost-ot azáltal, hogy hozzáadja a kiválasztott protokollokat minden biomarkerhez.
- Figyelje a fejlődést több ülés során, hogy nyomon követhesse a javulásokat.

Példa használati eset

Forgatókönyv: Tüdő egyensúlyhiány kezelése

1. Válassza ki a Tüdőt a Prioritások listájából.
2. Nyissa meg a Causal Chain (okozati lánc) funkciót, hogy lássa a kapcsolódó biomarkereket.
3. Határozza meg a legjobb segítőköt: például Szervek: Gyomor, Máj - Meridiánok: Vese, Hólyag - Atomok: Tantál, Osmium - Driverok: Bizalom hiánya, Hiperszenzitivitás
4. Adja hozzá a legrelevánsabb biomarkereket a Prioritások listájához.
5. Játssza le a harmonizációs frekvenciákat (Harmonic Boost) és programokat (Személyes útmutató), és kövesse nyomon a fejlődést az idő múlásával.

A Causal Chain (okozati lánc) előnyei

- Holistic Analysis (holisztikus elemzés): Teljes képet nyújt a különböző biomarkerek közötti összefüggésekről.
- Personalized Approach (személyre szabott megközelítés): A harmonizációt az egyén egyedi energetikai állapotához igazítja, és lehetővé teszi, hogy egy adott tünetből indulva megtalálja a releváns ok-okozati lánc elemeket.
- Deeper Insights (mélyebb betekintések): Segít a gyakorlóknak és a felhasználóknak megérteni az egyensúlyhiányok mögöttes okait.
- Efficient Prioritization (hatékony prioritizálás): A legnagyobb hatású biomarkerekre összpontosít a gyorsabb eredmények érdekében.

A Causal Chain (okozati lánc) egy erőteljes eszköz a BioCoherence-ben, amely fokozza a képességet az egyensúlyhiányok mélyebb szintű elemzésére és kezelésére. A biomarkerek közötti kapcsolatok feltérképezésével és a legjobb segítők azonosításával a felhasználók rendkívül hatékony Harmonic Boost és Személyes Útmutató programokat hozhatnak létre, amelyek az ő speciális igényeikhez igazodnak.

10.6. Előfordulás

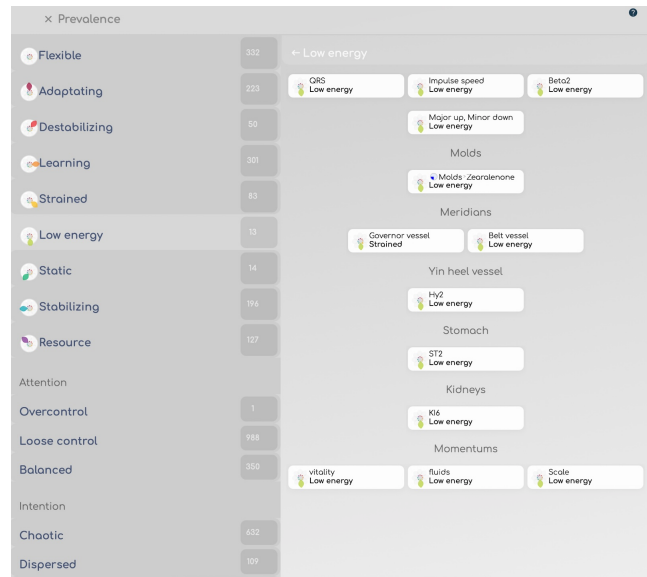
Ez a képernyő lehetővé teszi, hogy egy pillantással láthatóvá váljanak az összes biomarker egy adott állapotban:

- szirm állapot szerint (rugalmas, alkalmazkodó, alacsony energia, erőforrás...)
- minőség szerint (figyelem, szándék, horizont)

A főoldal megjeleníti a biomarkerek számát minden egyes állapotban; kattintson rá, hogy listázza a kapcsolódó biomarkereket.

Szűrheti a biomarker kategóriákat a menüben található kiválasztóval. Például, megjelenítheti csak a szervprevalenciákat, vagy pontokat egy adott meridiánban, vagy hajtásokat (érzelmeket).

A prevalencia hasznos lehet, hogy gyors áttekintést nyújtson egy pillantással, és láthatóvá tegye a fejlődést több újraértékelés során egy nyilvántartásban.



10.7. Poligráf

Ez a képernyő főként akadémiai biomarkereket használ. Praktikus módot biztosít arra, hogy egy pillantásra láthatóvá váljanak pl. a VHF, HF, LF és VLF arányok, valamint egy lineáris grafikon akár 7 fontos görbével.

Ez valós időben használható a felvétel során, mivel minden képernyő (csak váltson képernyőt a felvétel során). Mindezek a markeretek az akadémiai kutatásokból származnak az EKG-kkel kapcsolatban. Akár 7 sávot is megjeleníthet az ön választása szerint, párhuzamosan vagy ugyanazon a vonalon középre állítva.

- Az **Bandák** módban a 7 vonal: Bpm, HRV, Mayer hullámok, VHF, HF, LF és VLF.
- Az **Ráta** módban a 7 vonal: SDNN (Teljes teljesítmény), SI (Stressz index), IC (Központosítási Index), LF/HF (Teljesítmény, vago-szimpatikus interakció), LF/VLF (Pihenés), VLF/HF (Stressz) és VLF HF (Globális aktivitás).
- Az **Szabályozók** módban: CNS, Ortho, Symp, Para, IRSA, Immunitás, HRV.
- Az **Belélegzések**: Delta, Theta, Alpha, Beta, Beta1, Beta2, Gamma.



Kattintson a grafikon alatt lévő kategóriákra ezen elemek megjelenítéséhez; kattintson a színes jelentésekkel rendelkező elemekre azok megjelenítéséhez vagy elrejtéséhez. Kattintson a Középre a grafikon alatt az összes ugyanazon alapvonalban történő megjelenítéséhez. Kattintson a virágra a grafikon alatt a teljes biomarker részletek eléréséhez.

Ha ezzel a grafikonnal kutatást végez, ez új megértések vagy új biomarkerek alapját jelentheti. Ezenkívül ne feledje, hogy bármely biomarkert elemezhet az idővonalán és az eseményekkel a biomarker Dinamikák képernyőjén.

11. Megérteni: Energia

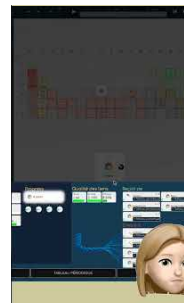
Az energia képernyők grafikákat tartalmaznak a biológiai óráról, csakrákról, impulzusokról, atomokról, befolyásokról, ájurvédáról, mikroszervezetekről...

11.1. Atomok

Elemek periódusos táblázata

Az Atoms oldalon hozzáférhet az elemek periódusos táblázatához, hogy információt szerezzen a különböző atomokról. Ha rákattint egy atomra ebben a táblázatban, láthatja a kölcsönhatásait más atomokkal, azaz a közös rezgéseket. Ez az információ szintén látható a képernyő alján, de közvetlenül a táblázaton való megtekintés intuitívabb.

Jelenleg az alkalmazás általános értékelést nyújt a rezgésekről minden egyes atom esetében. Egy jövőbeli verzió lehetővé teheti a rezgésekkel kapcsolatos rekonstrukciót egész molekulákra, a különböző atomok közötti kölcsönhatások alapján. Ez a funkció különösen hasznos lehet egy egészségügyi ellenőrzés során, hogy lássa a bizonyos elemekben lévő többleteket vagy hiányosságokat, vagy hogy megtudja, a több részből álló felvételek összehasonlítása révén, hogy egy elem stabilizálja-e a termék vagy terápia alkalmazása után.



biocoherence.net/n82.114

11.2. Ayurvédikus Energia Értékelés

Dosák és al-dosák

Az Ayurveda egy hagyományos orvosi rendszer, amely eltér a hagyományos kínai orvostudománytól, bár van néhány hasonlósága, különösen a 12 meridián megfelelőjeként 15 al-dosha formájában. Ezek az al-doshák három fő befolyásba csoportosulnak: Kapha, Pitta és Vata.

Ezek a befolyások általános módon érzékelhetők, és a szokásos virágformájú vizuális ábrázolás megjeleníthető ezen befolyások illusztrálására. Lehetséges az egyes elemek, azaz az al-doshák megjelenítése is. Ha rákattint egy al-doshára, láthatja a hozzá tartozó csoportokat. Például egy al-dosha a bőr és a végtagscsoport bőréhez tartozhat. Egy másik al-dosha különböző csoportokhoz is tartozhat, és így tovább.



biocoherence.net/n82.98

Az 3 Dosha az Ayurvedában

1. Vata

- **Leírás:** A levegővel és az éterrel társítva a Vata irányítja a test mozgását, beleértve a vérkeringést, a légzést és az idegi impulzusokat.

2. Pitta

- **Leírás:** Tüzből és vízből áll, a Pitta irányítja az emésztést, az anyagcserét és az energia termelést.

3. Kapha

- **Leírás:** Földből és vízből áll, a Kapha felelős a test struktúrájáért, stabilitásáért és az ízületek kenéséért.

Az 15 Al-Dosha

Vata al-doshák

1. **Prana Vata**
 - **Funkció:** Irányítja a légzést és az elmét.
2. **Udana Vata**
 - **Funkció:** Irányítja a beszédet és az kifejezést.
3. **Samana Vata**
 - **Funkció:** Szabályozza az emésztést és az étel asszimilációját.
4. **Vyana Vata**
 - **Funkció:** Felügyeli a keringést és a testfolyadékok mozgását.
5. **Apana Vata**
 - **Funkció:** Szabályozza a hulladék eltávolítást.

Pitta al-doshák

6. **Pachaka Pitta**
 - **Funkció:** Irányítja az étel emésztését a gyomorban és a bélben.
7. **Ranjaka Pitta**
 - **Funkció:** Felelős a vérképzésért.
8. **Sadhaka Pitta**
 - **Funkció:** Befolyásolja az érzelmeket és a mentális funkciókat.
9. **Alochaka Pitta**
 - **Funkció:** Hatással van a látásra és a vizuális észlelésre.
10. **Bhrajaka Pitta**
 - **Funkció:** Szabályozza a bőr egészségét.

Kapha al-doshák

11. **Kledaka Kapha**
 - **Funkció:** Kenje és védi a gyomor falát.
12. **Avalambaka Kapha**
 - **Funkció:** Támogatja a szívet és a tüdőt.
13. **Bodhaka Kapha**
 - **Funkció:** Szabályozza a száj és a nyál funkcióit.
14. **Tarpaka Kapha**
 - **Funkció:** Kenje az agyat és az idegrendszert.
15. **Shleshaka Kapha**
 - **Funkció:** Kenje az ízületeket.

Ezek a doshák és al-doshák együttműködnek a test és az elme egyensúlyának és egészségének fenntartásában.

11.3. Csakra Vizualizáció

Ebben a fejezetben felfedezzük az Energia fület, kezdetben a Chakrák szekcióval. Ez a szekció lehetővé teszi számodra, hogy részletesen megnézd és interakcióba lépj a csakra információkkal.

Az elején választhatsz a csakrák kijelzéséről az által, hogy rákattintasz a dedikált gombra. Megjelenítheted vagy 7 vagy 12 csakrát az által, hogy rákattintasz a kicsi "12" gombra a képernyő alján.

Miután a csakrák kijelzésre kerültek, kiválaszthatsz egy konkrét csakrát azáltal, hogy rákattintasz. Ez a művelet hozzáférést biztosít számodra az összes információhoz, amely az adott csakrára vonatkozik, beleértve az energia linkeket és az asszociált akupunktúras pontokat. Az akupunktúras pontok jelzik a csakra belépési és kilépési pontjait, és különböző méretekben jelennek meg a képernyőn az energia szintjük függvényében.

Emellett a csakra aurája is kijelzésre kerül, és az előadásának módja a kiválasztott csakra általános energiájától függően változik. Ilyen módon, pontos vizuális ábrázolást kaphatsz minden csakra energiaállapotáról.



biocoherence.net/n82.14

11.4. Hatások

Az 5 elem : Fa, Tűz, Föld, Fém, Víz

Another important energy concept is that of influences. This screen, called "influences", visualizes the relationships between the five elements, as assessed by Traditional Chinese Medicine (TCM). These relationships can be of creation, destruction, insult or overheating.

For example, wood can influence metal by exerting pressure on it, while water can weigh down fire. On the other hand, wood helps to create fire. These relationships are deduced according to TCM rules and meridian evaluation.

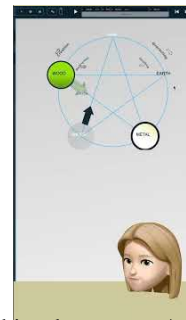
The 5 elements of Traditional Chinese Medicine (TCM) are :

1. **Fa**: associated with the liver and gallbladder.
2. **Tűz**: associated with the heart and small intestine.
3. **Föld**: associated with the spleen and stomach.
4. **Fém**: associated with the lungs and large intestine.
5. **Víz**: associated with kidneys and bladder.

The main relationships between these elements are :

- **Generációs ciklus (Sheng)**: Fa > Tűz > Föld > Fém > Víz > Fa.
- **Kontroll ciklus (Ke)**: Fa > Föld > Víz > Tűz > Fém > Fa.

These cycles ensure balance and harmony in the body.



biocoherence.net/n82.116

11.5. Impulzus

kötöttségek, egyensúlyok és mozgások

Ebben a szekcióban a mozgásmomentumot fogjuk megvizsgálni az energia kezelésének kontextusában. A funkció eléréséhez menj a "Energia" menübe és kattints a "Mozgások" opcióra. Itt felfedezhetsz körülbelül húsz elérhető mozgásmomentumot, amelyek három fő kategóriába soroltak: koncepciók, egyenlegek és mozgások.

A mozgásmomentum elve

A testünk folyamatosan mozgásban van; a mozgás az élet. De sokféle elemből állunk, amelyek közül néhány a miénk, néhány külső koncepciók, és néhány pedig ellentétes akar lenni az általános érdekekkel. A lendületeket három kategóriába soroltuk: azok, amelyek lassítanak bennünket, azok, amelyek egyenletben tartanak bennünket és azok, amelyek előre támasztanak bennünket.



biocoherence.net/n82.97

1. **Koncepciók**

A koncepciók olyan elemek, amelyek megfékezik a mozgást. Ezek tartalmazzák a következőket:

- Geopatogén stressz (kattints bármelyik elemre a grafikonban további információkért).
- Geopatogén sugárzás.
- Geopatogén víz: víz erek, törések, stb. amelyek földalatti elektromos áramokat idéznek elő.
- Ártalmas energiák.
- Nehezek fémek.
- Patogének.
- Miasmák.
- Toxinok.

2. **Egysúly**

- Érzelmi egysúly.
- Energiái egysúly.
- Alvás minősége.
- Terület (általános testi egysúly).
- Vertikális egysúly.

3. **Mozgások**

A mozgás kiterjed azokra a tényezőkre, amelyek dynamikát adnak neked. A főbb elemek a következők:

- Belépek.
- Életerő.
- Vérnyomás.
- Folyadékok.

Az általános mozgást is megfigyelheted és összehasonlíthatod a felvétel különböző szakaszaival és részeivel.

Érdekes megjegyezni a kapcsolatot ezen elemek között. Például itt a testek kapcsolódnak az érzelmi egységhez, és a vérnyomás információkat kap és küld különböző helyekre, amelyek értékes információkat nyújthatnak az elemzés általános minőségéről.

A fenti információk kombinálásával jobban megértheted és kezelheted az energia és mozgás különböző szempontjait.

12. Értsd: Test

A test használata a test képernyőin a navigációs és értékelési módszerekben

A test szűrések három fő típusú elemzést tartalmaznak: TCM meridiánok, akupunktúrás pontok a hozzájuk kapcsolódó TCM receptekkel, és szervek.

12.1. TCM meridiánok

14 vagy 20 meridián, kapcsolatok és kapcsolódó tünetek

A program „Test” szekciója három fő információs lapot kínál: meridiánok, akupunktúrás pontok és szervek. Ez a fejezet a meridiánok navigálására és értékelésére fog koncentrálni.

1. Meridián megjelenítés:

- Az alkalmazás lehetővé teszi, hogy 14 vagy 20 meridián között válasszon.
- 20 meridiános módban további meridiánok is megjelennek a szokásos meridiánok mellett.
- 14 meridiános módban a fő 12 meridián és a két edény is megjelenik: kormányzó és felfogó.

2. Navigáció és vizualizáció:

- Az képernyő felső részére kattintva megjelenítheti a meridián útját és főbb jellemzőit.
- A virág ikonra kattintva további információk jelennek meg.
- Kattintson a meridiánok közötti navigáláshoz, megjelenítve a közöttük lévő kapcsolatokat.
- A meridiánok fejlődése követhető a szekciók különböző részeiben.
- Használja a bal vagy felső menüt a telefonján történő navigáláshoz.

3. Meridián értékelés:

- Ha kattint a meridiánok listájára, megjeleníti azok értékelését.
- Az almenü három kritériumot kínál: energia, entrópia és koherencia.
- Ezeknek a kritériumoknak a logikája minden Core oldalra alkalmazandó.

4. Erőforrások értékelési kritériumai:

- **Energia**
 - Display két oszlopban: a legenergetikusabb meridiánok és a legkevésbé energetikusak.
 - Lehetőség több vagy kevesebb meridián megjelenítésére kattintásonként.
 - További információk a jelenlegi energia állapot és a Hagyományos Kínai Orvostudomány (HKO) tünetei alapján.
 - Cross-reference információk más meridiánokkal a pontosabb részletekért.
- **Entrópia**
 - Megjeleníti a legagitotabb és statikus meridiánokat.
 - Lehetőséget ad a minden állapothoz kapcsolódó tünetek megismerésére.
- **Koherencia**
 - Megjeleníti azokat a meridiánokat, amelyek összhangban rezegnek.
 - Meridiánok a koherenciában rendszert alkotnak, amelyek ugyanazon ritmusban rezegnek.

5. Információk használata:

- Az energia-entrópia-koherencia logikát az értékelés főbb elemeinek osztályozására használják.
- Ezek az elemek segítenek megérteni az értékelt személy működését.

Ha ezeket az utasításokat követi, akkor hatékonyan navigálhat az alkalmazásban és használhatja az értékelési kritériumokat a meridiánokkal, energia állapotokkal, entrópiájukkal és koherenciájukkal kapcsolatos részletes információk megszerzéséhez.



biocoherence.net/n82.96

Meridiánok a HKO-ban:

A Hagyományos Kínai Orvostudományban (HKO) a meridiánok energia csatornák, melyeken keresztül a Qi (életenergia) áramlik. Összesen 12 fő meridián van, valamint 8 rendkívüli meridián, beleértve 2 szabályozó meridiánt. Ezeket az alábbiakban ismertetjük:

12 Fő meridiánok :

1. **tüdő (LU):** Szabályozza a légzést és az immunrendszert.
2. **Vastagbél (LI):** Eliminálja a szilárd hulladékokat és szabályozza a bélműködést.
3. **Gyomor (ST):** Emésztja az ételeket és felszívja a tápanyagokat.
4. **Léprendszer/Pankréász (SP):** Tápanyagok átalakítása és szállítása, energia támogatás.
5. **Szív (HT):** Irányítja a vért és a véredényeket, szabályozza az elméjét.
6. **Kicsi bél (SI):** Tisztán és szennyezett anyagok elválasztása, tápanyagok felszívása.
7. **Hólyag (BL):** Eliminálja a folyékony hulladékokat, szabályozza a test folyadékait.
8. **Vese (KI):** Tárolja az életességet, szabályozza a vizet, irányítja a csontokat és a füleket.
9. **A szív mestere (PC):** Védi a szívet, szabályozza az érzelmeket és a vérkeringést.
10. **Hármas melegítő (TE vagy SJ):** Szabályozza a három melegítőt (felső, középső és alsó), irányítva az energia és a folyadékok keringését.
11. **Epehólyag (GB):** Tárolja és kiválasztja a epét, segíti a döntéshozatalt.
12. **Máj (LV):** Tárolja a vért, szabályozza a Qi áramlását, támogatja a tendineket és az izmokat.

8 Rendkívüli meridiánok :

1. **Felfogó edény (Ren Mai):** Szabályozza a Yin meridiánokat, irányítja a szaporodást.
2. **Kormányzó edény (Du Mai):** Szabályozza a Yang meridiánokat, irányítja a központi idegrendszert.
3. **Átható edény (Chong Mai):** Szabályozza a vért és a fő meridiánok energiáját.
4. **Öv edény (Dai Mai):** Öleli a függőleges meridiánokat, szabályozza a szexuális szerveket és a hasat.
5. **Yin csomópont edény (Yin Qiao Mai):** Szabályozza a Yin-Yang egyensúlyt, irányítja az alvást és az ébrenlétet.
6. **Yang csomópont edény (Yang Qiao Mai):** Szabályozza a Yin-Yang egyensúlyt, hatással van a végtagok mozgására.
7. **Yin kapcsoló ed**

12.2. Szerve térképek

Több mint 10 részletes szervtérkép és hivatkozás

Ebben a szakaszban felfedezzük a szervek funkcióját a testünkkel kapcsolatos értékelő alkalmazásban. Amikor hozzáfér a szervek kategóriához, először egy teljes testvizualizációt fog látni. Beléphet az általános értékelésbe, ha rákattint egy konkrét szerve, hogy lássa annak kapcsolatát a test más részeivel. Például a kiemelt szervek azok, amelyek érdekesek. Ha rákattint a szívre, látni fogja annak kapcsolatát különböző szervekkel, és ezek a kapcsolatok a térképen is láthatók.

Könnyen navigálhat, ha rákattint specifikus rendszerekre, mint például a légzőrendszer, hogy lássa annak kapcsolatait, beleértve a neurotranszmittereket, a nyelvet, a száját és különböző szöveteket. A szájra kattintva a térkép a tápcsatornára zoomol, módosítva a térképet, hogy megmutassa a száj és a tápcsatorna egyéb aspektusai közötti kapcsolatokat.

Választhat különböző térképeket is, például az agytérképet. Ez a térkép megmutatja az agy különböző részeit, teljes értékeléssel listás formában. Ha szeretné megtalálni egy konkrét részt, a térkép megmutatja azt Önnek. Például, ha rákattint a tobozmirigyre, látni fogja annak helyét és azokat a mirigyeket, amelyekről jeleket kap és amelyeknek jeleket küld. Minden elem, például a szerotonin vagy a prolaktin, felfedezhető, hogy lássa annak kapcsolatait vagy azok hiányát más hormonokkal.

A szervek szakasz lehetőségeket kínál az energia, az entrópia és a koherencia megtekintésére is, amelyek a használt képernyő szerint változnak. A teljes testképernyőn ezek a paraméterek a legrelevánsabbnak ítélt elemekre vonatkoznak, jelezve azok



biocoherence.net/n82.95

energiaforrásait vagy izgatottsági szintjét. Például, ha megvizsgálja a fogakat vagy a csigolyákat, azonosíthatja, melyek a legenergetikusabbak vagy legizgatottabbak, értékes információt nyújtva egy teljes ellenőrzéshez.

Végül, emlékeztetőül, bármikor, amikor azonosít egy releváns elemet, hozzáadhatja azt a prioritási listához, ha rákattint a dedikált ikonra. Ez lehetővé teszi, hogy a későbbi harmonizálás érdekében a kiegyensúlyozó kiválasztásba is bekerüljenek.

12.3. Akupunktúrás pontok

Értékelje több mint 350 akupunktúrás pontot és százak TCM receptjeinek relevanciáját

Pontok és meridiánok felfedezése

A szoftverben a test felfedezése során hozzáférése van meridiánokhoz, pontokhoz és szervekhez. Ha rákattint egy konkrét meridiánra, a kijelző megváltozik és a meridiánon lévő pontok részleteit mutatja be, ahelyett, hogy az egész meridiánt mutatná. Ez a funkció lehetővé teszi a pontok pontos értékelését.

Pontválasztás és információk

A pontokra való rákattintással részletes információkat szerezhet az adott pontról. Meridiánt is választhat és megnézheti a pontok állapotát is. Meridiánok váltásával megnézheti a különböző pontokat és helyüket a térképen, ami különösen hasznos a hatékony navigáláshoz.



biocoherence.net/n82.94

Navigálás és meridiánok nyomon követése

Meridián-specifikus információk

Pontok megjelenítése a térképen

Ha rákattint egy pontra, az megmutatja a pontos helyét a térképen. A baloldali menü lehetőségeket kínál olyan mint energia, entrópia és koherencia. Az energia választásával a kijelző a legenergetikusabb és legkevésbé energetikus pontokat lila és sárga színben mutatja.

TCM recept logika

A program TCM recept logikát használ, amely több pontot együtt kombinál egy tünet kijavítására. Például, ha bizonyos pontok együtt rezegnek és túl gyengék vagy túl erősek, ez jelezheti az egyensúlyhiányt. A TCM receptek, amelyeket évezredekken keresztül fejlesztettek ki, konkrét tünetek kezelésére alkalmazzák mint például a gyomorégés. Ebben az alkalmazásban megfordított logikát alkalmaztunk. Feltételeztük, hogy ha bizonyos pontok együtt rezegnek és energia szintjük túl alacsony vagy túl magas, ez értékes belátásokat nyújthat. Például, nagyon energetikus vagy nagyon alacsony energiájú pontok, vagy pontok, amelyek túl izgatottak vagy túl stabilak, jelezhetik az egyensúlyhiányt a koherens rendszerben, amelyet általában a gyomorégés vagy pyrosis kezelésére használnak. Vegye figyelembe azt az esetet, amikor három konkrét pont egy személyen nagyon stabil. Ez jelezheti hogy a receptek vagy kezelések kapcsolódnak ehhez a ponthoz szükséges. Ez a megközelítés további ötleteket adhat diagnózisra.

Receptek alkalmazása

Receptek alkalmazhatók akupunktúrával vagy hang vagy elektromos frekvenciák felhasználásával a kiegyensúlyozási fázisban. A koherens rendszerek, ahol a pontok együtt rezegnek, különösen fontosak a pontos diagnózishoz. A pontok szinkronizálása növeli a TCM kezelések relevanciáját az elemzett személy számára.

Következtetés

Az ez a fejezet részletesen ismertette a TCM szoftverben a pontok és meridiánok használatát, magyarázva hogyan lehet navigálni, választani és értelmezni az információkat a pontos diagnózis és hatékony kezelés érdekében.

13. Értsd: Elme

Elme, lélek és árnyék

Ezek a képernyők a mentális, spirituális és tudatalatti elemzési részeknek vannak szentelve. Tartalmazzák a személyiséget, a zenei harmóniát, az érzelmeket, az összehangolódást, a sebeket és a motorokat.

13.1. Igazítás

Igazítás és Konzisztencia az Elfie Hullám Kezelésében

A megfelelő irányítás alapvető eleme az elmének, különösen az Elfie hullámok kezelésekor. Az irányítás különböző skálákon nyilvánul meg ezeknél a hullámoknál, és megértésüket segítheti a vizualizációs eszközök használata. Például a szívkoherencia vizuálisan ábrázolható, ami perspektívát nyújt egy egyén energetikai állapotáról.

Az interfészen három csúszka található az alján, amelyek lehetővé teszik a paraméterek vizualizálását, míg a tetején az implóziós spirál vizualizációja látható. Az Elfie hullám skála, amelyet a 205, 206 és 214 értékek illusztrálnak, a jelenlegi skálaszintet jelzi. A 214 Elfie konkrét érték részletes információihoz egyszerűen kattintson a jellemzőire és következményeire vonatkozó részletekért.

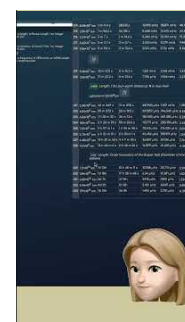
Mindegyik skála figyelemre méltó értékeket mutat bizonyos hullámhosszaknál, értékes információt nyújtva az energetikai interakciókról. Ezeknek a skáláknak a megfigyelésével lehetőség nyílik arra, hogy meghatározzuk a kapcsolat mértékét más skálaszintekkel. Például egy elemzés feltárhatja, hogy egy egyén energikusabb a mikroskálán, mint a makroskálán, ami a kisebb struktúrákban koncentráltabb energiát jelez.

A spirál vizualizációja lehetővé teszi, hogy kövesse az energia útját különböző skálákon. A spirál lefelé mozgásával és az értékek megfigyelésével minden szinten megérthetjük, hogy az energia hogyan fejlődik az idő múlásával. Ez különösen releváns kiterjesztett felvételek esetén, ahol különböző skálákon történő evolúciót tanulmányozhatunk.

Ennek az elemzésnek egy kulcsfontosságú aspektusa a célzott koherencia, különösen a szívkoherencia, amely azt méri, hogy egy egyén energiája mennyire van szinkronban az elfie értékekkel. Ezeket az értékeket a legkompatibilisebbeknek tekintik az energiaátvitel szempontjából minden skálán. A kurzorok fontos szerepet játszanak ezeknek a paramétereknek a beállításában az optimális koherencia elérése érdekében.

Összegzésül, az irányítás és a koherencia az Elfie hullámok kezelésében összetett, de alapvető fogalmak az energia különböző skálákon történő megértéséhez. A vizualizációs eszközök és kurzorok felbecsülhetetlen segítséget nyújtanak ezeknek a paramétereknek a navigálásában és optimalizálásában, hozzájárulva a jobb energia kezeléshez és átvitelhez.

További információk a <https://elfie.link> oldalon vagy a szoftver "Elfie" menüjében található.



biocoherence.net/n82.103

13.2. Agyhullámok

A generális agyi hullámtevékenység elemzése

Ebben a szakaszban a "Mentális" felület utolsó fülét fogjuk megvizsgálni, amely az agyhullámokkal foglalkozik. Ez a funkció még kísérleti fázisban van. Merész azt állítani, hogy az agyhullámokat EKG-ban tudjuk olvasni, így lehetővé teszi, hogy megvizsgálja az EKG-ban a különböző agyhullámoknak megfelelő analízis spektrumokat, és megfigyelje azok fejlődését az idő múlásával. Végül is, eszközünk az egész test elektromos aktivitását méri, de az agyhullámok 100x gyengébb szinten vannak, mint az EKG, így ez még mindig egy kísérleti algoritmus.

Az agyhullámok megjelenítése dinamikus. Amikor lejátszási módban van, észre fogja venni a több sávú megjelenítést. A megjelenítés mögötti logika az, hogy minél szélesebb a sáv, annál hosszabb időtartamot képvisel. Ezzel szemben egy vékonyabb sáv rövidebb időtartamot jelez.

Itt van a különböző sávok magyarázata:

- A legrövidebb sáv nagyon rövid távú méréseknek felel meg, amelyeket a verés vagy néhány verés szintjén mérnek.
- Ahogy a sávok szélesednek, egyre hosszabb időtartamokat képviselnek.

Fontos megjegyezni, hogy a rövid távú elemek nagyon gyorsan mozognak, míg a hosszú távú elemek lassabb változásokat mutatnak.

Amikor rákattint egy sávra, egy értékelés jelenik meg a képernyő alján, a virág ábrázolásával, amelyet ismer. Ezt az értékelést közvetlenül hozzáadhatja a prioritási listájához, megkönnyítve az agyhullámaik nyomon követését és elemzését.



biocoherence.net/n82.105

További információkért

Agyhullámok több kategóriába sorolhatók, mindegyik különböző mentális állapotokkal és éberségi szintekkel társul:

1. Delta hullámok (0.5-4 Hz): A mély alvással és regenerációval társul.
2. Theta hullámok (4-8 Hz): A mély relaxációval, meditációval és a könnyű alvási fázissal társul.
3. Alpha hullámok (8-12 Hz): A nyugodt relaxáció és a ébrenléti meditáció állapotával korrelálnak.
4. Beta hullámok (12-30 Hz): A koncentrációval, éberséggel és kognitív aktivitással összefüggésben állnak.
5. Gamma hullámok (30-100 Hz): Magas kognitív folyamatokkal társulnak, mint például a tanulás és a memória.

Ezek a hullámok az egyén tevékenységei és mentális állapotai szerint ingadoznak.

13.3. Meghajtók

51 érzelmek, érzések és cselekvések szemtől szembe, három fő csoportra és három alcsoportra osztva minden egyikhez.

Az elme és a tudatalatti elme motorjainak megértése

A tudat végső eleme és a tudatalatti rész a vizsgálatban a motorokkal foglalkozik. A motorokat körülbelül hatvan érzelem alkotja, amelyek vagy építő, vagy romboló tulajdonságúak. Ezeket az érzelmeket három kategóriába soroljuk: a belső én, a külső én és a mások.

1. Az érzelmek kategóriái:

- Belső én: Tartalmazza az összes érzelmet, amely a belső világunkkal kapcsolatos.
- Külső én: Tartalmazza az összes érzelmet, amely a külső világunkkal kapcsolatos.
- Mások: Tartalmazza az összes érzelmet, amely a másokkal való interakcióinkkal kapcsolatos.



biocoherence.net/n82.104

2. Az érzelmek szerkezete:

- Minden érzelmi kategória három alpra oszlik: érzelem, érzés és cselekvés.
- Érzelem: Minden valóság alapja, amely ezután érzést generál.
- Érzés: Az érzelem eredménye, amely cselekvéshez vezet.
- Cselekvés: Az érzelem-ézés folyamat végső eredménye.

3. Horizontális szervezés:

- Az érzelmeket horizontálisan is osztályozzák: a felső részen építő érzelmek találhatók, az alsó részén pedig romboló érzelmek.
- Például, a depresszió ellenáll a elengedésnek, az egészségügyi szorongás a meditatív állapotnak, a szívfájdalom a örömmek, és a önrombolás a megelégedettségeknek.

4. Összefonódások:

- Az érzelmek különböző helyeken összefonódhatnak. Például, a nyugalom ellentéte a kényszeres obszesszió, a reflexió az éles kérdéseknek, és így tovább.
- Ezek az összefonódások kulcsfontosságú információt nyújtanak a meditációhoz és az önmegértéshez.

5. Csúsztatás:

- Lehetőség van arra is, hogy konkrét érzelmeket válasszunk ki a munkához. Például, ha a szervezet alacsony-energiás állapotban van, akkor dönthetsz úgy, hogy megerősítéd azt.
- Konkrét elemeket is hozzáadhatsz, például a magas-energiás döntést a személyes munkalistádhoz.

Összefoglalva, az érzelmi motorok megértése és szervezése jobb kezelést tesz lehetővé az érzelmeink és cselekedeteink felett, elősegítve a kiegyensúlyozottabb és tudatosabb személyes fejlődést.

Ha többet szeretnél tudni

Az érzelmek és érzések belső válaszok külső és belső ingerelésre.

- A belső én tartalmazza az önismeretet, személyes gondolatokat és érzéseket.
- A külső én azt jelenti, amit másoknak megmutatunk és azt a magatartást, amit a társadalomban tanúsítunk.
- A másik én azt jelenti, ahogyan reakciókat mutatunk mindenre amit a külső világ elénk tár.

A másokkal való interakciók befolyásolják ezt a két dimenziót érzelmi cserék és társadalmi visszajelzések által. Az öröm, szomorúság, düh és félelem olyan érzelmek, amelyek formálják tapasztalatainkat és cselekedeteinket, ezáltal befolyásolják a saját és mások észlelését. Ezeknek a dinamikák jobb megértése javíthatja az érzelmi intelligenciát és a személyes kapcsolatokat.

Íme egy részletes leírás minden érzelemről:

1. Agilitás: A változásokra gyorsan és hatékonyan való alkalmazkodás képessége.
2. Egészségügyi szorongás: Túlzott aggodalom a saját egészsége vagy mások egészsége miatt.
3. Benevolencia: A másokkal szembeni kedvesség és együttérzés tartása.
4. Szívfájdalom: A veszteség vagy csalódás miatti mély szomorúság és érzelmi fájdalom.
5. Nyugalom: A békés és belső nyugalom állapota.
6. Karizma: A mások vonzásának, elbűvölésének és befolyásolásának képessége.
7. Koncentráció: A figyelem fenntartásának képessége egy konkrét feladatra vagy célra.
8. Önbizalom: A saját képességeinkbe vagy másokéba vetett bizalom.
9. Figyelembe vétel: Gondoskodás és tiszteletteljes hozzáállás a mások érzéseihez és szükségleteihez.
10. Kitartás: A félelem, fájdalom, veszély vagy bizonytalanság szembenézésének képessége.
11. Döntés: A választások meghozatalának képessége határozottsággal és elszántsággal.
12. Depresszió: Hosszan tartó szomorúság, kétségbeesés és az élet érdeklődésének elvesztése.
13. Akadályoztatás: A célok elérésére való elszántság az akadályok ellenére.
14. Eufória: Intenzív öröm és izgalom érzése.
15. Előképzés: A kifejezés világos és hatékony módja.
16. Érzelmi instabilitás: Túlzott és előre nem látható érzelmi változások.
17. Empátia: A mások érzéseinek megértésének és megosztásának képessége.
18. Erőszakos hangulat: Gyakori és előre nem látható hangulatváltozások.
19. Kimerültség: Extrém f

13.4. Érzelmek

szomorúság, biztonság, szeretet, igazság, béke, jólét és elégedettség

A tudatalanr l sz l s fejezet h rom f  ter letre oszlik:  rzelme k, sebek  s motorok. Kezdj nk az  rzelme kkel.

Ezen az oldalon h s f   rzelme t  rt kelhet: szomor s g, biztons g, szerelem, igazs g, b ke, j l t  s meglegedetts g. K pes lesz nyomon k s rni azok fejl d s t. A sorok megnyom s val vizualiz lhatja a biomarkert vir gform ban, megmutatva bels  dinamik jt  s az ezek  rzelme k k z tti kapcsolatokat. Itt ism t a grafikon az elt r  id horizontok szerinti  rt kel s t k pezik, a legs lesebb sorok a hossz  t v  id k t, m g a legv konyabb sorok a r vid t v  id k t jel lik.

Ez az elemz s technikai szempontb l nagyon k l nb zik,  s k l nb z  adatokon alapszik, mint ami a Drivesben tal lhat . Ez rt  rdekes meg t ni  ket.

Ezek a f   rzelme k a m sodrend  harmonikus elemz st l  s a gener lis m ly sz v r t l f gnek. A k vetkez k ppen lehet s g le rni  ket:

1. Szomor s g: A vesztes g, kudarc vagy csal s miatt kialakult szorong s vagy melank lia  rzelme . Gyakran t nik fakad sban, energi nak a hi ny ban  s visszah z sban.
2. Biztons g: A v delem  rzelme   s a vesz ly hi nya. Ez bizalmat  s nyugalmat gener l, lehet v  t vol tani a fizikai vagy lelki fenyeget sekt l.
3. Szeretlem: M ly  rzelem a szeretet  s k tel k ir nt egy szem ly, egy  llat vagy egy tev kenys g ir nt. Ez gyeng d gesztusokban, pozit v gondolatokban  s a k zels g v gy ban nyilvánul meg.
4. Igazs g: A sz v r s  s az autentikus  rzelme . Az igazs g vil goss got  s transzparenci t hozhat a kapcsolatokba  s helyzetekbe, elker lve a zavart  s csal st.
5. B ke: A nyugalom  s bels  harm nia  llapota. A b ke a konfliktus, stressz  s szorong s hi ny ban nyilvánul meg, t mogatva a pihen st  s a j l t  rzelme t.
6. J l t: Az eg cszs g, k nyelmes g  s fizikai  s ment lis meglegedetts g  rzelme . Ez mag ban foglalja a szempontokat, mint az eg cszs g, az  rzelmi egyens ly  s a szem lyes kiteljesed s.
7. Meglegedetts g: A v gyak, sz ks gek vagy c lok teljes t se miatt kialakult meglegedetts g  s  lvezet  rzelme . Ez a teljes tm ny  s siker  rzelme t hozza.



biocoherence.net/n82.115

13.5. F kuszt

Stress index, HRV...

Ebben a szakaszban felfedezzük a Focus képernyőt, amely gazdag információkat nyújt az előrehaladott elektrokardiogram elemzéséhez szükséges. Ez az információ általában akadémiai és kutatási környezetekben használatos, és különböző tudományos markereket tartalmaz.

1. **Stressz Index:** Ezt az indexet Bevski, orosz kutató fejlesztette ki. A test stresszszintjét specifikus paraméterek segítségével méri.
2. **Adaptációs Szint:** Egy másik index, amelyet Oroszországban fejlesztettek ki, ez értékeli a test képességét a különböző ingerelések és körülmények alkalmazáshoz való alkalmazkodásra.
3. **Totális Teljesítmény, Változási Tényező és Szívritmus Változékonyság:** Ezek a markerek jól ismertek a kardiológia területén, és különböző szívfunkciós és stresszválasz aspektusok mérésére használják.
4. **Pszicho-Emocionális Stressz:** Ez az indikátor értékeli a szív-és érzelmi rendszerre gyakorolt hatásokat.

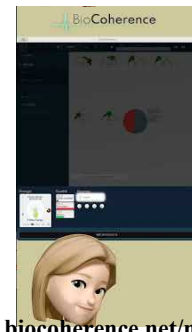
A Focus képernyőn megadott adatok kurzorok formájában is megjeleníthetők a gyors vizualizáció érdekében. Alternatívaként jegyzetekben, virágokban és minőségekben is bemutatathatók, lehetővé téve a részletesebb elemzést.

A Focus képernyő továbbá tartalmazza a figyelem, szándék és horizont szabályozásának minőségére vonatkozó információkat. Ezek az indikátorok további információkat nyújtanak a felhasználó mentális és érzelmi állapotáról.

Ennek a képernyőnek érdekes vonása a felépítés (katabolizmus) és megsemmisítés (anabolizmus) közötti kapcsolat. A katabolizmus az energia felhasználását jelenti, míg az anabolizmus az energia megtakarítást tükrözi. Ez az arány dinamikus és változhat a rögzítés során, tükrözve a élő rendszerek általános légzését. Kérjük, tartsuk szem előtt, hogy mi egy rendszerszintű lény vagyunk, és a megsemmisítés a sűrítés-kibővítés, megsemmisítés-újraépítés, szétválasztás-újraegyesítés, komplexifikálás-egyszerűsítés általános mozgásának része. Egy egészséges komplex szervezet folyamatosan oscillálnia kell ezek az állapotok között.

Fontos megfigyelni ezeket a dinamikus változásokat, mivel ezek jelzik az építés és megsemmisítés arányának evolúcióját. Ennek az evolúciós tényezőnek a hozzáadása jobb megértést nyújt a biológiai rendszerek légzéséről.

Végül, a Focus képernyő két virágot is bemutat, amelyek az anabolizmust és katabolizmust képviselik, hogy vizuális információt nyújtsanak ezekről a folyamatokról. Ezeket az adatokat szakaszonként vagy az egész felvétel folyamán analizálni lehet, teljes áttekintést nyújtva a felhasználó fiziológiai és pszichológiai állapotáról.



biocoherence.net/n82.100

13.6. Zene

Zenei Elemzés és Igazítás

Ebben a szakaszban a tudat fogalmának második részét vizsgáljuk, amely magában foglalja az elmét, a szellemet és a tudatalattit. Főként az elmére összpontosítunk, különös figyelmet fordítva a zene és az összhang elemeire.

Zene a felvételekben

Amikor elemezzük az elmét, kezdjük azzal, hogy azonosítjuk a felvételen jelen lévő zenei elemeket. A cél az, hogy releváns zenei megfeleléseket találjunk. Két lehetőség áll rendelkezésre: vizualizáljuk az összes zenei elemet, vagy visszajátszuk őket, hogy megfigyeljük fejlődésüket az idő múlásával.

Vékony sávok a rövid távú elemeket képviselik, míg a szélesebb sávok a hosszabb távú elemeket jelzik. Egy másik érdekes mérőszám a felvétel általános zenei harmóniájának szintje. Körülbelül száz ütem után elkezdhetjük azonosítani a konkrét rövid, közép, hosszú és nagyon hosszú távú zenei akkordokat.

Ezek az akkordok 2, 3 vagy 4 hangot tartalmazhatnak, és különböző skálákra terjedhetnek ki. Bár ez az információ nem mindig közvetlenül hasznos, döntő fontosságúvá válik, amikor irányított meditációt rekonstruálunk. Lehetővé teszi



biocoherence.net/n82.102

számunkra, hogy megértsük a résztvevők jelenlegi állapotát, azaz a felvételükben található zenét, és meghatározzuk, hová szeretnénk eljuttatni őket zeneileg.

Zenei összhang és beállítás

A zenei összhang magában foglalja a skálák és akkordtípusok beállítását a meditáció céljainak megfelelően. Például, ha a jelenlegi akkordok moll7 akkordok, és szeretnénk áttérni a dúr akkordokra, ezt az átmenetet fokozatosan fogjuk végrehajtani a meditáció során. Hasonlóképpen, ha egy bizonyos frekvenciát célozunk meg, amely nincs jelen, olyan zenét építünk, amely fokozatosan fejlődik a célfrekvencia felé.

A cél az, hogy a résztvevőket a jelenlegi zenei állapotukból egy mélyebb meditációs állapotba irányítsuk, a testükben lévő dallamok segítségével. Ez a megközelítés megkönnyíti a meditációba való belépést azáltal, hogy közvetlenül beszél a résztvevők zenei nyelvén.

Röviden, a zenei elemzés és az összhang lehetővé teszi az irányított meditáció személyre szabását, így a tapasztalat minden egyén számára hozzáférhetőbbé és hatékonyabbá válik.

13.7. A 2016 személyiségtípusok

Jung's típusai, más néven MBTI vagy Myers-Briggs, teljesen új térképen

Az én személyiségem értékelése Jung típusai szerint

Ebben a szekcióban a "Szellem" fül felfedezésével általános áttekintést nyújtunk a személyiség Jung típusai szerinti értékeléséről. A személyiséget négy fő tengely segítségével elemzik.

Személyiségi tengelyek

Jung típusait négy tengely segítségével számítják ki, amelyeket először logikai grafikonon helyeztünk el:

1. NS (Érzékelés/Intuíció): Ez a tengely meghatározza, hogyan dolgozza fel az információkat az ember.
2. FT (Gondolat/Érzelem): Ez a tengely értékeli az információk feldolgozásának módját, a gondolkodásra vagy elmére fókuszálva.
3. IE (Introverzió/Extroverzió): Ez a tengely méri az energiát, jelezve, hogy egy személy kifelé néző (extroverzió) vagy bent tartózkodó.
4. JP (Ítélet/Percepció): Ez a tengely időbeli térrel foglalkozik, és jelezheti, hogy egy személy rövidtávú orientált (spontaneitás).

Az egyes tengelyek szegmensekre vannak felosztva, lehetővé téve a részletes értékelést. Például, az IE tengelyen egy személy kibővített vagy introvertált módon értékelhető.

Jung típusok és értékelés

Jung típusai, mint például ENTP, ENTJ, ESTJ, ESTP stb., ezeknek a négy tengelynek a helyzete szerint határozódnak meg. Például, egy értékelés felfedheti a domináló ESTJ típust.

Személyiségtípusok dinamikája

Ellentétben a statikus kérdőíves értékeléssel, ez a módszer lehetővé teszi, hogy megfigyeljük az ember tudattalan, dinamikus választását. Ahogy navigálunk a tengelyek között, láthatjuk, hogy az értékelések mozgásban vannak, jelezve, hogy a személyiségtípusok dinamikusak. Ez jelenti, hogy az egyén különböző szomszédos típusok között is oszcillálhat a helyzettől függően.



biocoherence.net/n82.101

Ez a nem statikus megközelítés Jung típusaihoz érdekes perspektívákat nyit a viselkedések és személyiségek megértése szempontjából.

Személyiség típusok részletesen

Jung személyiség típusai négy fő pszichológiai funkción alapulnak: gondolat, érzélem, érzékelés és intuíció, kiegészítve az extroverzió és introverzió attitűdjével. Ez nyolc személyiség típust eredményez:

1. Extrovertált gondolkodás: Logikus, objektív, tényorientált.
2. Introvertált gondolkodás: Reflektív, analitikus, független.
3. Extrovertált érzélem: Társaságkedvelő, meleg, szociális értékekre orientált.
4. Introvertált érzélem: Visszafogott, mély, saját értékeivel irányított.
5. Extrovertált érzélem: Gyakorlati, reális, konkrétan orientált.
6. Introvertált érzélem: Művészi, érzékeny, szubjektív tapasztalatokra orientált.
7. Extrovertált intuíció: Innovatív, lehetőségekre orientált, jövőorientált.
8. Introvertált intuíció: Látomásos, introspektív, belső látásra orientált.

Ezek a típusok segítenek megérteni az egyének különböző módjait, ahogyan perceiv a világot és hoznak döntéseket.

Íme, egy rövid leírás a 16 Myers-Briggs Típus indikátor (MBTI) személyiség típusról:

1. ISTJ (Felügyelő) - Megbízható, szervezett, reális és gyakorlati.
2. ISFJ (Védő) - Elkötelezett, gondoskodó, hűséges és részletes.
3. INFJ (Tanácsadó) - Ideálisan, empatikus, perceptív és inspiráló.
4. INTJ (Építész) - Stratégiai, független, analitikus és eltökélt.
5. ISTP (Művész) - Gyakorlati, megfigyelő, alkalmazkodó és logikus.
6. ISFP (Művész) - Érzékeny, visszafogott, spontán és harmonikus.
7. INFP (Idealista) - Kreatív, szenvedélyes, altruista és introspektív.
8. INTP (Logikus) - Innovatív, kíváncsi, objektív és független.
9. ESTP (Vállalkozó) - Energetikus, közvetlen, pragmatikus és társaságkedvelő.
10. ESFP (Értelmező) - Lelkes, spontán, meleg és szórakoztató.
11. ENFP (Inspiráló) - Képzletgazdag, társaságkedvelő, energetikus és látomásos.
12. ENTP (Úttörő) - Zseniális, energetikus, talpraesett és intellektuális.
13. ESTJ (Felügyelő) - Szervező, gyakorlati, reális és döntéshozó.
14. ESFJ (Konzultáns) - Barátságos, tudatos, együttműködő és társaságkedvelő.
15. ENFJ (Tanár) - Karizmatikus, altruista, empatikus és motiváló.
16. ENTJ (Parancsnok) - Látomásos, határozott, stratégiai és hatékony.

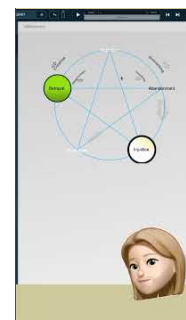
Ezek a rövid leírások általános áttekintést nyújtanak minden MBTI személyiség típusról.

13.8. Az 5 seb

Elhagyás, elutasítás, megalázás, árulás, igazságtalanság

Az emberi tudatalatti nagy mértékben a pszichés sebek hatása alatt áll. Ezek között öt fő seb van: elutasítás, elhagyás, megcsalás, megalázás és igazságtalanság. Ezek az öt seb egy kezdeti modellből származik nyolc seb kapcsán. Ezek használatukban hasonló módon hatnak egymásra, mint a hagyományos kínai orvoslás öt eleme, létrehozva egy komplex közönség hálózatát.

Annál értékesebb insightokat kaphatunk, ha megtudjuk mely sebek aktívak jelenleg bennünket. Az elutasítás, megcsalás vagy igazságtalanság egymásra gyakorolt hatásának megfigyelésével dinamikusabb belátásokat nyerhetünk pszichés állapotunkkal kapcsolatban. Ez a megértés kulcsot jelenthet a nagyobb önismerethez és önfejlesztéshez.



biocoherence.net/n82.113

Az 5 seb eredete

John Pierrakos, pszichoterapeuta és a Bioenergetikai Elemzés Intézetének társalapítója 1956-ban, átvette Wilhelm Reich munkáit a létfenntartó sebekkel (vagy narcisztikus sebekkel) kapcsolatban és nyolcat határozott meg: elhagyás, elutasítás, megalázás, megcsalás, igazságtalanság, betolakodás, tehetetlenség, bizonytalanság.

Lise Bourbeau később alkalmazta és egyszerűsítette a elméletet öt érzelmi sebbe amelyek megakadályoznak bennünket abban, hogy önmagunk legyünk. Szerinte ezek a sebek sok érzelmi probléma és funkciózavart viselkedés gyökerében állnak. A gyermekkorban keletkeznek, gyakran a születés és a hét éves kor között, de folytatják befolyásolni felnőtt életünket ha nem gyógyítják meg őket.

1. Az elutasítás seb: Ez a seb általában nagyon korán alakul ki, néha még a születés előtt is, és gyakran kapcsolódik az érzéshez, hogy nem vagyunk kívánatosak. Azok az emberek akiknek ez a sebük van értéktelennek érzik magukat a szeretethez és kerülnek azokat a helyzeteket ahol elutasíthatják őket. Nehézségeik vannak azzal, hogy érvényesüljenek és átvegyék a helyüket.
2. Az elhagyás seb: Ez akkor jelenik meg amikor a gyerek elhagyatottnak vagy támogatás nélkülinek érzi magát azok közelében akik közel állnak hozzá. Azok az emberek akiknek ez a sebük van intenzív félelmet éreznek a magánytól, és folyamatosan keresik mások figyelmét és jóváhagyását. Emocionálisan függővé válhatnak.
3. Az megalázás seb: Ez akkor alakul ki amikor a gyerek kicsinyeltnek vagy kritizáltak érzi a szülei vagy szerettei által a viselkedése vagy cselekedetei miatt. Azok az egyének akiknek ez a sebük van szégyent éreznek és hiányzik belőlük a méltóság. Lehet hogy ők is megalázzák magukat hogy megakadályozzák másokat abban hogy ezt tegyék.
4. A megcsalás seb: Ez akkor történik amikor a gyerek megcsalva érzi magát valaki által akiben megbízott , gyakran egy szülő aki nem tartja be a ígéreteit. Azok az emberek akiknek ez a sebük van nehézségekkel küzdenek másokba vetett bizalmukkal és mindent kontrollálni akarnak. Lehet hogy féltékenyek vagy birtoklóak lesznek.
5. Az igazságtalanság seb: Ez akkor alakul ki amikor a gyerek igazságtalanul kezelve érzi magát, gyakran túlzottan autoritárius vagy kritikus szülők által. Azok az emberek akiknek ez a sebük van a tökéletességre törekednek, és merevvé és intoleránsá válhatnak. Gyakran nehézségeik vannak az érzelmeik kifejezésével.

Lise Bourbeau magyarázza hogy ezek a sebek befolyásolják a viselkedésünket és a világ észlelésének módját. A gyógyuláshoz elengedhetetlen felismerni ezeket a sebeket, megérteni eredetüket és dolgozni rajta hogy túllépjünk rajta.

14. Teszt

Ez a modul az élő biofeedback tesztelésre és a meglévő felvételekből származó tesztlisták értékelésére szolgál.

A Teszt modul lehetővé teszi számodra bármilyen élő teszt végrehajtását, amelynek eredménye bizonyos biomarkerek azonnali változása szerint értékelésre kerül; valamint bármilyen tesztlistát előzetesen értékelni a jelenlegi Scan szerinti bizonyos biomarkerek értékei alapján

Lista előzetes értékelése

Új listákat hozhatsz létre vagy használhatod a más felhasználók által létrehozott létező listákat. Amikor megnyitasz egy listát, minden elemét prioritásba helyezik a jelenleg megnyitott jelentéshez képest. Ezután bejelölheted, melyek azok, amelyeket előben szeretnél tesztelni

Élő tesztelés

Ha az elemeket kiválasztották, az élő tesztelés lehetővé teszi, hogy megjelenítsd azokat az ügyfél számára és megmérjed az ő rendszerének biofeedback választát a Szenzor segítségével. Az eredményt 3 lehetséges válaszra kategorizálják: megerősíti a rendszert; meggyengíti a rendszert; vagy semleges

Az is van egy végtelen nyitott teszt opció, amely lehetővé teszi számodra bármilyen terápiás megközelítés közvetlen tesztelését az ügyfélén vagy önmagadon, és az eredmény élő mérése biofeedback segítségével.

14.1. Teszt listák

Tesztelés listákkal a BioCoherence-ben

Lista kezelése és szerkesztése az alkalmazásban

Amikor listákkal dolgozik, a kulcsszó keresési funkció a keze ügyében van. Bár a listák száma jelenleg korlátozott, a rendszer úgy van megtervezve, hogy több száz, sőt ezer lista kezelésére is képes legyen. Ez lehetővé teszi, hogy szerkeszthesse és kezelhesse saját tesztjeit.

Teszt szerkesztési mód

1. **Hozzáférés a szerkesztési módhoz:** Ha olyan teszten van, amely Önhöz tartozik, egy kis ceruza jelenik meg a teszt mellett. Kattintson rá, hogy belépjen a szerkesztési módba.
2. **Elemek szerkesztése:** Amint belépett a szerkesztési módba, kattintson az egyes elemekre a szöveg és a kapcsolódó műveletek módosításához. Például definiálhat műveleteket olyan kategóriákra, mint az Ayurveda, szervek, Vata, Vita stb.
3. **Műveletek definiálása:** Kattintson olyan kategóriákra, mint a VPK, hogy meghatározza a hatásokat, például bizonyos elemek (pl. aminosavak, húgyhólyag, vér, agy, szemek) növelését vagy csökkentését.



biocoherence.net/n82.112

Automatikus értékelés

Az automatikus értékelés a felhasználók elem szintjei és a tesztekben definiált műveletek közötti egyezés alapján történik. Ez lehetővé teszi, hogy a listán szereplő elemeket a várt eredmények szerint rangsorolja.

Additional tools

1. **Új eszközök hozzáadása és importálása:** Új eszközöket adhat hozzá, vagy importálhat egy listát az elemek másolásával soronként.
2. **Lista törlése:** Van lehetőség egy lista teljes törlésére.

3. 2D logikai térkép: Hamarosan lehetősége lesz az elemek elhelyezésére egy kétdimenziós képen, megkönnyítve ezzel a tesztek vizualizálását és szervezését.

Generális lista tulajdonságok

Az interfész tetején módosíthatja az általános tulajdonságokat:

- Lista kategória
- Láthatóság (nyilvános vagy privát)
- Hozzáférés (ingyenes vagy fizetős)

Pénzes listák nyilvánosak lehetnek, így más felhasználók is hozzáférhetnek, díj ellenében, akár egyszeri díj, akár havi előfizetés formájában. Ez lehetővé teszi, hogy megossza tudását és pénzt keressen érte.

Nem tulajdonolt listák kezelése

Ha olyan listán dolgozik, amely nem az Öné, megduplázhathatja azt. A másolat létrehozása lehetővé teszi, hogy egy szerkeszthető példányt készítsen, ahol megváltoztathatja a címet, leírást és műveleteket.

Lista hozzáférése

Az általános menüből, amely a képernyő jobb oldalán érhető el, navigálhat a "Saját listáim" menüpontra, hogy szerkessze meglévő listáit, vagy újakat hozzon létre. Ez a funkció bármely képernyőről elérhető, beleértve a főképernyőt is.

Ha ezeket az utasításokat követi, hatékonyan kezelheti listáit és tesztjeit, miközben kihasználja az alkalmazás által kínált különböző szerkesztési és szervezési lehetőségeket.

Bevezetés a lista alapú tesztelésbe

A lista alapú tesztelés a BioCoherence-ben teljesen nyitott rendszer, amely lehetővé teszi a felhasználók számára, hogy meglévő listákat válasszanak, új listákat hozzanak létre, vagy meglévő listákat más felhasználókkal megosszák.

Mi az a lista?

A tesztlista egy bejegyzések gyűjteménye, például aromás gyógynövények vagy illóolajok. Amikor egy lista megnyílik egy jelentésben, amelyhez elérhető feljegyzés tartozik, minden bejegyzés értékelésre és prioritizálásra kerül. A százalékok jelzik a bejegyzések kompatibilitását a feljegyzéssel, 0% és 100% között.

színek

- Zöld: Nagyon releváns, magas kompatibilitás (pl. 85%)
- Egyéb színek: A kompatibilitás különböző fokozatai (pl. 40% egy köztes sorozat esetén)
- Lila: Alacsony kompatibilitás (20-30%)
- Szürke: Semleges vagy közel nulla kompatibilitás (körülbelül 0%)
- Piros: Inkompatibilitás vagy negatív válasz

Élő teszt

Az előzetes értékelés után a második rész egy élő tesztből áll. Itt vannak a követendő lépések:

1. **Elemek kiválasztása:** Válassza ki a tesztelendő elemeket egyesével.
2. **Csatlakozás az érzékelőhöz:** Csatlakoztassa az érzékelőt a kalibráláshoz.
3. **Tesztek futtatása:** A tesztek egyenként futnak, vizuális, audio vagy egyéb információ küldésével a tesztelt személynek.
4. **Megfigyelés:** A személynek látnia vagy hallania kell a tesztelés alatt lévő információt a pontos értékeléshez.
5. **Értékelés:** A rendszer az információk bemutatása szerint osztályozza a test válaszait.

Az eredmények megjelenítése

A teszt végén az eredmények újra megjelennek és az alábbiak szerint osztályozódnak:

- Sikeres teszt: Jó testválasz

- **Átlagos teszt:** Vegyes válasz
- **Kérdéses teszt:** Negatív vagy következetlen válasz

Az információ bemutatásának fontossága

Elengedhetetlen, hogy a lehető legtöbb információt bemutassuk a tesztelt elemekről (pl. fényképek, a rendszerek részletei, amelyeken az illóolajok hatnak), hogy intuitív és mérhető válaszokat kapjunk a testtől a biofeedback rendszeren keresztül.

Az eredmények integrálása a jelentésbe

- **Kompatibilitási százalék:** Számítás az első beolvasás alapján
- **Tudattalan testválasz:** Az információ bemutatásakor mért

Feljesztési lehetőségek

Új tesztfunkciók, mint például a frekvencia tesztelés és bármilyen információ élő tesztelése, hamarosan elérhetőek lesznek.

Teszt szerkesztési mód

Amikor olyan teszten van, amely Önhöz tartozik, egy kis ceruza jelenik meg. Ezen ceruza megnyomásával belép a teszt szerkesztési módba. Ezután kattinthat az egyes elemekre, hogy módosítsa a kapcsolódó szövegeket és műveleteket. Például beállíthat műveleteket olyan elemekre, mint az Ayurveda és a szervek, és hamarosan más típusú műveletek is elérhetőek lesznek.

Műveletek szerkesztése

Ha módosítani szeretne egy műveletet, kattintson a vonatkozó elemre (pl. VPK), és határozza meg a hatásokat, például bizonyos aspektusok (pl. Vata és Vita) növelését vagy csökkentését. A szervek hatásait is meghatározhatja, például aminosavak, húgyhólyag és vér növelését, vagy az agy és a szemek csökkentését. Ezek a módosítások meghatározzák ennek a bemenetnek a specifikus hatását, ami elengedhetetlen az automatikus értékeléshez.

Automatikus értékelés

Az automatikus értékelés a felhasználói szintek (virág formájában) és a definiált műveletek összehasonlításával történik. Ez az összehasonlítás lehetővé teszi az elemek rangsorolását a listában az elért eredmények szerint.

Elérhető eszközök

Változatos eszközök érhetőek el a képernyő alján. Új eszközöket adhat hozzá, importálhat egy listát az elemek másolásával soronként, vagy törölhet egy listát. Hamarosan az elemeket egy kétdimenziós képen is elhelyezheti, fénykép készítésével vagy egy kép importálásával, hogy logikai térképre helyezhesse őket. Ez lehetővé teszi, hogy a teszt a térképen mozogjon a kiválasztott elemek szerint.

Generális lista tulajdonságok

Az általános lista tulajdonságai a képernyő tetején találhatóak. Módosíthatja őket, ha rákattint, hogy meghatározza a kategóriát, láthatóságot (nyilvános vagy privát) és az árképzési módot (ingyenes vagy fizetős). Egy fizetős lista nyilvánossá tehető, amint elkészült, lehetővé téve a felhasználók számára, hogy minden alkalommal, vagy havi díj ellenében fizessenek a használatáért.

Megosztás és díjazás

z a rendszer lehetővé teszi, hogy megossza tudását vagy értékelési típusait, és ezért díjazásban részesüljön. Ha egy olyan listán dolgozik, amely nem az Öné, megduplázhhatja azt. Közvetlenül nem tudja szerkeszteni, de ha megduplázza, akkor létrehoz egy másolatot, amelyet teljes mértékben módosíthat, beleértve a címet és a leírást is.

Hozzáférés a listákhoz

Az általános menüből, amely a képernyő jobb oldalán található, hozzáférhet a "Saját listáim" menüponthoz. Bármely képernyőről, például a főképernyőről, választhatja a meglévő listák szerkesztését. Ezen az interfészen könnyen létrehozhat új

15. AI a BioCoherence-ben

BioCoherence a legújabb csúcstechnológiás Mesterséges Intelligencia (MI) technológiákat használ az értelmezés, használat és elemzés megkönnyítésére zökkenőmentes és teljesen integrált módon.

- MI Segítők képesek magyarázni, elemezni, tesztelni és cselekedni a prioritások alapján. Több mint 30 szakosodott segéd kaphat biomarker értékeket és nyithat egy egyszerű beszélgetést a felhasználóval vagy a Pro-val.
- Profesionálisok számára a listázási elemek létrehozása felgyorsul a meditációs részletek írásában nyújtott segítségnek, a cselekvések automatikus azonosításának, termék összetevői keresésének köszönhetően....
- BioCoherence több ezer exkluzív algoritmust integrál, amelyek a BioFeedback és biomarkerekhez kapcsolódnak, néhányat melyek mély tanulás és mesterséges intelligencia segítségével nyertek el.

15.1. AI Segítők

A BioCoherence legizgalmasabb fejlesztései közé tartozik az AI Segítők bevezetése. Ezek az AI-vezérelt asszisztensek azért készültek, hogy segítsenek a felhasználóknak navigálni a programban található hatalmas információhalmazban, megkönnyítve ezzel az adatok megértését és kihasználását a biofeedback vizsgálatok eredményeiből.

A BioCoherence AI Segítői azért lettek tervezve, hogy javítsák a felhasználói élményt a személyre szabott útmutatás, magyarázatok és programok készítése által a felhasználói adatok alapján. Ezek az AI modulok csökkentik az új felhasználók tanulási görbáját és lehetőséget biztosítanak a szakembereknek a kliensekkel való interakciók egyszerűsítésére. Az AI Segítők két különböző módban működhetnek a használatuk környezetétől függően:

1. **Felvétel nélkül:** A felhasználók beszélgethetnek az AI-vel egy alapvető program létrehozásához szükségleteik alapján. A Főoldalról: A felhasználók interakcióba léphetnek az AI-vel általános irányelvekért anélkül, hogy specifikus biomarkerekhez kötődnének.
2. **Nyitott felvétellel:** Az AI Segítők elemzik a felhasználó biomarkerjeit és információkat vagy ajánlásokat nyújtanak a rögzített adatok alapján.



Fontos Funkciók

Az AI Segítők virtuális klinikaként működnek, specializált asszisztensek feladata pedig az ápolók és támogató személyzet szerepének betöltése mind általános felhasználók, mind szakmai gyakorlók számára. Ezek az AI asszisztensek a következőkre képesek kiegészítettek:

- Olvassák és értelmezik a biomarkerjeidet a vizsgálataidból és a klienseid vizsgálataiból.
- Megmutatják a specifikus biomarkerjeidet és értelmezik azok értékeit.
- Harmonikus támogatást játszanak le az energiád kiegyensúlyozásához.
- Módosítják a prioritásaidat az egészségi adataid és a beszélgetés alapján.
- Elemeket adnak a harmonikus támogatás listához a személyre szabott gyógyításhoz.
- Új teszteket kérnek és elemeznek valós időben.
- Magyarázatokat és tanácsokat adnak különböző biomarkerjeidre és teszta^{CTM}eredményeidre.
- Redirektálják a klienseket szakmai konzultációkra szükség esetén.

Ez jelenti hogy a felhasználók interakcióba léphetnek az AI-vel hogy mélyebb insightokat nyerjenek az egészségükről, kérdéseket tehetnek fel az eredményeikkel kapcsolatban, és még ajánlásokat is kaphatnak a cselekvésre alkalmas insightokkal, meditációval, gyógyteákkal és még tőbbel:

- személyre szabott segítség: Minden AI Segítő specifikus területen specializálódik, mint például a természetgyógyászat, a hagyományos kínai orvoslás (TCM), illóolajok, vagy meditáció. Jelenleg több mint 25 AI Segítő érhető el. Ezek kiválasztott biomarker halmazt kapnak amelyek kapcsolódnak szakértelmükhöz, speciálisan készített utasításokat, speciális tudást és képzést, speciális listákat és listaelemeket, valamint speciális további információkat és speciális képességeket kapsz.
- Alapvető program készítése: A felhasználók személyre szabott programokat hozhatnak létre az AI-val folytatott beszélgetéseik segítségével. Ezek a programok elmentésre kerülnek a "Basic Programs" szakaszban és azonnal elindíthatók.
- Language Support: AI Segítők támogatják a többnyelvű használatot, ezért a felhasználók az anyanyelvükön interakcióba léphetnek. A rendszer tervezése többnyelvű lekérdezések hatékony kezelésére történt.
- Customizable Access: A szakemberek ellenőrizni tudják, hogy melyik AI Segítő érhető el klienseik számára és milyen adatokhoz férhetnek hozzá. Ez biztosítja hogy az AI a szakember által meghatározott határokon belül működjön.

Az AI tervezése a korlátainak elismerésére irányul, biztosítva hogy a felhasználók bátorítva legyenek a szakmai útmutatás keresésére amikor szükséges.

AI Segítők Szakembereknek

A szakemberek számára, az AI Segítők intelligens asszisztenseként működnek amelyek az alábbiakat tudják:

- Segítenek megmagyarázni a bonyolult biomarkerjeidet a klienseknek.
- Szükséges további tesztek javasolnak a kliensek adatai alapján.
- Ajánlják a meditációs technikákat vagy gyógyteákat.
- Megkönnyítik a magyarázati folyamatot azáltal, hogy a klienseknek kiválasztott AI Segítőket biztosítanak amelyek képességekkel rendelkeznek a magyarázatra, de nem a szakember döntéseinek módosítására.

Amikor a szakember egy kliensek nyilvántartásán dolgozik, az AI Segítő megkapja a kliensek adatait és a szakember asszisztensévé válik.

AI Segítők Hozzáférése

AI Segítők elérhetők a következőkön:

- Főoldal: Általános útmutatás vagy alapvető program készítése céljából.
- Nyitott felvétel: A specifikus biomarkerjeid elemzésére és magyarázatára, a részletes insightok nyújtására.

AI Segítő Használati Esetek

Alapvető program készítése:

- Navigálj az AI Segítők szakaszába a főoldalról.
- Válassz ki egy AI Segítőt (pl., Alvási Tanácsadó, Meditációs Útmutató).
- Lépj kapcsolatba egy beszélgetésben az igényeid leírásához (pl., "Stresszes vagyok és segítségre van szükségem a kikapcsolódáshoz").
- Az AI generálni fog egy személyre szabott alapvető programot és elmenti a "Basic Programs" szakaszban.

Biomarkerjeid magyarázata:

- Nyiss meg egy felvételt és navigálj az AI Segítők szakaszába, a "Következtetések" alatt.
- Válassz ki egy AI Segítőt amelyik kapcsolódik a biomarkerjeidhez (pl., TCM Gyakorló meridiánok kapcsolatban).
- Az AI részletes magyarázatokat és ajánlásokat fog nyújtani a biomarkerjeidre vonatkozóan amelyeket a felvételen számítottak.

Példa: Személyre szabott Tea vagy Illóolaj Keverékek. Használj Herbálos vagy Illóolaj Szakértő AI Segítőt. Az AI elemezni fogja a kapcsolódó biomarkerjeidet és ajánlani fog egy személyre szabott tea keveréket vagy illóolaj receptet.

AI Segítő Korlátai

- Az AI Segítők nem tudják módosítani a felvételeket vagy elemzési eredményeket

16. Egyensúly

Erőforrások és prioritások; jelentés, meditáció generálása és frekvenciák.

Ezek a képernyők önazonosítást és az erőforrások és prioritások módosítását teszik lehetővé, PDF jelentés generálását, valamint újraegyensúlyozó eszközök létrehozását, például irányított meditációk, specifikus frekvenciák...

16.1. Prioritások

Határozza meg az elemzés után kezelendő kuleselemeket

A kiegyensúlyozó szakasz azokkal a cselekvésekkel foglalkozik, amelyeket el kell végezni miután az elemzés befejeződött és a célok világossá váltak, vagy amikor a készülék megbízhatóan meghatározza az igényeket automatikusan.

Fontossági sorrendek

Definíció és Cél: A fontossági sorrendek azok az elemek, amelyeket az alkalmazás figyelembe kell venni vagy beavatkozásra van szükség. Ezek azok a területek, ahol a felhasználó egészsége kompromittálódhat és támogatásra van szükség az azonosított források által (lásd a következő fejezetet a forrásokról).

Kiválasztási Folyamat: Az alkalmazás automatikusan választja ki a fontossági sorrendeket egy algoritmus alapján, amely különböző biomarkereket értékkel. A felhasználók további lehetséges fontossági sorrendeket fedezhetnek fel minden kategórián belül és hozzáadhatják őket igény szerint, akár a "felfedezés" gombra kattintva a érdekes biomarkerek előzetes kiválasztásához, akár az összes képernyőn böngészve és érdekes fontossági sorrendeket választva.

Kategóriák: Hasonlóan a forrásokhoz, a fontossági sorrendek különböző csoportokba sorolják be, beleértve a szerveket, érzelmeket és energetikai pontokat. A felhasználók fedezhetik ezeket a kategóriákat további fókuszterületek azonosítására.

Testreszabás: A felhasználók hozzáadhatják vagy eltávolíthatják a fontossági sorrendeket a listából, lehetővé téve egy személyre szabott megközelítést az egészségügyi utazásukhoz. Ajánlott a fontossági sorrendek számát kezelhető szinten tartani (15-20) az összpontosítás és hatékonyság megőrzése érdekében.



biocoherence.net/n82.107

Újraszámítások futtatása a rendszer optimalizálásához.

A hullámforma elemzés kulcsfontosságú lépés a logikai evolúcióban. Újraszámolhatja a biomarkereket, kapcsolatokat, fontossági sorrendeket és azonosíthatja a forrásokat az igényei szerint. Ha problémái vannak a teljes jelentés elérésével, mindig újraszámolhatja azt.

Prioritások megjelenítése és módosítása

A prioritások szakaszában a rendszer mindent megjelenít amely releváns lett. Módosíthatja ezeket a prioritásokat azok törlésével vagy újak hozzáadásával. Prioritás hozzáadásához kattintson a "Hozzáadás" gombra és válassza ki az érdekes elemeket a különböző kategóriákból, mint például a szerveket, meridián pontokat vagy a TCM (Hagyományos Kínai Orvoslás) recepteket.

A prioritások listáját is tisztíthatja azok törlésével amelyekre már nincs szükség. A prioritás szerkesztése ugyanazt a felületet használja az összes rendszer oldalán, de itt összegyűjti az összes prioritást amelyet meghatározott.

Végül hozzáadhat megjegyzéseket a prioritásokhoz. Ezeket a megjegyzéseket integrálják a végső jelentésbe, további kontextuális információt biztosítva minden azonosított prioritásra.

A prioritás elemeket bármelyik oldalon hozzáadhatja vagy eltávolíthatja, ha a releváns virág melletti ikonra kattint jobbra. Ha ez az ikon zöld, a biomarker jelen van a prioritásokban; ha piros, akkor nincs.

16.2. Erőforrások

A pilléreken alapján szilárdan harmonizálni

A kutatási források felfedezése előtt Christine Degoy meg oszt néhány gondolatot a kutatásáról, mivel ez kulcsfontosságú terület:

"Kialakítottunk egy kultúrát--egy új gondolkodásmódot--a problémás rendszerekkel való kapcsolódásról. Tíz éve végzett terápiás munka és kutatás ügyfelekkel kezdetben felfedte számomra az egyén benső összhangját. Ez a természetes rezonancia kulcsfontosságú, mivel segít felfedezni a problémák teljes spektrumát. Ez a legkönnyebb módja a mély belső kapcsolatok létrehozásának, amely elősegíti a pozitív fertőzést és mege erősíti az összhangot a rendszerben. Ez a megközelítés felhatalmazza az egyéneket arra, hogy belsőleg gyógyuljanak és növekedjenek, tisztelőben tartva a testük természetes rendjét. Ezt azt mondjuk a 'források útjának', nyitott ajtó a lehetőségekhez. A források a legösszhangban lévő és legnagyobb erejű részei létünkünkől, hasonlóan egy szuperhatalomhoz, amelyet életünk során fejlesztettünk ki. Az élethosszig tartó források fogalma végül a életkündetéseink moduljának részévé válik. Még egy egyedi szerv, meridián, akupunktúrás pont, csakra, érzélem, stb. is lehet egy erőteljes forrás, hozzájárulva a boldog fertőzéshez, amely meghatározza az életünket és testünket." -- Christine Degoy



biocoherence.net/n82.108

Miután megnéztük a prioritásokat - azokat a kulcsfontosságú elemeket, amelyeket bármely személynek címkézni kell bármikor - tovább lépünk a forrásokra. A forrásokat, amelyeket egy kicsi jegyikon csillaggal jelöl, a test "csillag" elemeinek tekintjük. Ezek azok, amelyek energiával teli, rendkívül stabilak és amelyekre a test támaszkodhat az energia elosztásához a prioritások során a gyógyulási folyamat során.

Az alkalmazásban kifejlesztettünk egy komplex algoritmust a forráspontszám számításához minden biomarkerre. Ez a pontszám az energiát, stabilitást és kapcsolódást azonosítja, kiemelve a fejlesztéshez szükséges prioritásokat. Különböző tényezőket figyelembe vesz, mint például egy elem stabilitását, energiáját és kapcsolódását, amelyek eredményeként a forrássaldalt láthatja jelenleg.

A források és prioritások részletes megértése a BioCoherence alkalmazásban világos tájékozódást kínál a felhasználók számára a bennük rejlő erőforrások kihasználásához és a szükséges területek kezeléséhez a javított egészség és jóllét érdekében.

A forrásokat automatikusan azonosítják egy felvétel után, köszönhetően egy algoritmusnak, amelyet kifejlesztettek az összes elérhető elem figyelembevételére. Azonban lehetőség van ezeknek a forrásoknak a kézi módosítására is, ha szükséges. Például, amikor az orgánomok szakaszát érzük el, ha a neurotranszmitterek a fő forrásnak lett azonosítva, akkor lehetőség van rájuk kattintani, hogy megnézzük a más erős források választékát.

A megfelelő források ezután fordított fontossági sorrendben rendeződnek, a legnagyobbtól a leggyengébbig. Ha más forrással szeretne dolgozni, például a nyelvvel a neurotranszmitterek helyett, vagy a tracheával, vagy az idegsejtek sejtnukleuszával, egyszerűen kattintson a kívánt forrásra a kiválasztásához. Ahhoz, hogy jobban megértse, mit jelent minden forrás, kattintson a virág ikonra, hogy megnézze a kapcsolatokat és tudatosabb választást hozhasson.

Ezeket a forrásokat aztán felhasználják a reharmonizáció különböző szakaszaiban.

A források rövid bemutatása

Megközelítésünk egy paradigmaváltást hoz a problémás rendszerek kezelésében. Kezdetben terápiás gyakorlatok által felfedezett ez a módszer kihangsúlyozza az egyén benső összhangját. Ez a természetes rezonancia a terápia és a személyes összhang között állapot teremt a szélesebb problémák kezeléséhez. A megközelítés elősegíti a belső kapcsolódást, ami a 'boldog fertőzéshez' vezet,

ami fokozza a személyes gyógyulást és felhatalmazást külső protokollok nélkül. Ez a módszertan, amelyet 'a források útjának' nevezünk, tiszteltben tartja a komplex rendszereket és elősegíti a szinergiát.

Források az egyén legösszhangban lévő és legpotensebb tényezőiként azonosíthatók, hasonlóan a bennünket meghatározó szuperhatalmakhoz. A személyes utazás megértésének további bővítése érdekében a jövőbeli frissítések tartalmazni fogják az életküldetéseket, amelyek Christine kutatásának kiterjesztése.

A konkrét szerv, például jelentős forrássá válhat, potenciálisan elterjedve az energiát és összhangot az egész testben. Az alkalmazás egy fejlett algoritmust alkalmaz az egyik biomarkerhez tartozó forrásponyszám számításához, azonosítva az optimális forrásokat és prioritásokat. Az algoritmus értékeli az energiát, stabilitást és kapcsolódást más elemekkel, figyelembe véve ezen kapcsolatok erejét vagy gyengeségét, amelyek eredményeként átfogó forrásoldalt kapunk.

Források és Prioritások a BioCoherence alkalmazásban

Áttekintés

A BioCoherence alkalmazás átfogó elemzést kínál a felhasználó fiziológiai és energetikai állapotáról egy részletes szkennelés által. A kezdeti szkennelés befejezése után a felhasználók két kritikus komponenssel találkoznak: Források és Prioritások. Ezek a tényezők elengedhetetlenek a szkennelési eredmények értelmezéséhez és a felhasználó irányításához az optimális egészség és jóllét felé.

Források

Definíció és Cél: A BioCoherence alkalmazásban a források a legösszhangban lévő, stabil és energiában gazdag elemeket jelentik a felhasználó testében. Ezeket az elemeket a felhasználó bennünket meghatározó erősségeiként vagy "szuperhatalmaiként" azonosítják, amelyek kihasználhatók a gyógyulás és egyensúly támogatására.

Számítás: Az alkalmazás egy komplex algoritmust alkalmaz a forrásponyszám meghatározására minden biomarkerhez. Ez a pontszám figyelembe veszi az energiát, stabilitást és más elemekkel való kapcsolódást. A legmagasabb pontszámú elemek forrásokként azonosíthatók.

Csoportok: A források tíz csoportba sorolhatók, beleértve:

- Organikus Csoportok (pl. Ayurveda-alapú csoportok)
- Egyedi Szervek
- Atomok
- Meridiánok
- Momentum (dinamikus állapotok%)

16.3. PDF jelentés

Generálás, PDF exportálás, nyomtatás és eredmények megosztása

Fejezet: Jelentések generálása és kezelése a Balance segítségével

A Balance harmadik kulcsfontosságú funkciója a jelentésgenerálás. Ez a funkció lehetővé teszi, hogy PDF fájlt hozzon létre, amely tartalmazza az alkalmazás használata során megőrzött összes információt.

PDF jelentés tartalma

A létrehozott PDF jelentés tartalmazza:



biocoherence.net/n82.109

- Projekt szakaszok és időtartam
- Írásos megjegyzések
- Azonosított források
- Meghatározott prioritások
- Legenergiásabb vagy legkevésbé energikus szervek
- Legjobban vagy legkevésbé izgatott szervek
- Koherenciában lévő szervek
- Meridiánok
- Hagyományos Kínai Orvoslás (TCM) receptek
- stb.

Jelentés testreszabása

A jelentésből szakaszokat adhat hozzá vagy távolíthat el. Ehhez lépjen a szakasztípusokhoz, és használja a rendelkezésre álló eszközöket a jelentés igényei szerinti testreszabásához.

Jelentés megosztása és mentése

A PDF jelentés közvetlenül megosztható több csatornán:

- **Közvetlen megosztás:** Használja a megosztó dobozt a jelentés WhatsApp, SMS vagy messenger általi elküldésére.
- **Mentés:** Kattintson a "PDF fájl" gombra a jelentés mentéséhez. Számítógépen közvetlenül a merevlemezére mentheti. Telefonon vagy táblagépen (iPad) a fájljaiban lesz mentve.
- **Nyomatás:** Kattintson a "Nyomatás" gombra a jelentés kinyomtatásához. Számítógépen ez megnyitja a nyomtatási párbeszédpanelt. Telefonon a nyomtatási lehetőség akkor jelenik meg, ha egy kompatibilis nyomtató elérhető a hálózaton.

A PDF jelentés megőrzi az összes beírt információt, beleértve a különböző szakaszokban hozzáadott megjegyzéseket is. Ez a funkció biztosítja, hogy minden fontos adat központossított legyen és könnyen hozzáférhető a jövőbeni használatra.

16.4. Egyensúly: Meditációk, hangok és eszközök

irányított meditációk, frekvenciagenerálás és időkristály feloldása. Ezen a szakaszon ez a modul előkészítés alatt áll, és a következő hónapokban fogják fejleszteni.

Balansz Személyre Szabott Útmutatott Meditációkkal

"A Balansz" szakasz mérőföldkő része módszerünknek, amely az útmutatott meditációk vagy hangfájlok létrehozására irányul, integrálva az egyéni szükségleteknek megfelelő frekvenciákat. Az elv progresszív megközelítésen alapszik, amely hasonlítható a hagyma hámozásával: a legközelebbi problémák kezelése a legkönnyebb, míg a távolabbiak mélyebb kezelést igényelnek. Ez a folyamat lépésről lépésre történik, követve egy meghatározott ideális utat a különböző prioritási elemek specifikus sorrendben történő átjárásához.



biocoherence.net/n82.110

Meditációs paraméterek

1. **Meditációs sebesség:** A rögzítés során észlelt paraméterek alapján meghatározzuk azt a sebességet, amellyel egy személy belép a meditációba.
2. **Perszonális típus:** Ez a tényező befolyásolja a meditáció felépítését.
3. **Muzika:** A hangokat és általános skálát határozzák meg, hogy a személy szintjén kezdhesse.

Részletek kiválasztása

Részletek azért lettek tervezve, hogy a legnagyobb hatású elemeket éri el minden kategóriában. Releváns részleteket naponta kérnek az aktuális prioritások kezelésére.

Prioritások kiválasztása

A kiválasztott prioritások minden típusához sorozat meditációt tartalmaznak. Ezek a sorozatok különböző típusú útmutatott meditációkat tartalmaznak, amelyeket a különböző profilokhoz igazítanak. Az alkalmazás ezután meghatározza a legmegfelelőbb útmutatott meditációkat az elején, majd egy második részt az alapján, hogy a kezelt prioritások és a felhasználható források alapján milyen frekvenciákra vagy hangokra van szükség.

Felvétel és nyomon követés

Ha a személyre szabott útmutatás megtervezésre került, az a felhasználó fiókjában mentésre kerülhet. Ha Pro által készítették, a felhasználók ezután telepíthetik a Biocoherence alkalmazást, beírhatják e-mail címüket és hozzáférhetnek személyre szabott meditációjukhoz. Lehetőség van arra is, hogy rendszeresen újraértékeljék a meditációs ülések előtt az alkalmazáson keresztül. Az újraértékelés arra kérdezi Önt, hogy regisztrálja a szenzort és csatlakoztassa azt egy új értékeléshez.

Előrehaladás nyomon követése

Az előrehaladás görbék formájában van megjelenítve, amelyek minden prioritáshoz tartoznak, lehetővé téve az előrehaladás vizuális megfigyelését és az még kezelésre váró pontokat. Más nyomon követési módszerek is rendelkezésre állnak, mint pl. a kezdeti és utólagos kérdőívek.

Tervezet és időtartam

Ha a terv elkészült és a személyre szabott meditáció megtörtént, az elérhető a felhasználó profilján. A felhasználót meghívhatják az alkalmazás telepítésére e-mailben, hogy közvetlenül elindíthassa az útmutatott meditációt. Egy teljes balansz ülés tervezett időtartama három hét.

Részletes útmutató: A Harmonikus Fokozó és Személyes Útmutató használata a BioCoherence-ben

A Harmonikus Fokozó és Személyes Útmutató két kulcsfontosságú funkció a BioCoherence alkalmazásban, amelyek lehetővé teszik a felhasználóknak, hogy kapcsolódjanak személyre szabott frekvenciaprogramjaikhoz. Ezek az eszközök segítenek a felhasználóknak bioaktív frekvenciákat integrálni a napi rutinjukba, támogatva energetikai és fiziológiai egyensúlyukat. Ez a szakasz részletes útmutatót nyújt arra vonatkozóan, hogyan használhatók ezek a funkciók hatékonyan, beleértve a legjobb gyakorlatokat különböző scenáriókhoz.

1. Harmonikus Fokozó

Mi az a Harmonikus Fokozó?

A Harmonikus Fokozó egy frekvenciaalapú eszköz, amely minden kiválasztott prioritást egyszerre játszik le. Célja a komplex, holisztikus energetikai harmonizáció biztosítása rövid időn belül.

Hogyan használjuk a Harmonikus Fokozót

- **A Harmonikus Fokozó hozzáférése:**
 - Nyissa meg a BioCoherence alkalmazást.
 - Navigáljon aktív felvételéhez (ez a Kezdőlap képernyője középpontjában van), vagy válasszon egy felvételt a listájában.
 - Kattintson a Harmonikus Fokozóra a frekvenciák lejátszásának megkezdéséhez.
- **A Harmonikus Fokozó lejátszása:**
 - A Harmonikus Fokozó minden kiválasztott prioritást egyszerre játszik le. Szűrheti az energiát, testet és elmét; a magas prioritású programokat; a protokollal rendelkező programokat; stb. Szűrheti a programokat, ha csak energetikai fokozásra van szüksége, például, vagy ha a mélyebb problémáival kíván foglalkozni a protokollal rendelkező programok szűrésével.
 - Lehetőség van háttérben játszani mikor napi tevékenységeket végez. A hangerő nagyon alacsony lehet.
 - Ajánlott fejhallgatókat vagy külső hangszórókat használni a jobb rezonancia érdekében. Használhat akár fülhallgatót is a zsebében, amely kisméretű elektromágneses mezőt juttat a testéhez az integrált bioaktív frekvenciákkal. Ilyen módon nincs szükség a frekvenciák hallgatására: energetikai mezejét, testét és elméjét elektromágnesesen regisztrálják.
- **A Harmonikus Fokozó exportálása:**
 - A felhasználók exportálhatják a Harmonikus Fokozót MP3 fájlformátumban offline használatra.
 - Mac-en, iPhone-on, iPad-en és Androidon a fájl menthető vagy közvetlenül megosztható SMS-en, AirDrop-on, WhatsApp-on vagy e-mailen.
 - Windows-on a fájlt kézzel kell menteni, majd megosztani.
- **Legjobb gyakorlatok:**
 - Napi Használat: Játssza le a Harmonikus Fokozót naponta egyszer vagy kétszer.
 - Passzív Hallgatás: Alacsony hangerővel is lejátszható háttérben.
 - Fókuszált Ülések: A mélyebb hatásokért hallgassa csendes környezetben minimális zavaró tényezőkkel.

2. Személyes Útmutató

Mi az a Személyes Útmutató?

A Személyes Útmutató egy útmutatott meditáció, amely integrálja a személyre szabott frekvenciákat hangútmutatóval. Segít a felhasználóknak koncentrálni energetikai és fiziológiai egyensúlyukra strukturált vizualizációs és relaxációs technikák segítségével. Ezen útmutatás célja az agyagi gyógyító tudatosság integrálása a mindennapi életébe

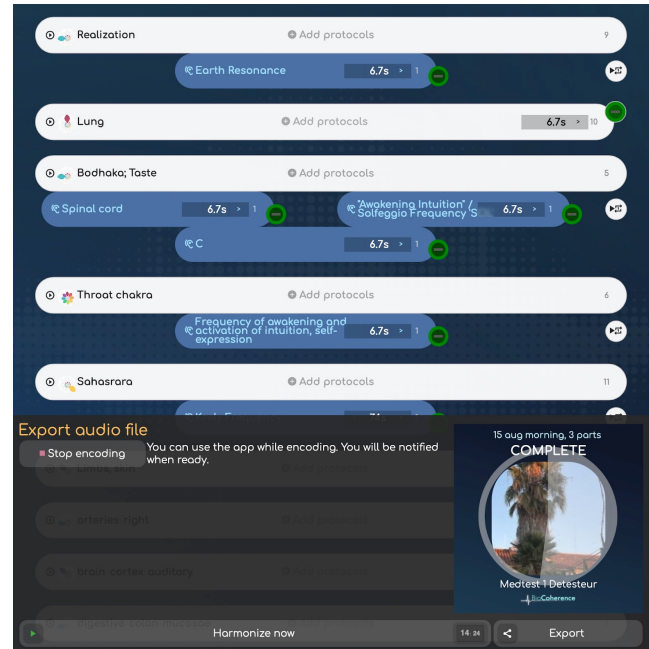
16.5. Harmonikus Fokozás

A Harmonic Boost funkció a BioCoherence-ben azért lett tervezve, hogy javítsa a meditációk és a frekvencia-alapú harmonizációk hatékonyságát azáltal, hogy integrálja a felhasználó szükségleteinek és konkrét protokollok szerint kialakított specifikus frekvenciákat. Ez a funkció lehetővé teszi a felhasználók számára, hogy különböző biomarkereket stimuláljanak és korrekáljanak előre beállított és egyéni frekvencia programok kombinációjával.

Elem Színek és Funkcióik

A Harmonic Boost felület különböző színű elemekből áll, melyek mindegyike különböző célt szolgál:

- **Fehér Elemet:** Ezek a szisztémás harmonizációkat képviselik, amelyek kapcsolódnak egy konkrét biomarkerhez. Ezek előre számított frekvenciasorozatok a specifikus szervekhez, akupunktúrás pontokhoz, terhelt állapotokhoz (e.g., geopatikus stressz) vagy más biomarkerekhez kapcsolódnak. Ezek a frekvenciák fixek és nem változnak az egyéni elemzés eredményei alapján.
- **Kék Elemet:** Ezek a korrekciós protokollokat képviselik. Ezek egyénre szabottak és helyben számítódnak a felhasználó eszközén. Ezeket a frekvenciákat a felhasználó konkrét szükségletei alapján választják ki és azért tervezik, hogy ellensúlyozzák az elemzésben észlelt diszharmóniákat.
 - **sötétkék elemek:** Ezek bioaktív egyéni frekvenciák vagy frekvenciák gyűjteménye (frekvenciaspektrumok), amelyeket elektromosan vagy akusztikusan lehet lejátszani.
 - **Világoskék elemek:** Ezek binaurális ütések, amelyek azért lettek tervezve, hogy nagyon alacsony frekvenciákat akusztikusan hallhatóvá tegyenek és tréningeljék az agyat konkrét megváltozott tudatállapotokba. Úgy működnek, hogy két kicsit különböző frekvenciát játszanak le minden fülben, ezáltal létrehozva egy ütőfrekvenciát az agyban, amely a kívánt terápiás hatásnak megfelelően hangolódik.



Akciómód és Funkcionalitás

Előre számított Frekvenciák

- A biomarker harmonizációs frekvenciák (white elements) előre számítottak és helyben valamint a felhőben tároltak. Ez biztosítja a zökkenőmentes lejátszást anélkül, hogy valós időben számításra lenne szükség, még alacsony teljesítményű eszközökön is.
- Ugyanez az előre számítási folyamat alkalmazását kérheti kék elemekre (amik nagyon egyénre szabottak) a szükséges időben, közvetlenül a felhasználó eszközén, eliminálva a zavart és javítva a teljesítményt.

Valós Időben Számítás az Egyéni Protokollokhoz

- Amikor a felhasználó hozzáad egy protokollt (kék elemek), a rendszer helyben számítja ki a szükséges frekvenciákat a lejátszás előtt.
- Ez biztosítja hogy a frekvenciák a felhasználó konkrét szükségleteihez igazodjanak miközben megőrzik az optimális teljesítményt.

Szimultán Frekvencia Lejátszás

- A Harmonic Boost rendszer négy frekvenciát játszik le egyszerre.
- Ha csak fehér elemek vannak kiválasztva, akkor négy frekvenciát játszanak a biomarker harmonizációs készletből.
- Ha mind a fehér és kék elemek ki vannak választva, a rendszer dinamikusan kiegyensúlyozza a lejátszási frekvenciákat a biomarker harmonizáció és a korrekatív frekvenciák között.

A frekvenciák együttes lejátszása lehetővé teszi a protokollok célzott hatását, azáltal, hogy közvetlen hidat teremt a kiválasztott rendszerhez a rezonancia hatásán keresztül és hozzáadja a protokoll frekvenciákat az által, hogy elérje a kifejezetten a rendszerre célzott lézer hatást.

Binaurális Ütés Integráció

- Amikor binaurális ütés (világoskék elem)20kerül beillesztésre, az egyik biomarker frekvenciájával keveredik.
- Például, ha egy geopatikus stressz frekvencia 100 Hz és egy binaurális ütés 8 Hz, akkor a rendszer 100 Hz-t játszik le az egyik fülben és 108 Hz-t a másikban, ezáltal létrehozva egy 8 Hz-es ütést az agyban.

Dózis és Időzítés

- A frekvencia ciklusok alapértelmezett hossza 6.73 másodperc, ami a Planck idő többszöröse az arany arány (phi) szerint.
- A minden fehér vagy kék program több ciklusból áll, amelyek tipikusan 10 és 150 másodperc között tartanak (újraindító ciklusok 6.73 másodperccel).
- A felhasználók állíthatják a program hosszát az általuk kívánt módon rövidebbé vagy hosszabbá tenni, a szükségleteik szerint.
- A teljes program exportálható egy hangfájlban, és az alprogramok közvetlenül exportálhatók a legjobban figyelembe veendő energia, test, elme vagy a legnagyobb figyelmet igénylő elemek célzására.

Testreszabás és Exportálás

Protokollok Hozzáadása

- Felhasználók kézi módon adhatnak hozzá protokollokat a Harmonic Boost ülés hatékonyságának növelésére.
- A rendszer ajánlott protokollokat nyújt a kiválasztott biomarker alapján, de a felhasználók is kereshetnek további protokollok után. Több mint 2000 protokoll tartozik hozzá és a lista rendszeresen bővül új tanulmányokkal.

MP3 Fájlok Exportálása

- Felhasználók MP3 fájlokban exportálhatják a Harmonic Boost üléseket offline használatra.
- Az exportált fájlok tartalmazzák a metainformációkat mint album borítók és kulcsszavak, ezáltal könnyen szervezhetőek a zenei könyvtárakban.

Praktikus Alkalmazások

- Sz személyeségi Útmutató Javítása: A felhasználók a Harmonic Boost frekvenciáit hallják a személyes irányított meditációkban a mélyebb pihenés és gyógyulás érdekében.
- Targetált Gyógyulás: Különböző biomarkerek és korrekatív protokollok kiválasztásával a felhasználók személyre szabott gyógyító üléseket hozhatnak létre.
- Energia Növelése: A felhasználók energiát növelő frekvenciasorozatokat hozhatnak létre és menthetnek a gyors hozzáférés érdekében szükség esetén.

A Harmonic Boost funkció a BioCoherence-ben egy erőteljes eszközt biztosít a frekvencia-alapú harmonizációhoz. A biomarker frekvenciák előre számított komb

Melléklet 1.

Gyakran ismételt kérdések

Hogyan kérj segítséget az alkalmazásban

A segítség kéréséhez vagy javaslat küldéséhez az alkalmazás bármely oldaláról egyszerűen nyissa meg a jobb felső menüt, és kattintson a "Visszajelzés és ötletek" lehetőségre. Kattinthat a "képernyőkép megjegyzése" lehetőségre is, hogy hozzáadjon egy képernyőképet az aktuális oldalról, és ezt a megjegyzett képernyőképet csatolja a kéréséhez. Így sokkal könnyebb nekünk segíteni!

Hogyan férhetnek hozzá a családtagjaim vagy az ügyfeleim az egyedi meditációkhoz?

A testreszabott meditációk eléréséhez le kell tölteniük az alkalmazást a biocoherence.net/install vagy az App Store vagy Play áruházból. Meghívhatja őket egy fiók létrehozásával számukra; kérjük, adja meg az email címüket a fiókban, hogy meghívót kapjanak a megfelelő fiókkal. Ezután megoszthatja velük az elemzésüket, ha hozzáadja őket kapcsolattartóként az elemzéshez. Amikor bejelentkeznek az alkalmazásba azzal az email címmel, amelyet a létrehozott fiókban megadott, megtalálják ezt az elemzést az alkalmazásuk kezdőlapján, vagy a "Rögzített elemzések" alatt.

Miután megkapták az elemzést, meghallgathatják a kiegyensúlyozó meditációt a BioCoherence alkalmazás "Egyensúly" szekciójában, ahol a hanganyag beszélgetést kombinál a frekvenciákkal a legjobb eredmények érdekében.

BioCoherence Partner Program

Üdvözljük a BioCoherence Partner Programban! Örömmel látjuk, hogy csatlakozik hozzánk, hogy megossa a legújabb technológiánk előnyeit a közönségével. Programunk lehetővé teszi, hogy jutalékot keressen, miközben segít másoknak felfedezni az egészség és jólét átalakító megközelítését.

Kezdés

1. Jelentkezzen be a fiókjába: Látogasson el a <https://biocoherence.net/s0.login> weboldalra.
2. Érje el a partner oldalát: Navigáljon a <https://biocoherence.net/n119> oldalra. Ez az Ön személyes partner központja.

Itt megtalálja az összes eszközt és információt, amire szüksége van, beleértve, hogyan:

- Létrehozhatja és kezelheti a meghívó kódjait.
- Nyomon követheti a jutalékait.
- Bővítheti a partnerhálózatát.

A Partner Programról

Programunk előfizetés-alapú jutalékokat kínál közvetlen értékesítésekhez és különböző vásárlási típusokhoz. További ösztönzőket is kereshet, amikor új partnereket ajánl a programhoz.

Előfizetéses Jutalékok Közvetlen Értékesítésekhez

Amikor megosztja meghívó kódjait, jutalékot keres az előfizetésekből és más vásárlásokból, amelyeket azok a felhasználók végeznek, akik a kódjával regisztráltak. A program célja, hogy mind Önt, mind az ügyfeleit jutalmazza, kedvezményeket és ösztönzőket kínálva az új felhasználóknak, akik a kódjával csatlakoznak.

További Vásárlások

Jutalékot kereshet a BioCoherence platformon keresztül történő vásárlások, például jelentések, tesztek és hardverek után. Ezek a jutalmak lehetővé teszik, hogy profitáljon minden tranzakcióból, amelyet az Ön által ajánlott felhasználók végeznek.

Megjegyzés: A területi exkluzivitás alá tartozó termékek esetén a jutalékokat és az ügyfél számlákat a helyi exkluzív forgalmazó kezeli. Az árak a forgalmazói politikától függően változhatnak. Részletekért látogasson el a biocoherence.net/distributors oldalra.

Meghívó Kódjainak Kezelése

A partner kezelőoldalaról több kódot is létrehozhat, amelyeket különböző csatornákon, például közösségi médiában, videóban és blogban terjeszthet. Ez lehetővé teszi, hogy nyomon kövesse minden egyes kód teljesítményét, és optimalizálja erőfeszítéseit.

Alkalmazás telepítése és első indítás

- Windows, Mac vagy Linux rendszeren: Töltse le a telepítő fájlt a biocoherence.net/install oldalról
- iPad, iPhone vagy Android rendszeren: Kérjük, kövesse az utasításokat a biocoherence.net/install oldalon; a telepítés csupán egy kattintás az App Store-ból.

A telepítés után

A telepítés befejeztével még lehetnek problémák.

1. Nem találja az alkalmazást? Az "BioCoherence" néven fut; Mac-en az "Alkalmazások" mappában található. Windows és Linux rendszeren a Start menüben. iPad, iPhone és Android esetén a Főképernyőre került, és kereséssel is megtalálhatja.
2. Az alkalmazás nem indul el? Vagy a számítógépe vagy táblagépe túl lassú, vagy inkompatibilitások léptek fel.
3. Nem tud bejelentkezni? Ha van fiókja, kérjük, kattintson a "elfelejtett jelszó" lehetőségre a bejelentkezési képernyőn. Kapni fog egy linket a jelszó visszaállításához. Ha nincs fiókja, az alkalmazáson belül létrehozhat egyet.

1. <https://biocoherence.net/s0.login>
2. <https://biocoherence.net/n119>

A BioCoherence használhatja a Spooky frekvenciaprogramjait?

Igen, a BioCoherence számos frekvenciaprogramot integrált különböző forrásokból, beleértve a Spooky és más eszközök által használt Rife-alapú táblázatokat. A jövőben a BioCoherence célja, hogy lehetővé tegye a Spooky eszközök számára, hogy emitterként működjenek, lehetővé téve a BioCoherence-ből származó audio exportálását és közvetlenül a Spooky-ba való betáplálását. Tervben van, hogy minél több eszközhöz nyitottak legyünk, és közvetlen kapcsolatba lépünk velük, amikor nyitottak rá. Mindenesetre a frekvencia programok audio exportja lehetővé teszi, hogy a frekvenciákat számos különböző eszközön lejátszassuk.

Lehet, hogy "helyettesítheti" egy technológiát, amit jelenleg használók?

A BioCoherence potenciálisan helyettesítheti vagy kiegészítheti más biofeedback és egészségügyi elemző eszközöket a konkrét igényeidtől függően. Helyettesítheti a legtöbb eszközt, különösen azokat, amelyek véletlenszám-generátorokon alapulnak, de nem biztos, hogy teljes mértékben helyettesíti azokat az eszközöket, amelyeknek különböző bevált működési módjai vannak.

Hogyan kaphatok információt egy kliens központi témáiról, amikor az eredmények változnak a különböző szkennerek között?

A kliens központi témáiról szerzett információk megszerzéséhez hasznos lehet több vizsgálat összehasonlítása. Keresd a következetes mintázatokat vagy visszatérő problémákat a vizsgálatokban a központi témák azonosításához. Mederic említette, hogy fontos figyelni a vizsgálatokban megjelenő trendekre, hogy átfogóbb képet kapjunk a kliens központi témáiról.

A vizsgálati eredmények általában nagyon következetesek, a kapcsolatokban és a rendszerek relatív energiájában vagy izgatottságában lévő eltérésekkel. Ezek az eltérések egészségesek és a fejlődést jelzik.

Valójában az alkalmazásban több vizsgálatot össze lehet hasonlítani egymás mellett, hogy lássuk, hogyan fejlődnek a specifikus biomarkerek, például egy konkrét terápia alkalmazása előtt és után.

Hogyan férhetnek hozzá ügyfeleim a jelentéseikhez a gyakorló irodáján kívül? Hogyan nézhetik át a jelentéseiket és férhetnek hozzá a meditációkhoz?

Az ügyfelek hozzáférhetnek a jelentéseikhez és meditációikhoz az alkalmazáson keresztül. Íme, hogyan engedélyezhetik a szakemberek az ügyfél hozzáférést:

- Adja hozzá az ügyfelet új kapcsolattartóként az alkalmazásban:
 - Kattintson a profilképe mellett található két nyílra a "Kapcsolatok" eléréséhez.
 - Hozzon létre egy új kapcsolattartót, ügyelve arra, hogy az ügyfél e-mail címét is megadja.
- Végezzen el egy vizsgálatot az ügyfél profilján.
- Oszd meg a jelentést:
 - Nyissa meg a befejezett jelentést, és válassza a "Megosztás..." lehetőséget.
 - Küldjön egy meghívó e-mailt az ügyfélnek, beleértve egy linket az alkalmazás letöltéséhez, valamint a bejelentkezési adatokat.

Miután az ügyfél bejelentkezett, áttekintheti a jelentését és közvetlenül hozzáférhet a meditációkhoz az alkalmazásban. Ők is végezhetnek távoli tesztekkel az Ön számára (helyi tesztekkel számukra, egy Szenzorral), és az eredményeket visszakapja a szoftverében.

Hogyan használhatják a családtagjaim vagy az ügyfeleim a számukra generált egyedi frekvenciákat?

A testreszabott frekvenciák megosztásához családtagjaival vagy ügyfeleivel kövesse az alábbi lépéseket:

- Amikor megtekinti a frekvenciajelentésüket a BioCoherence alkalmazásban, exportálja a frekvenciaszekció hangfájlját.
- Ezután megoszthatja a hangfájlt velük üzenetküldőn, e-mailben vagy más kommunikációs módszereken keresztül.

Azt is javasolhatja ügyfeleinek vagy családtagjainak, hogy telepítsék az alkalmazást, és osszák meg velük az elemzést. Ehhez létrehozhat egy ügyfélszámlát az e-mail címük segítségével.

Hogyan egyedi a BioCoherence?

A BioCoherence fejlett matematikai algoritmusokat kombinál az EKG technológiával, hogy részletes egészségügyi betekintést nyújtson. Kiemelkedik azáltal, hogy többlépcsős elemzést kínál a test elektromos jeleiről, és magában foglalja az energia/test/elme megközelítést, több grafikus megjelenítést és kapcsolatokat a biomarkerek között. Emellett biofeedbackhez alkalmazott meditációkat és frekvenciákat is tartalmaz.

Hogyan frissítsük az alkalmazást

Mindig használja a legfrissebb frissítést, mivel a problémáját már megoldották - vagy az ötlete, már megvalósításra került!

A használt platformtól függően a frissítés különböző módon történik:

Béta verzió

- Ha a Beta verziót a TestFlight segítségével használja: értesítést kell kapnia minden frissítésről. Indítsa el a TestFlightot, és kattintson a "Frissítés" gombra.
- Ha a Mac, Windows vagy Linux beta verzióját a TestFlighton kívül telepítette: menjen a biocoherence.net/beta oldalra, töltsse le a legfrissebb verzió telepítőjét, és futtassa a telepítőt. Minden adatát megőrizzük.

Nyilvános verzió

- Ha a nyilvános verziót a Mac, Windows vagy Linux rendszeren a TestFlighton kívül telepítette: menjen a biocoherence.net/install oldalra, töltsse le a legfrissebb verzió telepítőjét, és futtassa a telepítőt. Minden adatát megőrizzük.
- Ha a nyilvános verziót az App Store-ból vagy Play Store-ból használja: nyissa meg az App Store-t vagy a Play Store-t, és frissítse az alkalmazást az oldaláról.

A Bluetooth-kapcsolati problémák megoldása a BioCoherence-szel

Ha problémái vannak a Bluetooth-kapcsolattal a BioCoherence alkalmazásban, kövesse ezeket a hibaelhárítási lépéseket a zökkenőmentes beállítás érdekében:

Általános irányelvek

- Először indítsa el a folyamatot:
 - Kezdje azzal, hogy elindít egy felvételt vagy tesztet a BioCoherence alkalmazásban. Sok kapcsolati probléma abból adódik, hogy túl korán próbálja meg csatlakoztatni az érzékelőt.
 - Az alkalmazás úgy van tervezve, hogy automatikusan kezelje a kapcsolat folyamatát, miután elindít egy felvételt vagy tesztet.
- Kerülje a rendszerbeállításokat:
 - Ne próbálja meg csatlakoztatni a Bluetooth érzékelőt az eszköz rendszerbeállításaiival. Hagyja, hogy az alkalmazás kezelje ezt a folyamatot, hogy elkerülje a megszakításokat.
- Biztosítsa, hogy a Bluetooth aktív legyen:
 - Windows: Kapcsolja be a Bluetooth-t a Beállítások panelen vagy a Bluetooth gyorsbillentyűn az alsó jobb sarokban található tálcán.
 - Mac: Engedélyezze a Bluetooth-t a jobb felső menüsorban. Győződjön meg arról, hogy a BioCoherence számára engedélyezve van a Bluetooth hozzáférés a Rendszerbeállításokban.
 - iOS/Android: Kapcsolja be a Bluetooth-t az eszköz beállításainak menüjében, amely általában a Wi-Fi beállítások közelében található.
- Meghíntáztott hüvelyek:
 - Fontos: Győződjön meg arról, hogy a hüvelykujjai megfelelően nedvesek vízzel vagy vezető géllal. Ez javítja a kapcsolatot és biztosítja a pontos érzékelőméréseket.

3. <https://biocoherence.net/distributors>

4. <https://biocoherence.net/install>

5. <https://biocoherence.net/install>

6. <https://biocoherence.net/beta>

7. <https://biocoherence.net/install>

Lépésről lépésre hibaelhárítás

- Bluetooth aktiválása:
 - Ha ezen a lépésen elakad, ellenőrizze, hogy:
 - A készüléke rendelkezik aktív Bluetooth chip-pel.
 - A Bluetooth be van kapcsolva és működik.
- A szenzor bekapcsolása:
 - A szenzor automatikusan bekapcsol, amikor eltávolítják a tartójából. Helyezze a nedvesített hüvelykujjait a szenzorra. Általában 1-2 másodperc alatt csatlakozik. Ha nem:
 - Kattintson a *Bluetooth újraindítása* gombra az alkalmazásban.
 - Vegye le a hüvelykujjait, majd próbálja meg újra a szenzorra helyezni őket.
- Kapcsolati állapot:
 - Az alkalmazás lépésről lépésre tájékoztat a Bluetooth panelen:
 - Bluetooth aktiválása: Győződjön meg róla, hogy a Bluetooth be van kapcsolva.
 - Szenzor bekapcsolása: Az alkalmazás készen áll a szenzor csatlakoztatására.
 - Szenzor csatlakoztatva: A szenzor sikeresen csatlakozott és készen áll.
 - Előzetes adatok kicserélve: Az alkalmazás megkapta az elsődleges adatokat, például az akkumulátor állapotát és a sorozatszámot.
 - Aktív adatok: Az EKG adatok érkeznek, és a rögzítés vagy a teszt megkezdődik.
- Több eszköz csatlakozás kezelése:
 - Ha a szenzor korábban több eszközzel is párosítva volt, tiltsa le a Bluetooth-t a nem használt eszközökön, hogy elkerülje az interferenciát.

További Megjegyzések

- Első Alkalmommal Történő Engedélyezés:
 - Amikor először indítja el az alkalmazást, adja meg a Bluetooth engedélyeket, amikor erre felszólítják. Ha véletlenül megtagadja ezeket az engedélyeket:
 - Állítsa be őket a rendszerbeállításokban.
 - Alternatívaként távolítsa el és telepítse újra az alkalmazást az engedélyek visszaállításához.
- Érzékelő Leválasztása:
 - Ha az érzékelő leválik használat közben, ellenőrizze:
 - Akkumulátor szinteket.
 - Hogy az ujjak megfelelően helyezkednek el az érzékelőn.

A fenti lépések követésével és az ujjak megfelelő nedvesítésével a legtöbb Bluetooth kapcsolódási problémát megoldhatja, és zökkenőmentes élményt élvezhet a BioCoherence-szel. Ha a problémák továbbra is fennállnak, érdemes felvenni a kapcsolatot a támogatással további segítségért.

Mik a BioCoherence árai?

A BioCoherence maximális rugalmasságot kínál az árakban. Ingyenesen kezdhet, majd válaszod ki a számodra legmegfelelőbb tervet. Minden tervünket részletesen ismertetjük a biocoherence.net/price oldalon.

Ingyenes terv

Az ingyenes terv lehetővé teszi, hogy korlátlan felvételt készíts, kapcsolatba lépj egy profival, és kapj egy egyedi meditációt. A vizsgálat során megnyithatsz néhány általános információs oldalt, de a legtöbb oldal elmosódott; vásárolhatsz egy jelentést annak feloldásához. Felvételeket készíthetsz Apple Watch segítségével vagy az érzékelőnkkel. A tesztkatalógust is elérheted, és választhatsz, hogy bármely tesztért fizetsz.

Az ingyenes terv használatához csak annyit kell tenned, hogy [telepíted az alkalmazást](#),⁹ és létrehozol egy ingyenes fiókot.

Ha tovább szeretnél lépni, itt vannak a fizetős terveink:

Pénzes tervek, személyes használatra

Kérjük, ellenőrizd az árakat a weboldalunkon. Az árak havonta (nincs elköteleződés) egy teljes élettartam licencre vonatkoznak, az összes frissítést élethosszig tartalmazza. Éves terveink is vannak kedvezményekkel.

- Me Play lehetővé teszi a frekvenciák és meditációk korlátlan lejátszását.
- Me Essential lehetővé teszi a korlátlan vizsgálatokat és egyensúlyokat (meditációk és frekvenciák) akár 2 fiók számára, és hozzáférést biztosít a jelentés alapvető képernyőhöz és ingyenes tesztekhez. Teljes jelentéseket és fizetős teszteket vásárolhatsz a kényelmednek megfelelően.
- Me Custom lehetővé teszi 3 mindig feloldott képernyő választását.
- Me Plus korlátlan teljes vizsgálati képernyőket biztosít akár 6 ember számára, szerkeszthető erőforrásokkal és prioritásokkal, valamint egyedi egyensúlyozással.

Pénzes tervek szakmai használatra

- Pro Essential korlátlan vizsgálatokat (helyben vagy távolról) és egyensúlyokat tesz lehetővé korlátlan számú kliens számára, és hozzáférést biztosít a jelentés alapvető képernyőhöz és ingyenes tesztekhez. Teljes jelentéseket és fizetős teszteket vásárolhatsz a kényelmednek megfelelően.
- Pro Custom lehetővé teszi 3 mindig feloldott képernyő választását.
- Pro Plus korlátlan teljes vizsgálatokat (helyben vagy távolról) és minden képernyőt biztosít korlátlan számú kliens számára, szerkeszthető erőforrásokkal és prioritásokkal, egyedi egyensúlyozással és teljes tesztelési lehetőségekkel, beleértve a monetizálást is.
- Med kizárólag orvosilag validált biomarkerekre összpontosít egy EKG-n.

A tervek részletesebb tájékoztatásért látogass el a biocoherence.net/price oldalra.

Mit csinál a BioCoherence a legjobban?

A BioCoherence szoftver kiválóan elemzi a test elektromos és mágneses aktivitását, betekintést nyújtva a különböző biomarkerekbe és az általános egészségi állapotba. Kiemelve az erőforrásokat, prioritásokat és a szervek közötti kapcsolatokat, összetett adatokat mutat be különböző területekről egyszerű, grafikus formában, hogy a terapeuták mindennapi használatára alkalmas legyen. Kizárólag fejlett matematikai műveleteket alkalmaz a többszintű elemzéshez, értékes adatokat kinyerve közvetlenül a test elektromos érzékelőjéből (elektrokardiogram). Az azonosított erőforrások és prioritások alapján személyre szabott irányított meditációkat és újraegyensúlyozási protokollokat javasolhat.

A BioCoherence mit nem terveztek?

A BioCoherence nem célja, hogy konkrét orvosi állapotokat diagnosztizáljon, vagy helyettesítse a hagyományos orvosi tanácsokat. Bár néhány biomarker hivatalos akadémiai orvosi kutatásból származik, elsődleges célja, hogy eszközöket biztosítson a gyors megértéshez és a gyökérok azonosításához. Támogatja az öngyógyítást otthoni felhasználók számára, és szükség esetén összeköti őket fejlett terapeutákkal.

Mi a legjobb módja annak biztosítására, hogy a szkennelési folyamat befejeződjön, figyelembe véve, hogy az elemzésnek legalább 130 másodpercet kell igénybe vennie?

Az elemzésnek valóban körülbelül 130 másodpercet kell tartania a pontos eredményekhez (legalább 128 érvényes szívverés szükséges). Az alján haladási sávok találhatók, amelyek megmutatják az egyes elemzéstípusokhoz szükséges időtartamot. Kérjük, győződjön meg arról, hogy a vizsgálat a teljes időtartam alatt fut, még akkor is, ha a sávok zöldre vannak töltve, és úgy tűnik, hogy befejeződött. Az, hogy a vizsgálat teljes időtartama befejeződjön, kulcsfontosságú az eredmények pontosságára szempontjából.

Milyen minőségűek a generált fájlok?

A fókusz a kiváló minőségű hanggenerálás fejlesztésére irányul az alkalmazáson belül, beleértve egy teljes funkcionális valós idejű szintetizátort és szekvenciát. Ezek az eszközök már elérhetők az alkalmazásban zajok, frekvenciák és rögzített irányított meditációk számára. A generált paraméterek folyamatos fejlesztés alatt állnak. A zene támogatja a meditációk hangolását és a párhuzamos csoportos üléseket.

Milyen eredményeket mértek vagy jelentettek?

Míg még bétaverzióban van, a BioCoherence nagyon pozitív visszajelzéseket kapott az első tesztekben, amelyek érvényesítik a hatékonyságát. Különböző visszajelzéseket gyűjtünk, hogy tovább érvényesítsük és bővítsük a használatát. Vásárlói vélemények és konkrét esettanulmányok lesznek elérhetők, ahogy egyre több adat gyűlik össze.

A BioCoherence tartalmaz egy módot az anonim adatok gyűjtésére (opt-in), hogy tudományosan érvényesítse az összes biomarkert és kiegyensúlyozó módot. Ezek az adatok szolgálnak alapul tudományos cikkek publikálásához, és kérésre hozzáférést biztosítanak a nyers, anonim adatokhoz megbízható intézmények számára.

Egy belépő szintű használat lehet a betegadatok nyilvántartása és alapvető elemzések végzése, míg egy haladó szintű használat magában foglalhatja a komplex adatelemzést, prediktív modellek készítését és a klinikai döntéstámogatás implementálását.

Belépő szintű használat: Me Play (automatikus szkennelés vagy teszt, és automatikus testreszabott, biofeedback-kel fokozott meditációk). Haladó használat: Pro (40 grafikai oldal, linkek, források, és prioritások azonosítása és módosítása, valamint a Pro könyvtár a felhasználó-terapeuta kapcsolatához). A jövőbeli funkciók közé tartozik a komparatív szkennelések és a több felhasználóra vonatkozó egyidejű meditációk is.

Miért villog továbbra is kék vagy zöld a szenzorom, miután befejeztem a vizsgálatot?

A szenzort vissza kell helyezni a szenzor tokba, ami automatikusan kikapcsolja. A szenzort úgy terveztük, hogy használata nagyon egyszerű legyen, így nem is kell aggódnia a bekapcsolás és kikapcsolás miatt—ezt automatikusan végzi. Előfordulhat, hogy a szkennelés befejezése után néhány másodpercig, vagy akár 1 percig zölden vagy kéken villog, de ezután leáll, és vár a következő szkennelés megkezdésére.

Miért nem csatlakozik néha a Bluetooth egy keresés során?

Ha Bluetooth csatlakozási problémákkal küzd egy szkennelés során, lehet, hogy azért van, mert a BioCoherence szkennel több eszközhöz is párosítva lett. Ilyenkor a szkennel megpróbálhat csatlakozni egy olyan eszközhöz, amelyet éppen nem használnak. E probléma megoldásához győződjön meg arról, hogy a Bluetooth teljesen ki van kapcsolva minden más eszközhöz, amely korábban csatlakozott a BioCoherence szkennelhez. Ezzel a szkennel zökkenőmentesen csatlakozni fog a megfelelő eszközhöz, lehetővé téve, hogy a szkennelése zavartalanul folytatódjon.

A problémák elkerülése érdekében nagyon fontos, hogy először az alkalmazásban indítsa el a bluetooth csatlakozási folyamatot egy új felvétel vagy teszt elindításával, és CSAK UTÁNA vegye a szenzort a kezébe. A hüvelykujjaival a szenzorra helyezze az automatikusan bekapcsol, és csatlakozik az alkalmazáshoz, amely már kutatási módban van ebben a pillanatban.

Milyen fióktípust használhatok a paraziták észlelésére?

Ez a funkció kizárólag szakmai felhasználók számára van fenntartva. Az információt szakembernek kell értelmeznie, és célunk, hogy biztosítsuk, hogy azt pontosan és felelősségteljesen használják. Ez egy energetikai értékelés keretein belül marad, és nem közvetlen megfigyelés a parazita jelenlétére.

Melléklet 2.

Kapcsolódó tanulmányok listája

Minden hivatkozáshoz hozzáférhetsz itt: biocoherence.net/studieslist

Akupunktúra, meridiánok

H. M. Langevin and J. A. Yandow, *Anat. Rec. (New Anat.)* 269, 257 (2002). [DOI¹](#), [Crossref²](#)

Banes AJ, Tszuzaki M, Yamamoto J, et al. 1995. Mechanoreception at the cellular level: The detection, interpretation and diversity of responses to mechanical signals. *Biochem Cell Biol* 73:349–365. [Crossref³](#) [PubMed⁴](#) [Web of Science⁵](#)

Bonassar LJ, Stinn JL, Paguio CG, et al. 1996. Activation and inhibition of endogenous matrix metalloproteinases in articular cartilage: Effects on composition and biophysical properties. *Arch Biochem Biophys* 333: 359–367. [Crossref⁶](#) [PubMed⁷](#) [Web of Science⁸](#)

Murugan NJ, Cariba S, Abeygunawardena S, Rouleau N, Payne SL. Biophysical control of plasticity and patterning in regeneration and cancer. *Cell Mol Life Sci.* 2023 Dec 15;81(1):9. doi: 10.1007/s00018-023-05054-6. PMID: 38099951; PMCID: PMC10724343. [DOI⁹](#)

Brand RA. 1997. What do tissues and cells know of mechanics? *Ann Med* 29: 267–269. [Crossref¹⁰](#) [PubMed¹¹](#) [Web of Science¹²](#)

Bossy J. 1984. Morphological data concerning the acupuncture points and channel network. *Acupunct Electrother Res* 9: 79–106. [PubMed¹³](#) [Web of Science¹⁴](#)

Cheng X. 1987. Chinese acupuncture and moxibustion. Beijing: Foreign Language Press.

Chicurel ME, Chen CS, Ingber DE. 1998. Cellular control lies in the balance of forces. *Curr Opin Cell Biol* 10: 232–239. [Crossref¹⁵](#) [PubMed¹⁶](#) [Web of Science¹⁷](#)

Chiquet M. 1999. Regulation of extracellular matrix gene expression by mechanical stress. *Matrix Biol* 18: 417–426. [PubMed¹⁸](#) [Web of Science¹⁹](#)

Ciczek LSW, Szopinski J, Skrzypulec V. 1985. Investigations of morphological structures of acupuncture points and meridians. *J Trad Chin Med* 5: 289–292.

Comunetti A, Laage S, Schiessl N, Kistler A. 1995. Characterization of human skin conductance at acupuncture points. *Experientia* 51: 328–331. [Crossref²⁰](#) [PubMed²¹](#) [Web of Science²²](#)

Dung HC. 1984. Anatomical features contributing to the formation of acupuncture points. *Am J Acupunct* 12: 139–143. [Web of Science²³](#)

1. <https://doi.org/10.1002/ar.10185>
2. https://aip.scitation.org/servet/linkout?suffix=c26/c26_1&dbid=16&doi=10.1063/1.4991499&key=10.1002/ar.10185
3. <https://onlinelibrary.wiley.com/servet/linkout?suffix=null&dbid=16&doi=10.1002/ar.10185&key=10.1139/o93-043>
4. <https://onlinelibrary.wiley.com/servet/linkout?suffix=null&dbid=8&doi=10.1002/ar.10185&key=8703408>
5. <https://onlinelibrary.wiley.com/servet/linkout?suffix=null&dbid=128&doi=10.1002/ar.10185&key=A1995T760300006>
6. <https://onlinelibrary.wiley.com/servet/linkout?suffix=null&dbid=16&doi=10.1002/ar.10185&key=10.1006/abbi.1996.0402>
7. <https://onlinelibrary.wiley.com/servet/linkout?suffix=null&dbid=8&doi=10.1002/ar.10185&key=8809074>
8. <https://onlinelibrary.wiley.com/servet/linkout?suffix=null&dbid=128&doi=10.1002/ar.10185&key=A1996VJ77600006>
9. <https://doi.org/10.1007/s00018-023-05054-6>
10. <https://onlinelibrary.wiley.com/servet/linkout?suffix=null&dbid=16&doi=10.1002/ar.10185&key=10.3109/07853899708999346>
11. <https://onlinelibrary.wiley.com/servet/linkout?suffix=null&dbid=8&doi=10.1002/ar.10185&key=9375981>
12. <https://onlinelibrary.wiley.com/servet/linkout?suffix=null&dbid=128&doi=10.1002/ar.10185&key=A1997XZ10400003>
13. <https://onlinelibrary.wiley.com/servet/linkout?suffix=null&dbid=8&doi=10.1002/ar.10185&key=6148847>
14. <https://onlinelibrary.wiley.com/servet/linkout?suffix=null&dbid=128&doi=10.1002/ar.10185&key=A1984TF83000001>
15. [https://onlinelibrary.wiley.com/servet/linkout?suffix=null&dbid=16&doi=10.1002/ar.10185&key=10.1016/S0955-0674\(98\)80145-2](https://onlinelibrary.wiley.com/servet/linkout?suffix=null&dbid=16&doi=10.1002/ar.10185&key=10.1016/S0955-0674(98)80145-2)
16. <https://onlinelibrary.wiley.com/servet/linkout?suffix=null&dbid=8&doi=10.1002/ar.10185&key=9561847>
17. <https://onlinelibrary.wiley.com/servet/linkout?suffix=null&dbid=128&doi=10.1002/ar.10185&key=000073043200010>
18. <https://onlinelibrary.wiley.com/servet/linkout?suffix=null&dbid=8&doi=10.1002/ar.10185&key=10601729>
19. <https://onlinelibrary.wiley.com/servet/linkout?suffix=null&dbid=128&doi=10.1002/ar.10185&key=000084085600001>
20. <https://onlinelibrary.wiley.com/servet/linkout?suffix=null&dbid=16&doi=10.1002/ar.10185&key=10.1007/BF01928888>
21. <https://onlinelibrary.wiley.com/servet/linkout?suffix=null&dbid=8&doi=10.1002/ar.10185&key=7729497>
22. <https://onlinelibrary.wiley.com/servet/linkout?suffix=null&dbid=128&doi=10.1002/ar.10185&key=A1995QU26800004>

Giancotti FG, Ruoslahti E. 1999. Integrin signaling. *Science* 285: 1028–1032. [Crossref²⁴](#) [PubMed²⁵](#) [Web of Science²⁶](#)

Gunn CC, Ditchburn FG, King MH, Renwick GJ. 1976. Acupuncture loci: A proposal for their classification according to their relationship to known neural structures. *Am J Chin Med* 4: 183–195. [Crossref²⁷](#) [PubMed²⁸](#)

Ho MW, Knight DP. 1998. The acupuncture system and the liquid crystalline collagen fibers of the connective tissues. *Am J Chin Med* 26: 251–263. [Crossref²⁹](#) [PubMed³⁰](#) [Web of Science³¹](#)

Huan ZY, Rose K. 2001. A brief history of Qi. Brookline, MA: Paradigm Publications.

Kaptchuk TJ. 2000. The web that has no weaver. Understanding Chinese medicine. Chicago: Contemporary Publishing Group, Inc.

Lai WM, Mow VC, Sun DD, Atesian GA. 2000. On the electric potentials inside a charged soft hydrated biological tissue: Streaming potential versus diffusion potential. *J Biomech Eng* 122: 336–346. [Crossref³²](#) [PubMed³³](#) [Web of Science³⁴](#)

Langevin HM, Churchill DL, Cipolla MJ. 2001a. Mechanical signaling through connective tissue: A mechanism for the therapeutic effect of acupuncture. *FASEB J* 15: 2275–2282. [Wiley Online Library³⁵](#) [PubMed³⁶](#) [Web of Science³⁷](#)

Langevin HM, Churchill DL, Fox JR, Badger GJ, Garra BS, Krag MH. 2001b. Biomechanical response to acupuncture needling in humans. *J Appl Physiol* 91: 2471–2478. [Crossref³⁸](#) [PubMed³⁹](#) [Web of Science⁴⁰](#)

Langevin HM, Churchill DL, Wu J, Badger GJ, Yandow JA, Fox JR, Krag MH. 2002. Evidence of connective tissue involvement in acupuncture. *FASEB J* 16: 872–874. [Wiley Online Library⁴¹](#) [PubMed⁴²](#) [Web of Science⁴³](#)

Liu KY, Varela M, Oswald R. 1975. The correspondence between some motor points and acupuncture loci. *Am J Chin Med* 3: 347–358. [Crossref⁴⁴](#) [PubMed⁴⁵](#)

Matsumoto K, Birch S. 1988. Hara diagnosis: Reflections of the sea. Brookline: Paradigm Publications.

McCarroll GD, Rowley BA. 1979. An investigation of the existence of electrically located acupuncture points. *IEEE Trans Biomed Eng* 26: 177–182. [Crossref⁴⁶](#) [PubMed⁴⁷](#) [Web of Science⁴⁸](#)

23. <https://onlinelibrary.wiley.com/servet/linkout?suffix=null&dbid=128&doi=10.1002/ar.10185&key=A1984SS05900005>
24. <https://onlinelibrary.wiley.com/servet/linkout?suffix=null&dbid=16&doi=10.1002/ar.10185&key=10.1126/science.285.5430.1028>
25. <https://onlinelibrary.wiley.com/servet/linkout?suffix=null&dbid=8&doi=10.1002/ar.10185&key=10446041>
26. <https://onlinelibrary.wiley.com/servet/linkout?suffix=null&dbid=128&doi=10.1002/ar.10185&key=000082033100034>
27. <https://onlinelibrary.wiley.com/servet/linkout?suffix=null&dbid=16&doi=10.1002/ar.10185&key=10.1142/S0192415X76000238>
28. <https://onlinelibrary.wiley.com/servet/linkout?suffix=null&dbid=8&doi=10.1002/ar.10185&key=937240>
29. <https://onlinelibrary.wiley.com/servet/linkout?suffix=null&dbid=16&doi=10.1002/ar.10185&key=10.1142/S0192415X98000294>
30. <https://onlinelibrary.wiley.com/servet/linkout?suffix=null&dbid=8&doi=10.1002/ar.10185&key=9862013>
31. <https://onlinelibrary.wiley.com/servet/linkout?suffix=null&dbid=128&doi=10.1002/ar.10185&key=000077302300001>
32. <https://onlinelibrary.wiley.com/servet/linkout?suffix=null&dbid=16&doi=10.1002/ar.10185&key=10.1115/1.1286316>
33. <https://onlinelibrary.wiley.com/servet/linkout?suffix=null&dbid=8&doi=10.1002/ar.10185&key=11036556>
34. <https://onlinelibrary.wiley.com/servet/linkout?suffix=null&dbid=128&doi=10.1002/ar.10185&key=00016711100006>
35. <https://onlinelibrary.wiley.com/doi/10.1096/jf.01-0015hyp>
36. <https://onlinelibrary.wiley.com/servet/linkout?suffix=null&dbid=8&doi=10.1002/ar.10185&key=11641255>
37. <https://onlinelibrary.wiley.com/servet/linkout?suffix=null&dbid=128&doi=10.1002/ar.10185&key=000171920400040>
38. <https://onlinelibrary.wiley.com/servet/linkout?suffix=null&dbid=16&doi=10.1002/ar.10185&key=10.1152/jappl.2001.91.6.2471>
39. <https://onlinelibrary.wiley.com/servet/linkout?suffix=null&dbid=8&doi=10.1002/ar.10185&key=11717207>
40. <https://onlinelibrary.wiley.com/servet/linkout?suffix=null&dbid=128&doi=10.1002/ar.10185&key=000172484200008>
41. <https://onlinelibrary.wiley.com/doi/10.1096/jf.01-0925jfe>
42. <https://onlinelibrary.wiley.com/servet/linkout?suffix=null&dbid=8&doi=10.1002/ar.10185&key=11967233>
43. <https://onlinelibrary.wiley.com/servet/linkout?suffix=null&dbid=128&doi=10.1002/ar.10185&key=000175425900017>
44. <https://onlinelibrary.wiley.com/servet/linkout?suffix=null&dbid=16&doi=10.1002/ar.10185&key=10.1142/S0192415X75000426>
45. <https://onlinelibrary.wiley.com/servet/linkout?suffix=null&dbid=8&doi=10.1002/ar.10185&key=1202933>
46. <https://onlinelibrary.wiley.com/servet/linkout?suffix=null&dbid=16&doi=10.1002/ar.10185&key=10.1109/>

- of Science⁴⁸
- Noordegraaf A, Silage D. 1973. Electroacupuncture. *IEEE Trans Biomed Eng* 20: 364–366. [Crossref⁴⁹](#) [PubMed⁵⁰](#) [Web of Science⁵¹](#)
- NIH Consensus Statement. 1997. Acupuncture. Bethesda, MD: NIH. 15: 1–34.
- O'Connor J, Bensky D. 1981. Acupuncture, a comprehensive text (Shanghai College of Traditional Medicine) Seattle: Eastland Press.
- Oschman JL. 1993. A biophysical basis for acupuncture. *Proceedings of the First Symposium of the Committee for Acupuncture Research*.
- Pomeranz B. 2001. Acupuncture analgesia—basic research. In: G Stux, R Hammerschlag, editors. *Clinical acupuncture—scientific basis*. Berlin: Springer-Verlag.
- Rabichong P, Niboyet JEH, Terral C, Senelar R, Casez R. 1975. Bases experimentales de l'analgésie acupunctureale. *Nouv Presse Med* 4: 2021–2026. [PubMed⁵²](#) [Web of Science⁵³](#)
- Reishmanis M, Marino AA, Becker RO. 1975. Electrical correlates of acupuncture points. *IEEE Trans Biomed Eng* 22: 533–535. [Crossref⁵⁴](#) [PubMed⁵⁵](#) [Web of Science⁵⁶](#)
- Senelar R. 1979. Les caractéristiques morphologiques des points chinois. In: JEH Niboyet, editor. *Nouveau traité d'acupuncture*. Paris: Maisonneuve.
- Shanghai Medical University, Human Anatomy Department. 1973. A relationship between points of meridians and peripheral nerves: Acupuncture anaesthetic theory study. Shanghai: People's Republic Publishing House.
- Swartz MA, Tschumperlin DJ, Kamm RD, Drazen JM. 2001. Mechanical stress is communicated between different cell types to elicit matrix remodeling. *Proc Natl Acad Sci USA* 98: 6180–6185. [Crossref⁵⁷](#) [PubMed⁵⁸](#) [Web of Science⁵⁹](#)
- Ulett GA, Han S, Han JS. 1998. Electroacupuncture: mechanisms and clinical applications. *Biol Psych* 44: 129–138. [PubMed⁶⁰](#) [Web of Science⁶¹](#)
- Veith I. 1949. *The yellow emperor's classic of internal medicine*. Berkeley: University of California Press.
- Yang J. 1601. *The golden needle and other odes of traditional acupuncture*, 1601. Translated by R Bertschinger. Edinburgh: Churchill Livingstone.
- Quyen Manh Nguyen, Tuan Hoang Nguyen, Lam Van Tran, Tin Thanh Dang, Anh Dinh. Device to Detect Acupuncture Points in the Feet Soles for Massage Treatment. 8th International Conference on the Development of Biomedical Engineering in Vietnam, 10.1007/978-3-030-75506-5_1, (3-13), (2022). [Crossref⁶²](#)
- Yung-Sheng Yen, Han-Yi Cheng, Hung-Ta Lin, Evaluation of Stress on Acupuncture with Nano-Etched and Diamond-Like Carbon (DLC) Coating Surface Modifications, *Journal of Biomaterials and Tissue Engineering*, 10.1166/jbt.2022.2928, 12, 3, (489-493), (2022). [Crossref⁶³](#)
- Gregory P. Casey, Anatomical characterization of acupoint large intestine 4, *The Anatomical Record*, 10.1002/ar.24681, 305, 1, (144-155), (2021). [Wiley Online Library⁶⁴](#)
- Ajit B. Pai, Lori V. Shuart, David F. Drake, Integrative Medicine in Rehabilitation, *Braddom's Physical Medicine and Rehabilitation*, 10.1016/B978-0-323-62539-5.00018-7, (364-373.e3), (2021). [Crossref⁶⁵](#)
- Tongju Li, Bruce Qing Tang, Wei-Bo Zhang, Minyi Zhao, Qingchuan Hu, Andrew Ahn, In Vivo Visualization of the Pericardium Meridian with Fluorescent Dyes, Evidence-Based Complementary and Alternative Medicine, 10.1155/2021/5581227, 2021, (1-10), (2021). [Crossref⁶⁶](#)
- Chao Sun, Changchun Ji, Ying Li, Jijie Kuang, Jiangtao Wu, A comparison study of photothermal effect between moxibustion therapy and laser irradiation on biological tissue, *International Journal of Thermal Sciences*, 10.1016/j.ijthermalsci.2021.106924, 164, (106924), (2021). [Crossref⁶⁷](#)
- Nikolay Dimitrov, Nikola Tomov, Dimitrinka Atanasova, Stiliyan Hliev, Tatyana Tomova, Dimitar Sivrev, Zoya Goranova, Visible Meridian Phenomena after TBME.1979.326392
47. <https://onlinelibrary.wiley.com/serve/linkout?suffix=null&dbid=8&doi=10.1002/ar.10185&key=521032>
48. <https://onlinelibrary.wiley.com/serve/linkout?suffix=null&dbid=128&doi=10.1002/ar.10185&key=A1979GN78800013>
49. <https://onlinelibrary.wiley.com/serve/linkout?suffix=null&dbid=16&doi=10.1002/ar.10185&key=10.1109/TBME.1973.324289>
50. <https://onlinelibrary.wiley.com/serve/linkout?suffix=null&dbid=8&doi=10.1002/ar.10185&key=4727423>
51. <https://onlinelibrary.wiley.com/serve/linkout?suffix=null&dbid=128&doi=10.1002/ar.10185&key=A1973Q497200007>
52. <https://onlinelibrary.wiley.com/serve/linkout?suffix=null&dbid=8&doi=10.1002/ar.10185&key=1178444>
53. <https://onlinelibrary.wiley.com/serve/linkout?suffix=null&dbid=128&doi=10.1002/ar.10185&key=A1975AP43900003>
54. <https://onlinelibrary.wiley.com/serve/linkout?suffix=null&dbid=16&doi=10.1002/ar.10185&key=10.1109/TBME.1975.324477>
55. <https://onlinelibrary.wiley.com/serve/linkout?suffix=null&dbid=8&doi=10.1002/ar.10185&key=1184029>
56. <https://onlinelibrary.wiley.com/serve/linkout?suffix=null&dbid=128&doi=10.1002/ar.10185&key=A19754J02000013>
57. <https://onlinelibrary.wiley.com/serve/linkout?suffix=null&dbid=16&doi=10.1002/ar.10185&key=10.1073/pnas.11133298>
58. <https://onlinelibrary.wiley.com/serve/linkout?suffix=null&dbid=8&doi=10.1002/ar.10185&key=11353845>
59. <https://onlinelibrary.wiley.com/serve/linkout?suffix=null&dbid=128&doi=10.1002/ar.10185&key=000168883700045>
60. <https://onlinelibrary.wiley.com/serve/linkout?suffix=null&dbid=8&doi=10.1002/ar.10185&key=9646895>
61. <https://onlinelibrary.wiley.com/serve/linkout?suffix=null&dbid=128&doi=10.1002/ar.10185&key=000074292400008>
62. https://doi.org/10.1007/978-3-030-75506-5_1
63. <https://doi.org/10.1166/jbt.2022.2928>
64. <https://onlinelibrary.wiley.com/doi/10.1002/ar.24681>
65. <https://doi.org/10.1016/B978-0-323-62539-5.00018-7>
66. <https://doi.org/10.1155/2021/5581227>
67. <https://doi.org/10.1016/j.ijthermalsci.2021.106924>
- Acupuncture: A Series of Case Reports, *Journal of Acupuncture and Meridian Studies*, 10.51507/j.jams.2021.14.2.50, 14, 2, (50-57), (2021). [Crossref⁶⁸](#)
- Nasim Bahadorani, Jerry W. Lee, Leslie R. Martin, Implications of Tamarkoz on stress, emotion, spirituality and heart rate, *Scientific Reports*, 10.1038/s41598-021-93470-8, 11, 1, (2021). [Crossref⁶⁹](#)
- Maojun Li, Huawen Peng, Binxiu Wei, Qiuxia Deng, Fen Qian, Xin Liu, Jian Wang, Xiaodong Zhu, Effect of acupuncture anesthesia based on nanomaterial sensor on cognitive function after one-lung ventilation thoracotomy, *Materials Express*, 10.1166/mex.2021.2027, 11, 7, (1051-1056), (2021). [Crossref⁷⁰](#)
- Jaliya Kumaratilake, Teghan Lucas, Maciej Henneberg, Possible relationship of upper limb arteries, median and brachial to the twelfth meridian of the human upper limb, *Journal of Anatomy*, 10.1111/joa.13401, 238, 6, (1492-1493), (2021). [Wiley Online Library⁷¹](#)
- Yong Ming Li, Three hand yin meridians in ancient Chinese medicine were established initially based on arterial structures, *Journal of Anatomy*, 10.1111/joa.13400, 238, 6, (1494-1496), (2021). [Wiley Online Library⁷²](#)
- Yi Zhang, Interpretation of acupoint location in traditional Chinese medicine teaching: Implications for acupuncture in research and clinical practice, *The Anatomical Record*, 10.1002/ar.24618, 304, 11, (2372-2380), (2021). [Wiley Online Library⁷³](#)
- Sanghun Lee, Prospects for the Development of Acupuncture Treatment Led by the Use of Ultrasound Imaging Devices, *Journal of Korean Medical Society of Soft Tissue*, 10.54461/JKMST.2021.5.1.8, 5, 1, (8-11), (2021). [Crossref⁷⁴](#)
- Xiao Ye, Yu-lan Ren, Yun-hui Chen, Ji Chen, Xiao-jiao Tang, Zong-ming Zhang, A “4D” systemic view on meridian essence: Substantial, functional, chronological and cultural attributes, *Journal of Integrative Medicine*, 10.1016/j.joim.2021.11.006, (2021). [Crossref⁷⁵](#)
- Berna Dincer, Demet İnangil, Gökhan İnangil, Nefise Bahçecik, Elif Yıldırım Ayaz, Ali Arslanoğlu, Meraç Vural Keskinler, Ayşe Kabuk, Gamze Özkan, The effect of acupuncture on sleep quality of older people: A systematic review and meta-analysis of randomized controlled trials, *EXPLORE*, 10.1016/j.explore.2021.11.010, (2021). [Crossref⁷⁶](#)
- Marianna de Melo Salemi, Vanessa Maria da Silva Alves Gomes, Laylla Marjorye Rebouças Bezerra, Thania Maion de Souza Melo, Geisa Guimarães de Alencar, Iracema Hermes Pires de Melo Montenegro, Alessandra Paula de Melo Calado, Eduardo José Nepomuceno Montenegro, Gisela Rocha de Siqueira, Effect of Dry Cupping Therapy on Pain and Functional Disability in Persistent Non-Specific Low Back Pain: A Randomized Controlled Clinical Trial, *Journal of Acupuncture and Meridian Studies*, 10.51507/j.jams.2021.14.6.219, 14, 6, (219-230), (2021). [Crossref⁷⁷](#)
- Luís Carlos Matos, Jorge Pereira Machado, Fernando Jorge Monteiro, Henry Johannes Greten, Understanding Traditional Chinese Medicine Therapeutics: An Overview of the Basics and Clinical Applications, *Healthcare*, 10.3390/healthcare9030257, 9, 3, (257), (2021). [Crossref⁷⁸](#)
- Jingwen Cui, Wanrong Song, Yipeng Jin, Huihao Xu, Kai Fan, Degui Lin, Zhihui Hao, Jiahao Lin, Research Progress on the Mechanism of the Acupuncture Regulating Neuro-Endocrine-Immune Network System, *Veterinary Sciences*, 10.3390/vetsci8080149, 8, 8, (149), (2021). [Crossref⁷⁹](#)
- Íñigo Ongay de Felipe, The Universality of Science and Traditional Chinese Medicine, *Science & Education*, 10.1007/s1191-021-00249-4, (2021). [Crossref⁸⁰](#)
- Ningcen Li, Yi Guo, Yanan Gong, Yue Zhang, Wen Fan, Kaifang Yao, Zhihan Chen, Baomin Dou, Xiaowei Lin, Bo Chen, Zelin Chen, Zhifang Xu, Zhongxi Lyu, The Anti-Inflammatory Actions and Mechanisms of Acupuncture from Acupoint to Target Organs via Neuro-Immune Regulation, *Journal of Inflammation Research*, 10.2147/JIR.S341581, Volume 14, (7191-7224), (2021). [Crossref⁸¹](#)
- 戴云冯, Bridging Medicine East and West—Pursuit on the Relation between Biomedical Consequence of Stimulating the Acupoints of the Lung Meridian and Somatosensory Reflexes, Aiming to Treat Chronic Obstruction Pulmonary Diseases, *Traditional Chinese Medicine*, 10.12677/TCM.2020.92022, 09, 02, (145-176), (2020). [Crossref⁸²](#)
- Manon te Dorsthorst, Michael van Balken, John Heesakkers, Tibial nerve stimulation in the treatment of overactive bladder syndrome, *Current Opinion in Urology*, 10.1097/MOU.0000000000000781, 30, 4, (513-518), (2020). [Crossref⁸³](#)
- Peter I-Kung Wu, Lucy Chen, Integrative Medicine, *Spine Pain Care*, 10.1007/978-3-030-27447-4, (473-489), (2020). [Crossref⁸⁴](#)
- I. Giralt Sampedro, G. Carvajal, A. Garcia-Janeras, A. Fabà, M.B. Nishishinya Aquino, A severe case of Ramsay Hunt Syndrome treated with acupuncture and related techniques, *Complementary Therapies in Clinical Practice*, 10.1016/j.ctcp.2020.101119, (101119), (2020). [Crossref⁸⁵](#)
68. <https://doi.org/10.51507/j.jams.2021.14.2.50>
69. <https://doi.org/10.1038/s41598-021-93470-8>
70. <https://doi.org/10.1166/mex.2021.2027>
71. <https://onlinelibrary.wiley.com/doi/10.1111/joa.13401>
72. <https://onlinelibrary.wiley.com/doi/10.1111/joa.13400>
73. <https://onlinelibrary.wiley.com/doi/10.1002/ar.24618>
74. <https://doi.org/10.54461/JKMST.2021.5.1.8>
75. <https://doi.org/10.1016/j.joim.2021.11.006>
76. <https://doi.org/10.1016/j.explore.2021.11.010>
77. <https://doi.org/10.51507/j.jams.2021.14.6.219>
78. <https://doi.org/10.3390/healthcare9030257>
79. <https://doi.org/10.3390/vetsci8080149>
80. <https://doi.org/10.1007/s1191-021-00249-4>
81. <https://doi.org/10.2147/JIR.S341581>
82. <https://doi.org/10.12677/TCM.2020.92022>
83. <https://doi.org/10.1097/MOU.0000000000000781>
84. <https://doi.org/10.1007/978-3-030-27447-4>

- Eric Leskowitz, A Cartography of Energy Medicine: From Subtle Anatomy to Energy Physiology, *EXPLORE*, 10.1016/j.explore.2020.09.008, (2020). [Crossref⁸⁵](#)
- Hantong Hu, Yongliang Jiang, Xiaoyu Li, Jiali Lou, Yajun Zhang, Xiaofen He, Junfan Fang, Yuan Yuan Wu, Xiaomei Shao, Jianqiao Fang, The microcirculatory characteristics of the heart and lung meridians, *Medicine*, 10.1097/MD.000000000019594, 99, 14, (e19594), (2020). [Crossref⁸⁶](#)
- Sheikh Faruque Elahee Bangladesh, Hui-juan Mao, Ling Zhao, Xue-yong Shen, Meridian system and mechanism of acupuncture action: A scientific evaluation 经络系统与针刺效应机制的科学评价, *World Journal of Acupuncture - Moxibustion*, 10.1016/j.wjam.2020.05.003, (2020). [Crossref⁸⁷](#)
- Mário Gonçalves, Luís Carlos Matos, Leonel Duarte, Jorge Machado, Henry Johannes Gretén, Giovanna Franconi, PROBLEMS OF SCIENTIFIC METHODOLOGY RELATED TO PLACEBO CONTROL IN QIGONG STUDIES: A SYSTEMATIC REVIEW, *Journal of Bodywork and Movement Therapies*, 10.1016/j.jbmt.2020.06.035, (2020). [Crossref⁸⁸](#)
- Hans-Udo Richarz, Uwe Schütz, Werner Klingler, Das fasziale Bindegewebe – ein Medium für die Akupunktur? The fascial connective tissue—a medium for acupuncture?, *Deutsche Zeitschrift für Akupunktur*, 10.1007/s4212-019-00228-5, (2020). [Crossref⁸⁹](#)
- Shi Yonghong, Wu Ruizhi, Zhang Yue, Bai Xuebing, Imran Tarique, Liang Chunhua, Yang Ping, Chen Qiusheng, Telocytes in Different Organs of Vertebrates: Potential Essence Cells of the Meridian in Chinese Traditional Medicine, *Microscopy and Microanalysis*, 10.1017/S1431927620001518, (1-14), (2020). [Crossref⁹⁰](#)
- Jinglan Mu, Andrea D Furlan, Wai Yee Lam, Marcos Y Hsu, Zhipeng Ning, Lixing Lao, Acupuncture for chronic nonspecific low back pain, *Cochrane Database of Systematic Reviews*, 10.1002/14651858.CD013814, (2020). [Crossref⁹¹](#)
- Kimia Grace Ganjaei, Jeremiah W. Ray, Brandee Waite, Kevin J. Burnham, The Fascial System in Musculoskeletal Function and Myofascial Pain, *Current Physical Medicine and Rehabilitation Reports*, 10.1007/s40141-020-00302-3, (2020). [Crossref⁹²](#)
- Christina L Ross, Energy Medicine: Current Status and Future Perspectives, *Global Advances in Health and Medicine*, 10.1177/2164956119831221, 8, (216495611983122), (2019). [Crossref⁹³](#)
- Phil Trabulsky, COMPLEMENTARY AND ALTERNATIVE MEDICINE, *Cancer*, 10.1002/9781119645214, (499-530), (2019). [Wiley Online Library⁹⁴](#)
- Younbyoung Chae, Yeonhee Ryu, Won-Mo Jung, An Analysis of Indications of Meridians in DongUiBoGam Using Data Mining, *Korean Journal of Acupuncture*, 10.14406/acu.2019.034, 36, 4, (292-299), (2019). [Crossref⁹⁵](#)
- Wei-bo ZHANG, Xiao-jing SONG, Ze WANG, Guang-jun WANG, Shu-yong JIA, Yuying TIAN, Hong-yan LI, Longitudinal Directional Movement of Alcian Blue in Gephyrocharax Melanocheir Fish: Revealing Interstitial Flow and Related Structure ☆ 阿尔新蓝在黑裙鱼中的纵向定向运动:组织液流动与相关结构的揭示, *World Journal of Acupuncture - Moxibustion*, 10.1016/j.wjam.2019.05.008, (2019). [Crossref⁹⁶](#)
- Nicholas Alexander Wise, Action at a distance: laser acupuncture and the brain, *Photobiomodulation in the Brain*, 10.1016/B978-0-12-815305-5.00036-1, (489-501), (2019). [Crossref⁹⁷](#)
- Liangjun Xia, Qingyu Meng, Jin Xi, Qin Han, Jie Cheng, Jie Shen, Youbing Xia, Liyun Shi, The synergistic effect of electroacupuncture and bone mesenchymal stem cell transplantation on repairing thin endometrial injury in rats, *Stem Cell Research & Therapy*, 10.1186/s13287-019-1326-6, 10, 1, (2019). [Crossref⁹⁸](#)
- Dha-Hyun Choi, Younbyoung Chae, Minimisation of variations in locating an acupuncture point using a laser-device, *Integrative Medicine Research*, 10.1016/j.imr.2019.11.005, (2019). [Crossref⁹⁹](#)
- Doohan Oh, Jong-hyun Kim, Youn-Sub Kim, Song-Yi Kim, Analysis of Tonification and Sedation Methods in the 『Yeongschimgyeong』, *Korean Journal of Acupuncture*, 10.14406/acu.2019.021, 36, 3, (171-180), (2019). [Crossref¹⁰⁰](#)
- Aleksandar Zivaljevic, Bin Shi, Elisa M S. Tam, Vahideh Toossi, Treatment of visceral pain associated with irritable bowel syndrome using acupuncture: Mechanism of action, *World Journal of Traditional Chinese Medicine*, 10.4103/wjtc.wjtc_m24_19, 5, 4, (181), (2019). [Crossref¹⁰¹](#)
- Suchan Chang, O. Sang Kwon, Se Kyun Bang, Do-Hee Kim, Min Won Baek, Yeonhee Ryu, Jong Han Bae, Yu Fan, Soo Min Lee, Hyung Kyu Kim, Bong Hyo Lee, Chae Ha Yang, Hee Young Kim, Peripheral Sensory Nerve Tissue but Not Connective Tissue Is Involved in the Action of Acupuncture, *Frontiers in Neuroscience*, 10.3389/fnins.2019.00110, 13, (2019). [Crossref¹⁰²](#)
- Junaid Wazir, Rahat Ullah, Shihong Li, Md Amir Hossain, Maladho Tanta Diallo, Farhan Ullah Khan, Awais Ullah Ihsan, Xiaohui Zhou, Efficacy of acupuncture in the treatment of chronic prostatitis-chronic pelvic pain syndrome: a review of the literature, *International Urology and Nephrology*, 10.1007/s11255-019-02267-2, (2019). [Crossref¹⁰³](#)
- Noa Schwartz, Madhavi Latha S. Chalasani, Thomas M. Li, Zhonghui Feng, William D. Shipman, Theresa T. Lu, Lymphatic Function in Autoimmune Diseases, *Frontiers in Immunology*, 10.3389/fimmu.2019.00519, 10, (2019). [Crossref¹⁰⁴](#)
- Sarah Ely, Panos Barlas, Transcutaneous electrical acupoint stimulation for people with chronic musculoskeletal pain: an exploratory review, *Physical Therapy Reviews*, 10.1080/10833196.2019.1648728, (1-12), (2019). [Crossref¹⁰⁵](#)
- Koh-Woon Kim, Sanhwa Hong, Hong Soo Kim, Taehun Kim, Jaeha Ahn, Hyun-Seo Song, Yu-Kang Kim, Ju-Young Oh, Tae-Yeon Hwang, Hyangsook Lee, Su-II In, Hi-Joon Park, Physiological impact of nanoporous acupuncture needles: Laser Doppler perfusion imaging in healthy volunteers, *PLOS ONE*, 10.1371/journal.pone.0226304, 14, 12, (e0226304), (2019). [Crossref¹⁰⁶](#)
- Chang-zhen Gong, Wei Liu, Convergence of Medicines: West Meets East in Newly-Discovered Organs and Functions, *Chinese Journal of Integrative Medicine*, 10.1007/s11655-018-2570-9, 25, 5, (323-326), (2018). [Crossref¹⁰⁷](#)
- Jeanne Adiwinata Pawitan, Various stem cells in acupuncture meridians and points and their putative roles, *Journal of Traditional and Complementary Medicine*, 10.1016/j.jtcm.2017.08.004, (2018). [Crossref¹⁰⁸](#)
- Chungda Lee, How can mindfulness-led breathing of qigong/Tai Chi work on qi and the meridian network?, *Advances in Integrative Medicine*, 10.1016/j.aimed.2018.07.002, 5, 3, (122-127), (2018). [Crossref¹⁰⁹](#)
- Patrick Roynard, Lauren Frank, Huiheng Xie, Margaret Fowler, Acupuncture for Small Animal Neurologic Disorders, *Veterinary Clinics of North America: Small Animal Practice*, 10.1016/j.cvsm.2017.08.003, 48, 1, (201-219), (2018). [Crossref¹¹⁰](#)
- Meng Huang, Xuezhi Wang, Beibei Xing, Hongwei Yang, Zheyang Sa, Di Zhang, Wei Yao, Na Yin, Ying Xia, Guanghong Ding, Critical roles of TRPV2 channels, histamine H1 and adenosine A1 receptors in the initiation of acupoint signals for acupuncture analgesia, *Scientific Reports*, 10.1038/s41598-018-24654-y, 8, 1, (2018). [Crossref¹¹¹](#)
- Ruining Liang, Peishuang Li, Xuemei Peng, Ling Xu, Pei Fan, Jiahua Peng, Xu Zhou, Chunlin Xiao, Miao Jiang, Efficacy of acupuncture on pelvic pain in patients with endometriosis: study protocol for a randomized, single-blind, multi-center, placebo-controlled trial, *Trials*, 10.1186/s13063-018-2684-6, 19, 1, (2018). [Crossref¹¹²](#)
- Wei-bo Zhang, De-xian Jia, Hong-yan Li, Yu-long Wei, Huang Yan, Peng-na Zhao, Feifei Gu, Guang-jun Wang, Yan-ping Wang, Understanding Qi Running in the Meridians as Interstitial Fluid Flowing via Interstitial Space of Low Hydraulic Resistance, *Chinese Journal of Integrative Medicine*, 10.1007/s11655-017-2791-3, 24, 4, (304-307), (2018). [Crossref¹¹³](#)
- Conner E. Liddle, Richard E. Harris, Cellular Reorganization Plays a Vital Role in Acupuncture Analgesia, *Medical Acupuncture*, 10.1089/acu.2017.1258, 30, 1, (15-20), (2018). [Crossref¹¹⁴](#)
- 戴云 冯, Relationship among the Meridians, Sineu Channels and Integrative Five Fluid Circulation System, *Traditional Chinese Medicine*, 10.12677/TCM.2018.71013, 07, 01, (74-92), (2018). [Crossref¹¹⁵](#)
- David Feinstein, Energy Psychology: Efficacy, Speed, Mechanisms, *EXPLORE*, 10.1016/j.explore.2018.11.003, (2018). [Crossref¹¹⁶](#)
- Hiroie MOTOYAMA, Hirohisa ISOGAI, Yoshito MUKAINO, Relaxing Effect Achieved by Acupuncture Stimulation in Different Postures for University Students Living a Sedentary Lifestyle 送る大学生を対象とした異なる姿勢への鍼刺激によるリラクゼーション効果, *Kampo Medicine*, 10.3937/kampomed.69.225, 69, 3, (225-238), (2018). [Crossref¹¹⁷](#)
- Alexander Waits, You-Ren Tang, Hao-Min Cheng, Chen-Jei Tai, Li-Yin Chien, Acupressure effect on sleep quality: A systematic review and meta-analysis, *Sleep Medicine Reviews*, 10.1016/j.smrv.2016.12.004, 37, (24-34), (2018). [Crossref¹¹⁸](#)
- Chenglin Liu, Qinghua Liu, Dongming Zhang, Wei Liu, Xiaohui Yan, Xinyi Zhang, Hiroiyuki Oyanagi, Zhiyun Pan, Fengchun Hu, Shiqiang Wei, Insight into the biological effects of acupuncture points by X-ray absorption fine structure, *Analytical and Bioanalytical Chemistry*, 10.1007/s00216-018-1146-z, 410, 20, (4959-4965), (2018). [Crossref¹¹⁹](#)
- Eric Leskowitz, How Tapping into “Energy” Can Trigger a Paradigm Shift in Biomedicine, *The Journal of Alternative and Complementary Medicine*, 10.1089/acm.2018.0073, 24, 6, (525-527), (2018). [Crossref¹²⁰](#)

85. <https://doi.org/10.1016/j.explore.2020.09.008>
 86. <https://doi.org/10.1016/j.explore.2020.09.008>
 87. <https://doi.org/10.1097/MD.000000000019594>
 88. <https://doi.org/10.1016/j.wjam.2020.05.003>
 89. <https://doi.org/10.1016/j.jbmt.2020.06.035>
 90. <https://doi.org/10.1007/s4212-019-00228-5>
 91. <https://doi.org/10.1017/S1431927620001518>
 92. <https://doi.org/10.1002/14651858.CD013814>
 93. <https://doi.org/10.1007/s40141-020-00302-3>
 94. <https://doi.org/10.1177/2164956119831221>
 95. <https://onlinelibrary.wiley.com/doi/10.1002/9781119645214>
 96. <https://doi.org/10.14406/acu.2019.034>
 97. <https://doi.org/10.1016/j.wjam.2019.05.008>
 98. <https://doi.org/10.1016/B978-0-12-815305-5.00036-1>
 99. <https://doi.org/10.1186/s13287-019-1326-6>
 100. <https://doi.org/10.1016/j.imr.2019.11.005>
 101. <https://doi.org/10.14406/acu.2019.021>
 102. https://doi.org/10.4103/wjtc.wjtc_m24_19

103. <https://doi.org/10.3389/fnins.2019.00110>
 104. <https://doi.org/10.1007/s11255-019-02267-2>
 105. <https://doi.org/10.3389/fimmu.2019.00519>
 106. <https://doi.org/10.1080/10833196.2019.1648728>
 107. <https://doi.org/10.1371/journal.pone.0226304>
 108. <https://doi.org/10.1007/s11655-018-2570-9>
 109. <https://doi.org/10.1016/j.jtcm.2017.08.004>
 110. <https://doi.org/10.1016/j.aimed.2018.07.002>
 111. <https://doi.org/10.1016/j.cvsm.2017.08.003>
 112. <https://doi.org/10.1038/s41598-018-24654-y>
 113. <https://doi.org/10.1186/s13063-018-2684-6>
 114. <https://doi.org/10.1007/s11655-017-2791-3>
 115. <https://doi.org/10.1089/acu.2017.1258>
 116. <https://doi.org/10.12677/TCM.2018.71013>
 117. <https://doi.org/10.1016/j.explore.2018.11.003>
 118. <https://doi.org/10.3937/kampomed.69.225>
 119. <https://doi.org/10.1016/j.smrv.2016.12.004>
 120. <https://doi.org/10.1007/s00216-018-1146-z>

Johannes Fleckenstein, Robert Schleip, Cornelia Sachs, Mark Driscoll, Susan Shoekett, Thomas Findley, Werner Klingler, Faszienforschung: Quo vadis? Fascia research: Quo vadis?, *Deutsche Zeitschrift für Akupunktur*, 10.1007/s42212-018-0037-8, 61, 2, (69-74), (2018). [Crossref¹²²](#)

FA Phan, A Srilestari, H Mihardja, MBH Marbun, Effects of acupuncture on uremic pruritus in patients undergoing hemodialysis, *Journal of Physics: Conference Series*, 10.1088/1742-6596/1073/6/062049, 1073, (062049), (2018). [Crossref¹²³](#)

Kwang-Sup Soh, Sistema circulatorio de Bonghan como una extensión de los meridianos de acupuntura, *Revista Internacional de Acupuntura*, 10.1016/j.acu.2018.02.001, 12, 1, (15-28), (2018). [Crossref¹²⁴](#)

Helene M. Langevin, Peter M. Wayne, What Is the Point? The Problem with Acupuncture Research That No One Wants to Talk About, *The Journal of Alternative and Complementary Medicine*, 10.1089/acm.2017.0366, 24, 3, (200-207), (2018). [Crossref¹²⁵](#)

Chun-Yi Lin, Tze-Taur Wei, Chen-Chen Wang, Wan-Chen Chen, Yu-Min Wang, Song-Yen Tsai, Acute Physiological and Psychological Effects of Qigong Exercise in Older Practitioners, *Evidence-Based Complementary and Alternative Medicine*, 10.1155/2018/4960978, 2018, (1-10), (2018). [Crossref¹²⁶](#)

Kanae Umemoto, Toshiyuki Saito, Muneakazu Naito, Shogo Hayashi, Tomiko Yakura, Hanno Steinke, Takashi Nakano, Anatomical Relationship between B123 and the Posterior Ramus of the L2 Spinal Nerve, *Acupuncture in Medicine*, 10.1136/acupmed-2015-010847, 34, 2, (95-100), (2018). [Crossref¹²⁷](#)

Krista Lynne Paulson, Barbara L. Shay, Sympathetic Nervous System Responses to Acupuncture and Non-Penetrating Sham Acupuncture in Experimental Forearm Pain: A Single-Blind Randomised Descriptive Study, *Acupuncture in Medicine*, 10.1136/acupmed-2012-010223, 31, 2, (178-184), (2018). [Crossref¹²⁸](#)

Marc Amand, Florence Nguyen-Huu, Costantino Balestra, Acupuncture Effect on Thermal Tolerance and Electrical Pain Threshold: A Randomised Controlled Trial, *Acupuncture in Medicine*, 10.1136/aim.2010.002485, 29, 1, (47-50), (2018). [Crossref¹²⁹](#)

Michele Alem, Maria Saletto Costa Gurgel, Acupuncture in the Rehabilitation of Women after Breast Cancer Surgery – a Case Series, *Acupuncture in Medicine*, 10.1136/aim.26.2.86, 26, 2, (86-93), (2018). [Crossref¹³⁰](#)

Avijgan Majid, Rouh/Qi before and after production; basic concept of life, *International Journal of Complementary & Alternative Medicine*, 10.15406/ijcam.2018.11.00363, 11, 2, (2018). [Crossref¹³¹](#)

Tiaw-Kee Lim, Yan Ma, Frederic Berger, Gerhard Litscher, Acupuncture and Neural Mechanism in the Management of Low Back Pain—An Update, *Medicines*, 10.3390/medicines5030063, 5, 3, (63), (2018). [Crossref¹³²](#)

Anna Esparham, Anne Herbert, Emily Pierzchalski, Catherine Tran, Jennifer Dilts, Madeline Boorigie, Tammie Wingert, Mark Connelly, Jennifer Bickel, Pediatric Headache Clinic Model: Implementation of Integrative Therapies in Practice, *Children*, 10.3390/children5060074, 5, 6, (74), (2018). [Crossref¹³³](#)

Elizabeth R. Magden, Chapter 13 Positive Reinforcement Training and Health Care, *Handbook of Primate Behavioral Management*, 10.1201/9781315120652, (201-216), (2017). [Crossref¹³⁴](#)

Faria Sanjana, Hans Chaudhry, Thomas Findley, Effect of MELT method on thoracolumbar connective tissue: The full study, *Journal of Bodywork and Movement Therapies*, 10.1016/j.jbmt.2016.05.010, 21, 1, (179-185), (2017). [Crossref¹³⁵](#)

Peter T. Dorsher, Neuroembryology of the Acupuncture Principal Meridians: Part 1. The Extremities, *Medical Acupuncture*, 10.1089/acu.2016.1210, 29, 1, (10-19), (2017). [Crossref¹³⁶](#)

Jordi Gascon-Garcia, Caridad Bagur-Calafat, Montserrat Girabent-Farrés, Ramon Balius, Validation of the range of dry needling with the fascial winding technique in the carpal tunnel using ultrasound, *Journal of Bodywork and Movement Therapies*, 10.1016/j.jbmt.2017.10.013, (2017). [Crossref¹³⁷](#)

Ana Paula A. Ferreira, Luciana C. Póvoa, José F.C. Zanier, Arthur S. Ferreira, Locating the Seventh Cervical Spinous Process: Accuracy of the Thorax-Rib Static Method and the Effects of Clinical Data on Its Performance, *Journal of Manipulative and Physiological Therapeutics*, 10.1016/j.jmpt.2016.10.011, 40, 2, (98-105), (2017). [Crossref¹³⁸](#)

Arya Nielsen, Acupuncture for the Prevention of Tension-Type Headache (2016), *EXPLORE: The Journal of Science and Healing*, 10.1016/j.explore.2017.03.007, 13, 3, (228-231), (2017). [Crossref¹³⁹](#)

Fan Wang, Guang-wei Cui, Le Kuai, Jian-min Xu, Ting-ting Zhang, Huai-jin Cheng, Hong-sheng Dong, Gui-rong Dong, Role of Acupoint Area Collagen Fibers in Anti-Inflammation of Acupuncture Lifting and Thrusting Manipulation, *Evidence-Based Complementary and Alternative Medicine*, 10.1155/2017/2813437, 2017, (1-8), (2017). [Crossref¹⁴⁰](#)

Wei-Chia Chen, Hsiang-Ying Chen, Yu-Sheng Chen, Yong Tian, Lin I, Self-excited multi-scale skin vibrations probed by optical tracking micro-motions of tracers on arms, *Journal of Applied Physics*, 10.1063/1.4991499, 122, 2, (024701), (2017). [Crossref¹⁴¹](#)

Fletcher Kovich, A Curious Oversight in Acupuncture Research, *Journal of Acupuncture and Meridian Studies*, 10.1016/j.jams.2017.10.004, 10, 6, (411-415), (2017). [Crossref¹⁴²](#)

David F. Drake, Anne M. Hudak, William Robbins, Integrative Medicine in Traumatic Brain Injury, *Physical Medicine and Rehabilitation Clinics of North America*, 10.1016/j.pmr.2016.12.011, 28, 2, (363-378), (2017). [Crossref¹⁴³](#)

Helene M. Langevin, Rosa N. Schnyer, Reconnecting the Body in Eastern and Western Medicine, *The Journal of Alternative and Complementary Medicine*, 10.1089/acm.2017.0028, 23, 4, (238-241), (2017). [Crossref¹⁴⁴](#)

Salvador Quiroz-González, Sergio Torres-Castillo, Rosa Estela López-Gómez, Ismael Jiménez Estrada, Acupuncture Points and Their Relationship with Multireceptive Fields of Neurons, *Journal of Acupuncture and Meridian Studies*, 10.1016/j.jams.2017.01.006, 10, 2, (81-89), (2017). [Crossref¹⁴⁵](#)

Sharon Jyoon Jung, Haim Song, Yu Yeon Kim, Jungdae Kim, Sunghul Kim, Yoon-Kyu Song, Kwang-Sup Soh, Distribution of Mast Cells and Locations, Depths, and Sizes of the Putative Acupoints CV 8 and KI 16, *Evidence-Based Complementary and Alternative Medicine*, 10.1155/2017/2953278, 2017, (1-10), (2017). [Crossref¹⁴⁶](#)

Benjamin CW. Chant, Jeanne Madison, Paul Coop, Gudrun Dieberg, Contact Tools in Japanese Acupuncture: An Ethnography of Acupuncture Practitioners in Japan, *Journal of Acupuncture and Meridian Studies*, 10.1016/j.jams.2017.08.006, 10, 5, (331-339), (2017). [Crossref¹⁴⁷](#)

Hugh MacPherson, Andrew Vickers, Martin Bland, David Torgerson, Mark Corbett, Eldon Spackman, Pedro Saramago, Beth Woods, Helen Weatherly, Mark Sculpher, Andrea Manca, Stewart Richmond, Ann Hopton, Janet Eldred, Ian Watt, Acupuncture for chronic pain and depression in primary care: a programme of research, *Programme Grants for Applied Research*, 10.3310/pgfar05030, 5, 3, (1-316), (2017). [Crossref¹⁴⁸](#)

Benjamin Kligler, Arya Nielsen, Corinne Kohrher, Tracy Schmid, Eve Waltermaurer, Elidania Perez, Woodson Merrell, Acupuncture Therapy in a Group Setting for Chronic Pain, *Pain Medicine*, 10.1093/pm/pnx134, (2017). [Crossref¹⁴⁹](#)

Alexander Macdonald, Acupuncture Main Channels or Meridians: Visible Surfaces, *International Journal of Complementary & Alternative Medicine*, 10.15406/ijcam.2017.07.00233, 7, 4, (2017). [Crossref¹⁵⁰](#)

Roshanak Ghods, Nasrin Sayfour, Mohammad Hossein Ayati, Anatomical Features of the Interscapular Area Where Wet Cupping Therapy Is Done and Its Possible Relation to Acupuncture Meridians, *Journal of Acupuncture and Meridian Studies*, 10.1016/j.jams.2016.06.004, 9, 6, (290-296), (2016). [Crossref¹⁵¹](#)

Laura Quiles, Electra Peluffo, Meridianos tendinomusculares (Jing Jin) y tejido fascial, comparativa anatómica y funcional, *Revista Internacional de Acupuntura*, 10.1016/j.acu.2016.01.002, 10, 1, (20-24), (2016). [Crossref¹⁵²](#)

Tian Tian, Yanhong Sun, Huang Wu, Jian Pei, Jing Zhang, Yi Zhang, Lu Wang, Bin Li, Lihua Wang, Jiye Shi, Jun Hu, Chunhai Fan, Acupuncture promotes mTOR-independent autophagic clearance of aggregation-prone proteins in mouse brain, *Scientific Reports*, 10.1038/srep19714, 6, 1, (2016). [Crossref¹⁵³](#)

Eric Leskowitz, Integrative Medicine for PTSD and TBI: Two Innovative Approaches, *Medical Acupuncture*, 10.1089/acu.2016.1168, 28, 4, (181-183), (2016). [Crossref¹⁵⁴](#)

Sarah le Jeune, Kimberly Henneman, Kevin May, Acupuncture and Equine Rehabilitation, *Veterinary Clinics of North America: Equine Practice*, 10.1016/j.cveq.2015.12.004, 32, 1, (73-85), (2016). [Crossref¹⁵⁵](#)

Charlotte H. Y. Lau, Xinyin Wu, Vincent C. H. Chung, Xin Liu, Edwin P. Hui, Holger Clamer, Romy Lauche, Samuel Y. S. Wong, Alexander Y. L. Lau, Regina W. S. Sit, Eric T. C. Ziea, Bacon F. L. Ng, Justin C. Y. Wu, Acupuncture and Related Therapies for Symptom Management in Palliative Cancer Care, *Medicine*, 10.1097/MD.0000000000002901, 95, 9, (e2901), (2016). [Crossref¹⁵⁶](#)

Li Chen, Hai-Xiang Sun, You-Bing Xia, Liu-Cai Sui, Ji Zhou, Xuan Huang, Jing-Wei Zhou, Yi-Dan Shao, Tao Shen, Qin Sun, Yuan-Jiao Liang, Bing Yao, Electroacupuncture decreases the progression of ovarian hyperstimulation syndrome in a rat model, *Reproductive BioMedicine Online*, 10.1016/j.rbmo.2016.02.006, 32, 5, (538-544), (2016). [Crossref¹⁵⁷](#)

121. <https://doi.org/10.1089/acm.2018.0073>
122. <https://doi.org/10.1007/s42212-018-0037-8>
123. <https://doi.org/10.1088/1742-6596/1073/6/062049>
124. <https://doi.org/10.1016/j.acu.2018.02.001>
125. <https://doi.org/10.1089/acm.2017.0366>
126. <https://doi.org/10.1155/2018/4960978>
127. <https://doi.org/10.1136/acupmed-2015-010847>
128. <https://doi.org/10.1136/acupmed-2012-010223>
129. <https://doi.org/10.1136/aim.2010.002485>
130. <https://doi.org/10.1136/aim.26.2.86>
131. <https://doi.org/10.15406/ijcam.2018.11.00363>
132. <https://doi.org/10.3390/medicines5030063>
133. <https://doi.org/10.3390/children5060074>
134. <https://doi.org/10.1201/9781315120652>
135. <https://doi.org/10.1016/j.jbmt.2016.05.010>
136. <https://doi.org/10.1089/acu.2016.1210>
137. <https://doi.org/10.1016/j.jbmt.2017.10.013>
138. <https://doi.org/10.1016/j.jmpt.2016.10.011>
139. <https://doi.org/10.1016/j.explore.2017.03.007>
140. <https://doi.org/10.1155/2017/2813437>
141. <https://doi.org/10.1063/1.4991499>
142. <https://doi.org/10.1016/j.jams.2017.10.004>
143. <https://doi.org/10.1016/j.pmr.2016.12.011>
144. <https://doi.org/10.1089/acm.2017.0028>
145. <https://doi.org/10.1016/j.jams.2017.01.006>
146. <https://doi.org/10.1155/2017/2953278>
147. <https://doi.org/10.1016/j.jams.2017.08.006>
148. <https://doi.org/10.3310/pgfar05030>
149. <https://doi.org/10.1093/pm/pnx134>
150. <https://doi.org/10.15406/ijcam.2017.07.00233>
151. <https://doi.org/10.1016/j.jams.2016.06.004>
152. <https://doi.org/10.1016/j.acu.2016.01.002>
153. <https://doi.org/10.1038/srep19714>
154. <https://doi.org/10.1089/acu.2016.1168>
155. <https://doi.org/10.1016/j.cveq.2015.12.004>
156. <https://doi.org/10.1097/MD.0000000000002901>
157. <https://doi.org/10.1016/j.rbmo.2016.02.006>

- Suzanne B. Hanser, Suzanne B. Hanser, Holistic Healing, Integrative Health through Music Therapy, 10.1057/978-1-137-38477-5, (35-54), (2016). [Crossref¹⁵⁸](#)
- Laurent Misery, Acupuncture, Pruritus, 10.1007/978-3-319-33142-3, (437-441), (2016). [Crossref¹⁵⁹](#)
- Jing-Ke Guo, Ming-Ming Xu, Mei-Feng Zheng, Shu-Tao Liu, Jian-Wu Zhou, Li-Jing Ke, Tian-Bao Chen, Ping-Fan Rao, Topical Application of TAT-Superoxide Dismutase in Acupoints LI 20 on Allergic Rhinitis, Evidence-Based Complementary and Alternative Medicine, 10.1155/2016/3830273, 2016, (1-9), (2016). [Crossref¹⁶⁰](#)
- James L. Oschman, Acupuncture, Acupressure, Shiatsu, and Related Therapies, Energy Medicine, 10.1016/B978-0-443-06729-7.00014-4, (221-239), (2016). [Crossref¹⁶¹](#)
- Motti Ratmansky, Adi Levy, Aviv Messinger, Alla Birg, Lilach Front, Iuly Treger, The Effects of Acupuncture on Cerebral Blood Flow in Post-Stroke Patients: A Randomized Controlled Trial, The Journal of Alternative and Complementary Medicine, 10.1089/acm.2015.0066, 22, 1, (33-37), (2016). [Crossref¹⁶²](#)
- Marzio Vanzini, Michele Gallamini, Amblyopia: Can Laser Acupuncture be an Option?, Journal of Acupuncture and Meridian Studies, 10.1016/j.jams.2016.01.017, 9, 5, (267-274), (2016). [Crossref¹⁶³](#)
- Bo M. Rowan†, J. Bryan Dixon, Complementary Medicine Practices for Muscular Injuries of the Posterior Leg, Muscular Injuries in the Posterior Leg, 10.1007/978-1-4899-7651-2, (153-168), (2016). [Crossref¹⁶⁴](#)
- HyunSuk Jang, Joohwan Yoon, HyunJi Gil, Sharon Jiyeon Jung, Min-Suk Kim, Jin-Kyu Lee, Young-Jae Kim, Kwang-Sup Soh, Observation of a Flowing Duct in the Abdominal Wall by Using Nanoparticles, PLOS ONE, 10.1371/journal.pone.0150423, 11, 3, (e0150423), (2016). [Crossref¹⁶⁵](#)
- Richard Cha, Detecting Intrinsic Movements through Needle Tips Pinned at Zusanli ST-36 Point - a New Method for Characterizing Structures for Acupuncture Treatments, International Journal of Complementary & Alternative Medicine, 10.15406/ijcam.2016.03.00100, 3, 6, (2016). [Crossref¹⁶⁶](#)
- Raphael J. Hochstrasser, P. Christian Endler, Sabine D. Klein, Perception of Therapeutic Qi, a Nonmechanical, Nonpsychological Factor in Acupuncture That Originates from the Therapist, Journal of Acupuncture and Meridian Studies, 10.1016/j.jams.2014.11.009, 8, 4, (203-208), (2015). [Crossref¹⁶⁷](#)
- Carla Stecco, Warren Hammer, Andry Vleeming, Raffaele De Caro, Fasciae of the Upper Limb, Functional Atlas of the Human Fascial System, 10.1016/B978-0-7020-4430-4.00007-5, (217-287), (2015). [Crossref¹⁶⁸](#)
- Shu-Ming Wang, Acupuncture as a Treatment for Substance Abuse in Pediatric Patients, Substance Abuse, 10.1007/978-1-4939-1951-2, (349-357), (2015). [Crossref¹⁶⁹](#)
- Mei-Ling Wu, Dong-Sheng Xu, Wan-Zhu Bai, Jing-Jing Cui, Hong-Ming Shu, Wei He, Xiao-Yu Wang, Hong Shi, Yang-Shuai Su, Ling Hu, Bing Zhu, Xiang-Hong Jing, Local cutaneous nerve terminal and mast cell responses to manual acupuncture in acupoint LI4 area of the rats, Journal of Chemical Neuroanatomy, 10.1016/j.jchemneu.2015.06.002, 68, (14-21), (2015). [Crossref¹⁷⁰](#)
- Mark J. McDonald, Will the Primo Vascular System Finally Solve the Mystery of Acupuncture?, Medical Acupuncture, 10.1089/acu.2014.1075, 27, 1, (33-37), (2015). [Crossref¹⁷¹](#)
- Wei-Bo Zhang, Guang-Jun Wang, Kjell Fuxe, Classic and Modern Meridian Studies: A Review of Low Hydraulic Resistance Channels along Meridians and Their Relevance for Therapeutic Effects in Traditional Chinese Medicine, Evidence-Based Complementary and Alternative Medicine, 10.1155/2015/410979, 2015, (1-14), (2015). [Crossref¹⁷²](#)
- Xiaqiu Wu, Jin Peng, Guoqin Li, Wei Zhang, Guangxia Liu, Baoyan Liu, Efficacy evaluation of summer acupuncture application treatment on asthma patients: a two-year follow-up clinical study, Journal of Traditional Chinese Medicine, 10.1016/S0254-6272(15)30004-2, 35, 1, (21-27), (2015). [Crossref¹⁷³](#)
- Won-Mo Jung, Taehyung Lee, In-Seon Lee, Sanghyun Kim, Hyunhui Jang, Song-Yi Kim, Hi-Joon Park, Younbyoung Chae, Spatial Patterns of the Indications of Acupoints Using Data Mining in Classic Medical Text: A Possible Visualization of the Meridian System, Evidence-Based Complementary and Alternative Medicine, 10.1155/2015/457071, 2015, (1-7), (2015). [Crossref¹⁷⁴](#)
- Kwang-Sup Soh, Hypothesis on the Treatment of Gliomas with Acupuncture at the Primo Node Corresponding to Zusanli (ST 36), Medical Acupuncture, 10.1089/acu.2014.1089, 27, 3, (144-150), (2015). [Crossref¹⁷⁵](#)
- Marco Gemma, Elisa Nicelli, Luigi Gioia, Elena Moizo, Luigi Beretta, Maria Rosa Calvi, Acupuncture accelerates recovery after general anesthesia: a prospective randomized controlled trial, Journal of Integrative Medicine, 10.1016/S2095-4964(15)60159-5, 13, 276. [https://doi.org/10.1016/S2095-4964\(15\)60159-5](https://doi.org/10.1016/S2095-4964(15)60159-5)
158. <https://doi.org/10.1057/978-1-137-38477-5>
159. <https://doi.org/10.1007/978-3-319-33142-3>
160. <https://doi.org/10.1155/2016/3830273>
161. <https://doi.org/10.1016/B978-0-443-06729-7.00014-4>
162. <https://doi.org/10.1089/acm.2015.0066>
163. <https://doi.org/10.1016/j.jams.2016.01.017>
164. <https://doi.org/10.1007/978-1-4899-7651-2>
165. <https://doi.org/10.1371/journal.pone.0150423>
166. <https://doi.org/10.15406/ijcam.2016.03.00100>
167. <https://doi.org/10.1016/j.jams.2014.11.009>
168. <https://doi.org/10.1016/B978-0-7020-4430-4.00007-5>
169. <https://doi.org/10.1007/978-1-4939-1951-2>
170. <https://doi.org/10.1016/j.jchemneu.2015.06.002>
171. <https://doi.org/10.1089/acu.2014.1075>
172. <https://doi.org/10.1155/2015/410979>
173. [https://doi.org/10.1016/S0254-6272\(15\)30004-2](https://doi.org/10.1016/S0254-6272(15)30004-2)
174. <https://doi.org/10.1155/2015/457071>
175. <https://doi.org/10.1089/acu.2014.1089>
- (99-104), (2015). [Crossref¹⁷⁶](#)
- Michele Gallamini, Giovanni D'Angelo, Gabriele Belloni, Biolite: A Patented Ultra-Low-Level Laser-Therapy Device for Treating Musculoskeletal Pain and Associated Impairments, Journal of Acupuncture and Meridian Studies, 10.1016/j.jams.2015.02.001, 8, 4, (167-174), (2015). [Crossref¹⁷⁷](#)
- Poney Chiang, What is the Point of Acupuncture?, Medical Acupuncture, 10.1089/acu.2015.1093, 27, 2, (67-80), (2015). [Crossref¹⁷⁸](#)
- Richard F. Hobbs, Acupuncture—Biophysics or Metaphysics?, Medical Acupuncture, 10.1089/acu.2015.1097, 27, 2, (62-66), (2015). [Crossref¹⁷⁹](#)
- Ali Khorsand, Jiang Zhu, Hamidreza Bahrani-Taghanaki, Sara Baghani, Liangxiao Ma, Shima Rezaei, Investigation of the electrical impedance of acupuncture points and non-acupuncture points before and after acupuncture, using a four-electrode device, Acupuncture in Medicine, 10.1136/acupmed-2014-010697, 33, 3, (230-236), (2015). [Crossref¹⁸⁰](#)
- Fang Li, Tian He, Qian Xu, Li - Ting Lin, Hui Li, Yan Liu, Guang - Xia Shi, Cun - Zhi Liu, What is the Acupoint? A preliminary review of Acupoints, Pain Medicine, 10.1111/pme.12761, 16, 10, (1905-1915), (2015). [Wiley Online Library¹⁸¹](#)
- Song-Yi Kim, Sang-Woo Kim, Hi-Joon Park, Different Responses to Acupuncture in Electroencephalogram according to Stress Level: A Randomized, Placebo-Controlled, Cross-Over Trial, Korean Journal of Acupuncture, 10.14406/acu.2014.022, 31, 3, (136-145), (2014). [Crossref¹⁸²](#)
- Heming Zhu, Acupoints Initiate the Healing Process, Medical Acupuncture, 10.1089/acu.2014.1057, 26, 5, (264-270), (2014). [Crossref¹⁸³](#)
- G. Ding, Z. Wu, D. Zhang, Z. Sa, K. Cheng, Biophysical Bases of Acupuncture, Comprehensive Biomedical Physics, 10.1016/B978-0-444-53632-7.01018-2, (299-316), (2014). [Crossref¹⁸⁴](#)
- Yuan-yuan Lin, Yin-ping Wang, Hao-yang Lu, Xiu-cai Guo, Xia Liu, Chuan-bin Wu, Yue-hong Xu, Plasma pharmacokinetics and lung distribution of tetrahydropalmatine after topical application of cold asthma recipe extract: Feishu (BL 13) versus Non-Feishu acupoint, Journal of Ethnopharmacology, 10.1016/j.jep.2014.03.009, 153, 2, (454-460), (2014). [Crossref¹⁸⁵](#)
- Yiu Ming Wong, Electrical Property of Acupoints, The Journal of Alternative and Complementary Medicine, 10.1089/acm.2013.0169, 20, 2, (145-146), (2014). [Crossref¹⁸⁶](#)
- Nadia Elisabeth Haddad, Oxana Palesh, Acupuncture in the Treatment of Cancer-Related Psychological Symptoms, Integrative Cancer Therapies, 10.1177/1534735413520181, 13, 5, (371-385), (2014). [Crossref¹⁸⁷](#)
- Soo-Byeong Kim, Kyung-Yul Chung, Mi-Seon Jeon, Tae-Min Shin, Yong-Heum Lee, Body Composition Factor Comparisons of the Intracellular Fluid (ICW), Extracellular Fluid (ECW) and Cell Membrane at Acupuncture Points and Non-Acupuncture Points by Inducing Multiple Ionic Changes, Korean Journal of Acupuncture, 10.14406/acu.2014.005, 31, 2, (66-78), (2014). [Crossref¹⁸⁸](#)
- Martha Liliana Beltrán Molano, Laura Bibiana Pinilla Bonilla, Eduardo Humberto Beltrán Dussan, Carlos Alberto Vásquez Londoño, Anatomic-Functional Correlation between Head Zones and Acupuncture Channels and Points: A Comparative Analysis from the Perspective of Neural Therapy, Evidence-Based Complementary and Alternative Medicine, 10.1155/2014/836392, 2014, (1-12), (2014). [Crossref¹⁸⁹](#)
- Evan H. Kwong, Thomas W. Findley, Fascia—Current knowledge and future directions in physiology: Narrative review, Journal of Rehabilitation Research and Development, 10.1682/JRRD.2013.10.0220, 51, 6, (875-884), (2014). [Crossref¹⁹⁰](#)
- Kwokming James Cheng, Neurobiological Mechanisms of Acupuncture for Some Common Illnesses: A Clinician's Perspective, Journal of Acupuncture and Meridian Studies, 10.1016/j.jams.2013.07.008, 7, 3, (105-114), (2014). [Crossref¹⁹¹](#)
- Jing-Wen Yang, Qian-Qian Li, Fang Li, Qing-Nan Fu, Xiang-Hong Zeng, Cun-Zhi Liu, The Holistic Effects of Acupuncture Treatment, Evidence-Based Complementary and Alternative Medicine, 10.1155/2014/739708, 2014, (1-10), (2014). [Crossref¹⁹²](#)
- Shu-Yih Wu, Wei-Hsin Chen, Ching-Liang Hsieh, Yi-Wen Lin, Abundant expression and functional participation of TRPV1 at Zusanli acupoint (ST36) in mice: mechanosensitive TRPV1 as an “acupuncture-responder channel”, BMC Complementary and Alternative Medicine, 10.1186/1472-6882-14-96, 14, 1, (2014). [Crossref¹⁹³](#)
- Morry Silberstein, Is acupuncture “stimulation” a misnomer? A case for using the term “blockade”, BMC Complementary and Alternative Medicine, 10.1186/1472-6882-13-68, 13, 1, (2013). [Crossref¹⁹⁴](#)
176. [https://doi.org/10.1016/S2095-4964\(15\)60159-5](https://doi.org/10.1016/S2095-4964(15)60159-5)
177. <https://doi.org/10.1016/j.jams.2015.02.001>
178. <https://doi.org/10.1089/acu.2015.1093>
179. <https://doi.org/10.1089/acu.2015.1097>
180. <https://doi.org/10.1136/acupmed-2014-010697>
181. <https://online.library.wiley.com/doi/10.1111/pme.12761>
182. <https://doi.org/10.14406/acu.2014.022>
183. <https://doi.org/10.1089/acu.2014.1057>
184. <https://doi.org/10.1016/B978-0-444-53632-7.01018-2>
185. <https://doi.org/10.1016/j.jep.2014.03.009>
186. <https://doi.org/10.1089/acm.2013.0169>
187. <https://doi.org/10.1177/1534735413520181>
188. <https://doi.org/10.14406/acu.2014.005>
189. <https://doi.org/10.1155/2014/836392>
190. <https://doi.org/10.1682/JRRD.2013.10.0220>
191. <https://doi.org/10.1016/j.jams.2013.07.008>
192. <https://doi.org/10.1155/2014/739708>
193. <https://doi.org/10.1186/1472-6882-14-96>
194. <https://doi.org/10.1186/1472-6882-13-68>

- In-Seon Lee, Soon-Ho Lee, Song-Yi Kim, Hyejung Lee, Hi-Joon Park, Younbyoung Chae, Visualization of the Meridian System Based on Biomedical Information about Acupuncture Treatment, Evidence-Based Complementary and Alternative Medicine, 10.1155/2013/872142, 2013, (1-5), (2013). [Crossref¹⁹⁵](#)
- Helene M. Langevin, Part 1, Trigger Point Dry Needling, 10.1016/B978-0-7020-4601-8.10008-8, (29-33), (2013). [Crossref¹⁹⁶](#)
- Byung-Cheon Lee, Walter J. Akers, Xianghong Jing, M. Isabel Miguel Perez, Yeonhee Ryu, Primo Vascular System: Past, Present, and Future, Evidence-Based Complementary and Alternative Medicine, 10.1155/2013/240168, 2013, (1-2), (2013). [Crossref¹⁹⁷](#)
- Andrew Bannan, Acupuncture in physiotherapy, Tidy's Physiotherapy, 10.1016/B978-0-7020-4344-4.00018-3, (403-415), (2013). [Crossref¹⁹⁸](#)
- Im Quah-Smith, Caroline Smith, John D. Crawford, Janice Russell, Laser acupuncture for depression: A randomised double blind controlled trial using low intensity laser intervention, Journal of Affective Disorders, 10.1016/j.jad.2012.11.058, 148, 2-3, (179-187), (2013). [Crossref¹⁹⁹](#)
- C. Will Chen, Chen-Jei Tai, Cheuk-Sing Choy, Chau-Yun Hsu, Shoen-Loong Lin, Wing P. Chan, Han-Sun Chiang, Chang-An Chen, Ting-Kai Leung, Wave-Induced Flow in Meridians Demonstrated Using Photoluminescent Bioceramic Material on Acupuncture Points, Evidence-Based Complementary and Alternative Medicine, 10.1155/2013/739293, 2013, (1-11), (2013). [Crossref²⁰⁰](#)
- Raphael J. Hochstrasser, P. Christian Endler, Sabine D. Klein, Introduction of two novel devices for investigating the influence of non-mechanical components such as therapeutic qi in acupuncture, Journal of Integrative Medicine, 10.3736/jintegrmed2013030, 11, 3, (168-174), (2013). [Crossref²⁰¹](#)
- W. Evan Rivers, Felise Zollman, Reliability of Surface Acupuncture Point Location, Medical Acupuncture, 10.1089/acu.2012.0929, 25, 2, (134-140), (2013). [Crossref²⁰²](#)
- Stefano Marcelli, Gross Anatomy and Acupuncture: A Comparative Approach to Reappraise the Meridian System, Medical Acupuncture, 10.1089/acu.2012.0875, 25, 1, (5-22), (2013). [Crossref²⁰³](#)
- Jaung-Geng Lin, Pei-Chi Chou, Heng-Yi Chu, An Exploration of the Needling Depth in Acupuncture: The Safe Needling Depth and the Needling Depth of Clinical Efficacy, Evidence-Based Complementary and Alternative Medicine, 10.1155/2013/740508, 2013, (1-21), (2013). [Crossref²⁰⁴](#)
- DARCY A. UMPHRED, CAROL M. DAVIS, MARY LOU GALANTINO, Complementary and alternative therapies: beyond traditional approaches to intervention in neurological diseases and movement disorders, Neurological Rehabilitation, 10.1016/B978-0-323-07586-2.00048-0, (1173-1214), (2013). [Crossref²⁰⁵](#)
- Alessandra de Almeida Fagundes, Mariana César Ribeiro Reis, Maira Salles, Maria Graças Bastos Licurci, Immediate Effects of Acupuncture for Managing Myofascial Trigger-Point Pain: A Pilot Study, Medical Acupuncture, 10.1089/acu.2012.0902, 25, 1, (55-60), (2013). [Crossref²⁰⁶](#)
- Yi Zhuang, Jing-jing Xing, Juan Li, Bai-Yun Zeng, Fan-rong Liang, History of Acupuncture Research, Neurobiology of Acupuncture, 10.1016/B978-0-12-111545-3.00001-8, (1-23), (2013). [Crossref²⁰⁷](#)
- Arya Nielsen, Ted J. Kaptchuk, Sha syndrome and Gua sha, cao gio, coining, scraping, Gua Sha, 10.1016/B978-0-7020-3108-3.00005-4, (39-44), (2013). [Crossref²⁰⁸](#)
- Arya Nielsen, Ted J. Kaptchuk, Physiology of Gua sha, Gua Sha, 10.1016/B978-0-7020-3108-3.00003-0, (21-30), (2013). [Crossref²⁰⁹](#)
- Shirley P.C. Ngai, Alice Y.M. Jones, Changes in Skin Impedance and Heart Rate Variability with Application of Acu-TENS to BL 13 (Feishu), The Journal of Alternative and Complementary Medicine, 10.1089/acm.2012.0097, 19, 6, (558-563), (2013). [Crossref²¹⁰](#)
- Isabelle Nègre, Méthodes non médicamenteuses : compréhension actuelle des mécanismes d'action, Douleurs : Evaluation - Diagnostic - Traitement, 10.1016/j.douleur.2013.01.007, 14, 3, (111-118), (2013). [Crossref²¹¹](#)
- Guanghong Ding, Di Zhang, Meng Huang, Lina Wang, Wei Yao, Function of Collagen and Mast Cells in Acupuncture Points, Current Research in Acupuncture, 10.1007/978-1-4614-3357-6, (53-87), (2013). [Crossref²¹²](#)
- Sung - Ho Lee, Geon - Ho Jahng, Il - Hwan Choe, Chi - Bong Choi, Dae - Hyun Kim, Hwi - Yool Kim, Neural Pathway Interference by Retained Acupuncture: A Functional MRI Study of a Dog Model of Parkinson's Disease, CNS Neuroscience & Therapeutics, 10.1111/cns.12108, 19, 8, (585-595), (2013). [Wiley Online Library²¹³](#)
- Hee Young Kim, Sung Tae Koo, Jae Hyo Kim, Kyungeh An, Kyungsoon Chung, Jin Mo Chung, Electroacupuncture analgesia in rat ankle sprain pain model: neural mechanisms, Neurological Research, 10.1179/016164109X12537002793689, 32, sup1, (10-17), (2013). [Crossref²¹⁴](#)
- ChangShik Yin, ByungKwan Seo, Hi-Joon Park, Miran Cho, WooSang Jung, Ryowon Choue, ChangHwan Kim, Hun-Kuk Park, Hyejung Lee, HyeonGyun Koh, Acupuncture, a promising adjunctive therapy for essential hypertension: a double-blind, randomized, controlled trial, Neurological Research, 10.1179/016164107X172220, 29, sup1, (98-103), (2013). [Crossref²¹⁵](#)
- Gary Deng, Barrie Cassileth, Complementary or alternative medicine in cancer care—myths and realities, Nature Reviews Clinical Oncology, 10.1038/nrclinonc.2013.125, 10, 11, (656-664), (2013). [Crossref²¹⁶](#)
- James L Oschman, Fascia as a body-wide communication system, Fascia: The Tensional Network of the Human Body, 10.1016/B978-0-7020-3425-1.00049-0, (103-110), (2012). [Crossref²¹⁷](#)
- David Feinstein, Acupoint Stimulation in Treating Psychological Disorders: Evidence of Efficacy, Review of General Psychology, 10.1037/a0028602, 16, 4, (364-380), (2012). [Crossref²¹⁸](#)
- Jun J. Mao, Malini M. Khanna, Integrating Acupuncture with Western Medicine in Cancer Treatment, Acupuncture and Moxibustion as an Evidence-based Therapy for Cancer, 10.1007/978-94-007-4833-0_14, (313-328), (2012). [Crossref²¹⁹](#)
- Alex Benham, Mark I. Johnson, Characterization of Painful and Non-painful Acupuncture Needle Sensations During Bidirectional Rotation of a Single Needle Inserted 15–25 mm at Large Intestine 10, Medical Acupuncture, 10.1089/acu.2011.0861, 24, 3, (172-180), (2012). [Crossref²²⁰](#)
- Li-Ling Lin, Ya-Hui Wang, Chi-Yu Lai, Chan-Lao Chau, Guan-Chin Su, Chun-Yi Yang, Shu-Ying Lou, Su-Kai Chen, Kuan-Hao Hsu, Yen-Ling Lai, Wei-Ming Wu, Jian-Long Huang, Chih-Hsin Liao, Hsueh-Fen Juan, Systems Biology of Meridians, Acupoints, and Chinese Herbs in Disease, Evidence-Based Complementary and Alternative Medicine, 10.1155/2012/372670, 2012, (1-13), (2012). [Crossref²²¹](#)
- Arya Nielsen, Gua sha, Fascia: The Tensional Network of the Human Body, 10.1016/B978-0-7020-3425-1.00009-X, (359-365), (2012). [Crossref²²²](#)
- Hugh MacPherson, Richard Hammerschlag, Acupuncture and the Emerging Evidence Base: Contrived Controversy and Rational Debate, Journal of Acupuncture and Meridian Studies, 10.1016/j.jams.2012.05.001, 5, 4, (141-147), (2012). [Crossref²²³](#)
- Yejin Ha, Misun Kim, Jiseon Nah, Minah Suh, Youngmi Lee, Measurements of Location-Dependent Nitric Oxide Levels on Skin Surface in relation to Acupuncture Point, Evidence-Based Complementary and Alternative Medicine, 10.1155/2012/781460, 2012, (1-7), (2012). [Crossref²²⁴](#)
- Elisabeth Hsu, "Feeling lighter": Why the patient's treatment evaluation matters to the health scientist, Integrative Medicine Research, 10.1016/j.imr.2012.10.003, 1, 1, (5-12), (2012). [Crossref²²⁵](#)
- Petra I. Bäuml, Michael Simang, Sybille Kramer, Dominik Irnich, Acupuncture Point Localization Varies Among Acupuncturists, Forschende Komplementärmedizin / Research in Complementary Medicine, 10.1159/000335825, 19, 1, (31-37), (2012). [Crossref²²⁶](#)
- Belinda Anderson, Arya Nielsen, Diane McKee, Anne Jeffres, Ben Kligler, Acupuncture and Heart Rate Variability: A Systems Level Approach to Understanding Mechanism, EXPLORE: The Journal of Science and Healing, 10.1016/j.explore.2011.12.002, 8, 2, (99-106), (2012). [Crossref²²⁷](#)
- Xiaoyu Wang, Hong Shi, Hongyan Shang, Yangshuai Su, Juanjuan Xin, Wei He, Xianghong Jing, Bing Zhu, Are Primo Vessels (PVs) on the Surface of Gastrointestine Involved in Regulation of Gastric Motility Induced by Stimulating Acupoints ST36 or CV12?, Evidence-Based Complementary and Alternative Medicine, 10.1155/2012/787683, 2012, (1-8), (2012). [Crossref²²⁸](#)
- Dominik Irnich, Johannes Fleckenstein, Acupuncture as a fascia-oriented therapy, Fascia: The Tensional Network of the Human Body, 10.1016/B978-0-7020-3425-1.00010-6, (349-357), (2012). [Crossref²²⁹](#)
- Byung-Cheon Lee, Zhendong Su, Baekkyoung Sung, Ki Woo Kim, Jin-Myung Cha, Jin-Kyu Lee, Byung-Joon Chang, Kwang-Sup Soh, Network of the Primo Vascular System in the Rat Hypodermis, The Primo Vascular System, 10.1007/978-1-4614-0601-3, (139-146), (2012). [Crossref²³⁰](#)
- Kyoung-Hee Bae, Zhendong Su, Kwang-Sup Soh, Hee Min Kwon, Histological Comparison of Primo Nodes in Abdominal Membrane and Lymph Nodes of Rat, The Primo Vascular System, 10.1007/978-1-4614-0601-3, (127-131), (2012). [Crossref²³¹](#)

195. <https://doi.org/10.1155/2013/872142>
 196. <https://doi.org/10.1016/B978-0-7020-4601-8.10008-8>
 197. <https://doi.org/10.1155/2013/240168>
 198. <https://doi.org/10.1016/B978-0-7020-4344-4.00018-3>
 199. <https://doi.org/10.1016/j.jad.2012.11.058>
 200. <https://doi.org/10.1155/2013/739293>
 201. <https://doi.org/10.3736/jintegrmed2013030>
 202. <https://doi.org/10.1089/acu.2012.0929>
 203. <https://doi.org/10.1089/acu.2012.0875>
 204. <https://doi.org/10.1155/2013/740508>
 205. <https://doi.org/10.1016/B978-0-323-07586-2.00048-0>
 206. <https://doi.org/10.1089/acu.2012.0902>
 207. <https://doi.org/10.1016/B978-0-12-111545-3.00001-8>
 208. <https://doi.org/10.1016/B978-0-7020-3108-3.00005-4>
 209. <https://doi.org/10.1016/B978-0-7020-3108-3.00003-0>
 210. <https://doi.org/10.1089/acm.2012.0097>
 211. <https://doi.org/10.1016/j.douleur.2013.01.007>
 212. <https://doi.org/10.1007/978-1-4614-3357-6>
 213. <https://onlinelibrary.wiley.com/doi/10.1111/cns.12108>

214. <https://doi.org/10.1179/016164109X12537002793689>
 215. <https://doi.org/10.1179/016164107X172220>
 216. <https://doi.org/10.1038/nrclinonc.2013.125>
 217. <https://doi.org/10.1016/B978-0-7020-3425-1.00049-0>
 218. <https://doi.org/10.1037/a0028602>
 219. https://doi.org/10.1007/978-94-007-4833-0_14
 220. <https://doi.org/10.1089/acu.2011.0861>
 221. <https://doi.org/10.1155/2012/372670>
 222. <https://doi.org/10.1016/B978-0-7020-3425-1.00009-X>
 223. <https://doi.org/10.1016/j.jams.2012.05.001>
 224. <https://doi.org/10.1155/2012/781460>
 225. <https://doi.org/10.1016/j.imr.2012.10.003>
 226. <https://doi.org/10.1159/000335825>
 227. <https://doi.org/10.1016/j.explore.2011.12.002>
 228. <https://doi.org/10.1155/2012/787683>
 229. <https://doi.org/10.1016/B978-0-7020-3425-1.00010-6>
 230. <https://doi.org/10.1007/978-1-4614-0601-3>
 231. <https://doi.org/10.1007/978-1-4614-0601-3>

- Yu Bai, Lin Yuan, Yong Huang, Chun-lei Wang, Jun Wang, Jin-peng Wu, Jing-xing Dai, Dong-fei Li, Chun Yang, Mei-chun Yu, Hui-ying Yang, Hui Tao, Ou Sha, David Tai Wai Yew, From the Anatomical Discovery of Meridians and Collaterals to Fasciology Theory, The Primo Vascular System, 10.1007/978-1-4614-0601-3, (305-318), (2012). [Crossref²³²](#)
- Wei Yao, Yabei Li, Guanghong Ding, Interstitial Fluid Flow: The Mechanical Environment of Cells and Foundation of Meridians, Evidence-Based Complementary and Alternative Medicine, 10.1155/2012/853516, 2012, (1-9), (2012). [Crossref²³³](#)
- Jungdae Kim, Dae-In Kang, Kwang-Sup Soh, Sungchul Kim, Analysis on Postmortem Tissues at Acupuncture Points in the Image Datasets of Visible Human Project, The Journal of Alternative and Complementary Medicine, 10.1089/acm.2010.0850, 18, 2, (120-129), (2012). [Crossref²³⁴](#)
- Marcelo L Silva, Josie RT Silva, Wiliam A Prado, The antinociceptive effect of electroacupuncture at different depths of acupoints and under the needling surface, Chinese Medicine, 10.1186/1749-8546-7-3, 7, 1, (2012). [Crossref²³⁵](#)
- Hong-Qin Yang, Shu-Sen Xie, Song-Hao Liu, Hui Li, Zhou-Yi Guo, Differences in Optical Transport Properties between Human Meridian and Non-meridian, The American Journal of Chinese Medicine, 10.1142/S0192415X07005235, 35, 05, (743-752), (2012). [Crossref²³⁶](#)
- Kaung-Ti Yung, A Birdcage Model for the Chinese Meridian System Part VI: Meridians as the Primary Regulatory System, The American Journal of Chinese Medicine, 10.1142/S0192415X05003302, 33, 05, (759-766), (2012). [Crossref²³⁷](#)
- Letter to the Editor, The American Journal of Chinese Medicine, 10.1142/S0192415X05003119, 33, 03, (513-515), (2012). [Crossref²³⁸](#)
- A. Paraskeva, A. Melemini, G. Petropoulos, I. Sifakia, A. Fassoulaki, Needling of the Extra 1 Point Decreases BIS Values and Preoperative Anxiety, The American Journal of Chinese Medicine, 10.1142/S0192415X04002363, 32, 05, (789-794), (2012). [Crossref²³⁹](#)
- Francisco Abad-Alegria, Carlos Pomarón, About the Neurobiological Foundations of the De-Qi — Stimulus-Response Relation, The American Journal of Chinese Medicine, 10.1142/S0192415X04002375, 32, 05, (807-814), (2012). [Crossref²⁴⁰](#)
- Jesse Li-Ling, Human Phenome Based on Traditional Chinese Medicine — A Solution to Congenital Syndromology, The American Journal of Chinese Medicine, 10.1142/S0192415X03001594, 31, 06, (991-1000), (2012). [Crossref²⁴¹](#)
- Lisa S. Lancaster, Robert M. Bowker, Acupuncture Points of the Horse's Distal Thoracic Limb: A Neuroanatomic Approach to the Transposition of Traditional Points, Animals, 10.3390/ani2030455, 2, 4, (455-471), (2012). [Crossref²⁴²](#)
- Houju Fu, Yuanqiao He, Ying Gao, Yicun Man, Wukun Liu, Hua Hao, Acupuncture on the Endometrial Morphology, the Serum Estradiol and Progesterone Levels, and the Expression of Endometrial Leukaemia-inhibitor Factor and Osteopontin in Rats, Evidence-Based Complementary and Alternative Medicine, 10.1155/2011/606514, 2011, (1-9), (2011). [Crossref²⁴³](#)
- Steven Finando, Donna Finando, Fascia and the mechanism of acupuncture, Journal of Bodywork and Movement Therapies, 10.1016/j.jbmt.2010.03.001, 15, 2, (168-176), (2011). [Crossref²⁴⁴](#)
- Hyung-Joo Moon, Yong-Keun Lee, The Relationship Between Dental Occlusion/Temporomandibular Joint Status and General Body Health: Part 2. Fascial Connection of TMJ with Other Parts of the Body, The Journal of Alternative and Complementary Medicine, 10.1089/acm.2010.0740, 17, 12, (1119-1124), (2011). [Crossref²⁴⁵](#)
- Yu Bai, Jun Wang, Jin-peng Wu, Jing-xing Dai, Ou Sha, David Tai Wai Yew, Lin Yuan, Qiu-ni Liang, Review of Evidence Suggesting That the Fascia Network Could Be the Anatomical Basis for Acupoints and Meridians in the Human Body, Evidence-Based Complementary and Alternative Medicine, 10.1155/2011/260510, 2011, (1-6), (2011). [Crossref²⁴⁶](#)
- James L. Oschman, Foreword and Special Contribution: The Living Matrix, Energy Medicine East and West, 10.1016/B978-0-7020-3571-5.00032-9, (x-xix), (2011). [Crossref²⁴⁷](#)
- Therapie myofaszialer Schmerzsyndrome, Myofasziale Schmerzen und Triggerpunkte, 10.1016/B978-3-437-23095-0.10004-5, (51-91), (2011). [Crossref²⁴⁸](#)
- Xiangeng Zhang, Hui Zhang, Xiaoli Liang, Qin Liu, Miqu Wang, Gynecology and Gynecological Nursing Theories and Practices in Traditional Chinese Medicine: Review on the Ancient Literatures, Chinese Medicine, 10.4236/cm.2011.23014, 02, 03, (77-83), (2011). [Crossref²⁴⁹](#)
- Pei-Chi Chou, Heng-Yi Chu, Jaung-Geng Lin, Safe Needling Depth of Acupuncture Points, The Journal of Alternative and Complementary Medicine, 10.1089/acm.2010.0192, <https://doi.org/10.1007/978-1-4614-0601-3>
232. <https://doi.org/10.1155/2012/853516>
233. <https://doi.org/10.1089/acm.2010.0850>
234. <https://doi.org/10.1186/1749-8546-7-3>
235. <https://doi.org/10.1142/S0192415X07005235>
237. <https://doi.org/10.1142/S0192415X05003302>
238. <https://doi.org/10.1142/S0192415X05003119>
239. <https://doi.org/10.1142/S0192415X04002363>
240. <https://doi.org/10.1142/S0192415X04002375>
241. <https://doi.org/10.1142/S0192415X03001594>
242. <https://doi.org/10.3390/ani2030455>
243. <https://doi.org/10.1155/2011/606514>
244. <https://doi.org/10.1016/j.jbmt.2010.03.001>
245. <https://doi.org/10.1089/acm.2010.0740>
246. <https://doi.org/10.1155/2011/260510>
247. <https://doi.org/10.1016/B978-0-7020-3571-5.00032-9>
248. <https://doi.org/10.1016/B978-3-437-23095-0.10004-5>
249. <https://doi.org/10.4236/cm.2011.23014>
- acm.2010.0192, 17, 3, (199-206), (2011). [Crossref²⁵⁰](#)
- References and further reading, Energy Medicine East and West, 10.1016/B978-0-7020-3571-5.00037-8, (339-382), (2011). [Crossref²⁵¹](#)
- Dongming Zhang, Xiaohui Yan, Xinyi Zhang, Chenglin Liu, Ruishan Dang, Tiqiao Xiao, Peiping Zhu, Synchrotron radiation phase-contrast X-ray CT imaging of acupuncture points, Analytical and Bioanalytical Chemistry, 10.1007/s00216-011-4913-7, 401, 3, (803-808), (2011). [Crossref²⁵²](#)
- Stéphane J - P. Egot - Lemaire, Marvin C. Ziskin, Dielectric properties of human skin at an acupuncture point in the 50–75 GHz frequency range: A pilot study, Bioelectromagnetics, 10.1002/bem.20650, 32, 5, (360-366), (2011). [Wiley Online Library²⁵³](#)
- Chi Eung Danfor Lim, Felix Wu Shun Wong, Warren Smith, Factors influencing the bio-impedance data in tissue segments along the three arm meridians: a pilot study, TANG [HUMANITAS MEDICINE], 10.5667/tang.2011.0004, 1, 1, (7.1-7.9), (2011). [Crossref²⁵⁴](#)
- Luigi Baratto, Laura Calzà, Roberto Capra, Michele Gallamini, Luciana Giardino, Alessandro Giuliani, Luca Lorenzini, Silvano Traverso, Ultra-low-level laser therapy, Lasers in Medical Science, 10.1007/s10103-010-0837-2, 26, 1, (103-112), (2010). [Crossref²⁵⁵](#)
- Yavuz Beyazit, Murat Kekilli, Fatma Beyazit, Sticking the pieces together: A unifying hypothesis for the acupuncture meridian pathways and extracellular signalling, Medical Hypotheses, 10.1016/j.mehy.2010.01.022, 74, 6, (1088), (2010). [Crossref²⁵⁶](#)
- Hugh Gemmill, Peter Miller, Relative effectiveness and adverse effects of cervical manipulation, mobilisation and the activator instrument in patients with sub-acute non-specific neck pain: results from a stopped randomised trial, Chiropractic & Osteopathy, 10.1186/1746-1340-18-20, 18, 1, (2010). [Crossref²⁵⁷](#)
- Peter T. Dorsher, Clinical Equivalence of Laser Needle to Metal Acupuncture Needle in Treating Musculoskeletal Pain: A Pilot Study, Medical Acupuncture, 10.1089/acu.2009.0724, 22, 1, 1, (11-17), (2010). [Crossref²⁵⁸](#)
- Marco Antonio Helio da Silva, A Neurosegmental Perspective of the Classical Back Shu Points, Medical Acupuncture, 10.1089/acu.2010.0762, 22, 4, (257-264), (2010). [Crossref²⁵⁹](#)
- Laurent Misery, Laurence Potin-Richard, Itch and Acupuncture, Pruritus, 10.1007/978-1-84882-322-8, (335-338), (2010). [Crossref²⁶⁰](#)
- Guang Ying Huang, Cui Hong Zheng, Yun Xia Wu, Wei Wang, Involvement of connexin 43 in the acupuncture effect of improving rat blastocyst implantation, Fertility and Sterility, 10.1016/j.fertnstert.2009.09.036, 93, 5, (1715-1717), (2010). [Crossref²⁶¹](#)
- Felix Wu Shun Wong, Chi Eung Danfor Lim, Warren Smith, A New Bioimpedance Research Device (BIRD) for Measuring the Electrical Impedance of Acupuncture Meridians, The Journal of Alternative and Complementary Medicine, 10.1089/acm.2009.0218, 16, 3, (257-264), (2010). [Crossref²⁶²](#)
- Jennifer A. M. Stone, Peter A. S. Johnstone, Mechanisms of Action for Acupuncture in the Oncology Setting, Current Treatment Options in Oncology, 10.1007/s11864-010-0128-y, 11, 3-4, (118-127), (2010). [Crossref²⁶³](#)
- Yu Bai, Lin Yuan, Kwang-Sup Soh, Byung-Cheon Lee, Yong Huang, Chun-lei Wang, Jun Wang, Jin-peng Wu, Jing-xing Dai, Janos Palhalmi, Ou Sha, David Tai Wai Yew, Possible Applications for Fascial Anatomy and Fasciology in Traditional Chinese Medicine, Journal of Acupuncture and Meridian Studies, 10.1016/S2005-2901(10)60023-4, 3, 2, (125-132), (2010). [Crossref²⁶⁴](#)
- Peter T. Dorsher, The Languages of Healing: Linked by a Common Thread, The Journal of Alternative and Complementary Medicine, 10.1089/acm.2009.0527, 16, 8, (907-913), (2010). [Crossref²⁶⁵](#)
- Fei Zhou, Dengkai Huang YingXia, Neuroanatomic Basis of Acupuncture Points, Acupuncture Therapy for Neurological Diseases, 10.1007/978-3-642-10857-0, (32-80), (2010). [Crossref²⁶⁶](#)
- Roeland van Wijk, Jan van der Greef, Eduard van Wijk, Human Ultraweak Photon Emission and the Yin Yang Concept of Chinese Medicine, Journal of Acupuncture and Meridian Studies, 10.1016/S2005-2901(10)60041-6, 3, 4, (221-231), (2010). [Crossref²⁶⁷](#)
- Pierre Boutouyrie, Robert Corvisier, Kim-Tham Ong, Claire Vulser, Catherine Lassalle, Michel Azizi, Brigitte Laloux, Stéphane Laurent, Acute and chronic effects of acupuncture on radial artery: A randomized double blind study in migraine, Artery Research, 10.1016/j.artres.2009.12.003, 4, 1, (7-14), (2010). [Crossref²⁶⁸](#)
- Jun J. Mao, Rahul Kapur, Acupuncture in Primary Care, Primary Care: Clinics in 250. <https://doi.org/10.1089/acm.2010.0192>
251. <https://doi.org/10.1016/B978-0-7020-3571-5.00037-8>
252. <https://doi.org/10.1007/s00216-011-4913-7>
253. <https://onlinelibrary.wiley.com/doi/10.1002/bem.20650>
254. <https://doi.org/10.5667/tang.2011.0004>
255. <https://doi.org/10.1007/s10103-010-0837-2>
256. <https://doi.org/10.1016/j.mehy.2010.01.022>
257. <https://doi.org/10.1186/1746-1340-18-20>
258. <https://doi.org/10.1089/acu.2009.0724>
259. <https://doi.org/10.1089/acm.2010.0762>
260. <https://doi.org/10.1007/978-1-84882-322-8>
261. <https://doi.org/10.1016/j.fertnstert.2009.09.036>
262. <https://doi.org/10.1089/acm.2009.0218>
263. <https://doi.org/10.1007/s11864-010-0128-y>
264. [https://doi.org/10.1016/S2005-2901\(10\)60023-4](https://doi.org/10.1016/S2005-2901(10)60023-4)
265. <https://doi.org/10.1089/acm.2009.0527>
266. <https://doi.org/10.1007/978-3-642-10857-0>
267. [https://doi.org/10.1016/S2005-2901\(10\)60041-6](https://doi.org/10.1016/S2005-2901(10)60041-6)
268. <https://doi.org/10.1016/j.artres.2009.12.003>

- Office Practice, 10.1016/j.pop.2009.09.010, 37, 1, (105-117), (2010). [Crossref²⁶⁹](#)
- Andrew C. Ahn, Min Park, Jessica R. Shaw, Claire A. McManus, Ted J. Kaptchuk, Helene M. Langevin, Electrical Impedance of Acupuncture Meridians: The Relevance of Subcutaneous Collagenous Bands, *PLoS ONE*, 10.1371/journal.pone.0011907, 5, 7, (e11907), (2010). [Crossref²⁷⁰](#)
- Kang Cheng, Chang Hua Zou, Information Models of Acupuncture Analgesia and Meridian Channels, *Information*, 10.3390/info1020153, 1, 2, (153-168), (2010). [Crossref²⁷¹](#)
- Peter T. Dorsher, Myofascial Meridians as Anatomical Evidence of Acupuncture Channels, *Medical Acupuncture*, 10.1089/acu.2009.0631, 21, 2, (91-97), (2009). [Crossref²⁷²](#)
- Kwang-Sup Soh, Bonghan Circulatory System as an Extension of Acupuncture Meridians, *Journal of Acupuncture and Meridian Studies*, 10.1016/S2005-2901(09)60041-8, 2, 2, (93-106), (2009). [Crossref²⁷³](#)
- Peter T. Dorsher, Myofascial Referred-Pain Data Provide Physiologic Evidence of Acupuncture Meridians, *The Journal of Pain*, 10.1016/j.jpain.2008.12.010, 10, 7, (723-731), (2009). [Crossref²⁷⁴](#)
- Charles Shang, Prospective Tests on Biological Models of Acupuncture, Evidence-Based Complementary and Alternative Medicine, 10.1093/ecam/nem122, 6, 1, (31-39), (2009). [Crossref²⁷⁵](#)
- Antonio Stecco, Veronica Macchi, Carla Stecco, Andrea Porzionato, Julie Ann Day, Vincent Delmas, Raffaele De Caro, Anatomical study of myofascial continuity in the anterior region of the upper limb, *Journal of Bodywork and Movement Therapies*, 10.1016/j.jbmt.2007.04.009, 13, 1, (53-62), (2009). [Crossref²⁷⁶](#)
- Sang-Hyun Park, Jungdae Kim, Tae-Hoi Koo, Magneto-Acupuncture Stimuli Effects on Ultraweak Photon Emission from Hands of Healthy Persons, *Journal of Acupuncture and Meridian Studies*, 10.1016/S2005-2901(09)60014-5, 2, 1, (40-48), (2009). [Crossref²⁷⁷](#)
- James L. Oschman, Charge transfer in the living matrix, *Journal of Bodywork and Movement Therapies*, 10.1016/j.jbmt.2008.06.005, 13, 3, (215-228), (2009). [Crossref²⁷⁸](#)
- Hsiao-Neng Chen, Jaung-Geng Lin, Li-Chih Ying, Chen-Chai Huang, Chuan-Hsiung Lin, The Therapeutic Depth of Abdominal Acupuncture Points Approaches the Safe Depth in Overweight and in Older Children, *The Journal of Alternative and Complementary Medicine*, 10.1089/acm.2008.0582, 15, 9, (1033-1037), (2009). [Crossref²⁷⁹](#)
- Sallie Stoltz Denner, The Science of Energy Therapies and Contemplative Practice, *Holistic Nursing Practice*, 10.1097/HNP.0b013e3181bf3784, 23, 6, (315-334), (2009). [Crossref²⁸⁰](#)
- N. Ospina-Díaz, Introducción a la acupuntura. Fundamentos e interés para el médico de Atención Primaria, *SEMERGEN - Medicina de Familia*, 10.1016/S1138-3593(09)72675-9, 35, 8, (380-384), (2009). [Crossref²⁸¹](#)
- Suzanne McDonough, Jongbae Park, Jing Yuan, Purepong Nithima, Daniel P. Kerr, *Letters, Spine*, 10.1097/BRS.0b013e31819d071c, 34, 7, (753), (2009). [Crossref²⁸²](#)
- Charles Shang, Has Basic Acupuncture Research Met the Gold Standard of Science?, *Medical Acupuncture*, 10.1089/acu.2009.715, 21, 3, (191-200), (2009). [Crossref²⁸³](#)
- Xiaohui Yan, Xinyi Zhang, Chenglin Liu, Ruishan Dang, Yuying Huang, Wei He, Guanghong Ding, Do acupuncture points exist?, *Physics in Medicine and Biology*, 10.1088/0031-9155/54/9/N01, 54, 9, (N143-N150), (2009). [Crossref²⁸⁴](#)
- Xiaojia Yu, Guanghong Ding, Hong Huang, Jun Lin, Wei Yao, Rui Zhan, Role of Collagen Fibers in Acupuncture Analgesia Therapy on Rats, *Connective Tissue Research*, 10.1080/03008200802471856, 50, 2, (110-120), (2009). [Crossref²⁸⁵](#)
- James J. Mao, Deborah W. Bruner, Carrie Stricker, John T. Farrar, Sharon X. Xie, Marjorie A. Bowman, Donna Pucci Xiaoyan Han, Angela DeMichele, Feasibility Trial of Electroacupuncture for Aromatase Inhibitor-Related Arthralgia in Breast Cancer Survivors, *Integrative Cancer Therapies*, 10.1177/1534735409332903, 8, 2, (123-129), (2009). [Crossref²⁸⁶](#)
- HongQin Yang, ShuShen Xie, Hui Li, YuHua Wang, On optics of human meridians, *Science in China Series G: Physics, Mechanics and Astronomy*, 10.1007/s11433-009-0080-7, 52, 4, (502-507), (2009). [Crossref²⁸⁷](#)
- Dietrich H.W. Groenemeyer, Lei Zhang, Sven Schirp, Jürgen Baier, Localization of Acupuncture Points BL25 and BL26 Using Computed Tomography, *The Journal of Alternative and Complementary Medicine*, 10.1089/acm.2007.7118-O, 15, 12, (1285-1291), (2009). [Crossref²⁸⁸](#)
269. <https://doi.org/10.1016/j.pop.2009.09.010>
270. <https://doi.org/10.1371/journal.pone.0011907>
271. <https://doi.org/10.3390/info1020153>
272. <https://doi.org/10.1089/acu.2009.0631>
273. [https://doi.org/10.1016/S2005-2901\(09\)60041-8](https://doi.org/10.1016/S2005-2901(09)60041-8)
274. <https://doi.org/10.1016/j.jpain.2008.12.010>
275. <https://doi.org/10.1093/ecam/nem122>
276. <https://doi.org/10.1016/j.jbmt.2007.04.009>
277. [https://doi.org/10.1016/S2005-2901\(09\)60014-5](https://doi.org/10.1016/S2005-2901(09)60014-5)
278. <https://doi.org/10.1016/j.jbmt.2008.06.005>
279. <https://doi.org/10.1089/acm.2008.0582>
280. <https://doi.org/10.1097/HNP.0b013e3181bf3784>
281. [https://doi.org/10.1016/S1138-3593\(09\)72675-9](https://doi.org/10.1016/S1138-3593(09)72675-9)
282. <https://doi.org/10.1097/BRS.0b013e31819d071c>
283. <https://doi.org/10.1089/acu.2009.715>
284. <https://doi.org/10.1088/0031-9155/54/9/N01>
285. <https://doi.org/10.1080/03008200802471856>
286. <https://doi.org/10.1177/1534735409332903>
287. <https://doi.org/10.1007/s11433-009-0080-7>
288. <https://doi.org/10.1089/acm.2007.7118-O>
- Mike Benjamin, The fascia of the limbs and back – a review, *Journal of Anatomy*, 10.1111/j.1469-7580.2008.01011.x, 214, 1, (1-18), (2008). [Wiley Online Library²⁸⁹](#)
- Jesse Li-Ling, Yiyang Wu, Congenital Syndromes Involving the Lungs: Pathogenetic Models Based on Chinese Medicine Theories, *The Journal of Alternative and Complementary Medicine*, 10.1089/acm.2008.0115, 14, 8, (1017-1025), (2008). [Crossref²⁹⁰](#)
- Byung-Cheon Lee, Tae-Jeong Nam, Hyeon-Min Johng, Eun-Sung Park, Ku-Youn Baik, Baek-Kyung Sung, Kyung-Soon Soh, Yeo-Sung Yoon, Kwang-Sup Soh, Argyrophilic Fibers of Intravascular Threadlike Structures in Rat, *Journal of Korean Institute of Herbal Acupuncture*, 10.3831/KPI.2008.11.3.005, 11, 3, (5-16), (2008). [Crossref²⁹¹](#)
- Di Zhang, Guanghong Ding, Xueyong Shen, Wei Yao, Zhiying Zhang, Yuqing Zhang, Jun Lin, Quanbao Gu, Role of Mast Cells in Acupuncture Effect: A Pilot Study, *EXPLORE*, 10.1016/j.explore.2008.02.002, 4, 3, (170-177), (2008). [Crossref²⁹²](#)
- Stephen M. Sagar, Acupuncture as an Evidence-Based Option for Symptom Control in Cancer Patients, *Current Treatment Options in Oncology*, 10.1007/s11864-008-0063-3, 9, 2-3, (117-126), (2008). [Crossref²⁹³](#)
- M. Miguel-Pérez, J.C. Ortiz-Sagrístá, A. Pérez-Bellmunt, R. Ramos-Izquierdo, A. García-Fernández, Descripción anatómica de puntos de acupuntura en la extremidad inferior, *Revista Internacional de Acupuntura*, 10.1016/S1887-8369(08)70031-0, 2, 2, (126-131), (2008). [Crossref²⁹⁴](#)
- Marcus Bäcker, Paul Grossman, Jens Schneider, Andreas Michalsen, Nicola Knoblauch, Linda Tan, Corinna Niggemeyer, Klaus Linde, Dieter Melchart, Gustav J. Dobos, Acupuncture in Migraine, *The Clinical Journal of Pain*, 10.1097/AJP.0b013e318159f95e, 24, 2, (106-115), (2008). [Crossref²⁹⁵](#)
- Peter T. Dorsher, Optimal Localization of Acupuncture Points: Implications for Acupuncture Practice, Education, and Research, *Medical Acupuncture*, 10.1089/acu.2008.0621, 20, 3, (147-150), (2008). [Crossref²⁹⁶](#)
- Byung-Cheon Lee, Vyacheslav Ogay, Ki Woo Kim, Yuwon Lee, Jin-Kyu Lee, Kwang-Sup Soh, Acupuncture Muscle Channel in the Subcutaneous Layer of Rat Skin, *Journal of Acupuncture and Meridian Studies*, 10.1016/S2005-2901(09)60002-9, 1, 1, (13-19), (2008). [Crossref²⁹⁷](#)
- Agatha P. Colbert, Jinkook Yun, Adrian Larsen, Tracy Edinger, William L. Gregory, Tran Thong, Skin Impedance Measurements for Acupuncture Research: Development of a Continuous Recording System, Evidence-Based Complementary and Alternative Medicine, 10.1093/ecam/nem060, 5, 4, (443-450), (2008). [Crossref²⁹⁸](#)
- Hugh MacPherson, Richard Nahin, Charlotte Paterson, Claire M. Cassidy, George T. Lewith, Richard Hammerschlag, Developments in Acupuncture Research: Big-Picture Perspectives from the Leading Edge, *The Journal of Alternative and Complementary Medicine*, 10.1089/acm.2008.SAR-5, 14, 7, (883-887), (2008). [Crossref²⁹⁹](#)
- Vyacheslav Ogay, Min Su Kim, Hyo Jun Seok, Cheon Joo Choi, Kwang-Sup Soh, Catecholamine-storing Cells at Acupuncture Points of Rabbits, *Journal of Acupuncture and Meridian Studies*, 10.1016/S2005-2901(09)60027-3, 1, 2, (83-90), (2008). [Crossref³⁰⁰](#)
- J. Giebel, Mecanotransducción y transducción de señales a través del tejido conjuntivo, *Revista Internacional de Acupuntura*, 10.1016/S1887-8369(08)70003-6, 2, 1, (9-14), (2008). [Crossref³⁰¹](#)
- Sheng-Hsiung Hsiao, Li-Jen Tsai, A Neurovascular Transmission Model for Acupuncture-induced Nitric Oxide, *Journal of Acupuncture and Meridian Studies*, 10.1016/S2005-2901(09)60006-6, 1, 1, (42-50), (2008). [Crossref³⁰²](#)
- Vitaly Napadow, Andrew Ahn, John Longhurst, Lixing Lao, Elisabeth Stener-Victorin, Richard Harris, Helene M. Langevin, The Status and Future of Acupuncture Mechanism Research, *The Journal of Alternative and Complementary Medicine*, 10.1089/acm.2008.SAR-3, 14, 7, (861-869), (2008). [Crossref³⁰³](#)
- Hong-Yi Li, Jie-Fu Yang, Min Chen, Liang Xu, Wen-Chao Wang, Fang Wang, Jia-Bin Tong, Chuan-Yu Wang, Visualized Regional Hypodermic Migration Channels of Interstitial Fluid in Human Beings: Are These Ancient Meridians?, *The Journal of Alternative and Complementary Medicine*, 10.1089/acm.2007.0606, 14, 6, (621-628), (2008). [Crossref³⁰⁴](#)
- Rosa N. Schnyer, Stephen Birch, Hugh MacPherson, Acupuncture practice as the foundation for clinical evaluation, *Acupuncture Research*, 10.1016/B978-044310029-1.50013-9, (153-179), (2008). [Crossref³⁰⁵](#)
- Richard Hammerschlag, Hélène M. Langevin, Lixing Lao, George Lewith, Physiological dynamics of acupuncture: correlations and mechanisms, *Acupuncture Research*, 10.1016/B978-044310029-1.50014-0, (181-197), (2008). [Crossref³⁰⁶](#)
- Paul Orrock, Eric Blake, Leon Chaitow, Roger Newman Turner, *Naturopathic Physical* 289. <https://onlinelibrary.wiley.com/doi/10.1111/j.1469-7580.2008.01011.x>
290. <https://doi.org/10.1089/acm.2008.0115>
291. <https://doi.org/10.3831/KPI.2008.11.3.005>
292. <https://doi.org/10.1016/j.explore.2008.02.002>
293. <https://doi.org/10.1007/s11864-008-0063-3>
294. [https://doi.org/10.1016/S1887-8369\(08\)70031-0](https://doi.org/10.1016/S1887-8369(08)70031-0)
295. <https://doi.org/10.1097/AJP.0b013e318159f95e>
296. <https://doi.org/10.1089/acu.2008.0621>
297. [https://doi.org/10.1016/S2005-2901\(09\)60002-9](https://doi.org/10.1016/S2005-2901(09)60002-9)
298. <https://doi.org/10.1093/ecam/nem060>
299. <https://doi.org/10.1089/acm.2008.SAR-5>
300. [https://doi.org/10.1016/S2005-2901\(09\)60027-3](https://doi.org/10.1016/S2005-2901(09)60027-3)
301. [https://doi.org/10.1016/S1887-8369\(08\)70003-6](https://doi.org/10.1016/S1887-8369(08)70003-6)
302. [https://doi.org/10.1016/S2005-2901\(09\)60006-6](https://doi.org/10.1016/S2005-2901(09)60006-6)
303. <https://doi.org/10.1089/acm.2008.SAR-3>
304. <https://doi.org/10.1089/acm.2007.0606>
305. <https://doi.org/10.1016/B978-044310029-1.50013-9>
306. <https://doi.org/10.1016/B978-044310029-1.50014-0>

- Medicine, Naturopathic Physical Medicine, 10.1016/B978-044310390-2.50009-2, (75-100), (2008). [Crossref³⁰⁷](#)
- Andrew C. Ahn, Agatha P. Colbert, Belinda J. Anderson, Orjan G. Martinsen, Richard Hammerschlag, Steve Cina, Peter M. Wayne, Helene M. Langevin, Electrical properties of acupuncture points and meridians: A systematic review, *Bioelectromagnetics*, 10.1002/bem.20403, 29, 4, (245-256), (2008). [Wiley Online Library³⁰⁸](#)
- Margaret Julias, Lowell T Edgar, Helen M Buettner, David I Shreiber, An in vitro assay of collagen fiber alignment by acupuncture needle rotation, *BioMedical Engineering OnLine*, 10.1186/1475-925X-7-19, 7, 1, (2008). [Crossref³⁰⁹](#)
- Kell N. Julliard, Claudia Citkovitz, Douglas McDaniel, Towards a Model for Planning Clinical Research in Oriental Medicine, *EXPLORE*, 10.1016/j.explore.2006.12.002, 3, 2, (118-128), (2007). [Crossref³¹⁰](#)
- Arya Nielsen, Nicola T.M. Knoblauch, Gustav J. Dobos, Andreas Michalsen, Ted J. Kaptechuk, The Effect of Gua Sha Treatment on the Microcirculation of Surface Tissue: A Pilot Study in Healthy Subjects, *EXPLORE*, 10.1016/j.explore.2007.06.001, 3, 5, (456-466), (2007). [Crossref³¹¹](#)
- Roy Moncayo, Ansgar Rudisch, Markus Diemling, Christian Kremser, In-vivo visualisation of the anatomical structures related to the acupuncture points Dai mai and Shen mai by MRI: A single-case pilot study, *BMC Medical Imaging*, 10.1186/1471-2342-7-4, 7, 1, (2007). [Crossref³¹²](#)
- J. Giebel, Mechanotransduktion und Signaltransduktion über das Bindegewebe – Mechanismen zur Erklärung des therapeutischen Effekts der Akupunktur?, *Deutsche Zeitschrift für Akupunktur*, 10.1078/0415-6412-00281, 50, 3, (6-10), (2007). [Crossref³¹³](#)
- Roy Moncayo, Ansgar Rudisch, Christian Kremser, Helga Moncayo, 3D-MRI rendering of the anatomical structures related to acupuncture points of the Dai mai, Yin qiao mai and Yang qiao mai meridians within the context of the WOMED concept of lateral tension: implications for musculoskeletal disease, *BMC Musculoskeletal Disorders*, 10.1186/1471-2474-8-33, 8, 1, (2007). [Crossref³¹⁴](#)
- Helene M. Langevin, Nicole A. Bouffard, David L. Churchill, Gary J. Badger, Connective Tissue Fibroblast Response to Acupuncture: Dose-Dependent Effect of Bidirectional Needle Rotation, *The Journal of Alternative and Complementary Medicine*, 10.1089/acm.2007.6351, 13, 3, (355-360), (2007). [Crossref³¹⁵](#)
- Yong-Hui Han, Joon-Mo Yang, Min-Su Kim, Kwang-Sup Soh, Detection of the acupuncture points in Skin by differential path-length spectroscopy, *World Congress on Medical Physics and Biomedical Engineering 2006*, 10.1007/978-3-540-36841-0, (3572-3575), (2007). [Crossref³¹⁶](#)
- Min-Su Kim, Vyacheslav Ogay, Yong-Hui Han, Hak-Soo Shin, Byung-Cheon Lee, Kwang-Sup Soh, Alcian Blue Staining Technique for Tracing the Governing Vessel (GV) Meridian in Rat, *World Congress on Medical Physics and Biomedical Engineering 2006*, 10.1007/978-3-540-36841-0, (3576-3579), (2007). [Crossref³¹⁷](#)
- Miguel-Pérez Maribel, Ortiz-Sagrístá Joan Carles, Pérez-Bellmunt Albert, Buxeda Mónica, Cuni Laura, García-Fernández Alicia, Descripción anatómica de puntos de acupuntura en la extremidad superior, *Revista Internacional de Acupuntura*, 10.1016/S1887-8369(07)70217-X, 1, 2, (53-57), (2007). [Crossref³¹⁸](#)
- Yury P. Limansky, Serge A. Gulyar, Ivan Z. Samosyuk, Scientific basis of acupuncture, *Kontakt*, 10.32725/kont.2007.060, 9, 2, (391-402), (2007). [Crossref³¹⁹](#)
- Leon Chaitow, Fascia 2007 Congress, *Journal of Bodywork and Movement Therapies*, 10.1016/j.jbmt.2006.07.004, 10, 4, (249-250), (2006). [Crossref³²⁰](#)
- Helene M. Langevin, Connective tissue: A body-wide signaling network?, *Medical Hypotheses*, 10.1016/j.mehy.2005.12.032, 66, 6, (1074-1077), (2006). [Crossref³²¹](#)
- Albert Y. Leung, Jun Park, Gery Schulteis, Jeng-Ren Duann, Tony Yaksh, The Electrophysiology of De Qi Sensations, *The Journal of Alternative and Complementary Medicine*, 10.1089/acm.2006.12.743, 12, 8, (743-750), (2006). [Crossref³²²](#)
- Acupuncture, Obstetrics & Gynecology, 10.1097/01.AOG.0000239498.38595.41, 108, 4, (1024-1026), (2006). [Crossref³²³](#)
- Jeanne L. Shea, Applying Evidence-Based Medicine to Traditional Chinese Medicine: Debate and Strategy, *The Journal of Alternative and Complementary Medicine*, 10.1089/acm.2006.12.255, 12, 3, (255-263), (2006). [Crossref³²⁴](#)
- Grigory V. Chernyak, Daniel I. Sessler, Perioperative Acupuncture and Related Techniques, *Anesthesiology*, 10.1097/0000542-200505000-00024, 102, 5, (1031-1049), (2005). [Crossref³²⁵](#)
- Grigory Chernyak, Papiya Sengupta, Rainer Lenhardt, Edwin Liem, Anthony G. Doufas, Daniel I. Sessler, Ozan Ak?za, The Timing of Acupuncture Stimulation Does Not Influence Anesthetic Requirement, *Anesthesia & Analgesia*, 10.1213/01.ANE.0000142114.72117.E0, 100, 2, (387-392), (2005). [Crossref³²⁶](#)
- Gabriela E. Garcia, Sheng-Xing Ma, Lili Feng, Acupuncture and Kidney Disease, *Advances in Chronic Kidney Disease*, 10.1016/j.ackd.2005.04.002, 12, 3, (282-291), (2005). [Crossref³²⁷](#)
- Andrew C Ahn, Junru Wu, Gary J Badger, Richard Hammerschlag, Helene M Langevin, Electrical impedance along connective tissue planes associated with acupuncture meridians, *BMC Complementary and Alternative Medicine*, 10.1186/1472-6882-5-10, 5, 1, (2005). [Crossref³²⁸](#)
- E.E. Konofagou, H.M. Langevin, Using ultrasound to understand acupuncture, *IEEE Engineering in Medicine and Biology Magazine*, 10.1109/MEMB.2005.1411347, 24, 2, (41-46), (2005). [Crossref³²⁹](#)
- R. Schleip, W. Klingler, F. Lehmann-Horn, Active fascial contractility: Fascia may be able to contract in a smooth muscle-like manner and thereby influence musculoskeletal dynamics, *Medical Hypotheses*, 10.1016/j.mehy.2005.03.005, 65, 2, (273-277), (2005). [Crossref³³⁰](#)
- Paulo H. Hashimoto, The perineurial vessel: A possible candidate for the structural basis of the meridian (Jing - Luo) in Chinese medicine*, *Anatomical Science International*, 10.1111/j.1447-073X.2005.00118.x, 80, 4, (177-180), (2005). [Wiley Online Library³³¹](#)
- Dina Ralt, Intercellular communication, NO and the biology of Chinese medicine, *Cell Communication and Signaling*, 10.1186/1478-811X-3-8, 3, 1, (2005). [Crossref³³²](#)
- Ai-Hui Li, Jun-Ming Zhang, Yi-Kuan Xie, Human acupuncture points mapped in rats are associated with excitable muscle/skin-nerve complexes with enriched nerve endings, *Brain Research*, 10.1016/j.brainres.2004.04.009, 1012, 1-2, (154-159), (2004). [Crossref³³³](#)
- Kaung-Ti Yung, A Birdcage Model for the Chinese Meridian System Part II: The Meridian System as a Birdcage Resonator, *The American Journal of Chinese Medicine*, 10.1142/S0192415X04002582, 32, 06, (985-997), (2004). [Crossref³³⁴](#)
- J. P. Jones, Y. K. Bae, L. Wilson, C. S. So, D. D. Kidney, Ultrasonic Imaging and Characterization of Acupuncture Points in Classical Oriental Medicine, *Acoustical Imaging*, 10.1007/978-1-4020-2402-3_66, (527-533), (2004). [Crossref³³⁵](#)
- Helene M. Langevin, Elisa E. Konofagou, Gary J. Badger, David L. Churchill, James R. Fox, Jonathan Ophir, Brian S. Garra, Tissue displacements during acupuncture using ultrasound elastography techniques, *Ultrasound in Medicine & Biology*, 10.1016/j.ultrasmedbio.2004.07.010, 30, 9, (1173-1183), (2004). [Crossref³³⁶](#)
- M. Bäcker, I.K. Gareus, N.T.M. Knoblauch, A. Michalsen, G.J. Dobos, Akupunktur in der Schmerztherapie – Hypothese zu adaptiven Prozessen, *Complementary Medicine Research*, 10.1159/000082815, 11, 6, (335-345), (2004). [Crossref³³⁷](#)
- Opher Caspi, Cari Stellhorn, Melinda Connor, Sham in CAM, Evidence-Based Integrative Medicine, 10.2165/01197065-200401040-00002, 1, 4, (233-240), (2004). [Crossref³³⁸](#)
- Bruce D. Curtis, J.J. Hurtak, Consciousness and Quantum Information Processing: Uncovering the Foundation for a Medicine of Light, *The Journal of Alternative and Complementary Medicine*, 10.1089/107555304322848931, 10, 1, (27-39), (2004). [Crossref³³⁹](#)
- E.E. Konofagou, G.J. Badger, B.S. Garra, H.M. Langevin, IEEE Symposium on Ultrasonics, 2003, 10.1109/ULTSYM.2003.1293138, (1288-1291), (2003). [Crossref³⁴⁰](#)
- Leon Chaitow, Judith DeLany, Neuromuscular Techniques in Orthopedics, *Techniques in Orthopaedics*, 10.1097/00013611-200303000-00013, 18, 1, (74-86), (2003). [Crossref³⁴¹](#)
- LiteratureWatch, Alternative and Complementary Therapies, 10.1089/10762800360520811, 9, 1, (49-50), (2003). [Crossref³⁴²](#)
- Michael McCarthy, Palpatory literacy, Chinese therapeutic bodywork (Tui Na) and the remediation of head, neck and shoulder pain, *Journal of Bodywork and Movement Therapies*, 10.1016/S1360-8592(03)00044-5, 7, 4, (262-277), (2003). [Crossref³⁴³](#)
- Leon Chaitow, What binds us together ?, *Journal of Bodywork and Movement Therapies*, 10.1016/S1360-8592(03)00020-2, 7, 2, (69-70), (2003). [Crossref³⁴⁴](#)
- Joshi, Narahari & Mbbs, Msc & Pa'ez, Ximena & Araque, MBBS. (2012). Electroacupuncture Effects on the Disintegration of Beta Amyloid Sheets: Its Application to Alzheimer's Disease. *Medical Acupuncture*. 24. 145. 10.1089/acu.2012.0873. [ResearchGate³⁴⁵](#)
326. <https://doi.org/10.1213/01.ANE.0000142114.72117.E0>
327. <https://doi.org/10.1016/j.ackd.2005.04.002>
328. <https://doi.org/10.1186/1472-6882-5-10>
329. <https://doi.org/10.1109/MEMB.2005.1411347>
330. <https://doi.org/10.1016/j.mehy.2005.03.005>
331. <https://onlinelibrary.wiley.com/doi/10.1111/j.1447-073X.2005.00118.x>
332. <https://doi.org/10.1186/1478-811X-3-8>
333. <https://doi.org/10.1016/j.brainres.2004.04.009>
334. <https://doi.org/10.1142/S0192415X04002582>
335. https://doi.org/10.1007/978-1-4020-2402-3_66
336. <https://doi.org/10.1016/j.ultrasmedbio.2004.07.010>
337. <https://doi.org/10.1159/000082815>
338. <https://doi.org/10.2165/01197065-200401040-00002>
339. <https://doi.org/10.1089/107555304322848931>
340. <https://doi.org/10.1109/ULTSYM.2003.1293138>
341. <https://doi.org/10.1097/00013611-200303000-00013>
342. <https://doi.org/10.1089/10762800360520811>
343. [https://doi.org/10.1016/S1360-8592\(03\)00044-5](https://doi.org/10.1016/S1360-8592(03)00044-5)
344. [https://doi.org/10.1016/S1360-8592\(03\)00020-2](https://doi.org/10.1016/S1360-8592(03)00020-2)
345. https://www.researchgate.net/publication/236897521_Electroacupuncture_Effects_on_the_Disintegration_of_Beta_Amyloid_Sheets_Its_Application_to_Alzheimer's_Disease

HRV, Ayurveda

- Ram Manohar, P., Sorokin, O., Chacko, J., & Nampoothiri, V. (2018). An exploratory clinical study to determine the utility of heart rate variability analysis in the assessment of dosha imbalance. *Journal of Ayurveda and integrative medicine*, 9(2), 126–130. [Crossref](#)³⁴⁶
- Travis F.T., Wallace R.K. Doša brain-types: a neural model of individual differences. *J Ayurveda Integr Med.* 2015;6(4):280–285. [PMC](#)³⁴⁷ - [PubMed](#)³⁴⁸
- Tyagi A., Cohen M. Yoga and heart rate variability: a comprehensive review of the literature. *Int J Yoga.* 2016;9(2):97–113. [PMC](#)³⁴⁹ - [PubMed](#)³⁵⁰
- Masel E., Huber P., Engler T., Herbert Watzke H.H. Heart rate variability during treatment of breakthrough pain in patients with advanced cancer: a pilot study. *J Pain Res.* 2016 Dec;9:1215–1220. [PMC](#)³⁵¹ - [PubMed](#)³⁵²
- Kim E.-H., Park J.-H., Lee S.M., Gwak M.-S., Kim G.-S., Kim M.-H. Preoperative depressed mood and perioperative heart rate variability in patients with hepatic cancer. *J Clin Anesth.* 2016 Dec;35:332–338. [PubMed](#)³⁵³
- Kozswicz M., Michalak S., Bilinska M., Budrewicz S., Zaborowski M., Slotwinski K. Profile of autonomic dysfunctions in patients with primary brain tumor and possible autoimmunity. *Clin Neurol Neurosurg.* 2016 Dec;151:51–54. [PubMed](#)³⁵⁴
- Rastogi, S., & Singh, R. H. (2021). Principle of Hot (Ushna) and Cold (Sheeta) and Its Clinical Application in Ayurvedic Medicine. *Advances in experimental medicine and biology*, 1343, 39–55. [Crossref](#)³⁵⁵
- Mills, P. J., Peterson, C. T., Wilson, K. L., Pung, M. A., Patel, S., Weiss, L., Kshirsagar, S. G., Tanzi, R. E., & Chopra, D. (2019). Relationships among classifications of ayurvedic medicine diagnostics for imbalances and western measures of psychological states: An exploratory study. *Journal of Ayurveda and integrative medicine*, 10 (3), 198–202. [Crossref](#)³⁵⁶
- Pandey M.M., Rastogi S., Rawat A.K. Indian traditional ayurvedic system of medicine and nutritional supplementation. *Evid Based Complement Alternat Med.* 2013;2013:376327. - [PMC](#)³⁵⁷ - [PubMed](#)³⁵⁸
- Chopra A., Doiphode V.V. Ayurvedic medicine. Core concept, therapeutic principles, and current relevance. *Med Clin North Am.* 2002;86(1):75–89, vii. - [PubMed](#)³⁵⁹
- Zhou X., Ma Z., Zhang L., Zhou S., Wang J., Wang B. Heart rate variability in the prediction of survival in patients with cancer: a systematic review and meta-analysis. *J Psychosom Res.* 2016 Oct;89:20–25. - [PubMed](#)³⁶⁰
- Taffe L., Stancil K., Bond V., Pemminati S., Gorantla V.R., Kador K. Differentiation of overweight from normal weight young adults by postprandial heart rate variability and systolic blood pressure. *J Clin Diagnostic Res.* 2016 Aug;10(8):CC01–CC06. - [PMC](#)³⁶¹ - [PubMed](#)³⁶²
- Gupta J., Dube A., Singh V., Gupta R.C. Spectral analysis of heart rate variability in bronchial asthma patients. *Indian J Physiol Pharmacol.* 2012;56(4):330–336. - [PubMed](#)³⁶³
- Sorokin O.V., Subotyalov M.A. Material of the all-Russian scientific and practical conference with international presence, October 26–27, 2011 Kemerovo, Russia. 2011. Comparative medical research of VedaPulse hardware and software kit // Health maintaining activities in educational system: theory and practice; pp. 225–230.
- Kelkar P., Karamchandani S., Jinda S. Proceedings of conference on advance applications in physiological variability, BARC. 2010. Identifying tridosha for disease characterisation in morphology of an IPG pulse waveform.
- Singh Harupjit. Thapar University; Patiala: 2016. Relationship between three ayurvedic doshas and heart rate variability frequency bands: a pilot study.
- Deshpande H., Shivakumar, Kavita M.B., Tripathy T.B., Chaturvedi A. Healthcare and disease management in Ayurveda. *Altern Ther Health Med.* 2001;7(2):44–50. - [PubMed](#)³⁶⁴
- Anthony J.V., Joanne M.G. Understanding interobserver agreement: the kappa statistic. *Fam Med.* 2005 May;37(5):360–363. - [PubMed](#)³⁶⁵
- Telles S., Pathak S., Kumar A., Mishra P., Balkrishna A. Ayurvedic doshas as predictors of sleep quality. *Med Sci Monit.* 2015;21:1421–1427. - [PMC](#)³⁶⁶ - [PubMed](#)³⁶⁷
- Bell C., Heidel R.E., Sunega J., Drisko J. Ancient wisdom. Can ayurvedic prakriti provide invaluable insights into integrative medicine? *Ayurveda J Health.* 2017;27:27–34.
- Cohen S., Kamarck T., Mermelstein R. A global measure of perceived stress. *J Health Soc Behav.* 1983;24(4):385–396. - [PubMed](#)³⁶⁸
- Travis F.T., Wallace R.K. Doša brain-types: a neural model of individual differences. *J Ayurveda Integr Med.* 2015;6(4):280–285. - [PMC](#)³⁶⁹ - [PubMed](#)³⁷⁰
- Dey S., Pahwa P. Prakriti and its associations with metabolism, chronic diseases, and genotypes: possibilities of new born screening and a lifetime of personalized prevention. *J Ayurveda Integr Med.* 2014;5(1):15–24. - [PMC](#)³⁷¹ - [PubMed](#)³⁷²
- Puruya M.C., Meena M.S. A review on role of prakriti in aging. *Ayu.* 2011;32(1):20–24. - [PMC](#)³⁷³ - [PubMed](#)³⁷⁴
- Pham, T., Lau, Z. J., Chen, S. H. A., & Makowski, D. (2021). Heart Rate Variability in Psychology: A Review of HRV Indices and an Analysis Tutorial. *Sensors (Basel, Switzerland)*, 21 (12), 3998. [Crossref](#)³⁷⁵
- Lombardi F., Malliani A., Pagani M., Cerutti S. Heart Rate Variability and Its Sympatho-Vagal Modulation. *Cardiovasc. Res.* 1996;32:208–216. doi: 10.1016/0008-6363(96)00116-2. - [DOI](#)³⁷⁶ - [PubMed](#)³⁷⁷
- Mccrarty R., Shaffer F. Heart Rate Variability: New Perspectives on Physiological Mechanisms, Assessment of Self-regulatory Capacity, and Health Risk. *Glob. Adv. Heal. Med.* 2015;4:46–61. doi: 10.7453/gahmj.2014.073. - [DOI](#)³⁷⁸ - [PMC](#)³⁷⁹ - [PubMed](#)³⁸⁰
- Thayer J.F., Yamamoto S.S., Brosschot J.F. The relationship of autonomic imbalance, heart rate variability and cardiovascular disease risk factors. *Int. J. Cardiol.* 2010;141:122–131. doi: 10.1016/j.ijcard.2009.09.543. - [DOI](#)³⁸¹ - [PubMed](#)³⁸²
- Tiwari, R., Kumar, R., Malik, S., Raj, T., & Kumar, P. (2021). Analysis of Heart Rate Variability and Implication of Different Factors on Heart Rate Variability. *Current cardiology reviews*, 17 (5), e160721189770. [Crossref](#)³⁸³
- Roy, S., Goswami, D. P., & Sengupta, A. (2020). Geometry of the Poincaré plot can segregate the two arms of autonomic nervous system - A hypothesis. *Medical hypotheses*, 138, 109574. [Crossref](#)³⁸⁴
- Gullett, N., Zajkowska, Z., Walsh, A., Harper, R., & Mondelli, V. (2023). Heart rate variability (HRV) as a way to understand associations between the autonomic nervous system (ANS) and affective states: A critical review of the literature. *International journal of psychophysiology : official journal of the International Organization of Psychophysiology*, 192, 35–42. [Crossref](#)³⁸⁵
- Zou L., Sasaki J.E., Wei G.X., Huang T., Yeung A.S., Neto O.B., Chen K.W., Hui S.S. Effects of Mind-Body Exercises (Tai Chi/Yoga) on Heart Rate Variability Parameters and Perceived Stress: A Systematic Review with Meta-Analysis of Randomized Controlled Trials. *J. Clin. Med.* 2018;7:404. doi: 10.3390/jcm7110404. - [DOI](#)³⁸⁶ - [PMC](#)³⁸⁷ - [PubMed](#)³⁸⁸
- Danylova T.V., Shmarhun V.M., Vertel A.V., Matyushko B.K., Bondarenko A.F., Kyckhyruk T., Petersen J. Effects of the eastern mind-body practices on mental health during the COVID-19 pandemic: When east meets west. *Wiad. Lek.* 2021;74:2850–2855. doi: 10.36740/WLek202111130. - [DOI](#)³⁸⁹ - [PubMed](#)³⁹⁰
- Feneberg A.C., Nater U.M. An Ecological Momentary Music Intervention for the Reduction of Acute Stress in Daily Life: A Mixed Methods Feasibility Study. *Front. Psychol.* 2022;13:927705. doi: 10.3389/fpsyg.2022.927705. - [DOI](#)³⁹¹ - [PMC](#)³⁹² - [PubMed](#)³⁹³
- Breit S., Kupferberg A., Rogler G., Hasler G. Vagus Nerve as Modulator of the Brain-Gut Axis in Psychiatric and Inflammatory Disorders. *Front. Psychiatry.* 2018;9:44. doi: 10.3389/fpsyg.2018.00044. - [DOI](#)³⁹⁴ - [PMC](#)³⁹⁵ - [PubMed](#)³⁹⁶
- Laborde S., Mosley E., Thayer J.F. Heart rate variability and cardiac vagal tone in psychophysiological research—recommendations for experiment planning, data analysis, and data reporting. *Front. Psychol.* 2017;8:213. doi: 10.3389/fpsyg.2017.00213. - [DOI](#)³⁹⁷ - [PMC](#)³⁹⁸ - [PubMed](#)³⁹⁹
368. <https://pubmed.ncbi.nlm.nih.gov/6668417/>
369. <http://www.ncbi.nlm.nih.gov/pmc/articles/pmc4719489/>
370. <https://pubmed.ncbi.nlm.nih.gov/26834428/>
371. <http://www.ncbi.nlm.nih.gov/pmc/articles/pmc4012357/>
372. <https://pubmed.ncbi.nlm.nih.gov/24812471/>
373. <http://www.ncbi.nlm.nih.gov/pmc/articles/pmc3215411/>
374. <https://pubmed.ncbi.nlm.nih.gov/22131753/>
375. <https://doi.org/10.3390/s21123998>
376. [https://doi.org/10.1016/0008-6363\(96\)00116-2](https://doi.org/10.1016/0008-6363(96)00116-2)
377. <https://pubmed.ncbi.nlm.nih.gov/8796106/>
378. <https://doi.org/10.7453/gahmj.2014.073>
379. <http://www.ncbi.nlm.nih.gov/pmc/articles/pmc4311559/>
380. <https://pubmed.ncbi.nlm.nih.gov/25694852/>
381. <https://doi.org/10.1016/j.ijcard.2009.09.543>
382. <https://pubmed.ncbi.nlm.nih.gov/19910061/>
383. <https://doi.org/10.2174/1573403X16099201231203854>
384. <https://doi.org/10.1016/j.mech.2020.109574>
385. <https://doi.org/10.1016/j.jpsycho.2023.08.001>
386. <https://doi.org/10.3390/jcm7110404>
387. <http://www.ncbi.nlm.nih.gov/pmc/articles/pmc6262541/>
388. <https://pubmed.ncbi.nlm.nih.gov/30384420/>
389. <https://doi.org/10.36740/wlek202111130>
390. <https://pubmed.ncbi.nlm.nih.gov/35023505/>
391. <https://doi.org/10.3389/fpsyg.2022.927705>
392. <http://www.ncbi.nlm.nih.gov/pmc/articles/pmc9558284/>
393. <https://pubmed.ncbi.nlm.nih.gov/36248548/>
394. <https://doi.org/10.3389/fpsyg.2018.00044>
395. <http://www.ncbi.nlm.nih.gov/pmc/articles/pmc5859128/>
396. <https://pubmed.ncbi.nlm.nih.gov/29593576/>
397. <https://doi.org/10.3389/fpsyg.2017.00213>
398. <http://www.ncbi.nlm.nih.gov/pmc/articles/pmc5316555/>
399. <https://pubmed.ncbi.nlm.nih.gov/28265249/>

- Chesky K.S., Michel D.E. The Music Vibration Table (MVT): Developing a Technology and Conceptual Model for Pain Relief. *Music Ther. Perspect.* 1991;9:32–38. doi: 10.1093/mtp/9.1.32. - DOI⁴⁰⁰
- Campbell E., Burger B., Ala-Ruona E. A Single-Case, Mixed Methods Study Exploring the Role of Music Listening in Vibroacoustic Treatment. *Voices World Forum Music Ther.* 2019;19:27. doi: 10.15845/voices.v19i2.2556. - DOI⁴⁰¹
- Braun Janzen T., Al Shirawi M.I., Rotzinger S., Kennedy S.H., Bartel L. A Pilot Study Investigating the Effect of Music-Based Intervention on Depression and Anhedonia. *Front. Psychol.* 2019;10:1038. doi: 10.3389/fpsyg.2019.01038. - DOI⁴⁰² - PMC⁴⁰³ - PubMed⁴⁰⁴
- Karkkainen M., Mitsui J. The Effects of Sound Based Vibration Treatment on the Human Mind and Body the Physioacoustic Method. *J. Int. Soc. Life Inf. Sci.* 2006;24:155–164. doi: 10.18936/isis.24.1_155. - DOI⁴⁰⁵
- Jirakitayakorn N., Wongsawat Y. Brain Responses to 40-Hz Binaural Beat and Effects on Emotion and Memory. *Int. J. Psychophysiol.* 2017;120:96–107. doi: 10.1016/j.ijpsycho.2017.07.010. - DOI⁴⁰⁶ - PubMed⁴⁰⁷
- Fooks C., Niebuhr O. Assessing Vibroacoustic Sound Massage Through The Biosignal of Human Speech: Evidence of Improved Wellbeing; Proceedings of the IEEE International Conference on Acoustics, Speech and Signal Processing (ICASSP); Seoul, Republic of Korea. 14–19 April 2024; pp. 11401–11405.
- Gitler, A., Vanacker, L., De Couck, M., De Leeuw, I., & Gidron, Y. (2022). Neuromodulation Applied to Diseases: The Case of HRV Biofeedback. *Journal of clinical medicine*, 11 (19), 5927. [Crossref⁴⁰⁸](#)
- Zhu, J., Ji, L., & Liu, C. (2019). Heart rate variability monitoring for emotion and disorders of emotion. *Physiological measurement*, 40 (6), 064004. [Crossref⁴⁰⁹](#)
- Nunan, D., Sandercock, G. R., & Brodie, D. A. (2010). A quantitative systematic review of normal values for short-term heart rate variability in healthy adults. *Pacing and clinical electrophysiology : PACE*, 33 (11), 1407–1417. [Crossref⁴¹⁰](#)
- Qu, X., Wu, Y., Liu, J., & Cui, L. (2020). HRV-Spark: Computing Heart Rate Variability Measures Using Apache Spark. *Proceedings. IEEE International Conference on Bioinformatics and Biomedicine*, 2020, 10.1109/bibm49941.2020.9313361. [Crossref⁴¹¹](#)
- Rahul, L. R., Sarkar, R., Sengupta, A., Chandra, B. S., & Jana, S. (2023). Novel AI-based HRV analysis (NAIHA) in healthcare automation and related applications. *Journal of electrocardiology*, 79, 112–121. [Crossref⁴¹²](#)
- Taoum, A., Bisiaux, A., Tilquin, F., Le Guillou, Y., & Carrault, G. (2022). Validity of Ultra-Short-Term HRV Analysis Using PPG-A Preliminary Study. *Sensors (Basel, Switzerland)*, 22 (20), 7995. [Crossref⁴¹³](#)
- Ortega, E., Bryan, C. Y. X., & Christine, N. S. C. (2024). The Pulse of Singapore: Short-Term HRV Norms. *Applied psychophysiology and biofeedback*, 49 (1), 55–61. [Crossref⁴¹⁴](#)
- Vondrasek, J. D., Riemann, B. L., Grosicki, G. J., & Flatt, A. A. (2023). Validity and Efficacy of the Elite HRV Smartphone Application during Slow-Paced Breathing. *Sensors (Basel, Switzerland)*, 23 (23), 9496. [Crossref⁴¹⁵](#)
- Malik M., Bigger J.T., Camm A.J., Kleiger R.E., Malliani A., Moss A.J., Schwartz P.J. Heart rate variability: Standards of measurement, physiological interpretation, and clinical use. *Eur. Heart J.* 1996;17:354–381. doi: 10.1093/oxfordjournals.eurheartj.a014868. - DOI⁴¹⁶ - PubMed⁴¹⁷
- Shaffer F., McCraty R., Zerr C.L. A healthy heart is not a metronome: An integrative review of the heart's anatomy and heart rate variability. *Front. Psychol.* 2014;5:1040. doi: 10.3389/fpsyg.2014.01040. - DOI⁴¹⁸ - PMC⁴¹⁹ - PubMed⁴²⁰
- Grosicki G.J., Culver M.N., McMillan N.K., Cross B.L., Montoye A.H.K., Riemann B.L., Flatt A.A. Self-recorded heart rate variability profiles are associated with health and lifestyle markers in young adults. *Clin. Auton. Res.* 2022;32:507–518. doi: 10.1007/s10286-022-00884-z. - DOI⁴²¹ - PubMed⁴²²
- Natarajan A., Pantelopoulou A., Emir-Farinas H., Natarajan P. Heart rate variability with photoplethysmography in 8 million individuals: A cross-sectional study. *Lancet Digit. Health.* 2020;2:e650–e657. doi: 10.1016/S2589-7500(20)30246-6. - DOI⁴²³ - PubMed⁴²⁴
- Talbert, L. D., Kaelberer, Z., Gleave, E., Driggs, A., Driggs, A. S., Steffen, P. R. 425. <https://doi.org/10.1080/02699052.2023.2208880>
426. <https://doi.org/10.1109/EMBC.2015.7319747>
427. <https://doi.org/10.1152/ajpheart.00405.2000>
428. [https://doi.org/10.1016/S0735-1097\(97\)00554-8](https://doi.org/10.1016/S0735-1097(97)00554-8)
429. <https://www.sciencedirect.com/science/article/pii/S0735109797005548>
430. <https://doi.org/10.1186/s12906-024-0413-5>
431. <https://pubmed.ncbi.nlm.nih.gov/30732832/>
432. <https://doi.org/10.1016/j.concog.2010.01.007>
433. <https://pubmed.ncbi.nlm.nih.gov/20167507/>
434. <https://doi.org/10.1126/science.1161958>
435. <https://www.ncbi.nlm.nih.gov/pmc/articles/pmc2643344/>
436. <https://pubmed.ncbi.nlm.nih.gov/19023074/>
437. <https://doi.org/10.1186/1743-0003-11-87>
438. <https://www.ncbi.nlm.nih.gov/pmc/articles/pmc4060143/>
439. <https://pubmed.ncbi.nlm.nih.gov/24939519/>
440. <https://www.ncbi.nlm.nih.gov/pmc/articles/pmc3988787/>
441. <https://pubmed.ncbi.nlm.nih.gov/24748422/>
442. <https://doi.org/10.1016/j.ibror.2020.10.006>
443. <https://www.ncbi.nlm.nih.gov/pmc/articles/pmc7649620/>
444. <https://pubmed.ncbi.nlm.nih.gov/33204893/>
445. <https://doi.org/10.1016/j.ijpsycho.2008.09.007>
446. <https://pubmed.ncbi.nlm.nih.gov/18854202/>
447. <https://doi.org/10.1016/j.jcard.2007.06.103>
448. <https://pubmed.ncbi.nlm.nih.gov/1764770/>
449. <https://doi.org/10.1177/174182671414625>
450. <https://pubmed.ncbi.nlm.nih.gov/21693507/>
451. <https://doi.org/10.3389/fcvm.2019.00062>
452. <https://www.ncbi.nlm.nih.gov/pmc/articles/pmc6527777/>
453. <https://pubmed.ncbi.nlm.nih.gov/3119634/>
454. <https://doi.org/10.1155/2015/598496>
455. <https://www.ncbi.nlm.nih.gov/pmc/articles/pmc4302970/>
456. <https://pubmed.ncbi.nlm.nih.gov/25632397/>
- Baldwin, S. A., & Larson, M. J. (2023). A systematic review of heart rate variability (HRV) biofeedback treatment following traumatic brain injury (TBI). *Brain injury*, 37 (7), 635–642. [Crossref⁴²⁵](#)
- Jeyhani, V., Mahdiani, S., Peltokangas, M., & Vehkaoja, A. (2015). Comparison of HRV parameters derived from photoplethysmography and electrocardiography signals. *Annual International Conference of the IEEE Engineering in Medicine and Biology Society. IEEE Engineering in Medicine and Biology Society. Annual International Conference*, 2015, 5952–5955. [Crossref⁴²⁶](#)
- Brennan, M., Palaniswami, M., & Kamen, P. (2002). Poincaré plot interpretation using a physiological model of HRV based on a network of oscillators. *American journal of physiology. Heart and circulatory physiology*, 283 (5), H1873–H1886. [Crossref⁴²⁷](#)
- Ken Umetani MD A B C, Donald H Singer MD, FACC A B, Rollin McCraty MS C, Mike Atkinson C, Twenty-Four Hour Time Domain Heart Rate Variability and Heart Rate: Relations to Age and Gender Over Nine Decades. [DOI⁴²⁸](#), [ScienceDirect⁴²⁹](#)
- Elme/test
- Borghesi, F., Cremascoli, R., Chirico, A., Bianchi, L., Di Moia, A., Priano, L., Piedimonte, A., Mauro, A., & Cipresso, P. (2024). Mind and body connection in expert meditators: a computational study based on central and peripheral nervous system. *BMC complementary medicine and therapies*, 24 (1), 117. [Crossref⁴³⁰](#)
- Brandmeyer T, Delorme A, Wahbeh H. The neuroscience of meditation: classification, phenomenology, correlates, and mechanisms. *Prog Brain Res.* 2019;1(244):1–29. - [PubMed⁴³¹](#)
- Travis F, Shear J. Focused attention, open monitoring and automatic self-transcending: categories to organize meditations from Vedic, Buddhist Chinese Traditions. *Conscious Cogn.* 2010;19(4):1110–1118. doi: 10.1016/j.concog.2010.01.007. - DOI⁴³² - PubMed⁴³³
- Liberman N, Trope Y. The psychology of transcending the here and now. *Science.* 2008;322(5905):1201–5. doi: 10.1126/science.1161958. - DOI⁴³⁴ - PMC⁴³⁵ - PubMed⁴³⁶
- Ahani A, Wahbeh H, Nezamfar H, Miller M, Erdogmus D, Oken B. Quantitative change of EEG and respiration signals during mindfulness meditation. *J Neuroeng Rehabil.* 2014;11(1):1. doi: 10.1186/1743-0003-11-87. - DOI⁴³⁷ - PMC⁴³⁸ - PubMed⁴³⁹
- Ahani A, Wahbeh H, Miller M, Nezamfar H, Erdogmus D, Oken B. Change in physiological signals during mindfulness meditation. *Int IEEE EMBS Conf Neural Eng.* 2012;1378–81. - PMC⁴⁴⁰ - PubMed⁴⁴¹
- Stapleton P, Dispenza J, McGill S, Sabot D, Peach M, Raynor D. Large effects of brief meditation intervention on EEG spectra in meditation novices. *IBRO Rep.* 2020;1(9):290–301. doi: 10.1016/j.ibror.2020.10.006. - DOI⁴⁴² - PMC⁴⁴³ - PubMed⁴⁴⁴
- Travis F, Haaga DAF, Hagelin J, Tanner M, Nidich S, Gaylord-King C, et al. Effects of Transcendental Meditation practice on brain functioning and stress reactivity in college students. *Int J Psychophysiol.* 2009;71(2):170–176. doi: 10.1016/j.ijpsycho.2008.09.007. - DOI⁴⁴⁵ - PubMed⁴⁴⁶
- Phongsuphap S, Pongsupap Y, Chandanamatta P, Lursinsap C. Changes in heart rate variability during concentration meditation. *Int J Cardiol.* 2008;130(3):481–484. doi: 10.1016/j.ijcard.2007.06.103. - DOI⁴⁴⁷ - PubMed⁴⁴⁸
- Nesvold A, Fagerland MW, Davanger S, Ellingsen Ø, Solberg EE, Hølen A, et al. Increased heart rate variability during nondirective meditation. *Eur J Prev Cardiol.* 2012;19(4):773–80. doi: 10.1177/1741826711414625. - DOI⁴⁴⁹ - PubMed⁴⁵⁰
- Léonard A, Clément S, Kuo CD, Manto M. Changes in heart rate variability during heartfulness meditation: a power spectral analysis including the residual spectrum. *Front Cardiovasc Med.* 2019;14(6):62. doi: 10.3389/fcvm.2019.00062. - DOI⁴⁵¹ - PMC⁴⁵² - PubMed⁴⁵³
- Pasquini HA, Tanaka GK, Basile LFH, Velasques B, Lozano MD, Ribeiro P. Electrophysiological correlates of long-term Soto Zen meditation. *Biomed Res Int.* 2015;2015:598496. doi: 10.1155/2015/598496. - DOI⁴⁵⁴ - PMC⁴⁵⁵ - PubMed⁴⁵⁶
- Cipresso P, Serino S, Borghesi F, Tartarisco G, Riva G, Pioggia G, et al. Continuous

- measurement of stress levels in naturalistic settings using heart rate variability: an experience-sampling study driving a machine learning approach. *Acta IMEKO*. 2021;10(4):239. doi: 10.21014/acta_imeko.v10i4.1183. - DOI⁴⁵⁷
- Berntson GG, Thomas Bigger J, Eckberg DL, Grossman P, Kaufmann PG, Malik M, et al. Heart rate variability: origins, methods, and interpretive caveats. *Psychophysiology*. 1997;34(6):623–648. doi: 10.1111/j.1469-8986.1997.tb02140.x. - DOI⁴⁵⁸ - PubMed⁴⁵⁹
- Acharya UR, Joseph KP, Kannathal N, Lim CM, Suri JS. Heart rate variability: a review. *Med Biol Eng Comput*. 2006;44(12):1031–1051. doi: 10.1007/s11517-006-0119-0. - DOI⁴⁶⁰ - PubMed⁴⁶¹
- Fell J, Axmacher N, Haupt S. From alpha to gamma: Electrophysiological correlates of meditation-related states of consciousness. *Med Hypotheses*. 2010;75(2):218–224. doi: 10.1016/j.mehy.2010.02.025. - DOI⁴⁶² - PubMed⁴⁶³
- Rodríguez-Larios J, Faber P, Achermann P, Tei S, Alaerts K. From thoughtless awareness to effortful cognition: alpha - theta cross-frequency dynamics in experienced meditators during meditation, rest and arithmetic. *Sci Rep*. 2020;10(1):1–11. doi: 10.1038/s41598-020-62392-2. - DOI⁴⁶⁴ - PMC⁴⁶⁵ - PubMed⁴⁶⁶
- Cahn BR, Delorme A, Polich J. Occipital gamma activation during Vipassana meditation. *Cogn Process*. 2010;11(1):39–56. doi: 10.1007/s10339-009-0352-1. - DOI⁴⁶⁷ - PMC⁴⁶⁸ - PubMed⁴⁶⁹
- Borghesi F, Chirico A, Pedroli E, Cipriani GE, Canessa N, Amanzio M, et al. Exploring Biomarkers of mental flexibility in healthy aging: a computational psychometric study. *Sensors (Basel)* 2023;23(15):6983. doi: 10.3390/s23156983. - DOI⁴⁷⁰ - PMC⁴⁷¹ - PubMed⁴⁷²
- Fang, S., & Zhang, W. (2024). Heart-Brain Axis: A Narrative Review of the Interaction between Depression and Arrhythmia. *Biomedicines*, 12 (8), 1719. [Crossref⁴⁷³](#)
- Gullett N., Zajkowska Z., Walsh A., Harper R., Mondelli V. Heart rate variability (HRV) as a way to understand associations between the autonomic nervous system (ANS) and affective states: A critical review of the literature. *Int. J. Psychophysiol*. 2023;192:35–42. doi: 10.1016/j.ijpsycho.2023.08.001. - DOI⁴⁷⁴ - PubMed⁴⁷⁵
- Bassett D. A literature review of heart rate variability in depressive and bipolar disorders. *Aust. New Zealand J. Psychiatry*. 2015;50:511–519. doi: 10.1177/0004867415622689. - DOI⁴⁷⁶ - PubMed⁴⁷⁷
- Zhu J., Ji L., Liu C. Heart rate variability monitoring for emotion and disorders of emotion. *Physiol. Meas.* 2019;40:064004. doi: 10.1088/1361-6579/ab1887. - DOI⁴⁷⁸ - PubMed⁴⁷⁹
- Chalmers J.A., Quintana D.S., Abbott M.J., Kemp A.H. Anxiety Disorders are Associated with Reduced Heart Rate Variability: A Meta-Analysis. *Front. Psychiatry*. 2014;5:80. doi: 10.3389/fpsy.2014.00080. - DOI⁴⁸⁰ - PMC⁴⁸¹ - PubMed⁴⁸²
- Chang H.A., Chang C.C., Chen C.L., Kuo T.B., Lu R.B., Huang S.Y. Major depression is associated with cardiac autonomic dysregulation. *Acta Neuropsychiatr*. 2012;24:318–327. doi: 10.1111/j.1601-5215.2011.00647.x. - DOI⁴⁸³ - PubMed⁴⁸⁴
- Burke J.H., Goldberger J.J., Ehler F.A., Kruse J.T., Parker M.A., Kadish A.H. Gender differences in heart rate before and after autonomic blockade: Evidence against an intrinsic gender effect. *Am. J. Med.* 1996;100:537–543. doi: 10.1016/S0002-9343(96)00018-6. - DOI⁴⁸⁵ - PubMed⁴⁸⁶
- Kittnar O. Sex Related Differences in Electrocardiography. *Physiol. Res*. 2023;72:S127–S135. doi: 10.33549/physiores.934952. - DOI⁴⁸⁷ - PMC⁴⁸⁸ - PubMed⁴⁸⁹
- Kotov R., Gamez W., Schmidt F., Watson D. Linking “big” personality traits to anxiety, depressive, and substance use disorders: A meta-analysis. *Psychol. Bull*. 2010;136:768–821. doi: 10.1037/a0020327. - DOI⁴⁹⁰ - PubMed⁴⁹¹
- Godin P.J., Buchman T.G. Uncoupling of biological oscillators: A complementary hypothesis concerning the pathogenesis of multiple organ dysfunction syndrome. *Crit. Care Med*. 1996;24:1107–1116. doi: 10.1097/00003246-199607000-00008. - DOI⁴⁹² - PubMed⁴⁹³
457. https://doi.org/10.21014/acta_imeko.v10i4.1183
458. <https://doi.org/10.1111/j.1469-8986.1997.tb02140.x>
459. <https://pubmed.ncbi.nlm.nih.gov/9401419/>
460. <https://doi.org/10.1007/s11517-006-0119-0>
461. <https://pubmed.ncbi.nlm.nih.gov/17111118/>
462. <https://doi.org/10.1016/j.mehy.2010.02.025>
463. <https://pubmed.ncbi.nlm.nih.gov/20227193/>
464. <https://doi.org/10.1038/s41598-020-62392-2>
465. <http://www.ncbi.nlm.nih.gov/pmc/articles/pmc7096392/>
466. <https://pubmed.ncbi.nlm.nih.gov/52214173/>
467. <https://doi.org/10.1007/s10339-009-0352-1>
468. <http://www.ncbi.nlm.nih.gov/pmc/articles/pmc2812711/>
469. <https://pubmed.ncbi.nlm.nih.gov/20013298/>
470. <https://doi.org/10.3390/s23156983>
471. <http://www.ncbi.nlm.nih.gov/pmc/articles/pmc10422551/>
472. <https://pubmed.ncbi.nlm.nih.gov/37571766/>
473. <https://doi.org/10.3390/biomedicines12081719>
474. <https://doi.org/10.1016/j.ijpsycho.2023.08.001>
475. <https://pubmed.ncbi.nlm.nih.gov/37543289/>
476. <https://doi.org/10.1177/0004867415622689>
477. <https://pubmed.ncbi.nlm.nih.gov/26698824/>
478. <https://doi.org/10.1088/1361-6579/ab1887>
479. <https://pubmed.ncbi.nlm.nih.gov/30974428/>
480. <https://doi.org/10.3389/fpsy.2014.00080>
481. <http://www.ncbi.nlm.nih.gov/pmc/articles/pmc4092363/>
482. <https://pubmed.ncbi.nlm.nih.gov/25071612/>
483. <https://doi.org/10.1111/j.1601-5215.2011.00647.x>
484. <https://pubmed.ncbi.nlm.nih.gov/25287173/>
485. [https://doi.org/10.1016/s0002-9343\(96\)00018-6](https://doi.org/10.1016/s0002-9343(96)00018-6)
486. <https://pubmed.ncbi.nlm.nih.gov/8644766/>
487. <https://doi.org/10.33549/physiores.934952>
488. <http://www.ncbi.nlm.nih.gov/pmc/articles/pmc10660582/>
489. <https://pubmed.ncbi.nlm.nih.gov/37565417/>
490. <https://doi.org/10.1037/a0020327>
491. <https://pubmed.ncbi.nlm.nih.gov/20804236/>
492. <https://doi.org/10.1097/00003246-199607000-00008>
493. <https://pubmed.ncbi.nlm.nih.gov/8674321/>
494. <https://doi.org/10.3390/s23208636>
495. <https://doi.org/10.3390/s23052455>
496. <http://www.ncbi.nlm.nih.gov/pmc/articles/pmc10007272/>
497. <https://pubmed.ncbi.nlm.nih.gov/36904659/>
498. <https://doi.org/10.1038/s41598-019-42826-2>
499. <https://doi.org/10.1007/s13369-022-07585-9>
500. <https://doi.org/10.3390/s2115015>
501. <https://doi.org/10.1109/JBHI.2024.3403188>
502. <https://pubmed.ncbi.nlm.nih.gov/32119483/>
503. <https://pubmed.ncbi.nlm.nih.gov/10474985/>
504. <https://doi.org/10.2466/pr0.103.2.588-590>
505. <https://pubmed.ncbi.nlm.nih.gov/8458560/>
506. <https://pubmed.ncbi.nlm.nih.gov/14998709/>
507. <https://doi.org/10.3109/09553002.2011.538130>
508. <https://doi.org/10.1038/s41598-018-30453-2>
509. <https://doi.org/10.1038/s41598-023-36801-1>
510. <https://www.researchgate.net/publication/326972894>
511. <https://www.researchgate.net/publication/330217977>
512. <https://www.researchgate.net/publication/228926241>
513. <https://www.molbiolcell.org/doi/full/10.1091/mbc.E23-08-0312>
514. <https://doi.org/10.1103/PhysRevLett.122.084501>
- Wang, L., Hao, J., & Zhou, T. H. (2023). ECG Multi-Emotion Recognition Based on Heart Rate Variability Signal Features Mining. *Sensors (Basel, Switzerland)*, 23 (20), 8636. [Crossref⁴⁹⁴](#)
- Cai Y., Li X., Li J. Emotion Recognition Using Different Sensors, Emotion Models, Methods and Datasets: A Comprehensive Review. *Sensors*. 2023;23:2455. doi: 10.3390/s23052455. - DOI⁴⁹⁵ - PMC⁴⁹⁶ - PubMed⁴⁹⁷
- Xiefeng, C., Wang, Y., Dai, S., Zhao, P., & Liu, Q. (2019). Heart sound signals can be used for emotion recognition. *Scientific reports*, 9 (1), 6486. [Crossref⁴⁹⁸](#)
- Hasnul, M. A., Ab Aziz, N. A., & Abd Aziz, A. (2023). Augmenting ECG Data with Multiple Filters for a Better Emotion Recognition System. *Arabian journal for science and engineering*, 1–22. Advance online publication. [Crossref⁴⁹⁹](#)
- Hasnul, M. A., Aziz, N. A. A., Alelyani, S., Mohana, M., & Aziz, A. A. (2021). Electrocardiogram-Based Emotion Recognition Systems and Their Applications in Healthcare-A Review. *Sensors (Basel, Switzerland)*, 21 (15), 5015. [Crossref⁵⁰⁰](#)
- Li, Y., Tan, R., Lin, T., Liu, Q., Wang, C. D., & Chen, M. (2024). ER-GET: Emotion Recognition Based on Global ECG Trajectory. *IEEE journal of biomedical and health informatics*, 28 (9), 5201–5213. [Crossref⁵⁰¹](#)
- Woods, R. A., & Hill, P. B. (2022). Myers Brigg. In *StatPearls*. StatPearls Publishing. [PubMed⁵⁰²](#)
- Wallick, M. M., & Cambre, K. M. (1999). Personality types in academic medicine. *The Journal of the Louisiana State Medical Society : official organ of the Louisiana State Medical Society*, 151 (7), 378–383. [PubMed⁵⁰³](#)
- Tobacyk, J. J., Livingston, M. M., & Robbins, J. E. (2008). Relationships between Myers-Briggs type indicator measure of psychological type and neo measure of big five personality factors in Polish University students: a preliminary cross-cultural comparison. *Psychological reports*, 103 (2), 588–590. [Crossref⁵⁰⁴](#)
- Eicke, F. J., Blake, G., & Replogle, W. (1993). A comparative view of the Myers-Briggs type indicator. *Family medicine*, 25 (3), 186–190. [PubMed⁵⁰⁵](#)
- Ranganathan VK, Siemionov V, Liu JZ, Sahgal V, Yue GH. From mental power to muscle power—gaining strength by using the mind. *Neuropsychologia*. 2004;42(7):944–56. doi: 10.1016/j.neuropsychologia.2003.11.018. PMID: 14998709. [PubMed⁵⁰⁶](#)

Electromagnetism

Blank, Martin; Goodman, Reba . (2011). DNA is a fractal antenna in electromagnetic fields. *International Journal of Radiation Biology*, 87(4), 409–415. [Crossref⁵⁰⁷](#)

Cantero, M.d.R., Villa Eteghoyen, C., Perez, P.L. et al. Bundles of Brain Microtubules Generate Electrical Oscillations. *Sci Rep* 8, 11899 (2018). [Crossref⁵⁰⁸](#)

Gutierrez, B.C., Cantiello, H.F. & Cantero, M. The electrical properties of isolated microtubules. *Sci Rep* 13, 10165 (2023). [Crossref⁵⁰⁹](#)

Meijer, Dirk. (2018). Processes of Science and Art Modeled as a Holoflux of Information Using Toroidal Geometry. *Open Journal of Philosophy*. 8. 365-400. [10.4236/ojpp.2018.84026⁵¹⁰](#)

Kuman, Maria. (2018). Our Weak Nonlinear Electromagnetic Field (Nemf) that Rules Everything in the Body is Emotionally Sensitive. *Journal of Complementary Medicine & Alternative Healthcare*. 8. [10.19080/JCMAH.2018.08.555731⁵¹¹](#)

Leonova-Gariaeva, & Gariaev, Peter & Friedman, Mark & Leonova-Gariaeva, Ekaterina. (2011). Principles of Linguistic-Wave Genetics. *DNA Decipher Journal*. 1. [ResearchGate⁵¹²](#)

GuangJun Zhang and Michael Levin (2025) Bioelectricity is a universal multifaced signaling cue in living organisms. [10.1091/mbc.E23-08-0312⁵¹³](#)

Angelo Esposito, Rafael Krichevsky, and Alberto Nicolis (2019) Gravitational Mass Carried by Sound Waves [Crossref⁵¹⁴](#)

3. függelék

Bibliográfia

- "Prology: valósítsd meg életprojekted - 1. kötet: betegség, gyógyulás, 10. transzmütáció: az erőforrások útja" Christine Degoy-tól
Egy innovatív útmutató, amely rendszerszemléletű megközelítéssel újra felfedezi az egészséget és a jólétet, lehetővé téve számodra, hogy újraértelmezd létezésedet és hozzáférdj életprojekted mélyebb megértéséhez. Ez a könyv megadja a szükséges eszközöket a belső kommunikáció kialakításához, a valóságérzékelésed átalakításához és a léted teljes megéléséhez.
- "Prology: fedezd fel újra az élet értelmét - 2. kötet: Az életprojekt a testben: értsd meg, oldd fel, transzmütáld" Christine Degoy-tól

Energia és elektromos orvoslás

- "A Test Elektromágneses Mezeje: Az Elektromágnesség és az Élet Alapjai" Robert Becker és Gary Selden
Ez a forradalmi könyv felfedezi az emberi test elektromágneses mezejét és annak mélyreható következményeit a gyógyulásra, az energiaáramlásra és az egészségre. Becker bioelektromossággal kapcsolatos kutatásai alapvető betekintést nyújtanak a test energia rendszereinek tudományába.
- "A Szikra a Gépezetben: Hogyan Magyarozza az Akupunktúra Tudománya a Nyugati Orvoslás Rejtélyeit" Dr. Daniel Keown
Dr. Keown munkája áthidalja a szakadékat a nyugati orvostudomány és az ősi akupunktúra között, átfogó magyarázatot adva arról, hogyan áramlik az energia a testen belül, és hogyan használható fel a gyógyulás érdekében.
- "Energia Orvoslás: A Tudományos Alap" James L. Oschman
Ez a könyv alaposan feltárja az energiaorvoslás tudományát, bemutatva a bizonyítékokat arra, hogy az elektromágneses mezők, meridiánok és más energia rendszerek hogyan befolyásolják az egészséget. Oschman a fizikából és biológiából merít, hogy a test energia rendszereit olyan módon magyarázza el, amely kiegészíti a hagyományos és alternatív gyógyászati gyakorlatokat.
- "Vibrációs Orvoslás: A Finom Energia Terápiák #1 Kézikönyve" Richard Gerber
Gerber klasszikus szövege alapvető forrás a finom energia orvoslás területének megértéséhez. Részletes áttekintést nyújt az energia mezőkről, csokról, és arról, hogyan működnek a vibrációs terápiák a test és az elme gyógyításában.
- "Keresztáramok: Az Elektromos Szennyezés Veszélyei, az Elektromedicina Ígérete" Robert O. Becker
Becker folytatása *A Test Elektromágneses Mezeje* című könyvének, ez a könyv a modern elektromos technológia egészségügyi következményeit vizsgálja, miközben azt is felfedezi, hogyan segíthet az elektromágneses terápia a gyógyulásban.
- "A Hitel Biológiája: A Tudat, Az Anyag és a Csodák Ereje" Bruce H. Lipton
Ez a könyv a biológia és a hit metszéspontját tárja fel, bemutatva, hogyan befolyásolja az elme a testet sejtszinten. Lipton elmagyarázza, hogyan hatnak az energia mezők és a tudat a biológiai folyamatokra.
- "A Mező: A Világegyetem Titkos Ereje" Lynne McTaggart
McTaggart a nulla ponti mezővel kapcsolatos élvonalbeli tudományt kutatja, amely egy univerzális energia mező, amely összeköti az összes anyagot. Ez a könyv betekintést nyújt az élet energetikai természetébe és abba, hogyan használhatjuk fel ezt az energiát a gyógyulás érdekében.
- "A Gyógyulás Feszültsége: A Kézikönyv" Jerry Tennant
Dr. Tennant elmagyarázza, hogyan kulcsfontosságú a feszültség a testben, különösen sejtszinten, az egészség szempontjából. Átfogó képet nyújt arról, hogyan alapvető a megfelelő elektromos potenciál fenntartása a gyógyuláshoz és a jóléthez.
- "Az én nagy TOE-m (Minden elmélet)" Thomas Campbell-től
Egy átfogó trilógia, amely a valóság, a tudat és a fizikai és metafizikai kapcsolatok természetét vizsgálja. Campbell, egy fizikus és tudatutató, ötvözi a tudományt és a spiritualitást, hogy bemutassa a létezés modelljét, amely támogatja a meditációt, a megváltozott tudatállapotokat és az univerzumban lévő energia megértését.
- "A tudat világozása: Teljes meditációs útmutató, amely integrálja a buddhista bölcsességet és az agytudományt a nagyobb tudatosság érdekében" John Yates (Culadasa)
Culadasa útmutatója egy alapos, lépésről lépésre történő magyarázat a meditációs gyakorlatról, amely a régi buddhista tanításokban és a kortárs idegtudományban gyökerezik. Áthidalja a hagyományos meditációs technikák és a modern tudományos agytudás közötti szakadékat.
- "Megváltozott jellemvonások: A tudomány felfedi, hogyan változtatja meg a meditáció az elmét, az agyat és a testet" Daniel Goleman és Richard J. Davidson
Ez a könyv belemerül a meditációval kapcsolatos tudományos kutatásokba, felfedezve annak mélyreható hatásait az agyra és a testre. Goleman és Davidson évtizedek kutatásából merítve magyarázza el, hogyan vezet a meditáció tartós pszichológiai és élettani változásokhoz.
- "Felébredés: Útmutató a spiritualitáshoz vallás nélkül" Sam Harris
Sam Harris, egy idegtudós és filozófus, racionális megközelítést mutat be a spiritualitás és a meditáció terén, amely a tudományra és a személyes tapasztalatokra épít. Könyve különösen arra összpontosít, hogyan vezethet a meditáció mélyreható észlelési és tudatossági váltásokhoz, anélkül, hogy vallási keretekre lenne szükség.
- "A most hatalma: Útmutató a spirituális megvilágosodáshoz" Eckhart Tolle
Tolle széles körben olvasott könyve hangsúlyozza a tudatosság és a jelen pillanatban való létezés fontosságát. Tanításai gyakorlati betekintéseket kínálnak arra, hogyan élhetünk teljesebben és tudatosabban, ami összhangban áll a *Énekelj a test elektromos* című könyvben tárgyalt energikus és mentális jólét aspektusaival.
- "Igazi mágia: Ósi bölcsesség, modern tudomány és útmutató az univerzum titkos erejéhez" Dean Radin
Radin, a parapszichológia vezető kutatója, felfedezi a telepátia, előérzés és pszichokinézis jelenségeivel kapcsolatos tudományos bizonyítékokat, kapcsolatokat vonva a tudat, az energia és a valóság tágabb struktúrája között. Ez a könyv alapot nyújt az anyagi világon túli valóságok megértéséhez.
- "A tudat fizikája: A kvantum elme és az élet értelme" Evan Harris Walker
Ez a könyv a kvantumfizikába és annak tudattal való kapcsolatába merül bele. Walker felfedezi a megfigyelő szerepét a kvantummechanikában, és egy olyan elméletet mutat be, amely szerint a tudat alapvető a univerzumban, hozzájárulva az energia és a létezés szélesebb körű megértéséhez.
- "A titkos doktrína" H.P. Blavatsky-tól
Ez a teozófia alapító szövege a univerzum, a tudat és a spirituális evolúció természetét vizsgálja.
- "A mindennapi filozófia" Aldous Huxley
Huxley a spiritualitás közös szálait vizsgálja különböző vallásokban, hangsúlyozva az univerzális igazságokat.
- "Az emberi sors" Pierre Lecomte du Noüy
Ez a könyv a tudomány, a filozófia és a vallás metszéspontját vizsgálja, érvelve amellett, hogy az emberi evolúciót egy isteni cél vezérli. Beszél az emberiség spirituális potenciáljáról és a tudatos emberrel járó morális felelősségekről.

Modern Spiritualitás

21. "Az ész útja" Pierre Lecomte du Noüy
Ebben a filozófiai munkában Lecomte du Noüy a tudás és a tudományos gondolkodás fontosságát tárgyalja az univerzum megértésében. Emellett arról is beszél, hogyan kell integrálni a tudományos előrehaladást a morális és spirituális fejlődéssel.
22. "A digitális jelfeldolgozás megértése" Richard G. Lyons-tól
Ez a könyv világos és hozzáférhető bevezetést nyújt a digitális jelfeldolgozásba (DSP), így a bonyolult fogalmak még a kezdők számára is érthetővé válnak. Olyan témákat tárgyal, mint a szűrés, Fourier-analízis és mintavételezési elmélet, gyakorlati és könnyen követhető módon, ideális mindazok számára, akik érdeklődnek a jelkezelés alapjai iránt, különös figyelemmel az audioelemzésre.
23. "A tudósok és mérnökök útmutatója a digitális jelfeldolgozáshoz" Steven W. Smith-től
Egy népszerű, könnyen olvasható könyv, amely gyakorlati példákon és alkalmazásokon keresztül mutatja be a DSP fogalmait. Ez egy ingyenes online forrás, amely lépésről lépésre magyarázza el, hogyan működik a jelfeldolgozás, valós példákkal, így rendkívül hozzáférhető a kezdők számára, különösen azok számára, akik az audio és zenei jelanalízis iránt érdeklődnek.
24. "Digitális audio jelfeldolgozás" Udo Zölzer-től
Ez a könyv a digitális audio jelfeldolgozás elveit és alkalmazásait mutatja be, különös figyelmet fordítva a digitális szűrőkre, audioeffektekre és idő-frekvencia analízisre. Bár technikai jellegű, az anyag olyan módon bemutatva, amely megközelíthető a DSP alapvető ismeretével rendelkező olvasók számára.
25. "Bevezetés az audio tartalomlemzésbe: Alkalmazások a jelfeldolgozásban és a zenei informatikában" Alexander Lerch-től
Ez a szöveg különösen hasznos mindazok számára, akik az audio és zenei jelfeldolgozás iránt érdeklődnek. Olyan technikákat mutat be, amelyek segítségével az audio tartalmat, például a zenei struktúrát, ritmust és harmóniát elemezhetjük jelfeldolgozó algoritmusok segítségével. A könyv gyakorlati és hozzáférhető diákok és szakemberek számára egyaránt.
26. "Audioeffekt plug-inok tervezése C nyelven: Digitális audio jelfeldolgozási elmélettel" Will Pirkle-től
Azok számára, akik szeretnék elmélyülni az audio jelfeldolgozás alkalmazási oldalában, ez a könyv egy felhasználóbarát bevezetést nyújt a kódolásba és audioeffektok tervezésébe C nyelven. Ideális kezdők számára, akik szeretnék megérteni, hogyan alkalmazható a DSP valós idejű audioeffektok létrehozására.
27. "Emlékek, álmok, reflexiók" Carl G. Jung-től
Egy félig önéletrajzi munka, ez a könyv Jung életét és kulcsfontosságú ötleteit tárgyalja, beleértve a kollektív tudattalan, archetipusok és az árnyék fogalmának kifejlesztését. Személyes betekintést nyújt pszichológiai elméleteibe.
28. "Az archetipusok és a kollektív tudattalan" Carl G. Jung-től
Ez a könyv központi szöveg a jungiai pszichológiában, ahol Jung a tudattalan elméletét vizsgálja fel, különös figyelmet fordítva a kollektív tudattalanra és archetipusos képeire. Alapvető olvasmány Jung személyiségről és a lélekről alkotott elképzeléseinek megértéséhez.
29. "Pszichológiai típusok" Carl G. Jung-től
Ebben a munkában Jung bemutatja a pszichológiai típusok elméletét, amely később hatással volt a Myers-Briggs Típus Indikátor (MBTI) kifejlesztésére. Megbeszéli az introverzió és extroverzió dichotómiáját, valamint más pszichológiai funkciókat, amelyek formálják a személyiséget.
30. "Az ember és szimbólumai" Carl G. Jung-től
Ezt a könyvet a jungiai gondolkodás könnyen érthető bevezetésének írták, és a szimbólumok használatát tárgyalja az álmokban és a művészetben, mint a tudattalan folyamatok megjelenéseit. Szélesebb közönség számára készült, és betekintést nyújt az emberi lélekbe.
31. "A felfedezetlen én" Carl G. Jung-től
Jung a személyes fejlődéshez való egyéni szükséglet és a modern társadalom nyomása közötti konfliktust vizsgálja. Hangsúlyozza az önismeret fontosságát a tudattalan és az árnyék aspektusainak navigálásában.
32. "A saját árnyékod birtoklása: A lélek sötét oldalának megértése" Robert A. Johnson-tól
Egy gyakorlati útmutató Jung árnyék fogalmának megértéséhez, ez a könyv elmagyarázza, hogyan ismerjük fel és integráljuk az árnyék ént a pszichológiai egyensúly és a személyes fejlődés érdekében.
33. "Jung lélek térképe: Bevezetés" Murray Stein-től
Ez a könyv bevezetést nyújt Jung személyiségelméleteibe, beleértve az árnyékról, a tudattalanról és az individuációról alkotott elképzeléseit. Jó forrás azok számára, akik újak a jungiai pszichológiában.
34. "Ajándékok eltérő módon: A személyiség típus megértése" Isabel Briggs Myers és Peter B. Myers-től
Ez a könyv magyarázza az MBTI személyiség típusok rendszerét, amely Jung pszichológiai típusain alapul. Bepillantást nyújt abba, hogyan lépnek interakcióba a különböző személyiség típusok, és hogyan befolyásolják a személyes és szakmai életet.
35. "A hang gyógyító ereje: Felépülés életveszélyes betegségből hang, hangzás és zene segítségével" írta Mitchell L. Gaynor
Ez a könyv a hangterápia gyógyító használatát tárgyalja, fókuszálva arra, hogyan használhatók a rezgések és frekvenciák a betegségből való felépülés támogatására. Gaynor, aki onkológus, ötvözi az orvosi ismereteket a hanggyógyászati ​​gyakorlataival.
36. "Az emberi biomező hangolása: Gyógyítás vibrációs hangterápiával" írta Eileen Day McKusick
McKusick a biomező anatómiáját vizsgálja, megvitatta, hogyan befolyásolja a hang, frekvencia és rezgés az emberi energiatereket. A könyv tartalmaz információkat arról, hogyan támogathatják a gyógyulást a hangoló villák és más hangszerek.
37. "Gyógyító hangok: A harmónia ereje" írta Jonathan Goldman
Ez a könyv elmagyarázza a hang és a harmónia felhasználásának koncepcióját a test és az elme gyógyítására. Gyakorlati technikákat tartalmaz a hanggyógyításra, mint például a vokális tónusozás és a túlharmóniákkal való munka.
38. "Hanggyógyászat: Hogyan használjuk a hang ősi tudományát a test és az elme gyógyítására" írta Kulreet Chaudhary
Ez a könyv egyesíti az ősi ájurvédikus orvoslást a modern hangterápiás gyakorlatokkal. Chaudhary elmagyarázza, hogyan használhatók a hangfrekvenciák és rezgések gyógyításra és jólétre, a mantráktól a modern hangtechnológiáig.

Gyógyítás hangokkal

Tudatosság, Energia és Valóság

39. "A víz negyedik fázisa: Túl a szilárdon, folyadékon és gőzön" Gerald Pollack-tól
Pollack úttörő kutatásokat mutat be a víz tulajdonságairól és azok biológiára és energiamedicinára gyakorolt hatásairól.
40. "LSD és az Univerzum Elméje" Christopher Bache-től
Bache a pszichedelikus szerek, a tudatosság és a valóság természete közötti metszéspontokat vizsgálja személyes tapasztalatok és tudományos betekintések révén.
41. "Tudatosság az élet után: A halálközeli élmények tudománya" Pim van Lommel-től
Van Lommel átfogó vizsgálatot nyújt a halálközeli élményekről, azok tudatosságra gyakorolt hatásáról és az önfolytonosságról a fizikai létezésen túl.
42. "A férfi, aki nem hitt a csodákban" Didier Van Cauwelaert-től
Ez a regény a tudatosság és a kvantumfizika témáit szövi össze, felfedezve a valóság és a hit természetét egy lebilincselő narratíván keresztül.
43. "Egészség szándékosan: impulzusok az öngyógyításhoz" Folker Meissner-től
Meissner az energiamedicina tudományos alapveit vizsgálja, betekintést nyújtva terápiás potenciáljába és mechanizmusaiiba.
44. "Kapcsolódva: A globális tudatosság megjelenése" Roger Nelson-tól
Nelson a humán tudatosság összekapcsoltságát és annak következményeit vizsgálja a kollektív tapasztalatok és a globális tudatosság megértésére.
45. "Morfofenikus víz - Egészség - Információk és tudatossági mezők" Marc Henry-től
Henry a víz jelentőségét tárgyalja a biológiai rendszerekben, és annak szerepét az energiaátvitel és a tudatosság közvetítőjeként.
46. "Élet az élet után" Raymond Moody-től
Moody úttörő munkája bevezeti a halálközeli élmények fogalmát, és számos esettanulmányt mutat be, amelyek kiemelik a hasonló elemeket, amelyeket azok jelentettek, akik ilyen tapasztalatokon mentek keresztül.
47. "A Fény ölelésében" Betty J. Eadie-től
Ez a memoár Eadie halálközeli élményét meséli el, megosztva meglátásait és azokat a mély spirituális kijelentéseket, amelyeket utazása során tapasztalt.
48. "A menny bizonyítéka: Egy idegsebész útja a túlvilágra" Eben Alexander-től
Alexander, egy idegsebész, megosztja saját halálközeli élményét, és egy meggyőző beszámolót nyújt, amely kihívást jelent a tudományos nézetekkel szemben a tudatosságról és a túlvilágról.
49. "Meghalni, hogy én legyek: Utam a rákkal, a halálközeli élménnyel és a valódi gyógyulással" Anita Moorjani-től
Moorjani megosztja a rák elleni küzdelme alatt szerzett átalakító halálközeli élményét és az önellátásról és gyógyulásról tanult erőteljes leckéket.

50. "Utazások a testből" Robert A. Monroe-tól
Ez a klasszikus könyv dokumentálja Monroe személyes tapasztalatait a testből való utazás során, és felfedezi az emberi tudat lehetőségeit a fizikai testen túl. Széles körben az egyik alapvető szövegnek tekintik a tudatosság tanulmányozásában.
51. "Távoli utazások" Robert A. Monroe-tól
Ez a folytatás a "Utazások a testből" című könyvnek mélyebbre ás Monroe fizikai síkon túli utazásaiba, ahol különböző létezési dimenziókat fedez fel és bővíti tudatosságáról alkotott megértését.
52. "Végso utazás" Robert A. Monroe-tól
Ebben a trilógia utolsó könyvében Monroe betekintéseket oszt meg az alterált tudatállapotokban szerzett tapasztalataiból, fókuszálva az utóélet, a létezés természetére és az emberi cél témáira.
53. "Kozmikus tudatosság" Richard M. Bucke-tól
Bucke saját kozmikus tudatosság élményét írja le, és annak spirituális fejlődésre gyakorolt hatásait vizsgálja.
54. "Egy Yaqui tudásmód" Carlos Castaneda-tól
Ez a könyv a sámáni gyakorlatokat és a valóság természetét tárgyalja Castaneda Yaqui sámánnal folytatott tanítványi viszonya révén.
63. "Alap Energetika" John C. Pierrakos
Ez a könyv bemutatja Pierrakos megközelítését az Alap Energetikához, egy testközpontú terápiás módszerhez. Részletezi, hogyan vezethet az energia blokkolásának feloldása érzelmi és pszichológiai gyógyuláshoz, ötvözve a spiritualitást a pszichoterápiával.
64. "A Saját Átalakulás Útja" Eva Pierrakos
John Pierrakos felesége, Eva Pierrakos írta ezt a könyvet, amely elengedhetetlen az Alap Energetika spirituális és energetikai alapjainak megértéséhez. Tanítások gyűjteményét mutatja be a Pathwork Útmutatótól, amely erősen befolyásolta Pierrakos saját terápiás munkáját.
65. "A Hangom Veled Fog Menni: Milton H. Erickson Tanító Meséi" Milton H. Erickson, szerkesztette Sidney Rosen
Ez a könyv Erickson terápiás történeteinek és tanító meséinek gyűjteménye. Kiemeli közvetett technikáit és metaforáit, amelyek elősegítik a mély pszichológiai változást, betekintést nyújtva abba, ahogyan Erickson finoman irányította betegeit a gyógyulás felé.
66. "Szokatlan Terápia: Milton H. Erickson, M.D. Pszichiátriai Technikái" Jay Haley
Haley részletesen bemutatja Erickson innovatív technikáit a rövid terápiában. Ez a könyv kiemeli Erickson nem hagyományos és gyakran meglepő módszereit, beleértve azt a képességét, hogy betegeit gyors terápiás áttörésekhez vezesse mindössze néhány ülés alatt.

Bioetika és Orvostudomány

55. "Bioetika: Elvek, Kérdések és Esettanulmányok" Lewis Vaughn-tól
Vaughn bemutatja a kulcsfontosságú etikai elveket és kérdéseket az orvosi gyakorlatban, valós esetek elemzésével a gyakorlati alkalmazások érdekében.

Tudat kutatások

56. "Tudat és az Univerzum: Kvantumfizika, Evolúció, Agy és Elme" Sir Roger Penrose és Stuart Hameroff-tól
Ez az esszé gyűjteménye a tudat kvantum eredeteit vizsgálja, ötvözve a fizika, idegtudomány és filozófia meglátásait, hogy megvizsgálja, hogyan magyarázhatják a kvantum folyamatok az agyban a tudatos élményt.
57. "A Tudat Magyarazata" Daniel Dennett-től
Dennett egy átfogó elméletet mutat be a tudatról, érvelve a hagyományos nézetek ellen és betekintést nyújtva az elme működésébe.
58. "Félni az Ébredéstől: Útmutató a Spiritualitáshoz Vallás Nélkül" Sam Harris-tól
Harris a tudatot, meditációt és a spiritualitás természetét tárgyalja, a világi megközelítést népszerűsítve az elme megértéséhez.

Kvantumfizika és Metafizika

59. "A Kvántum és a Lótusz: Utazás a Határokra, Ahol a Tudomány és a Buddhizmus Találkozik" Matthieu Ricard és Trinh Xuan Thuan
Ez a könyv párhuzamokat vizsgál a kvantumfizika és a buddhista filozófia között, megvitatta mindkét terület felismeréseit.
60. "A Holografikus Univerzum" Michael Talbot
Talbot azt a gondolatot mutatja be, hogy az univerzum hologramként működik, ötvözve a kvantumfizika felismeréseit metafizikai következményekkel.

Pszichológia és Pszichoterápia

61. "Az Ember Keresése a Jelentésért" Viktor E. Frankl
Frankl a pszichológiai utazást vizsgálja, amely a cél megtalálásáról szól még a legrosszabb körülmények között is, integrálva a létezésfilozófiát és a pszichológiát.
62. "A Test Megőrzi a Pontszámot: Az Agy, Az Elme és a Test a Traumák Gyógyításában" Bessel van der Kolk
Ez a könyv a trauma hatását tárgyalja a testre és elmére, kiemelve az innovatív megközelítéseket a gyógyulásra.

Rendszertudomány és Rendszergondolkodás

67. "Általános Rendszertudomány: Alapok, Fejlődés, Alkalmazások" Ludwig von Bertalanffy-tól
A rendszergondolkodás klasszikus művében Bertalanffy bemutatja az Általános Rendszertudomány alapelveit, amely alapvető pillér lett a tudományok közötti interdiszciplináris kutatás számára. Gondolatai befolyásosak voltak a biológiától a társadalomtudományokig.
68. "Lépések az Elme Ökológiájához" Gregory Bateson-tól
A Palo Alto Csoport kulcsfigurájaként Bateson esszégyűjteménye a kommunikáció, pszichológia és ökológia témáit öleli fel. Munkája megalapozta a rendszergondolkodást az emberi kommunikációban és interakciókban.
69. "Elme és Természet: Szükséges Egység" Gregory Bateson-tól
Másik alapvető szöveg Batesontól, amely azt vizsgálja, hogyan kapcsolódik össze az elme és a környezet. Gondolatai alapvetőek a rendszertudomány megértéséhez az emberi interakció, tanulás és ökológia szempontjából.
70. "A Valóság Társadalmi Építése: Tanulmány a Tudás Szociológiájában" Peter L. Berger és Thomas Luckmann-tól
Ez a könyv a rendszergondolkodás szempontjából azzal foglalkozik, hogy a társadalmi rendszerek és valóságok hogyan épülnek fel és tartanak fenn.
71. "Az Élet Rendszerszemlélete: Egyesítő Látomás" Fritjof Capra és Pier Luigi Luisi-tól
Capra, a rendszergondolkodás kulcsfigurája, a élő rendszerek kortárs és integrált megértését nyújtja. Ez a könyv a rendszertudományt összekapcsolja a biológiával, ökológiával és tudatossággal.
72. "Változás: A Probléma Formálásának és Megoldásának Elvei" Paul Watzlawick, John Weakland és Richard Fisch-től
Ez a Palo Alto Csoport másik alapvető munkája, amely azt vizsgálja, hogyan történik a változás az emberi rendszerekben, különösen a családokban és szervezetekben, rendszerszemléletről.
73. "A Tudás Fája: Az Emberi Megértés Biológiai Gyökerei" Humberto R. Maturana és Francisco J. Varela-tól
Ez a könyv a biológiát, kogníciót és rendszergondolkodást köti össze, az autopoiesis (önmagát létrehozó rendszerek) fogalmára összpontosítva, amely központi fogalom az élő rendszerek megértésében.
74. "Kybernetika, avagy Ellenőrzés és Kommunikáció az Állat és a Gépezet között" Norbert Wiener-től
Ez a kybernetika alapműve azt vizsgálja, hogyan működnek a kommunikációs és ellenőrzési folyamatok mind a gépekben, mind az élőlényekben.
75. "Az Ötödik Tudományág: A Tanuló Szervezet Művészete és Gyakorlata" Peter M. Senge-től
Senge munkája a rendszergondolkodást alkalmazza a szervezeti fejlődésre. Széles körben elismert szöveg mind az üzleti életben, mind az oktatásban, a komplex szervezetek tanulásra és alkalmazkodásra való strukturálására összpontosít.